

Herramientas de la industria 4.0 en la formación tecnológica del diseño industrial

Muestra de trabajos prácticos de las asignaturas tecnológicas de la Licenciatura en Diseño Industrial y la Especialización en tecnologías de fabricación digital, y resultados de estudiantes auxiliares de investigación en impresión 3D cerámica del Laboratorio de Diseño (LAD) (2023 - 2024)

*Inauguración Polo Tecnológico de la UNLa
21 de Octubre de 2025, Edificio Talleres*

Av. Hipólito Yrigoyen 5612, Remedios de Escalada



Catálogo de la muestra Herramientas de la industria 4.0 en la formación tecnológica del diseño industrial
21 de Octubre de 2025

Compilación y elaboración: Andrés Ruscitti, Melina Yocco

Fundamentos

Desde las primeras Máquinas Herramientas automatizadas por Control Numérico Computarizado (CNC) y con los programas de Diseño (CAD) y Mecanizado Asistido por Computadora (CAM), las tecnologías digitales han ido modificando las prácticas del diseño y la industria; su impacto ha sido la reducción de costos y tiempos, así como también el aumento de la calidad y precisión en todo el ciclo de producción. La integración de los entornos de diseño y programación en los sistemas CAD/CAM y el más reciente fenómeno de la impresión 3D, han adquirido una ascendente trayectoria que generó una de las áreas más dinámicas del cambio tecnológico en nuestra época.

Considerada como un innovación radical y uno de los pilares de la denominada Industria 4.0., la fabricación digital se consolida como un nuevo campo de investigación y desarrollo fundamental para el sistema de ciencia y tecnología nacional, y como un factor decisivo en la competitividad de la industria.

Objetivos

La finalidad principal de las asignaturas *Tecnología, materiales y procesos IV* y *Manufactura digital de la Licenciatura en Diseño Industrial y de Tecnologías Sustractivas y Aditivas de la Especialización en tecnologías de fabricación digital*, es que el estudiante comprenda la potencialidad de la fabricación digital en las disciplinas proyectuales vinculadas a la industria y adquiera las habilidades específicas que le permitan incorporarla a su repertorio de soluciones tecnológicas y a su capacidades proyectuales.

Metodología

Los contenidos teóricos de las asignaturas tienen un importante apoyo práctico para fomentar el aprender-haciendo. Se proponen trabajos prácticos que impliquen una solución de diseño que aproveche las potencialidades de la fabricación digital y que puedan ser producidos con el equipamiento de los talleres de la carrera.

Contenidos

Los proyectos exhibidos en esta muestra tienen como eje el cruce entre la impresión 3D y otras tecnologías parte de la Industria 4.0 :

- 1ra Parte, Impresión 3D y Robotización de los objetos

Casos de diseño y prototipado mediante Impresión 3D y Arduino, estudiantes de Tecnología, materiales y procesos IV de la Lic. en DI y Tecnologías Aditivas y Tecnologías Sustractivas de la ETFD, 2023 y 2024

- 2da Parte, Inteligencia Artificial en el flujo de trabajo de diseño

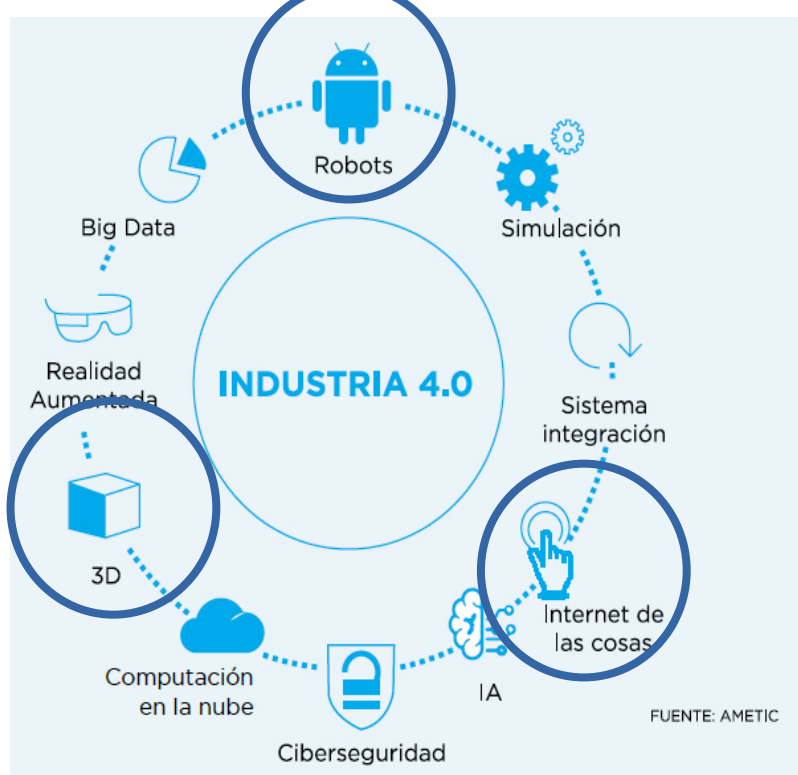
Casos de diseño asistido por IA e Impresión 3D, estudiantes de Manufactura Digital, 2024

- 3ra Parte, Diseño Asistido por Algoritmos y fabricación digital

Exploración morfológica de impresión 3D de plástico, cerámica y textiles mediante Grasshopper, resultados de actividades de laboratorio de estudiantes auxiliares de investigación y docentes investigadores de la línea de investigación en impresión 3D cerámica de la UNLa y CETMIC (UNLP-CIC-CONICET), en el marco de los proyectos Amilcar Herrera de la UNLa 2019-2020 y 2022-2024

1. Robotización de los objetos.

Casos de diseño y prototipado mediante Impresión 3D y Arduino



	Estudiante		Tema	Espacio de docencia e investigación	Docente		
A	Tabernero	Victoria	Maceta inteligente Emotiva	Tecno _IV Lic DI 2024	Ruscitti, Andrés Mendozzi Matías		
	Díaz	Lautaro					
B	Aramayo	Alejandro					
	Ocera	Luciano					
	Zapata	Andrés					
C	Aragón	Amelia					
	Saia	Andrés					
D	Benitez	Gustavo					
	Broche	Elias					
	Citizenmaier	Erik					
	Gonzalez Gamboa	Litxay					
E	Begue	Nicolás	Medidor multifunción	Tecno IV 2023			
	Botrugno	Estefania					
	Liotti	Mariano					
F	Rodriguez	Franco	Dispenser de alimento El gato de Pavlov				
	Sardi	Nicolas					
	Díaz	Camila					
G	Weimer	Martín	cochecito	Aditivas ETFD 2024	Ruscitti Andrés		
H			el caminante	Sustractivas ETFD 2024	Juan Pazo		
I			fulbito	Robotica Educativa SAJUBA			
J			Kit electricidad				

1. Robotización de los objetos.

Casos de diseño y prototipado mediante Impresión 3D y Arduino:

1.a. Maceta inteligente Emotiva



1. Robotización de los objetos.

Casos de diseño y prototipado mediante Impresión 3D y Arduino:

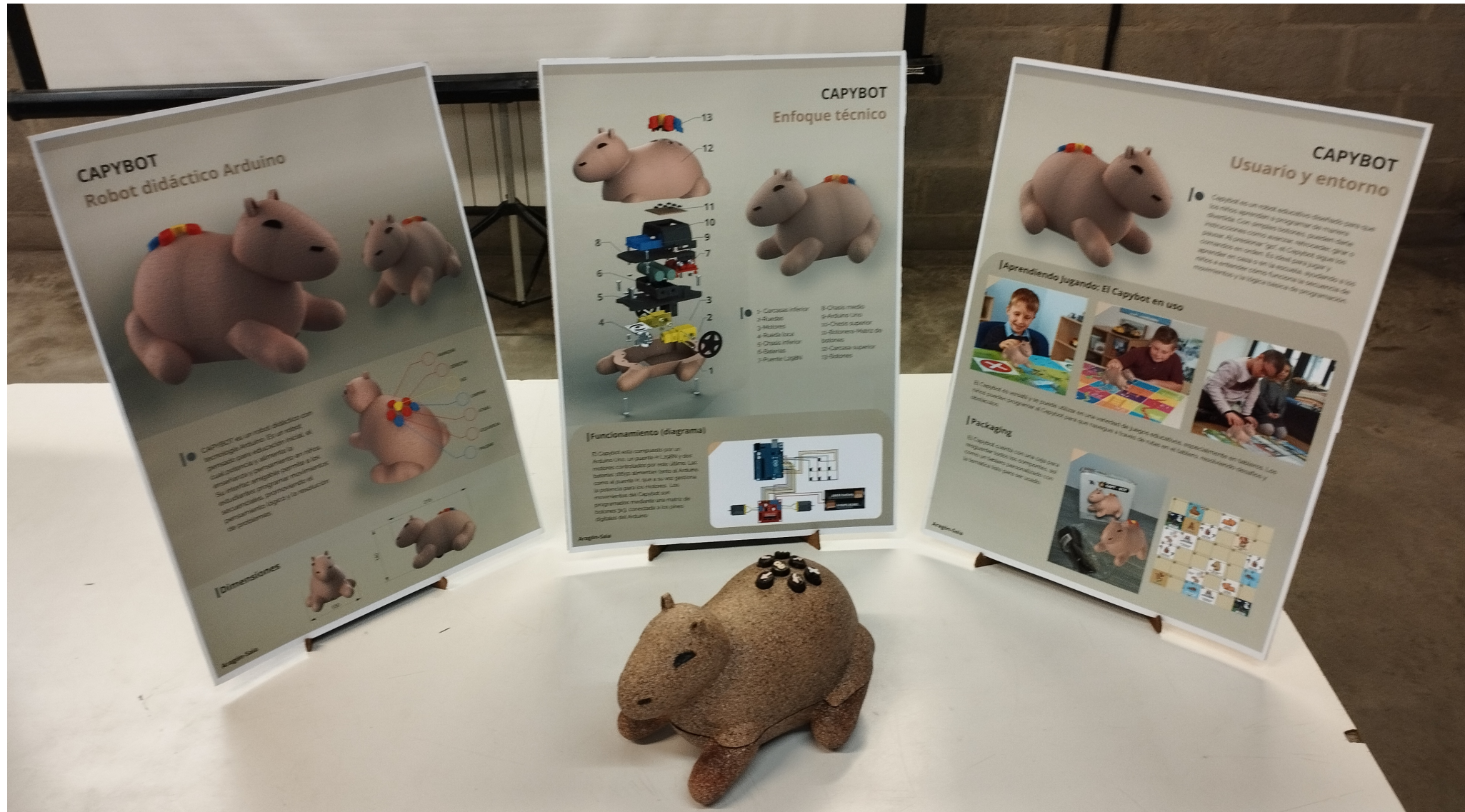
1.b. Lámpara de joyero



1. Robotización de los objetos.

Casos de diseño y prototipado mediante Impresión 3D y Arduino:

1.c. Robot didáctico Capybot



1. Robotización de los objetos.

Casos de diseño y prototipado mediante Impresión 3D y Arduino:

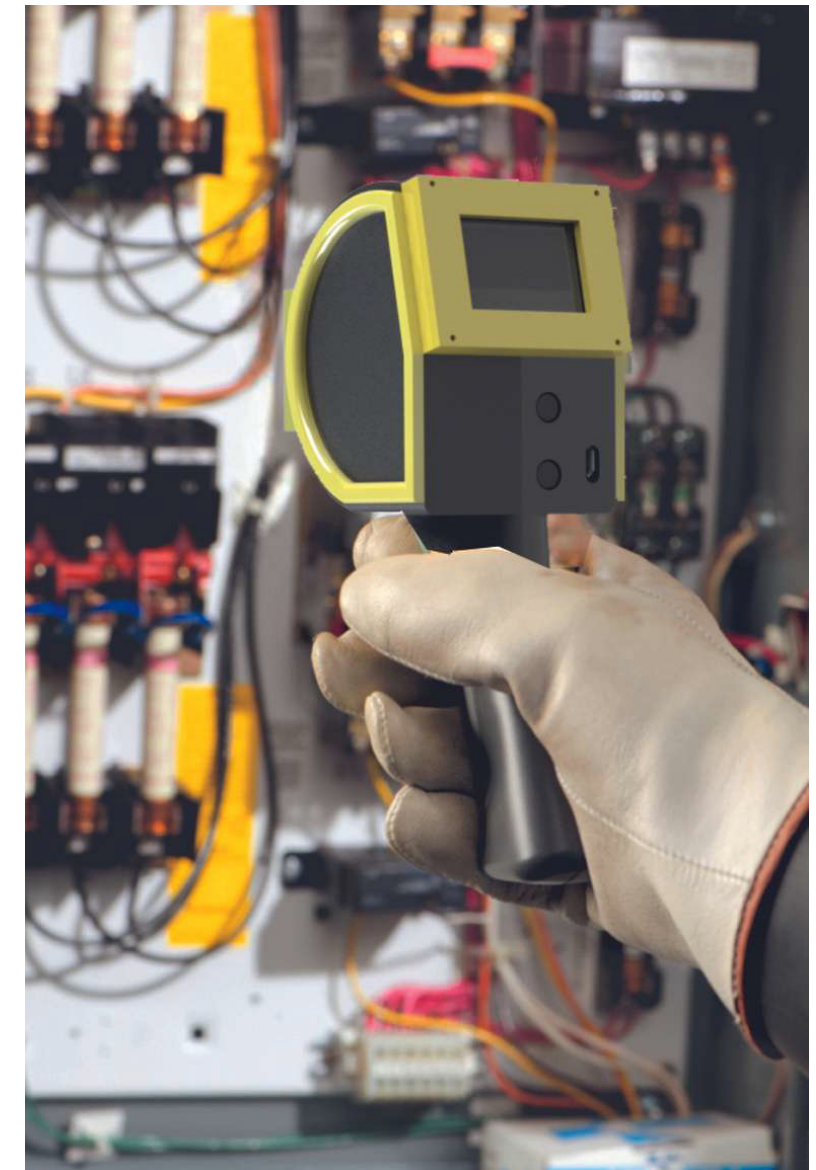
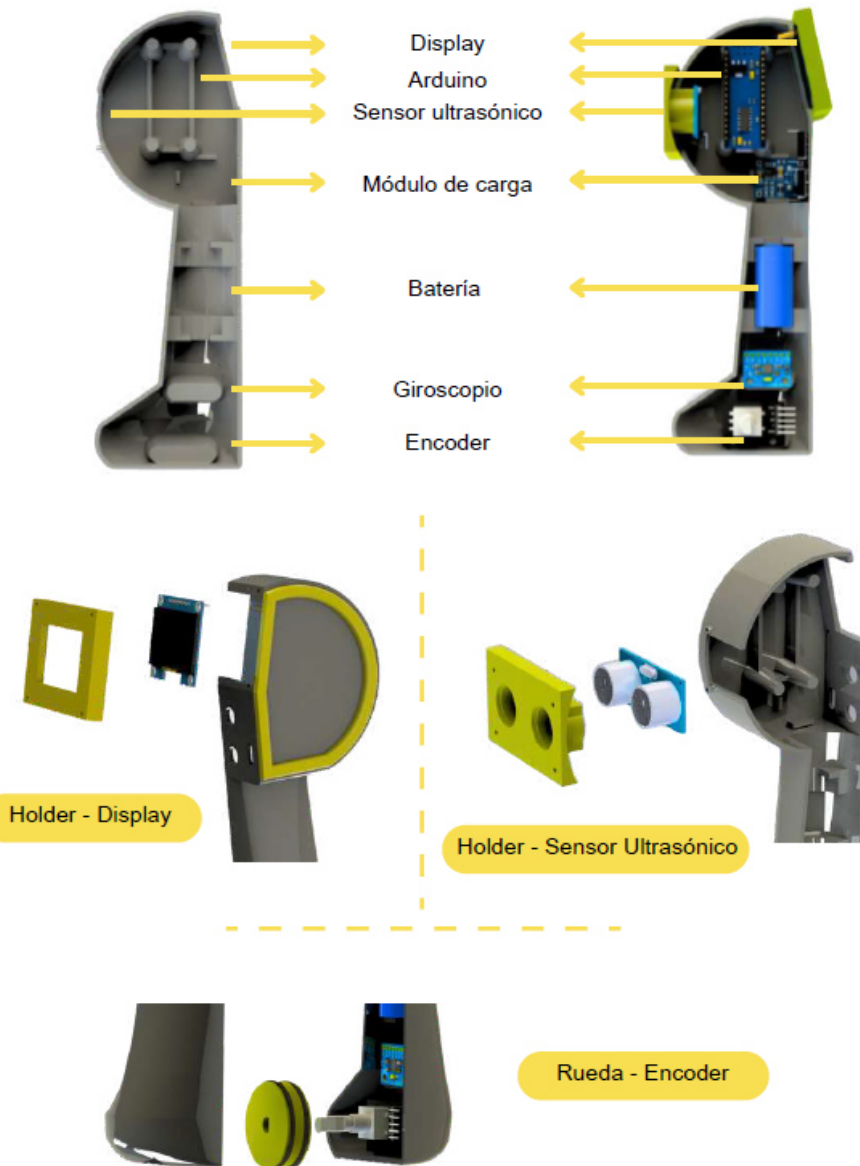
1.d. Papelero de apertura sin contacto Tuqui-Tuqui



1. Robotización de los objetos.

Casos de diseño y prototipado mediante Impresión 3D y Arduino:

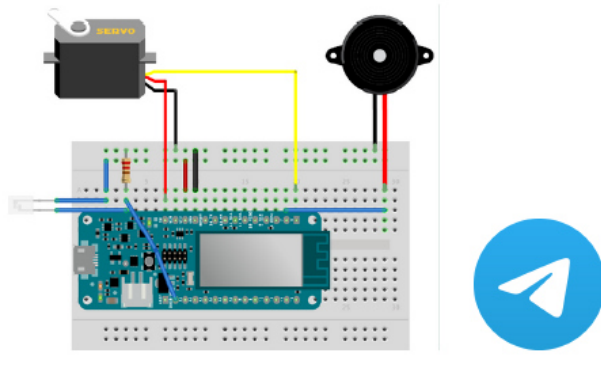
1.E. Medidor multifunción



1. Robotización de los objetos.

Casos de diseño y prototipado mediante Impresión 3D y Arduino:

1.F. Dispenser de alimento El gato de Pavlov



Placa Arduino MKR 1000



Servomotor 180° - 12 KgF



Buzzer (parlante)
20mm



Fototransistor lateral
(resistencia 220 ohmios)

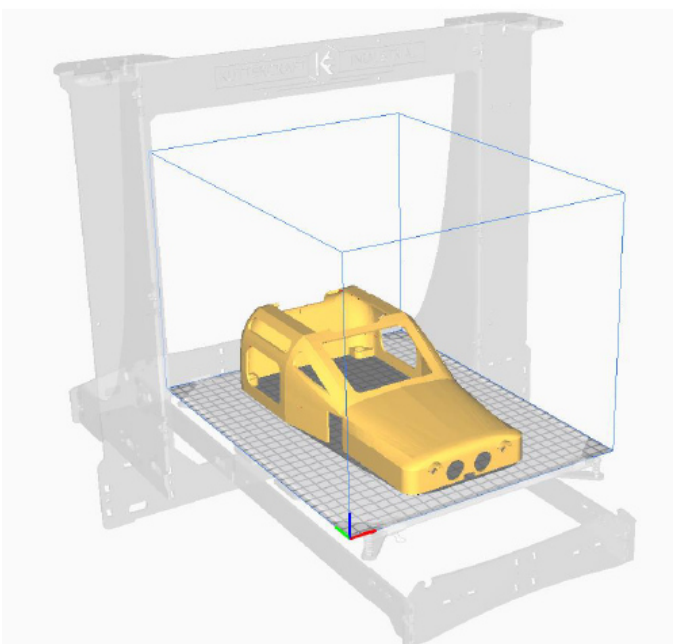


**Dispensador
inteligente de
alimento para gatos**
47hs - 700g

1. Robotización de los objetos.

Casos de diseño y prototipado mediante Impresión 3D y Arduino:

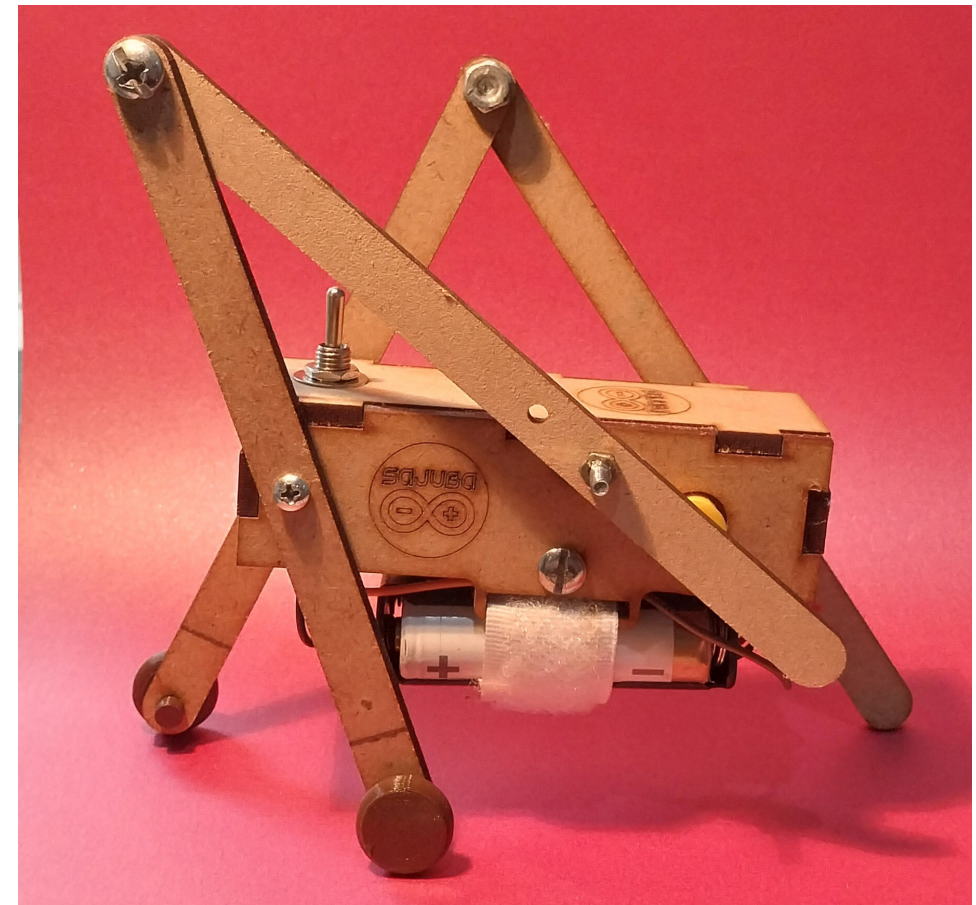
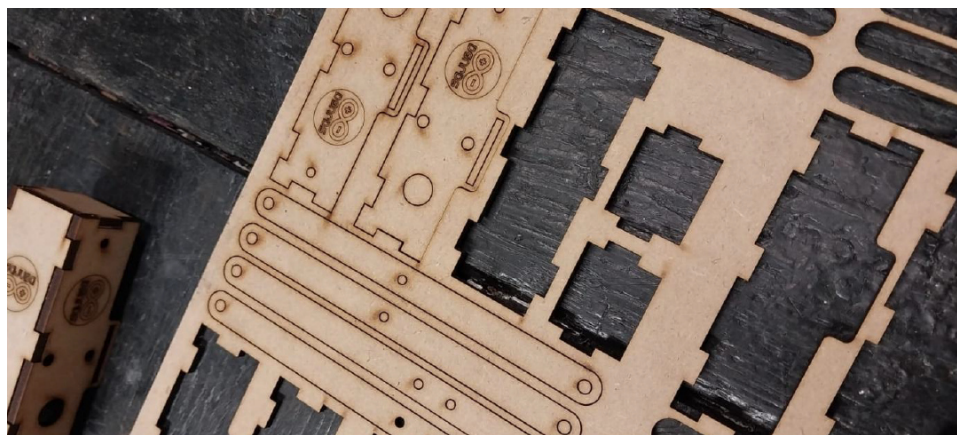
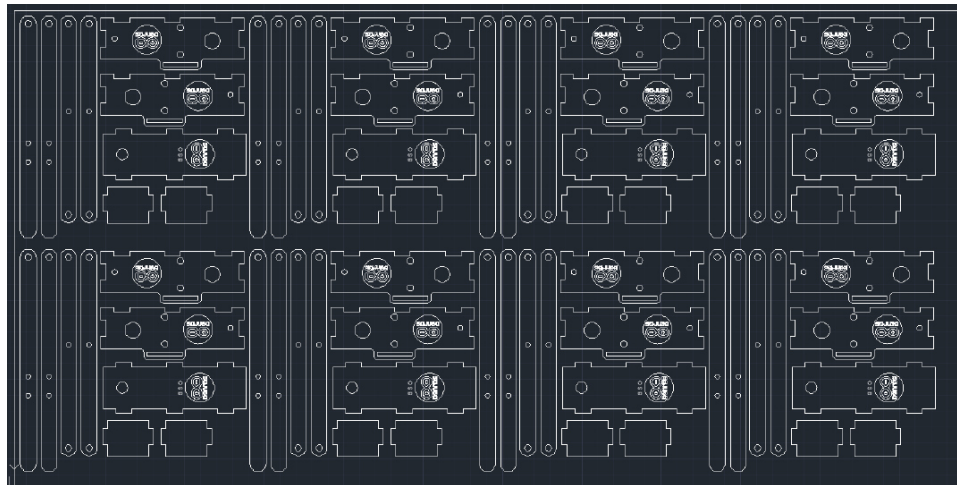
1.G. Robótica educativa “Cochecito”



1. Robotización de los objetos.

Caso de diseño y prototipado mediante corte laser CNC y Arduino:

1.H. Robótica educativa El Caminante



1. Robotización de los objetos.

Casos de diseño y prototipado mediante Impresión 3D y Arduino:

1.I. Robótica educativa SAJUBA, Fulbito



Descargar la App Arduino RC Car

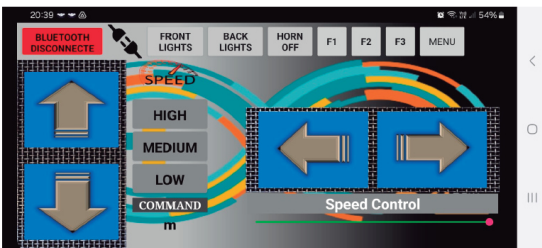
Activar el bluetooth en el celular

Abrir la App Arduino RC Car

Clickear en Bluetooth Disconnected



@ROBOTICA.SAJUBA



Buscar "SAJUBOTRJO"

En el caso de los fulbito se llaman: "DEFE-FULBITO" y "ARGENTINA"

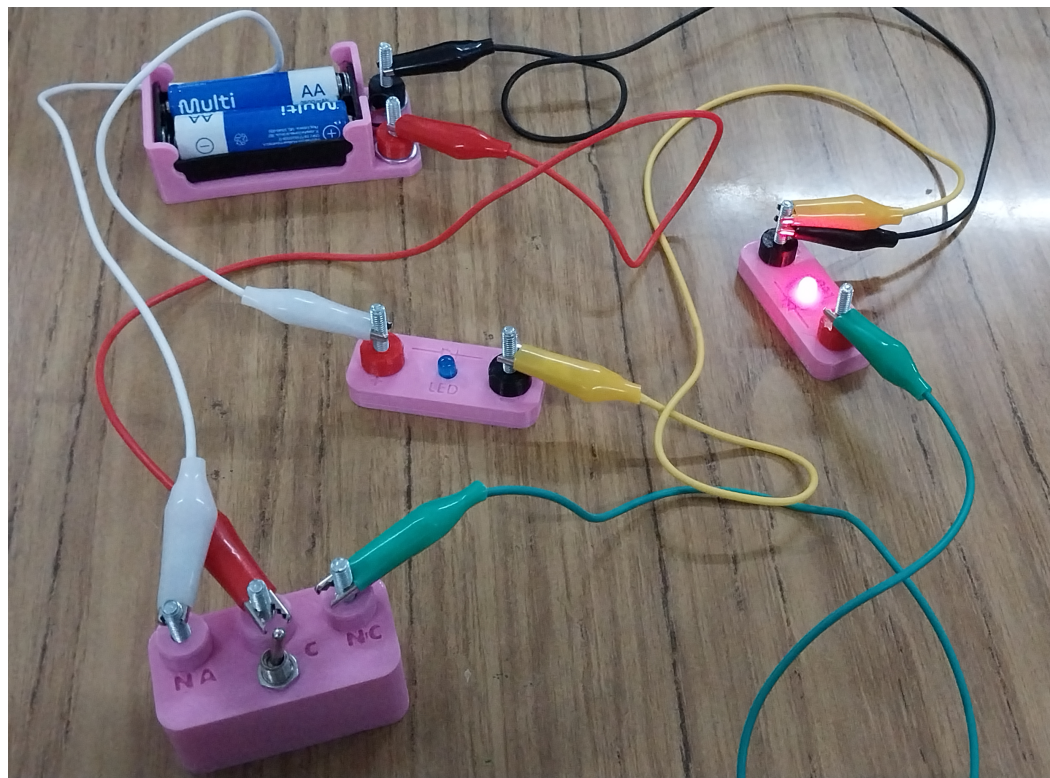


<https://www.instagram.com/robotica.sajuba/>

1. Robotización de los objetos.

Casos de diseño y prototipado mediante Impresión 3D y Arduino:

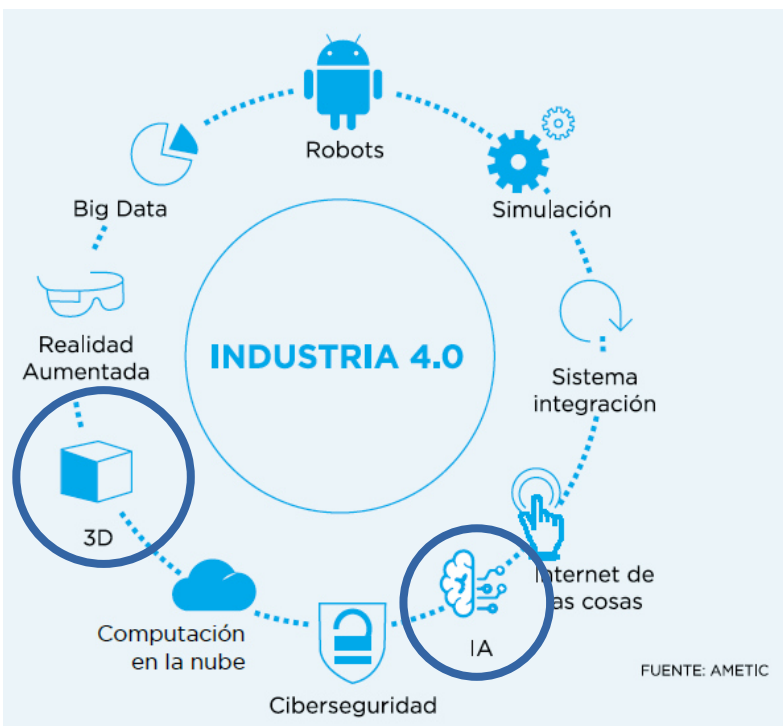
1.J. Robótica Educativa SAJUBA, Kit básico de electricidad



<https://www.instagram.com/robotica.sajuba/>

2. Inteligencia Artificial en el flujo de trabajo de diseño y fabricación digital

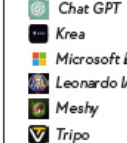
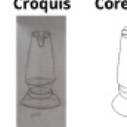
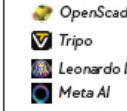
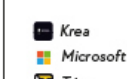
Casos de diseño asistido por IA e impresión 3D



	Estudiante		Tema	Espacio de docencia e investigación	Docente
A	Aragón	Amelia	Mate	Manufactura Digital 2024	Ruscitti Andrés
B	Arévalo	Leonardo	Juego de ajedrez 1		
C	Pedrozo	Santiago	Juego de ajedrez 2		
D	Saia	Andrés	Lapicero		
E	Campaña	Lucas	Macetas		
F	Tabernero	Victoria	Florero		
G	Tabernero	Victoria	Anillo plata		
H	Saia	Andrés	Anillo 3 copas		

2. Inteligencia Artificial en el flujo de trabajo de diseño y fabricación digital. Casos de diseño asistido por IA y prototipado digital

Herramientas de IA generativa empleadas en la ejercitación

ESTUDIANTE	OBJETO	BOCETO Y HERRAMIENTAS	DIBUJO VECTORIAL	IMAGEN 2D	MODELADO 3D	EDICIÓN DE MODELO 3D	PROTOTIPO
Aragón Amelia	Mate	 Chat GPT Krea Microsoft Bing Leonardo IA Meshy Tripo					
Arévalo Leonardo	Juego de ajedrez 1	 Chat GPT OpenScad	  				
Pedrozo Santiago	Juego de ajedrez 2	 Chat GPT Tripo Krea	 	 			
Campaña Lucas	Macetas	 OpenScad Tripo Leonardo IA Meta AI			 		
Tabernero Victoria	Florero	 Chat GPT Tripo					
Saia Andrés	Lapicero	 Krea Microsoft Bing Tripo					

2. Inteligencia Artificial en el flujo de trabajo de diseño y fabricación digital. Casos de diseño asistido por IA y prototipado digital

2.A. Mate

INTELIGENCIAS UTILIZADAS

 Chat GPT para la generación del prompt.

  KREA, LEONARDO.AI y MICROSOFT BING para la generación de imágenes del prompt.



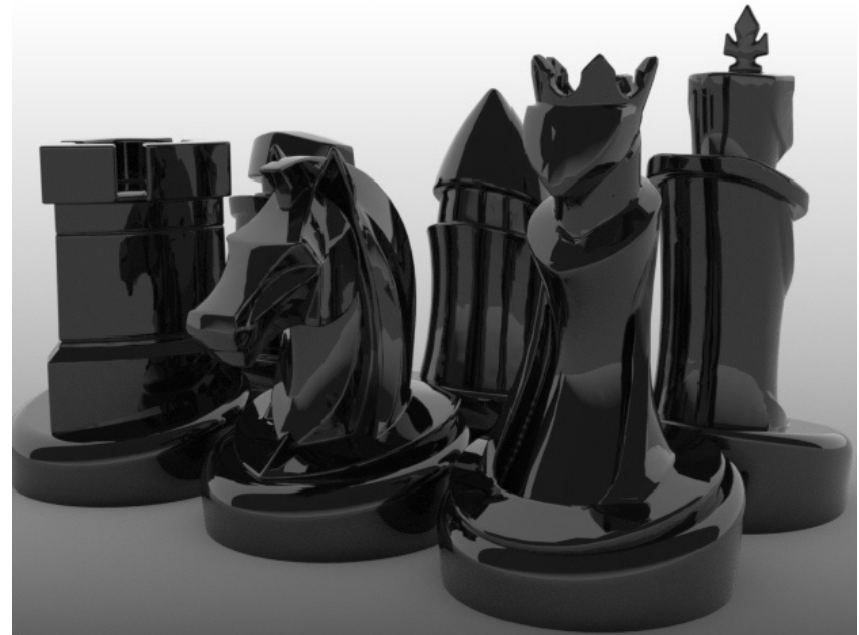
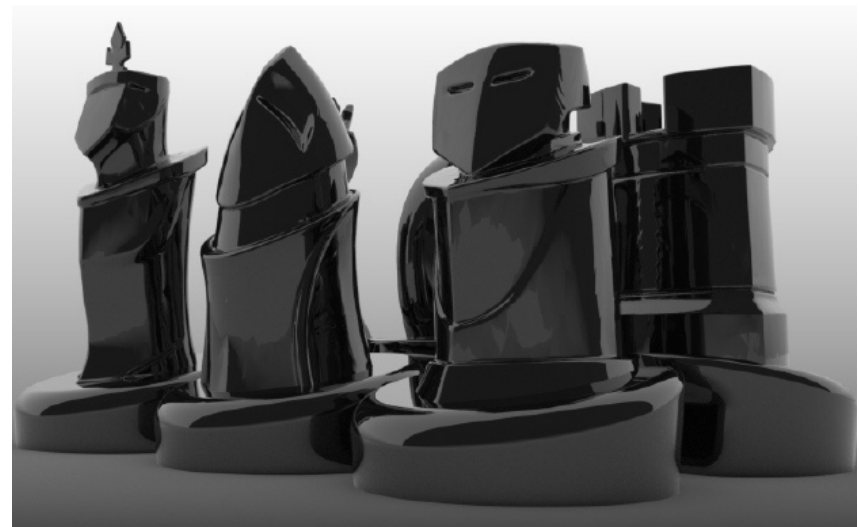
  MESHY y TRIPÓ para la generación del modelado 3D en formato malla, partiendo de las imágenes generadas.

SOLIDWORKS para la corrección del modelado 3D 



2. Inteligencia Artificial en el flujo de trabajo de diseño y fabricación digital. Casos de diseño asistido por IA y prototipado digital

2.B. Juego de ajedrez 1



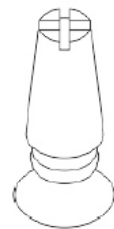
2. Inteligencia Artificial en el flujo de trabajo de diseño y fabricación digital. Casos de diseño asistido por IA y prototipado digital

2.C. Juego de ajedrez 2

Croquis



CorelDraw



Vizcom



Tripo

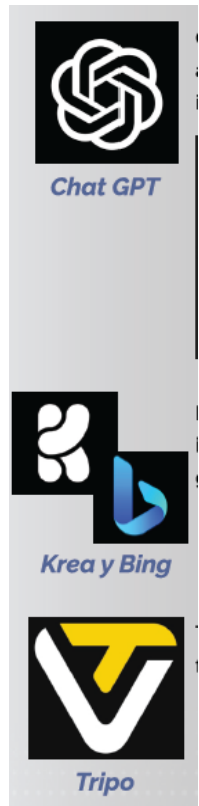


"chess piece with a pattern of grotesque veins on its surface texture with an Demon style"



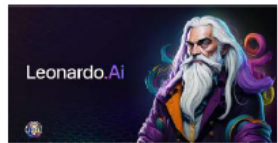
2. Inteligencia Artificial en el flujo de trabajo de diseño y fabricación digital. Casos de diseño asistido por IA y prototipado digital

2.D. Lapicero



2. Inteligencia Artificial en el flujo de trabajo de diseño y fabricación digital. Casos de diseño asistido por IA y prototipado digital

2.E. Macetas



Posteriormente de tener una imagen, se pasara la imagen por TRIPOLI AI, donde esta la transforma en un modelado 3D.



Posteriormente pasarlo por el programa Meshmixer para bajarle la cantidad de polígonos (malla)

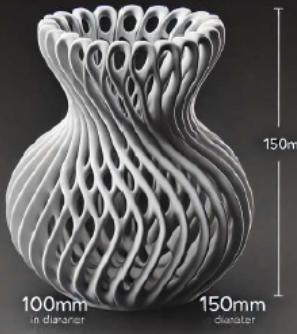


2. Inteligencia Artificial en el flujo de trabajo de diseño y fabricación digital. Casos de diseño asistido por IA y prototipado digital

2.F. Florero

Chat Gpt generador de imágenes 08

"Chat genera una imagen que demuestre que el objeto que creaste tiene profundidad y no se queda en una sola foto de plano frontal, rehace la imagen que creaste primero y hazla parecer 3D, vaciada para que sirva de florero y con agujeros huecos".



"Podrías simplificarla, para imprimir en 3D"

Ejemplo 3

"He creado una versión simplificada del jarrón con un diseño de patrones circulares huecos y una forma adecuada para impresión 3D. Este jarrón tiene una base de 100x100 mm y una altura de 150 mm, con un ensanchamiento en el medio. La estructura está diseñada para ser imprimible en plástico, con un espesor de pared consistente y sin detalles excesivamente complejos".

-Chat GPT-



Ejemplo 4

09 Tripo y Chat Gpt

Partiendo de la imagen generada por Chat GPT, utilicé un segundo programa que genera modelados 3D de mallas a partir de imágenes. TRIP.

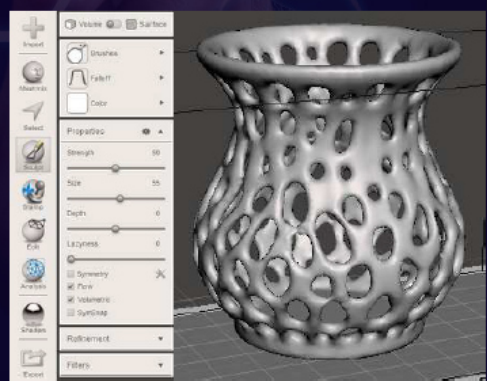


Modelado TRIP

Meshmixer

Al tener un modelado en formato de mallas, una forma de suavizarlo es a través de un tercer programa, Meshmixer.

Pude corregir algunos errores, agregando material y suavicé los agujeros para obtener el mejor resultado posible a la hora de imprimir.



2. Inteligencia Artificial en el flujo de trabajo de diseño y fabricación digital. Casos de diseño asistido por IA y prototipado digital

2.G. Anillo plata



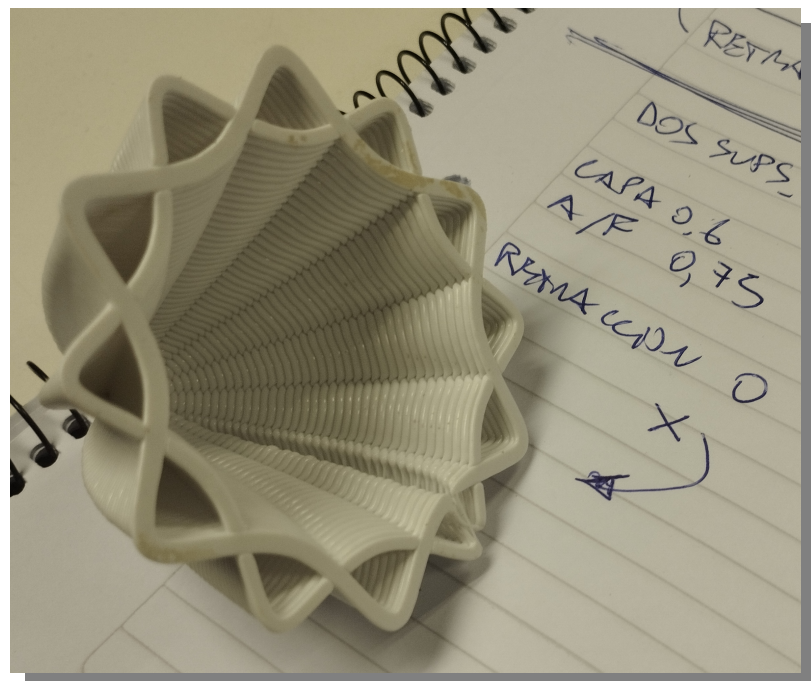
2. Inteligencia Artificial en el flujo de trabajo de diseño y fabricación digital.
Casos de diseño asistido por IA y prototipado digital

2.H. Anillo 3 Copas



3. Diseño asistido por algoritmos y fabricación digital

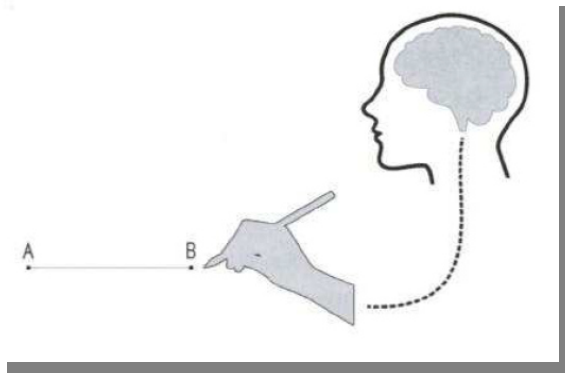
Exploración morfológica de impresión 3D de plástico, cerámica y textiles mediante Grasshopper®



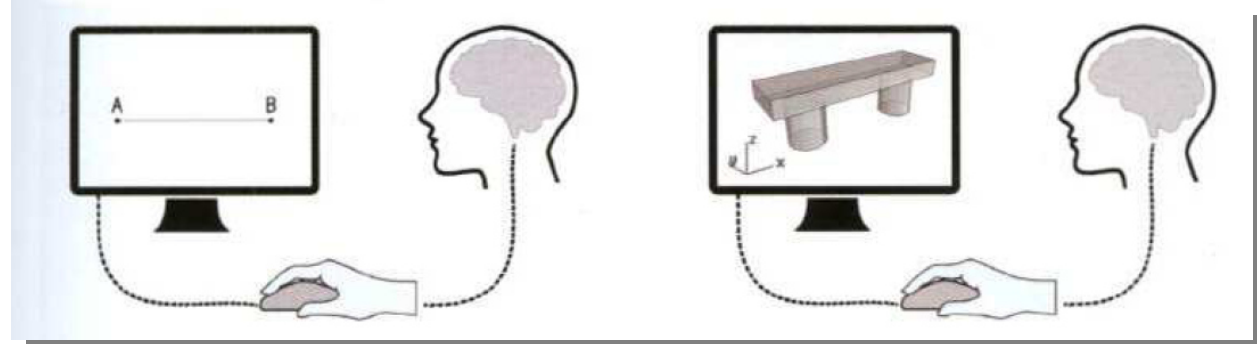
	Estudiante auxiliar de I+D	Tema	Docente investigador ** CETMIC (CIC – UNLP – CONICET)	Espacio de docencia e investigación
A	Roldán Lautaro	Piezas de PLA demostrativas de programación de impresión 3D en grasshopper	Ruscitti Andrés, Matías Mendoza	AH 2022 – 2024
	Harrdos Eteban	Fanales cerámicos impresos 3D		
B	Yocco Melina	Variaciones paramétricas de ondas sobre un domo	Ruscitti Andrés	AH 2019-2020
	Vernarelli Pilar			
C		Variaciones paramétricas de ondas sobre un domo	Ruscitti Andrés	
D		Cuencos por capas alternadas		
E	Piccirilli Juan	Diseño e impresión 3D de una serie de piezas cerámicas basadas en las ollas de la alfarería tradicional de Casira	Ruscitti Andrés, Rendtorff Nicolás* Serra Florencia* Paltrinieri Agustina* (2021)	
F		Diseño paramétrico y producción por impresión 3D de una serie de ocho piezas huecas tramadas en cerámica	Ruscitti Andrés Rendtorff Nicolás* Tapia Clara Serra Florencia* (2021)	
G		Tramas textiles	Tapia Clara	

Diseño asistido por algoritmos

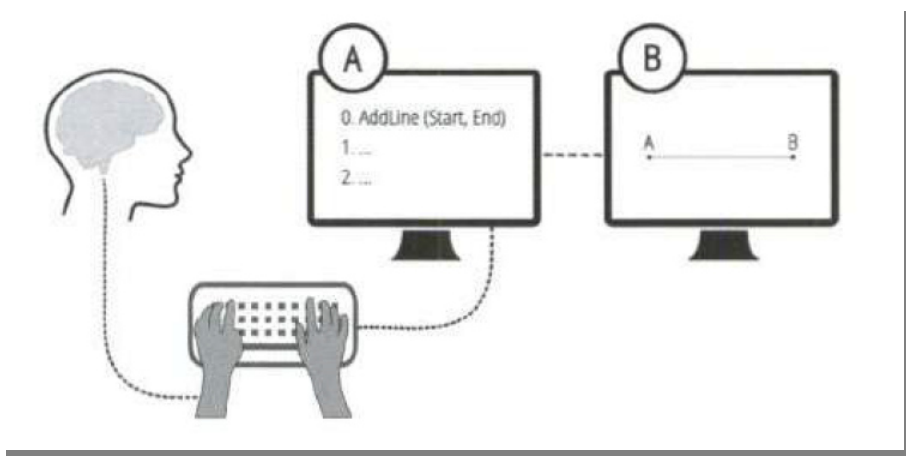
* Elaboración propia en base a Tedeschi, A. (2014). AAD Algorithms-Aided Design (14th edition). Le Penseur.



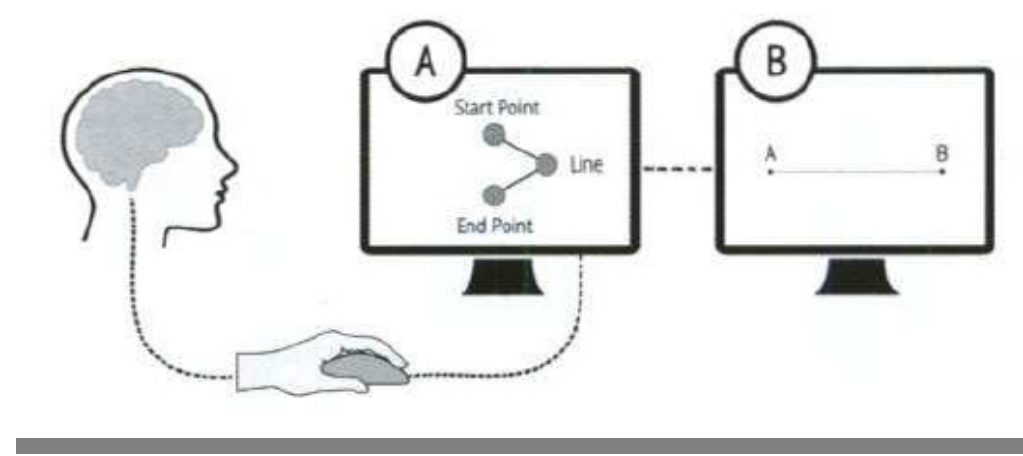
El acto de dibujar a mano con lápiz y papel es un gesto natural que establece un enlace directo entre ideas y signos.



En el diseño en el plano o en el espacio asistido por computadora (CAD), el mouse sigue siendo una prolongación del cerebro. Simula la «presencia» de la mano en el entorno digital.



En el modelado algorítmico basado en programación de *scripts*, las manos ingresan el texto del algoritmo en el editor(A), que genera una geometría en el entorno de modelado 3D (B)



En un software de modelado algorítmico basado en programación visual, como Grasshopper®, un algoritmo se crea mediante recursos gráficos sin la complejidad de escribir el script. El diagrama paramétrico tiene el potencial de crear modelos asociativos que exploran múltiples configuraciones mediante el control de los parámetros de entrada

3. Diseño asistido por algoritmos y fabricación digital

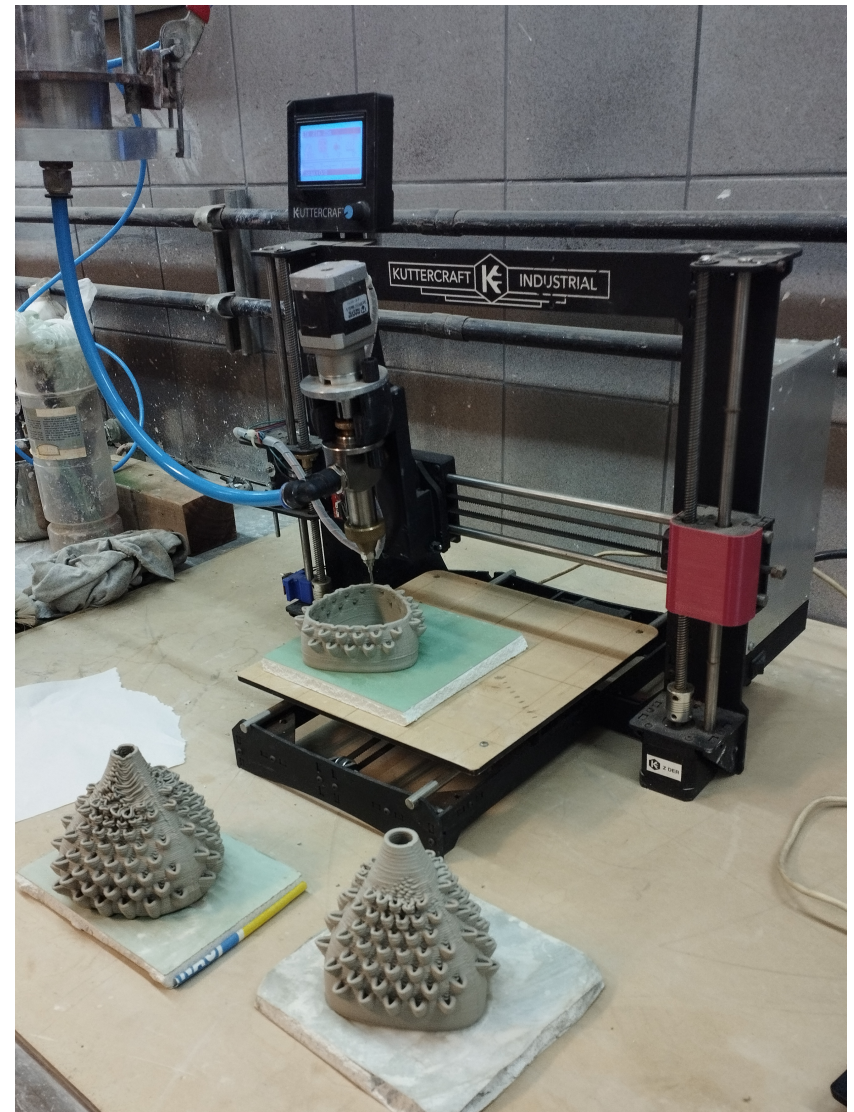
Exploración morfológica de impresión 3D de plástico, cerámica y textiles mediante Grasshopper®

3.A. Piezas de PLA demostrativas de programación de impresión 3D en Grasshopper®



3. Diseño asistido por algoritmos y fabricación digital
Exploración morfológica de impresión 3D de plástico, cerámica y textiles mediante
Grasshopper®

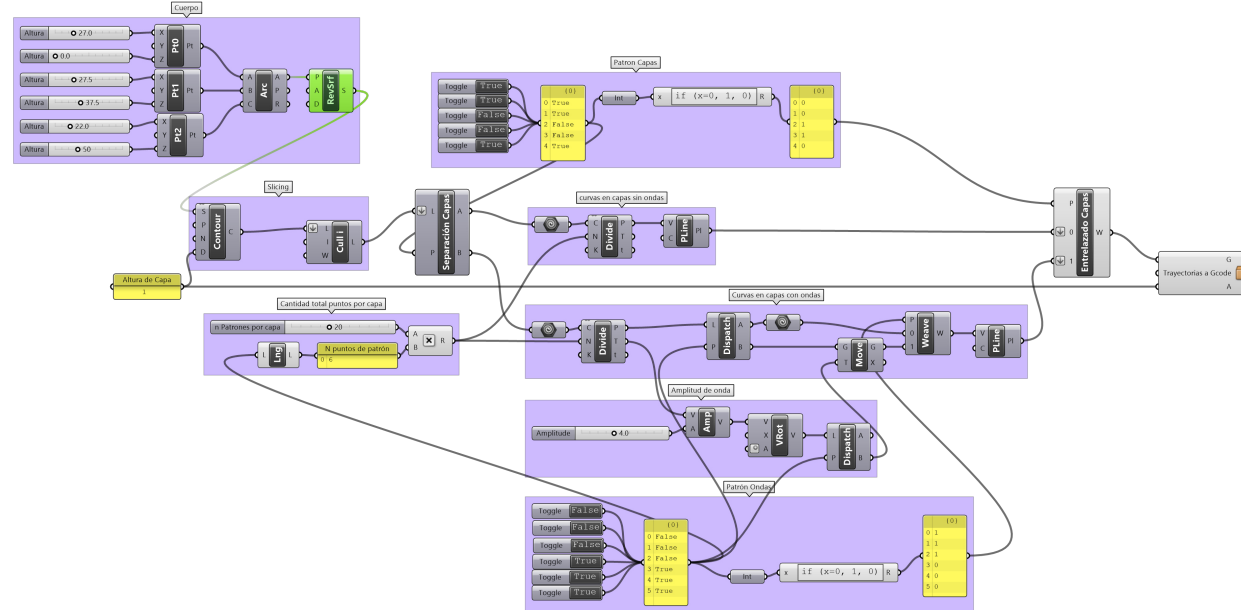
3.B. Fanales cerámicos impresos 3D



3. Diseño asistido por algoritmos y fabricación digital

Exploración morfológica de impresión 3D de plástico, cerámica y textiles mediante Grasshopper®

3.C. Variaciones paramétricas de lazos



Pieza #	A	B	C
Patrón de capas	00010	00100	11100
N ondas por capa	20	10	10
Amplitud de onda	4	8	8
Patrón de onda	100000		



Pieza #													
Patrón de capas	A	B	C	D	E	F	G	H	I	J	K	L	
Capa #	00010	00100	11100	11000	11000	00010	00010	00010	00010	00010	00110	00110	
	0,5,...	True	True	False	False	False	True	True	True	True	True	True	
	1,6,...	True	True	False	False	False	True	True	True	True	True	True	
	2,7,...	True	False	False	True	True	True	True	True	True	False	False	
	3,8,...	False	True	False	True	True	False	False	False	False	False	False	
N Ondas por capa	4,9,...	True	True	True	True	True	True	True	True	True	True	True	
	20	10	10	20	20	20	20	10	10	10	10	20	
	4	8	8	8	4	4	4	4	8	4	2	2	
	Amplitud de onda	4	8	8	4	4	4	4	8	4	2	4	
	Patrón de onda	100000 (onda de 1 punto de cresta, 5 de valle)						111000 (onda de 3 puntos de cresta, 3 de valle)					
# punto de capa	0,6,...	False	False	False	False	False	False	False	False	False	False	False	False
# punto de capa	1,7,...	True	True	True	True	True	True	True	True	True	True	True	True
	2,8,...	True	True	True	True	True	True	True	True	True	True	True	True
	3,9,...	True	True	True	True	True	True	True	True	True	True	True	True
	4,10,...	True	True	True	True	True	True	True	True	True	True	True	True
	5,11,...	True	True	True	True	True	True	True	True	True	True	True	True

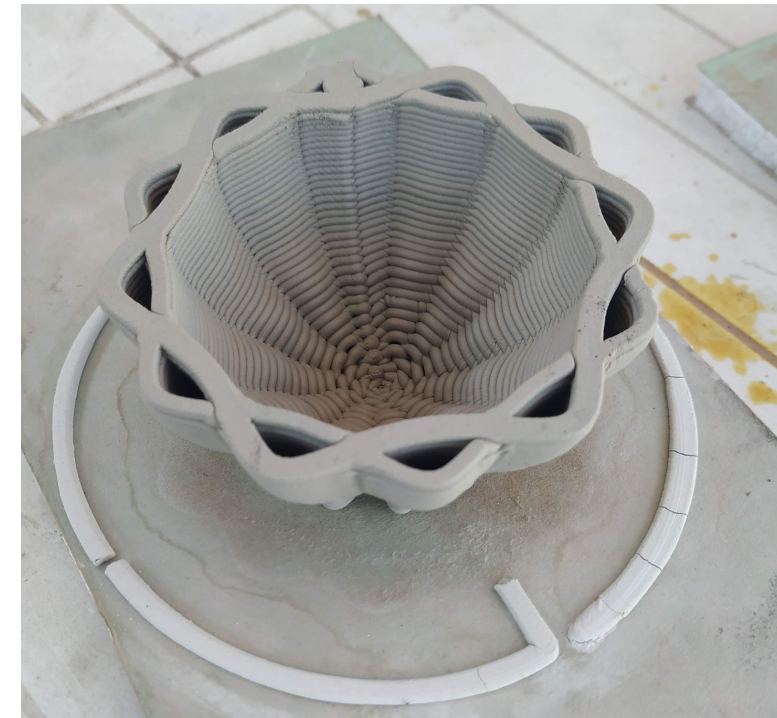
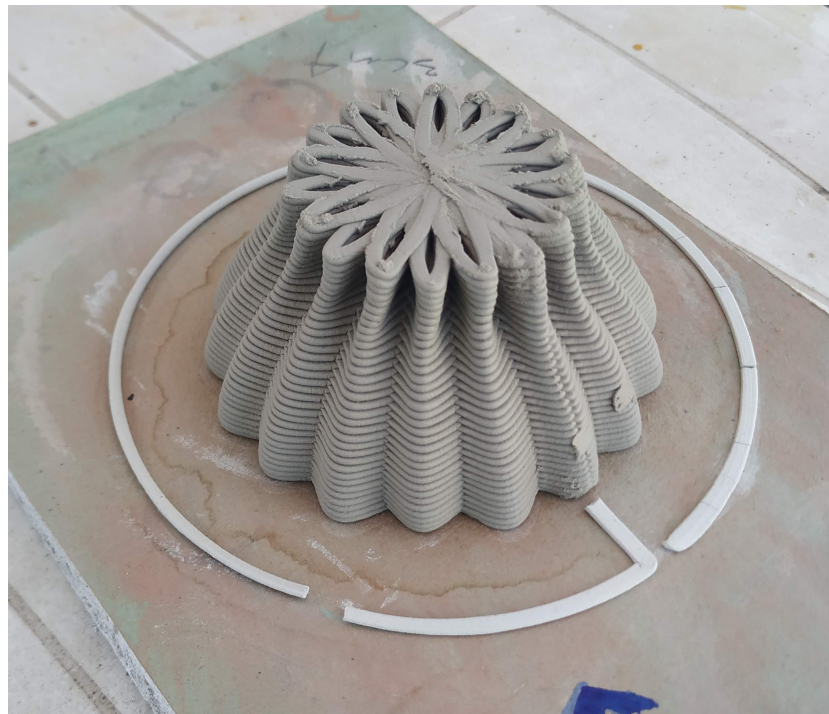
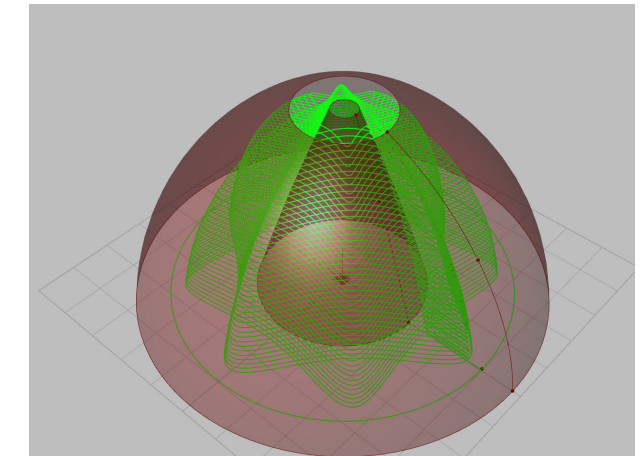
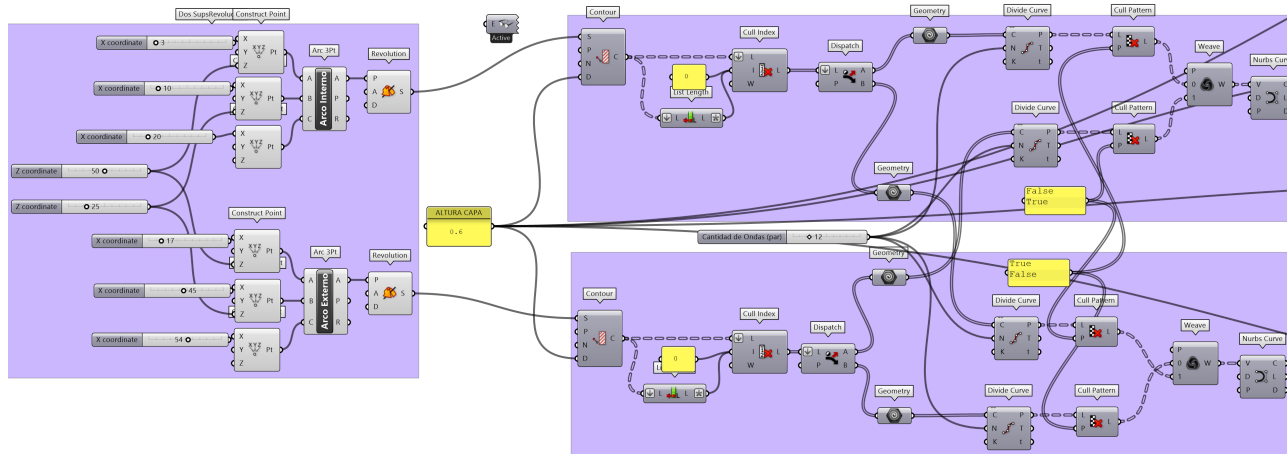
Pieza #	D	E	F
Patrón de capas	11000	11000	00010
N ondas por capa	10	20	20
Amplitud de onda	8	4	4
Patrón de onda	100000		



3. Diseño asistido por algoritmos y fabricación digital

Exploración morfológica de impresión 3D de plástico, cerámica y textiles mediante Grasshopper®

3.D. Canastas, capas alternadas



3. Diseño asistido por algoritmos y fabricación digital

Exploración morfológica de impresión 3D de plástico, cerámica y textiles mediante Grasshopper®

3.E. Diseño e impresión 3D de una serie de piezas cerámicas basadas en las ollas de la alfarería tradicional de Casira <https://doi.org/10.18294/rdi.2021.177283>

Diseño e impresión 3D de una serie de piezas cerámicas basadas en las ollas de la alfarería tradicional de Casira.

Autores

Andrés Federico Ruscitti^{(a)*}, Paltrinieri Agustina^(b), María Florencia Serra^(b), Nicolás Maximiliano Rendtorff Birrer^(bc)

a. Laboratorio de Diseño, Departamento de Humanidades y Artes, Universidad Nacional de Lanús, 29 de Septiembre 3901, Remedios de Escalada (1826), Buenos Aires, Argentina.

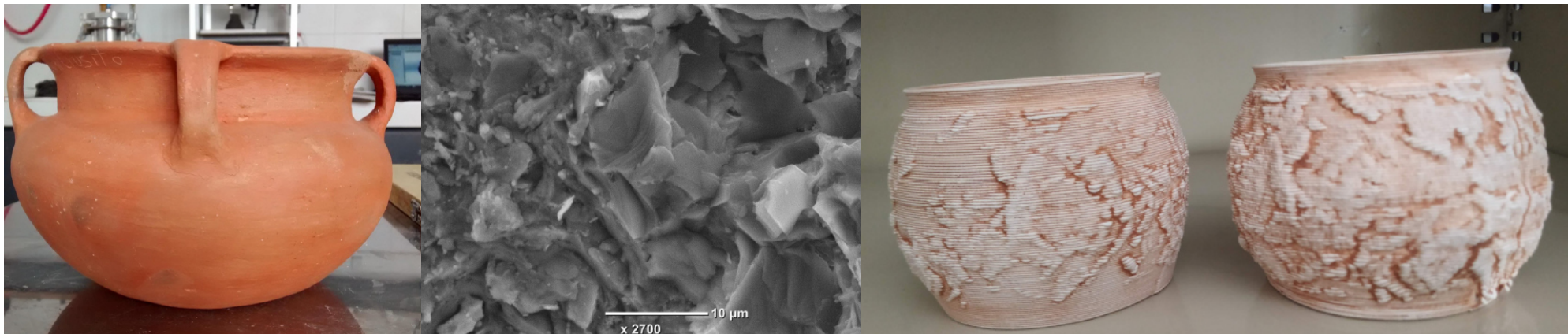
b. CETMIC Centro de Tecnología de Recursos Minerales y Cerámica (CIC-CONICET La Plata-UNLP) Cno Centenario y 506 M.B. Gonnet (1897), Buenos Aires, Argentina.

c. Departamento de Química, Facultad de Ciencias Exactas, Universidad Nacional de La Plata, 47 y 115, La Plata 1900 Buenos Aires, Argentina.

*autor responsable : aruscitti@unla.edu.ar

Informe técnico: El presente documento de trabajo se ha realizado en el marco del proyecto “Desarrollo de una tecnología de impresión 3D por sistema de extrusión-deposición de materiales cerámicos” de la convocatoria a Proyectos de Investigación Orientados de la Universidad Nacional de Lanús y el Consejo Nacional de Investigaciones Científicas y Técnicas PIO UNLa-CONICET 2016-2017

Agosto 2021



3. Diseño asistido por algoritmos y fabricación digital

Exploración morfológica de impresión 3D de plástico, cerámica y textiles mediante Grasshopper®

3.F. Diseño paramétrico y producción por impresión 3D de una serie de ocho piezas huecas tramadas en cerámica <https://doi.org/10.18294/rdi.2021.177284>

Diseño paramétrico y producción por impresión 3D de una serie de ocho piezas huecas tramadas en cerámica



Autores

Andrés Federico Ruscitti^{(a)*}, Clara Tapia^(a), Juan Piccirilli^{(a)**}, María Florencia Serra^(b), Nicolás Maximiliano Rendtorff^(bc)

a Laboratorio de Diseño, Departamento de Humanidades y Artes, Universidad Nacional de Lanús, 29 de Septiembre 3901, Remedios de Escalada (1826), Buenos Aires, Argentina.

b CETMIC Centro de Tecnología de Recursos Minerales y Cerámica (CIC-CONICET La Plata-UNLP) Cno Centenario y 506 M.B. Gonnet (1897), Buenos Aires, Argentina.

c Departamento de Química, Facultad de Ciencias Exactas, Universidad Nacional de La Plata, 47 y 115, La Plata 1900 Buenos Aires, Argentina.

*autor responsable: aruscitti@unla.edu.ar

** estudiante becario

Informe técnico: El presente documento de trabajo se ha realizado en el marco de los proyectos: “Desarrollo de una tecnología de impresión 3D por sistema de extrusión-deposición de materiales cerámicos” de la convocatoria a Proyectos de Investigación Orientados de la Universidad Nacional de Lanús y el Consejo Nacional de Investigaciones Científicas y Técnicas PIO UNLa-CONICET 2016-2017; y “Aplicaciones de la manufactura aditiva por extrusión de pastas cerámicas en el diseño de joyería contemporánea” de la convocatoria Amílcar Herrera 2019 de la UNLa.

Agosto 2021

Pieza N. ^o			1	2	3	4	5	6	7	8
Sólido unión cuerpo de revolución y matriz de crestas										
Superficie de revolución	Pt 3 (mm)	X3 Z3	50	40	40	50	45	30	30	45
Puntos de arco generatriz definido por tres puntos	Pt 2 (mm)	X2 Z2	35	52,5	52,5	35	30	55	52,5	30
	Pt 1 (mm)	X1 Z1	35	35	35	45	40	40	40	40
	100 50 0									
Crestas	Control bezier curva directriz									
	Radio polígono sección (mm)			3	5	3	5	10	10	5
	Repeticiones matriz crestas			30	20	30	20	12	12	12



3. Diseño e impresión 3D asistida por algoritmos

Exploración morfológica de impresión 3D de plástico y cerámica mediante Grasshopper®®

3.G. Tramas textiles, Fabricación digital en la cadena de valor textil

I3D- SLS- Accesorios



Clinica de Innovación y nuevas tecnologías para Indumentaria y Joyería – Di Clara Tapia

I3D- Sobre cuero



I3D- Sobre cuero



I3D- Sobre textiles

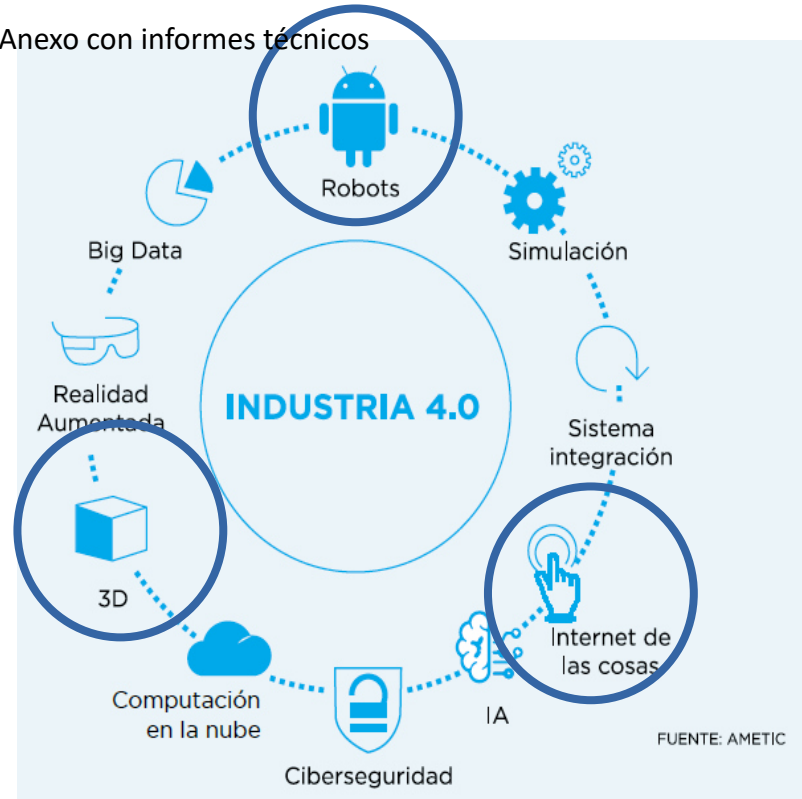


Herramientas de la industria 4.0 en la formación tecnológica del diseño industrial

Parte 1. Robotización de los objetos

Casos de diseño y prototipado mediante Impresión 3D y Arduino

Anexo con informes técnicos



	Estudiante		Tema	Espacio de docencia e investigación	Docente
A	Tabernero	Victoria	Maceta inteligente Emotiva Lámpara de joyero Robot didáctico Capybot Papelero de apertura sin contacto Tuqui-Tuqui	Tecno _IV Lic DI 2024	Ruscitti, Andrés Mendozzi Matías
	Díaz	Lautaro			
B	Aramayo	Alejandro			
	Ocera	Luciano			
Zapata	Andrés				
C	Aragón	Amelia			
	Saia	Andrés			
D	Benitez	Gustavo			
	Broche	Elias			
Zitizenmaier	Erik				
Gonzalez Gamboa	Litxay				
E	Begue	Nicolás	Medidor multifunción	Tecno IV 2023	
	Botrugno	Estefania			
Liotti	Mariano				
F	Rodriguez	Franco	Dispenser de alimento El gato de Pavlov		
	Sardi	Nicolas			
Díaz	Camila				
G	Weimer	Martín	cochecito	Aditivas ETFD 2024	Ruscitti Andrés
H			el caminante	Sustractivas ETFD 2024	Juan Pazo
I			fulbito	Robotica Educativa SAJUBA	
J			Kit electricidad		

EMOTIVA

Tu nueva maceta amiga



EMOTIVA es genial para personas que:

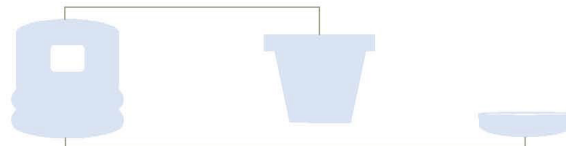
- Que no saben cuidar plantas
- Les gustan las nuevas tecnologías
- Necesitan compañía
- Quieren ambientar el espacio y que les pregunten por su maceta "EMOTIVA"

"EMOTIVA llegó para solucionarte la vida"

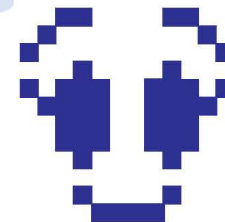


Ideal para decorar cualquier espacio de la casa, la ofi o tu negocio.

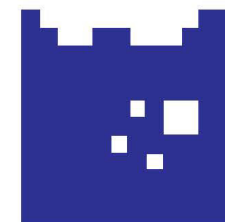
EMOTIVA



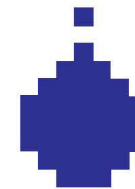
Tu nueva maceta amiga



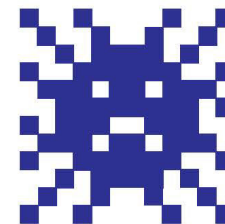
“Estoy feliz”



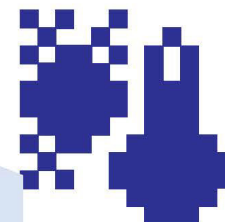
“Tengo una sobre hidratación”



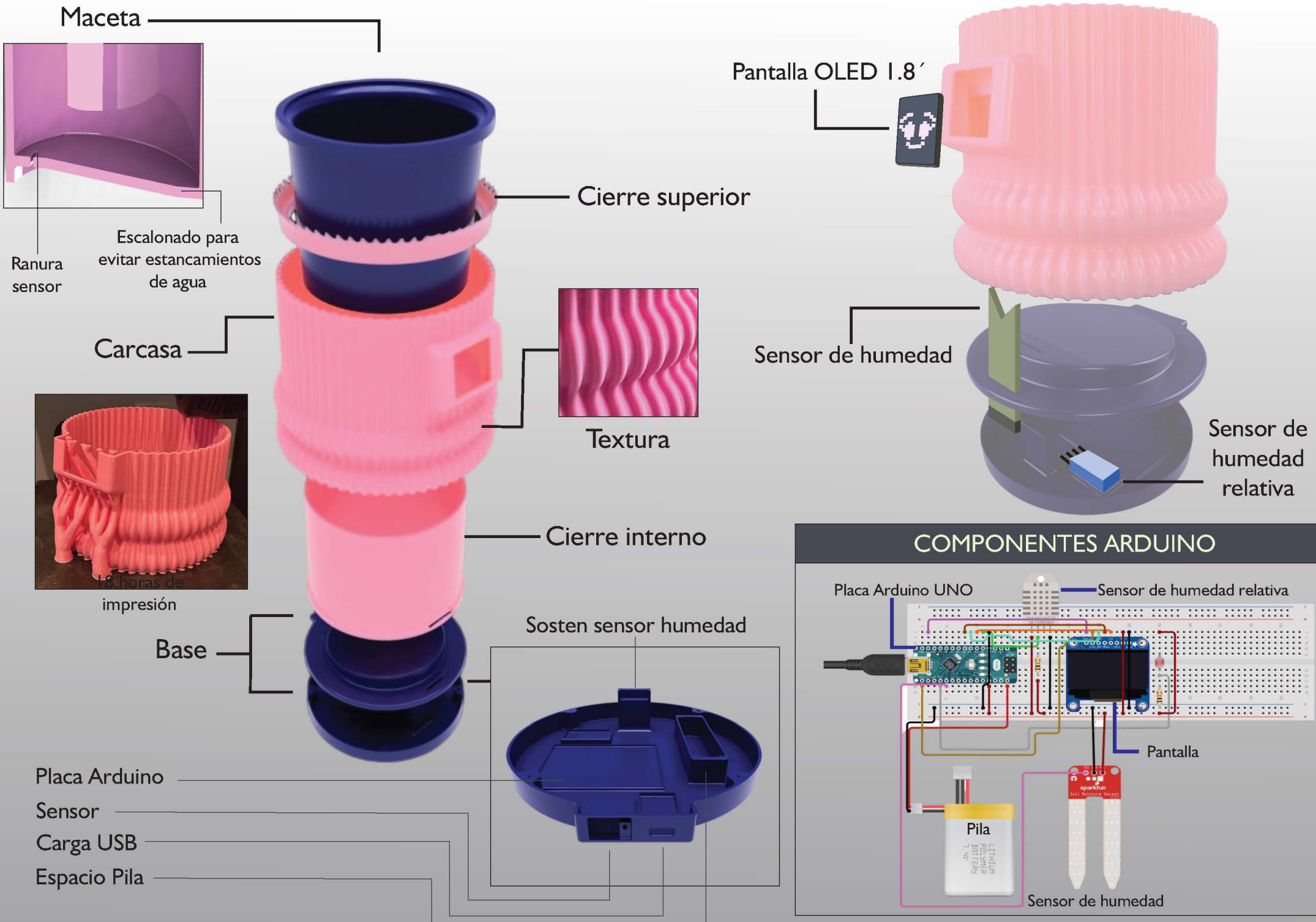
“Hidratame, por favor”



“Dame sol”



“Sombra, por favor”





Lampara de Joyero

Producto de iluminación de escritorios, destinado a áreas de trabajo donde se realicen tareas que requieran de una gran precisión.



Características del producto

La lampara se encuentra construida sobre un brazo articulado, el cual permite al usuario posicionar la misma en el lugar deseado de forma rápida y sencilla.

Mediante los sensores incorporados, el accionar de la lampara se realiza al detectar movimientos, encendiendo los LEDS de iluminación y ajustando su intensidad de forma automática en función de su posición relativa a la superficie de trabajo

Cuenta con una lupa la cual facilita la realización de trabajos de precisión

Sensores funcionales

La lampara dispone de dos sensores para cada funcionalidad:

-**Sensor de Movimiento:** para el encendido y apagado

-**Sensor Ultrasonido:** para el ajuste de la intensidad lumínica en función de proximidad a la superficie



Tecnología Materiales y Procesos IV
TP N3 – Impresión FDM + Arduino

Lampara de Joyero
Producto de iluminación de escritorios, destinado a áreas de trabajo donde se realicen tareas que requieran de una gran precisión.

Ámbito
El producto posee la finalidad de brindar iluminación al usuario mientras este desempeña sus tareas de precisión destinadas a la joyería. En términos generales, podemos establecer dos situaciones de uso claras: iluminación general del espacio de trabajo, fijando la posición de la lampara de determinada forma que se encuentre iluminando a nivel general la mesa de trabajo o iluminación de una zona/proyecto particular. En este caso, mediante las posibilidades de movimiento que brinda el brazo articulado, sumando al la lupa que posee la lampara en el centro del usuario tiene la posibilidad de "selección" la iluminación sobre un objeto en particular para realizar tareas de precisión.

Situación de uso

Características del producto
La lampara se encuentra construida sobre un brazo articulado, el cual permite al usuario posicionar la misma en el lugar deseado de forma rápida y sencilla. Mediante los sensores incorporados, el accionar de la lampara se realiza al detectar movimientos, encendiendo los LEDS de iluminación y ajustando su intensidad de forma automática en función de su posición relativa a la superficie de trabajo. Cuenta con una lupa la cual facilita la realización de trabajos de precisión.

Sensores funcionales

Funcionamiento del producto



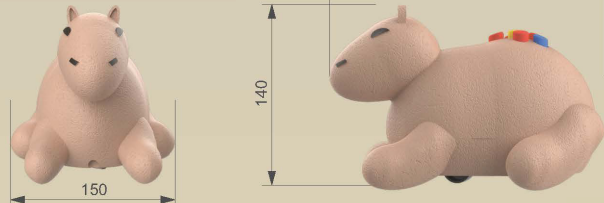
CAPYBOT

Robot didáctico Arduino



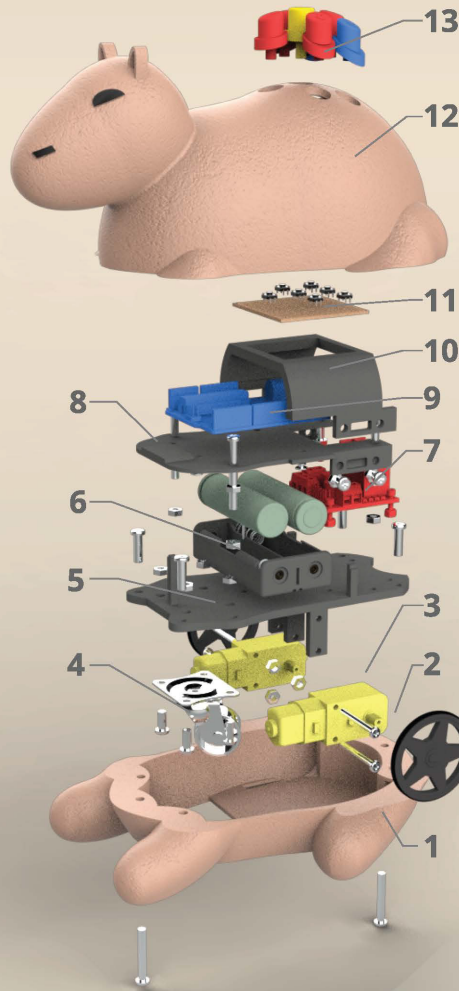
CAPYBOT es un robot didáctico con tecnología Arduino. Es un robot pensado para educación inicial, el cual potencia y alimenta la enseñanza y pensamiento en niños. Su interfaz amigable permite a los estudiantes programar movimientos secuenciales, promoviendo el pensamiento lógico y la resolución de problemas.

Dimensiones



CAPYBOT

Enfoque técnico

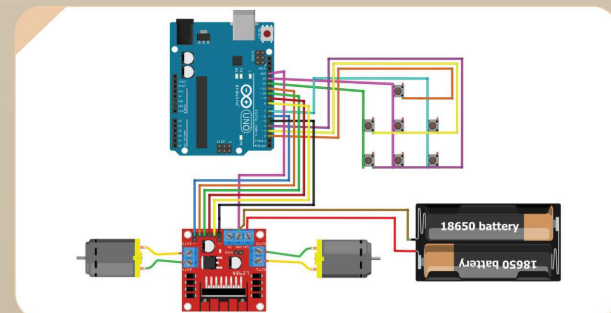


- | | |
|-----------------------|-------------------------------|
| 1-Carcasas inferiores | 8-Chasis medio |
| 2-Ruedas | 9-Arduino Uno |
| 3-Motores | 10-Chasis superior |
| 4-Rueda loca | 11-Botonera-Matriz de botones |
| 5-Chasis inferior | 12-Carcasa superior |
| 6-Baterías | 13-Botones |



Funcionamiento (diagrama)

El Capybot está compuesto por un Arduino Uno, un puente H L298N y dos motores controlados por este último. Las baterías 18650 alimentan tanto al Arduino como al puente H, que a su vez gestiona la potencia para los motores. Los movimientos del Capybot son programados mediante una matriz de botones 3x3, conectada a los pinos digitales del Arduino



CAPYBOT

Usuario y entorno



Capybot es un robot educativo diseñado para que los niños aprendan a programar de manera divertida. Con simples botones, pueden darle instrucciones como avanzar, retroceder, girar o pausar. Al presionar "go", el Capybot sigue los comandos en orden. Es ideal para jugar y aprender en casa o en la escuela, ayudando a los niños a entender cómo funciona la secuencia de movimientos y la lógica básica de programación.

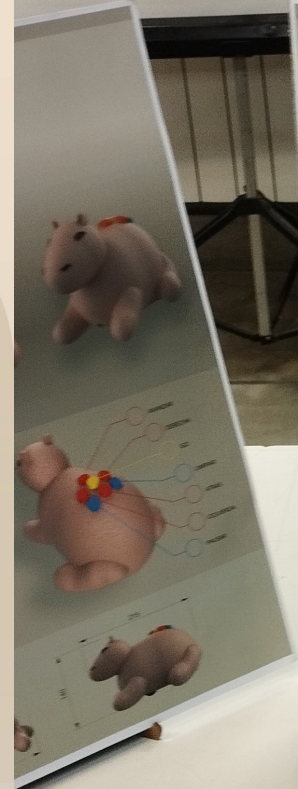
Aprendiendo Jugando: El Capybot en uso



El Capybot es versátil y se puede utilizar en una variedad de juegos educativos, especialmente en tableros. Los niños pueden programar al Capybot para que navegue a través de rutas en el tablero, resolviendo desafíos y obstáculos.

Packaging

El Capybot cuenta con una caja para resguardar todos los componentes, así como un tablero personalizado con la temática lista para ser usado.



TUQUII - TUQUII

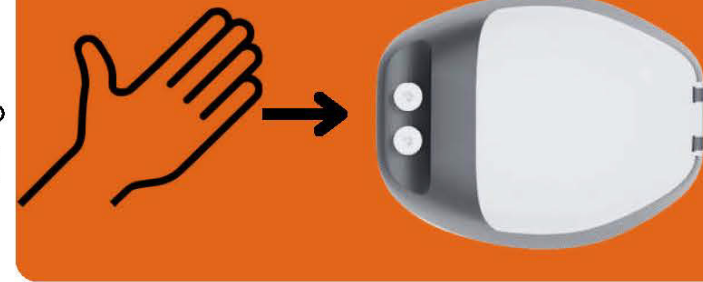
TACHO DE BASURA CON APERTURA SENSORIAL



TUQUI - TUQUI

Para el área de estudio del hogar

Apertura de
tapa por medio
de proximidad



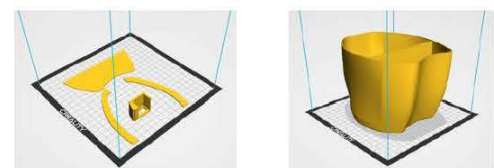
ÁMBITO



SITUACIÓN DE USO



CARCASAS IMPRESIÓN 3D



Calidad

- Espesor de la capa (mm): 0.2
- Espesor de la pared (mm): 0.8
- Habilitar retracción:

Relleno

- Espesor superior e inferior: 1.2
- Densidad Relleno (%): 10

Velocidad

- Velocidad impresión (mm/s): 80
- Temperatura impresión (C): 220
- Temperatura de la cama (C): 60

Soportes

- Tipo de soporte: Nada
- Tipo de adhesión en la cama: Borda (Brim)

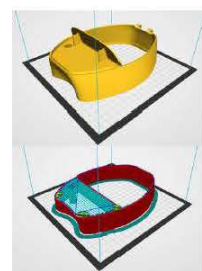
Filamento

- Diametro (mm): 1.75
- Flujo (%): 100

Maquina

- Tamaño boquilla (mm): 0.4

**2 hora 6 minutos
10.68 metros 30 gramos**



Calidad

- Espesor de la capa (mm): 0.2
- Espesor de la pared (mm): 0.8
- Habilitar retracción:

Relleno

- Espesor superior e inferior: 1.2
- Densidad Relleno (%): 10

Velocidad

- Velocidad impresión (mm/s): 80
- Temperatura impresión (C): 220
- Temperatura de la cama (C): 60

Soportes

- Tipo de soporte: Nada
- Tipo de adhesión en la cama: Borda (Brim)

Filamento

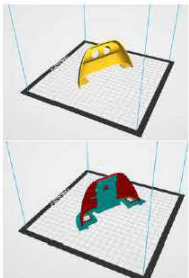
- Diametro (mm): 1.75
- Flujo (%): 100

Maquina

- Tamaño boquilla (mm): 0.4

**23 hora 43 minutos
85.01 metros 254 gramos**

**18 hora 47 minutos
52.48 metros 157 gramos**



Calidad

- Espesor de la capa (mm): 0.2
- Espesor de la pared (mm): 0.8
- Habilitar retracción:

Relleno

- Espesor superior e inferior: 1.2
- Densidad Relleno (%): 100

Velocidad

- Velocidad impresión (mm/s): 80
- Temperatura impresión (C): 220
- Temperatura de la cama (C): 60

Soportes

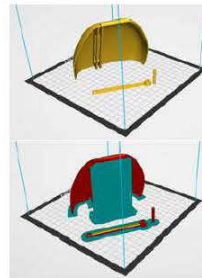
- Tipo de soporte: Cualquier otro
- Tipo de adhesión en la cama: Borda (Brim)

Filamento

- Diametro (mm): 1.75
- Flujo (%): 100

Maquina

- Tamaño boquilla (mm): 0.4



Calidad

- Espesor de la capa (mm): 0.2
- Espesor de la pared (mm): 0.8
- Habilitar retracción:

Relleno

- Espesor superior e inferior: 1.2
- Densidad Relleno (%): 100

Velocidad

- Velocidad impresión (mm/s): 80
- Temperatura impresión (C): 220
- Temperatura de la cama (C): 60

Soportes

- Tipo de soporte: Cualquier otro
- Tipo de adhesión en la cama: Borda (Brim)

Filamento

- Diametro (mm): 1.75
- Flujo (%): 100

Maquina

- Tamaño boquilla (mm): 0.4

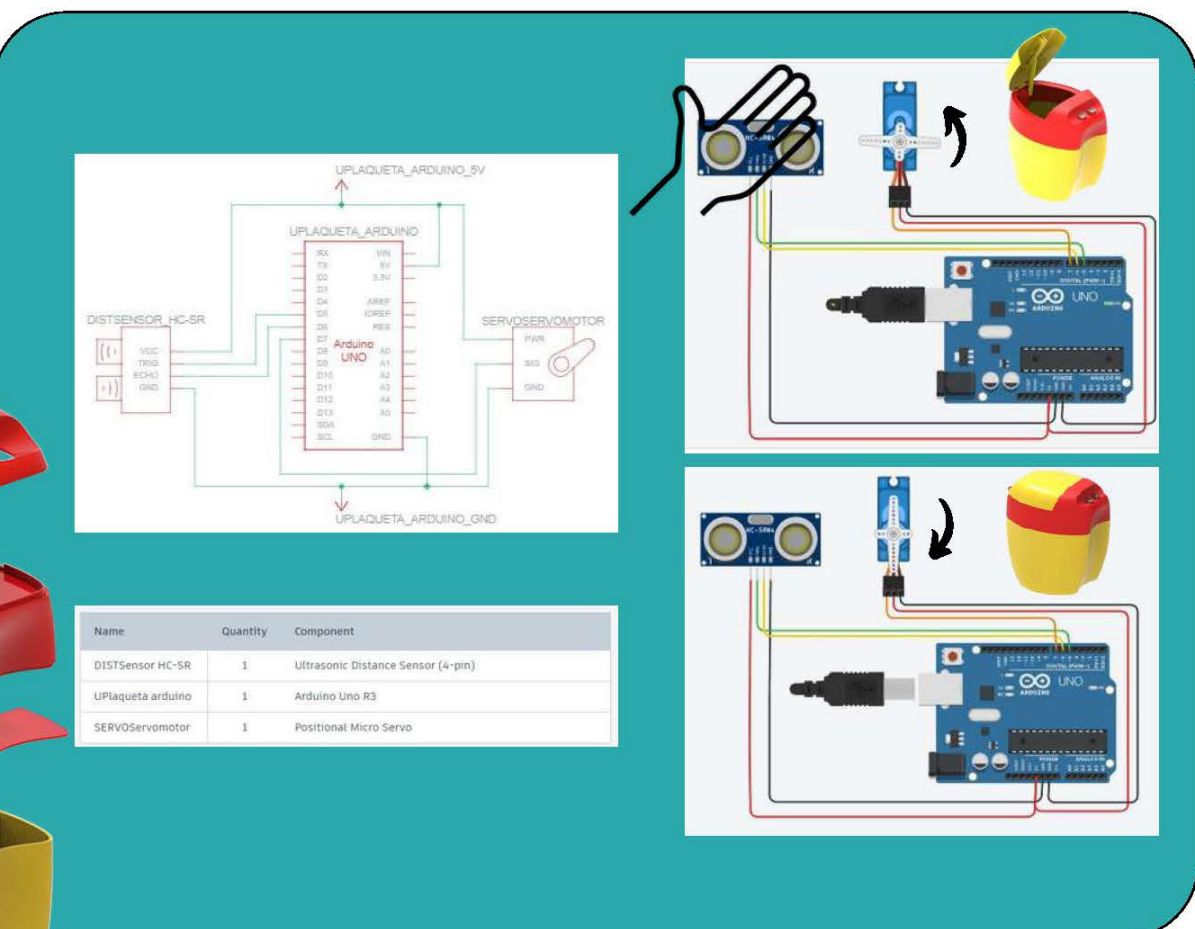
**2 hora 51 minutos
9.71 metros 29 gramos**

**9 hora 7 minutos
33.35 metros 99 gramos**



FUNCIONAMIENTO DE PRODUCTO

Componentes de arduino



EL
TAMBÉS
S'APLICA
EN EL SISTÈME
INTERACTIU

TODA LA ENTREGA
DEBE ESTAR EN 1 SOLO ARCHIVO PDF
VIDEO MP4
PDF → VIDEO → MÁXIMO 200 MB
2009



Tecnología, Materiales y Procesos IV

UNLa

Turno Noche

Medidor multifuncional



ÍNDICE

■ Introducción	1
■ Problemática y antecedentes	2
■ Usuario y entorno invisible	3
■ Componentes requeridos	4
■ Propuestas	5
■ Propuesta final	9
■ Disposición de componentes	11
■ Parámetros de impresión	12
■ Prototipo impreso	14

INTRODUCCIÓN

Este informe se elaboró en el marco de la asignatura "Tecnología, Materiales y Procesos IV", perteneciente a la Universidad Nacional de Lanús.

El principal enfoque de este trabajo es el diseño y conceptualización de una herramienta multifuncional, orientada específicamente para su fabricación mediante el método de Modelado por Depósito de Material Fundido (FDM, por sus siglas en inglés).

La concepción de dicho instrumento surge a raíz de la necesidad de incorporar un **elemento de medición que complemente a los convencionales**, en la caja de herramientas de un usuario hobbista, dado que existen determinados trabajos hogareños que presentan dificultades, o no son de lo mas precisos, al momento de resolverlos con cintas metricas o niveles.

Basandonos en la mencionada problemática, se procedió a un análisis que incluye la revisión de antecedentes, la identificación y comprensión del usuario, el estudio del entorno, entre otros aspectos relevantes.

Con base en la información recopilada y haciendo foco en **centrar el proyecto** en una resolucion entorno a **IoT**, se establecieron los componentes requeridos para proponer una solución adecuada y pertinente a la problemática identificada.

PROBLEMÁTICA

Se detecta la ausencia de un instrumento que brinde funciones técnicas variadas. En vista de esta carencia, surge la necesidad de conceptualizar y diseñar un instrumento de medición que se incorpore de manera complementaria a los instrumentos tradicionales presentes en un kit de herramientas.

Los elementos que se contemplarán para el diseño de este instrumento serán:

- Un medidor de distancia por acercamiento
- Un medidor de ángulos
- Un medidor de distancia por odómetro

ANTECEDENTES

A continuación, se presentan antecedentes de herramientas del mercado que satisfacen cada una de las necesidades.



Odómetro



Medidor de ángulo



Medidor por láser

USUARIO

El diseño estará orientado a usuarios con perfil hobbista y, a su vez, podrá ser empleado, por técnicos domiciliarios en general. La intención es que este instrumento se consolide como herramienta manual básica en cualquier caja de herramientas.

ENTORNO INVISIBLE

Dado que estamos frente a un instrumento manual de uso frecuente, es previsible que estará expuesto a ciertas condiciones propias del entorno como el polvo. Durante el proceso de diseño, es esencial considerar las dimensiones de los componentes electrónicos requeridos, así como su disposición y orden tanto en zonas internas como externas. Además, se tendrá en cuenta la potencial vulnerabilidad a impactos provenientes de otras herramientas.

Al ser un dispositivo de manejo manual, se contemplarán aspectos hápticos y ergonómicos, dimensiones adecuadas y modalidades de uso. Además, se analizarán situaciones de uso de herramientas que posean zonas de agarre ergonómicas tales como las pistolas de medición de temperatura y otras.



COMPONENTES REQUERIDOS

ARUINO NANO



SENSOR ULTRASONICO



ENCODER



DISPLAY OLED 1.3



MODULO DE CARGA



GIROSCOPIO



BATERÍA 600 MAH



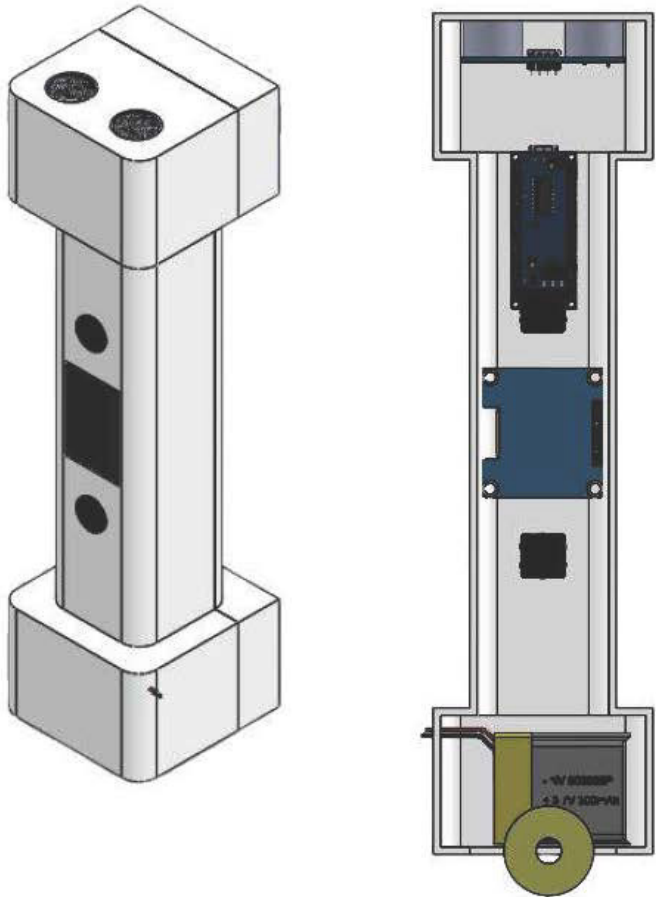
PULSADORES



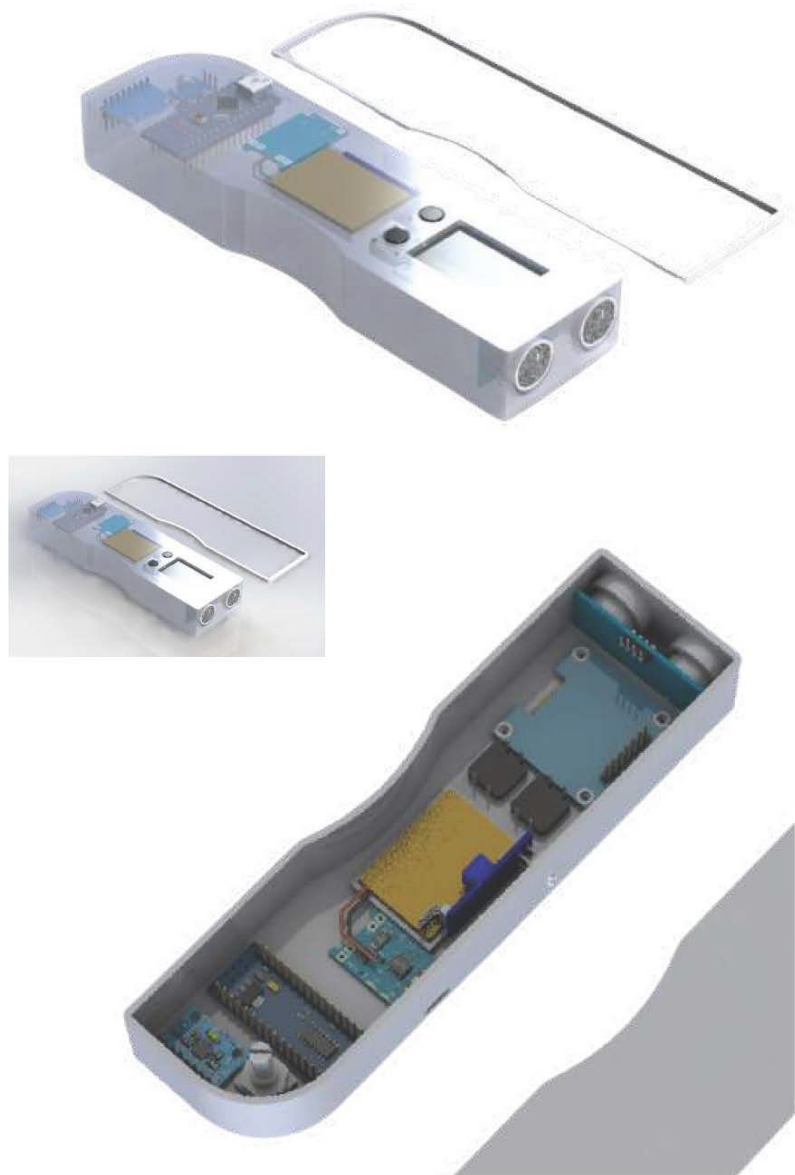
CABLES DE CONEXIÓN



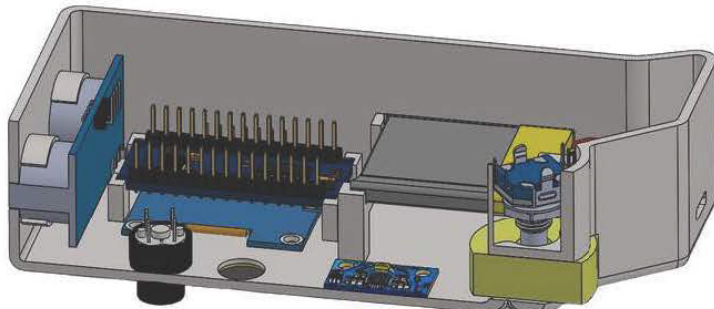
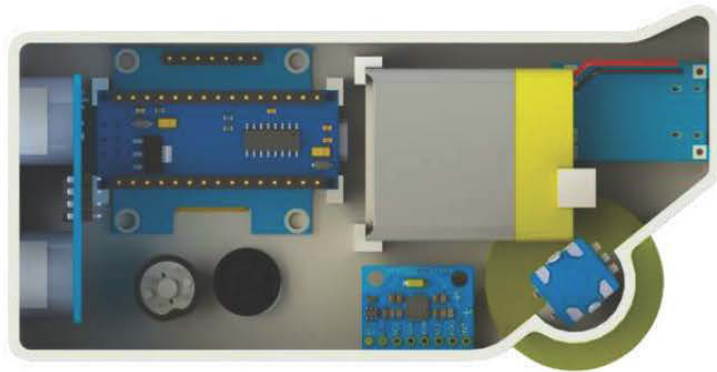
PROPUESTA 1



PROPUESTA 2



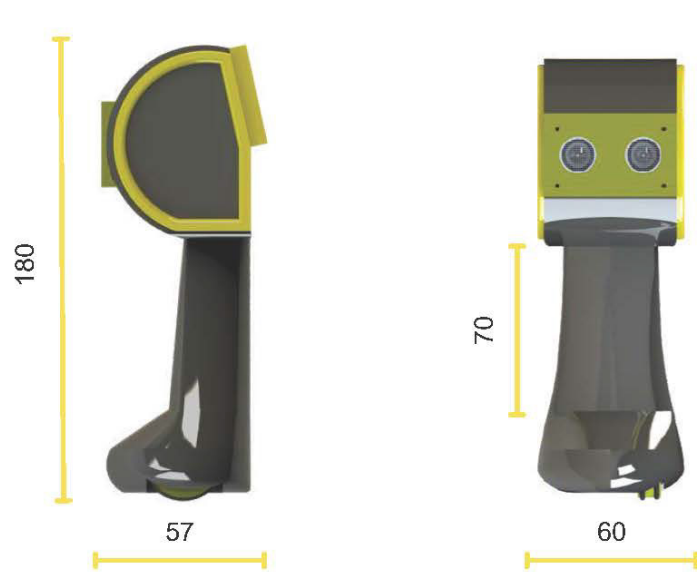
PROUESTA 3



PROUESTA 4



PROPIUESTA FINAL



PARTES IMPRESAS

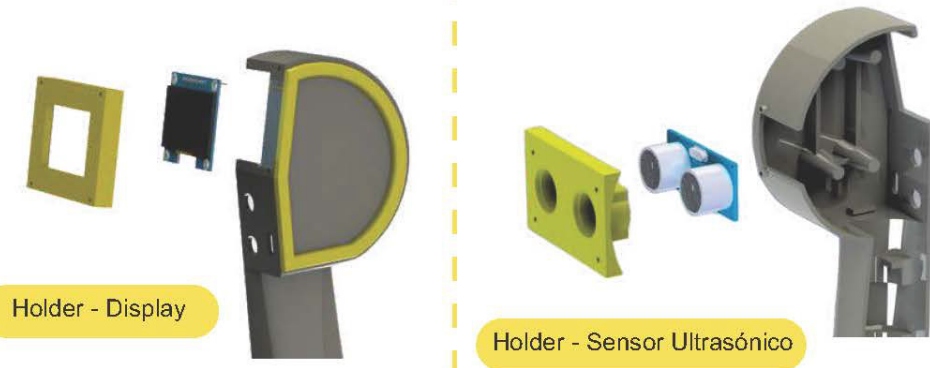
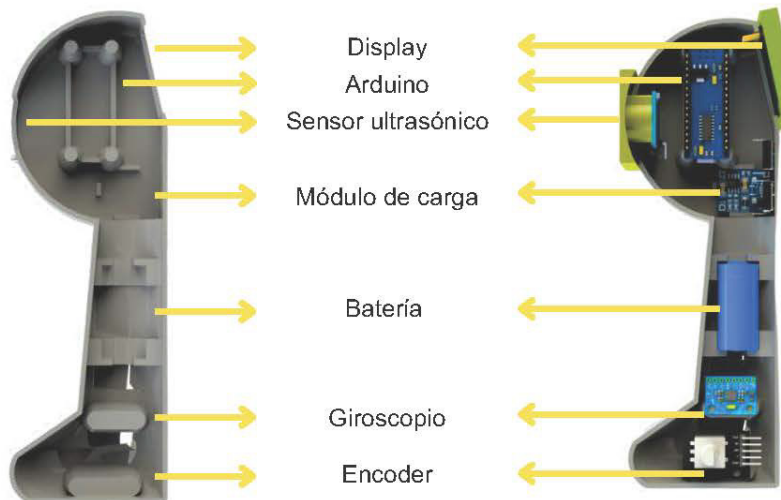


Holder Sensor Ultrasónico

Rueda odómetro

Holder Display

DISPOSICIÓN DE COMPONENTES



SITUACIÓN DE USO



PARÁMETROS DE IMPRESIÓN

Ajustes de impresión

Perfil: Standard Quality - 0.2mm

Calidad

- Altura de capa: 0.2 mm

Paredes

- Grosor de la pared: 0.8 mm
- Recuento de líneas de pared: 2
- Expansión horizontal: 0.0 mm

Superior o inferior

- Grosor superior/inferior: 1.12 mm
- Grosor superior: 1.12 mm
- Capas superiores: 2
- Grosor inferior: 1.12 mm
- Capas inferiores: 2
- Patrón superior/inferior: Zigzag
- Patrón inferior de la capa inicial: Zigzag

Relleno

- Densidad de relleno: 20.0 %
- Patrón de relleno: Giroide
- Grosor de la capa de relleno: 0.2 mm

Material

- Temperatura de impresión: 200.0 °C
- Temperatura de la placa de impresión: 60 °C

Velocidad

- Velocidad de impresión: 90.0 mm/s
- Velocidad superior/inferior: 45.0 mm/s

Desplazamiento

- Habilitar la retracción:
- Salto en Z en la retracción:

Refrigeración

- Activar refrigeración de impresión:
- Velocidad del ventilador: 100.0 %

Soporte

- Generar soporte:
- Estructura de soporte: Normal
- Colocación del soporte: Tocando la placa d...
- Ángulo de voladizo del soporte: 45.0 °

Adherencia de la placa de impresión

- Tipo adherencia de la placa de impresión: Balsa
- Margen adicional de la balsa: 5.0 mm
- Capas superiores de la balsa: 1
- Capas medias de la balsa: 2



¡Muchas Gracias!



BEGUE - BOTRUGNO - LIOTTI

T.P. 3

PROTOTIPADO IOT POR FDM

Tecnología, materiales y procesos IV

Alumnos
RODRIGUEZ, FRANCO
SARDI, NICOLAS
DIAZ, CAMILA

PROYECTO ELEGIDO

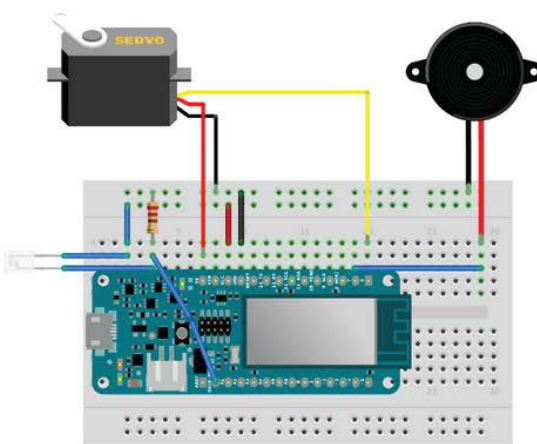
El proyecto seleccionado para abordar el trabajo de prototipado IoT por FDM es el denominado "Gato de Pavlov" de la plataforma Arduino. El mismo consta de desarrollar un dispensador de alimento automático para gatos, cuya utilidad radica en proporcionarle a la mascota las raciones diarias de comida, entrenarla en el reconocimiento de los momentos de alimentación y además evitar que el alimento quede siempre a disposición en caso de que el animal no se acerque a comerlo.



COMPONENTES Y FUNCIONAMIENTO

Mediante un paquete Arduino MKR IoT Bundle con una placa MKR 1000 como corazón del proyecto, el conjunto electrónico contará con un buzzer encargado de emitir una señal sonora para que el gato interprete que es momento de comer y se acerque al dispositivo, un fototransistor responsable de detectar si el animal respondió y acudió al estímulo sonoro y un servomotor que se activara para poner a disposición la ración de comida. Por su parte, todo el sistema estará vinculado a la plataforma Telegram, mediante la cual se podrá configurar la melodía a reproducir, la cantidad de raciones diarias, sus horarios, intervalos y además tener un registro de seguimiento del nivel de respuesta del animal frente al dispositivo.

PAQUETE ELECTRONICO



Plaqueta Arduino MKR 1000



Servomotor 180° - 12 KgF



Buzzer (parlante)
20mm



Fototransistor lateral
(resistencia 220 ohmios)

ANTECEDENTES

Entre los antecedentes analizados se detectan dos tendencias en el tipo de funcionamiento de servicio:

- De apertura y caída, en el cual se habilita una compuerta que libera el caudal de comida.
- De rotación, en los cuales se dispone un habitáculo con la porción establecida.



Mas allá del tipo de dispositivo, las condicionantes a tener en cuenta para el planteo de diseño es que se estima que la porción adecuada para gatos ronda entre los 40 a 60 gramos de comida. Con eso establecido para el tamaño del cuenco y considerando que se calculan 2-3 raciones de comida diaria, se debe considerar un contenedor de 500g como para que se alcance un autonomía de aproximadamente una semana de manera de proporcionar una frecuencia de recarga práctica y cómoda para el usuario sin generar un artefacto demasiado voluminoso.

PROTOTIPADO FDM

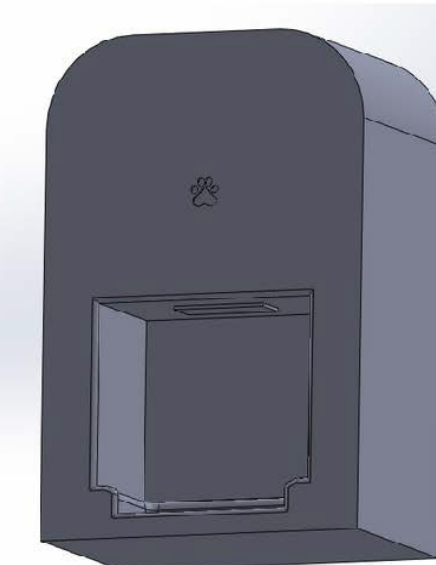
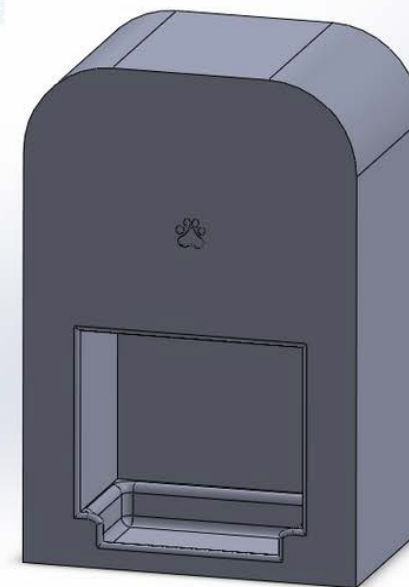
Una vez relevados y determinados todos sus componentes, se comienzan a realizar planteos de posibles diseños para el dispositivo. Mediante un programa paramétrico, en este caso SOLID WORKS, se modelan propuestas que luego de diferentes ajustes desembocan en el modelo final.

PROPUESTAS



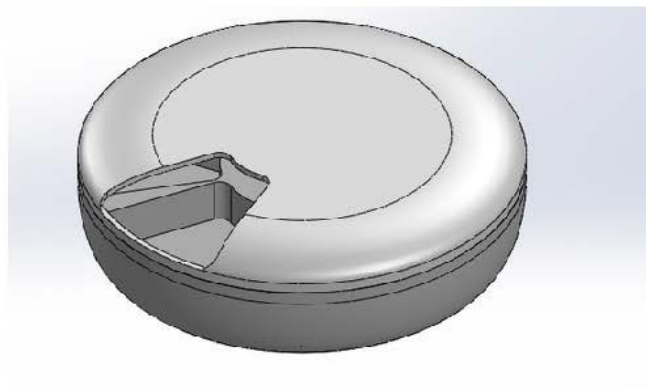
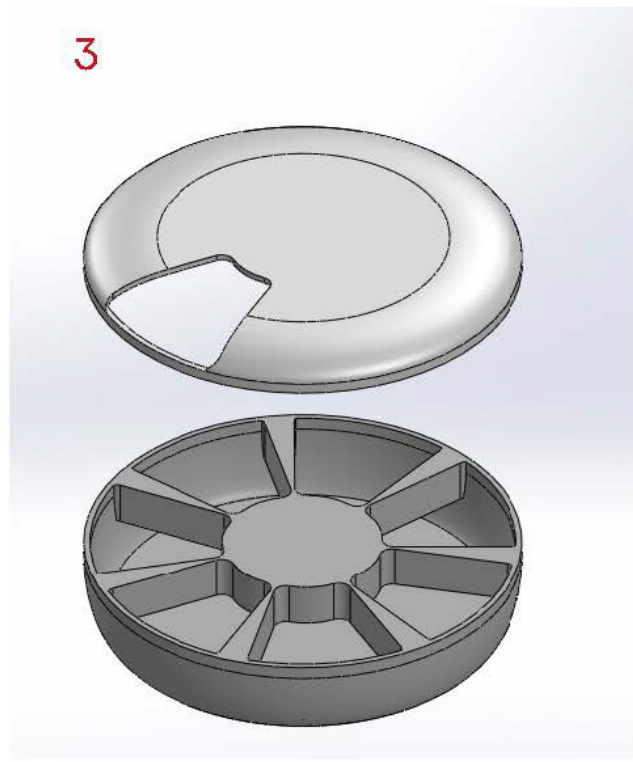
PROPUESTAS

2

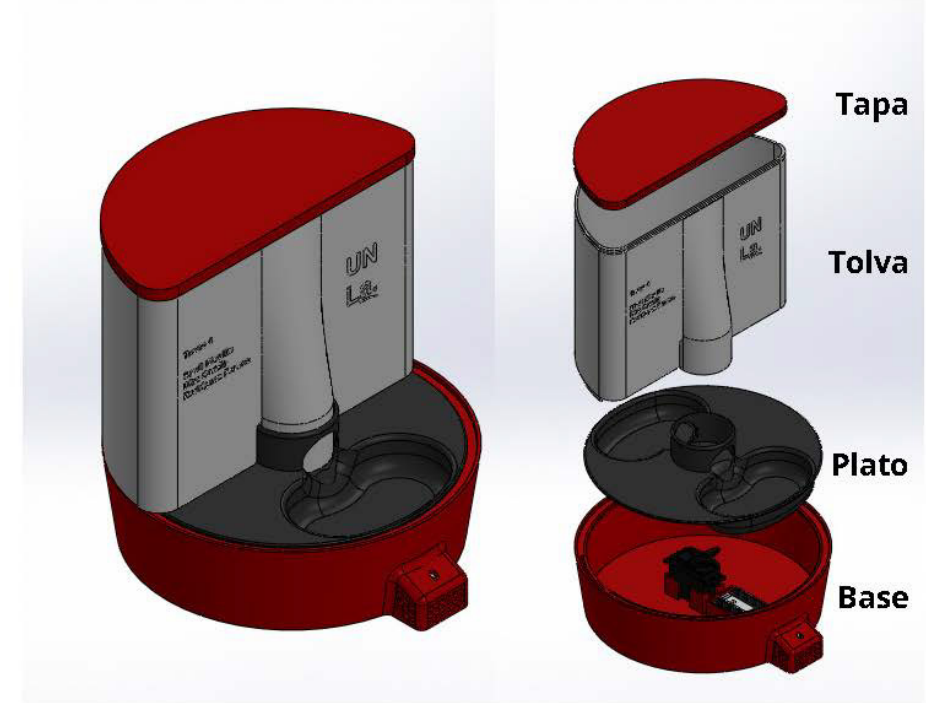


PROPUESTAS

3

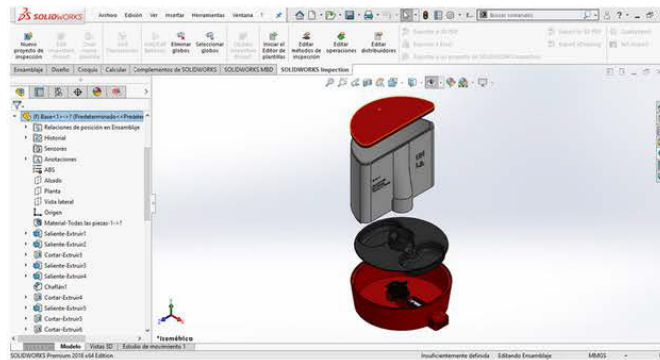


DISEÑO FINAL

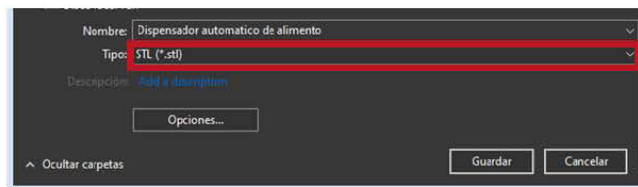


-  Practico.
-  Capacidad de 500grs.(14 Servicios)
-  Conexión a corriente eléctrica.
-  Fácil desarmado para su limpieza.

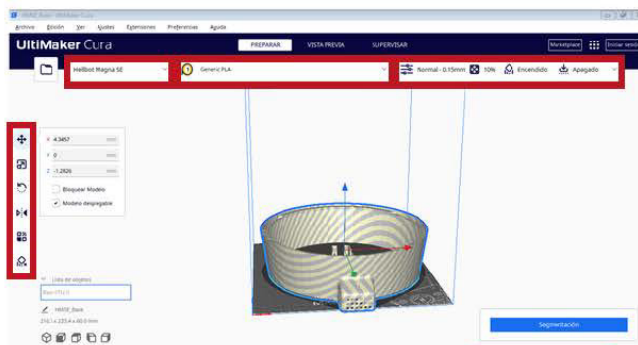
PASO A PASO



En primera instancia se debe contar con las piezas del objeto a materializar con sus particularidades morfológicas como volumen, para esto se pueden modelar las partes del objeto desde un programa CAD o mismo descargar desde una biblioteca.

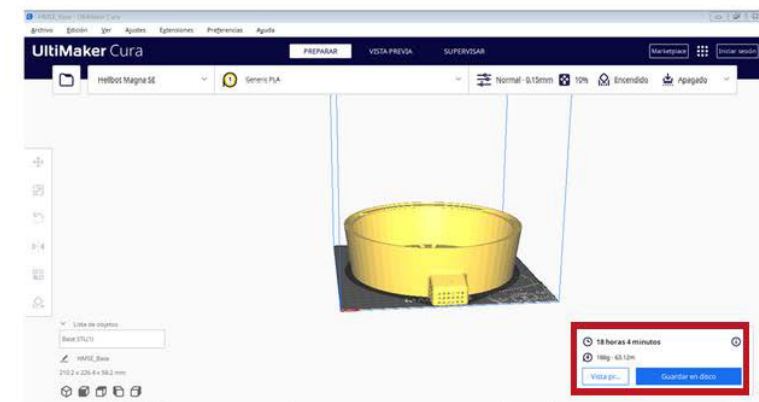


Con el diseño definido, mas allá del programa o plataforma que haya sido utilizado como fuente, debe convertirse y guardarse como archivo .STL. Este formato permitirá exportarlo al programa CURA para ser interpretado como un sólido.

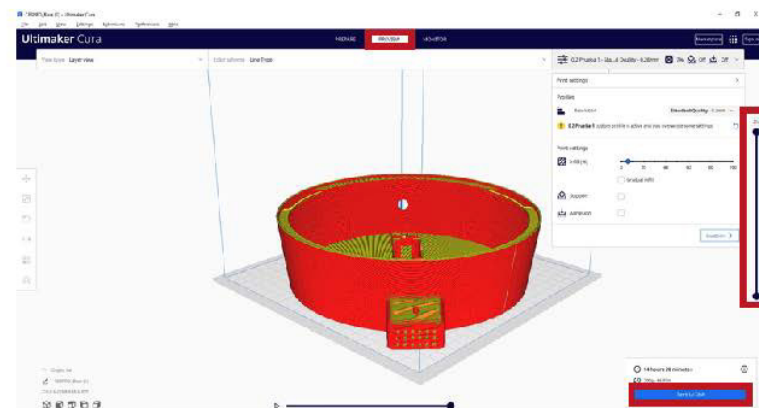


Con el archivo guardado en formato .STL, se importa al programa CURA para PREPARAR al sólido y configurar las cualidades del proceso: Maquina, tipo de filamento, soportes en caso de requerir, parámetros, disposición en la cama.

PASO A PASO



Con los parámetros determinados, se realiza la SEGMENTACIÓN de la pieza estableciendo las capas de deposición para la materialización dando como resultado los tiempos de impresión y la cantidad de material requerido durante el proceso.



Con el modelo segmentado, se dispone la VISTA PREVIA para una previsualización de las capas en un ultimo chequeo del sólido y luego ya es guardado en disco. Esto prepara al archivo como .gcode (el código numérico computarizado con las coordenadas a seguir por el extrusor) para ser exportado mediante una unidad externa a la impresora y ejecutar el proceso.

PARÁMETROS

Configuración de los diferentes parámetros para la deposición del filamento en la ejecución de la impresión y materialización del sólido.

Print settings

Profile 0.2 Prueba 1 - Standard Quality - 0.2mm

Quality

- Layer Height: 0.2 mm
- Initial Layer Height: 0.2 mm
- Line Width: 0.4 mm
- Wall Line Width: 0.4 mm
- Outer Wall Line Width: 0.4 mm
- Inner Wall(s) Line Width: 0.4 mm
- Top/Bottom Line Width: 0.4 mm
- Infill Line Width: 0.4 mm
- Support Line Width: 0.4 mm
- Support Interface Line Width: 0.4 mm
- Support Roof Line Width: 0.4 mm
- Support Floor Line Width: 0.4 mm
- Initial Layer Line Width: 100.0 %

Top/Bottom

- Top Surface Skin Layers: 0
- Top/Bottom Thickness: 0.8 mm
- Top Thickness: 0.8 mm
- Top Layers: 4
- Bottom Thickness: 0.8 mm
- Bottom Layers: 4
- Initial Bottom Layers: 4
- Top/Bottom Pattern: Lines
- Bottom Pattern Initial Layer: Lines
- Monotonic Top/Bottom Order:
- Top/Bottom Line Directions: []
- No Skin in Z Gaps:
- Extra Skin Wall Count: 1
- Enable Ironing:
- Skin Overlap Percentage: 10.0 %
- Skin Overlap: 0.04 mm
- Skin Removal Width: 0.8 mm
- Top Skin Removal Width: 0.8 mm
- Bottom Skin Removal Width: 0.8 mm

Walls

Wall Thickness	0.8 mm
Wall Line Count	2
Wall Transition Length	0.4 mm
Wall Distribution Count	1
Wall Transitioning Threshold Angle	10.0 °
Wall Transitioning Filter Margin	0.1 mm
Outer Wall Wipe Distance	0.0 mm
Outer Wall Inset	0.0 mm
Optimize Wall Printing Order	<input checked="" type="checkbox"/>
Wall Ordering	Outside To Inside
Alternate Extra Wall	<input type="checkbox"/>
Minimum Wall Line Width	0.34 mm
Minimum Even Wall Line Width	0.34 mm
Split Middle Line Threshold	70.0 %
Minimum Odd Wall Line Width	0.34 mm
Add Middle Line Threshold	85.0 %
Print Thin Walls	<input type="checkbox"/>
Horizontal Expansion	0.0 mm
Initial Layer Horizontal Expansion	0.0 mm
Hole Horizontal Expansion	0.0 mm
Z Seam Alignment	User Specified
Z Seam Position	Back
Z Seam X	110.0 mm
Z Seam Y	220.0 mm
Seam Corner Preference	Smart Hiding
Z Seam Relative	<input type="checkbox"/>

Infill

Infill Density	5.0 %
Infill Line Distance	16.0 mm
Infill Pattern	f_x Grid
Connect Infill Lines	<input type="checkbox"/>
Infill Line Directions	[]
Infill X Offset	0.0 mm
Infill Y Offset	0.0 mm
Randomize Infill Start	<input type="checkbox"/>
Infill Line Multiplier	1
Extra Infill Wall Count	0
Infill Overlap Percentage	30.0 %
Infill Overlap	0.12 mm
Infill Wipe Distance	0.0 mm
Infill Layer Thickness	0.2 mm
Gradual Infill Steps	0
Infill Before Walls	<input type="checkbox"/>
Minimum Infill Area	0.0 mm²
Infill Support	<input type="checkbox"/>

Material

Printing Temperature	f_x 205.0 °C
Printing Temperature Initial Layer	205.0 °C
Initial Printing Temperature	205.0 °C
Final Printing Temperature	205.0 °C
Build Plate Temperature	\odot 60 °C
Build Plate Temperature Initial Layer	\odot 60 °C
Scaling Factor Shrinkage Compensation	\odot 100.0 %
Horizontal Scaling Factor Shrinkage Compensation	\odot 100.0 %
Vertical Scaling Factor Shrinkage Compensation	\odot 100.0 %
Flow	100.0 %
Wall Flow	100.0 %
Outer Wall Flow	100.0 %
Inner Wall(s) Flow	100.0 %
Top/Bottom Flow	100.0 %
Infill Flow	100.0 %
Support Flow	\odot 100.0 %
Support Interface Flow	\odot 100.0 %
Support Roof Flow	\odot 100.0 %
Support Floor Flow	\odot 100.0 %

Speed

Print Speed	75.0 mm/s
Infill Speed	75.0 mm/s
Wall Speed	37.5 mm/s
Outer Wall Speed	37.5 mm/s
Inner Wall Speed	37.5 mm/s
Top/Bottom Speed	37.5 mm/s
Support Speed	\odot f_x 60.0 mm/s
Support Infill Speed	\odot 60.0 mm/s
Support Interface Speed	\odot 37.5 mm/s
Support Roof Speed	\odot 37.5 mm/s
Support Floor Speed	\odot 37.5 mm/s
Travel Speed	f_x 150.0 mm/s
Initial Layer Speed	10.0 mm/s
Initial Layer Print Speed	f_x 20.0 mm/s
Initial Layer Travel Speed	f_x 20.0 mm/s
Z Hop Speed	5.0 mm/s
Number of Sower Layers	\odot 2
Flow Equalization Ratio	100.0 %

Cooling

Enable Print Cooling	<input checked="" type="checkbox"/>
Fan Speed	100.0 %
Regular Fan Speed	100.0 %
Maximum Fan Speed	100.0 %
Regular/Maximum Fan Speed Threshold	10.0 %
Initial Fan Speed	0.0 %
Regular Fan Speed at Height	0.6 mm
Regular Fan Speed at Layer	4
Minimum Layer Time	10.0 s
Minimum Speed	10.0 mm/s
Lift Head	<input type="checkbox"/>

Print settings

Profiles

Resolution: Standard Quality - 0.2mm

! 0.2 Prueba 1 custom profile is overriding some settings.

Print settings

Infill (%) 0 20 40 60 80 100

Gradual infill

Support

Adhesion

Custom >

IMPRESIÓN

Para llevar a cabo la impresión de las piezas se, se utilizo una impresora "ENDER 3 V2"; con filamentos de PLA negro, gris plata y astra efecto glitter ruby de marca Grilon3.



PIEZAS



BASE
14hs - 200g



PLATO
10hs - 150g



TOLVA
20hs - 300g



TAPA
3hs - 50g



PRODUCTO



**Dispensador
inteligente de
alimento para gatos
47hs - 700g**

SOPORTES





Especialización en Tecnologías de Fabricación Digital

Tecnologías Aditivas de Fabricación Digital

Profesor Andrés Ruscitti

Trabajo práctico:

Impresión 3D por FDM

Martin Germán Weimer

ÍNDICE

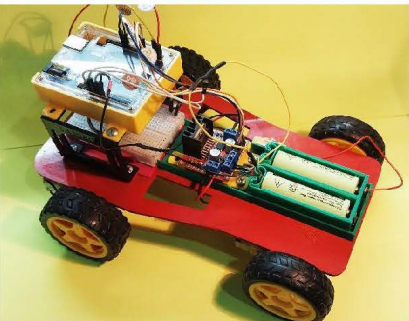
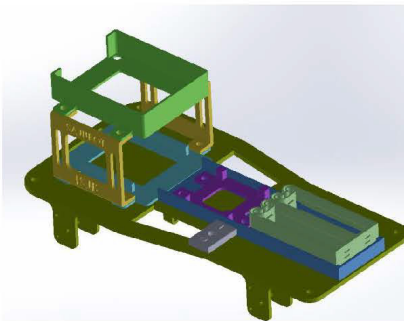
Elección del proyecto	1
Proceso de diseño	2
Proceso de cortado (Slicer)	5
Parámetros de impresión y soporte	6
Impresora 3D	7
Material de impresión	8
Hoja técnica PLA	9
Procesamiento de impresión	10
Modelo terminado	11

CARCASA DE MÓVIL PARA ROBÓTICA EDUCATIVA

ELECCIÓN DEL PROYECTO

Para este trabajo práctico decidí aplicar los conocimientos adquiridos, en la realización de una carcasa que revista un móvil controlable de manera remota.

El móvil es de desarrollo propio y combina la aplicación de contenidos de programación y robótica abordados en el taller de Lenguajes Tecnológicos del 3er año del ciclo básico del Instituto San Juan Bautista de Florencio Varela, donde me desempeño como docente.



La adición de la carcasa, además de brindar un mejor aspecto, posibilitará la adición de otros dispositivos programables, tales como un sensor de distancia y luces led para que actúen como faros.



Proceso de Diseño

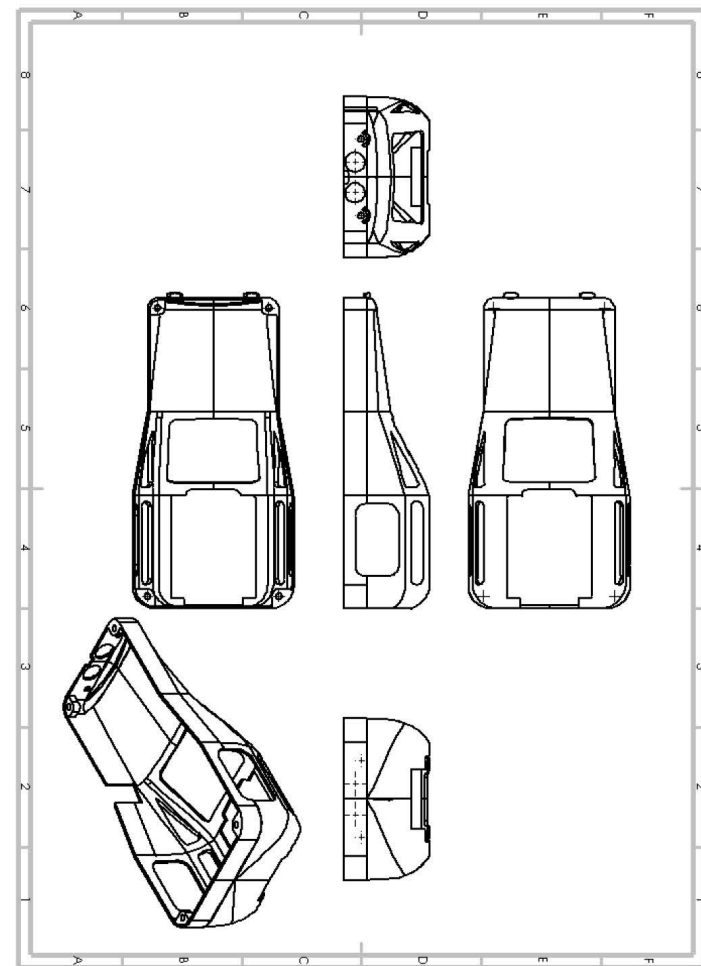
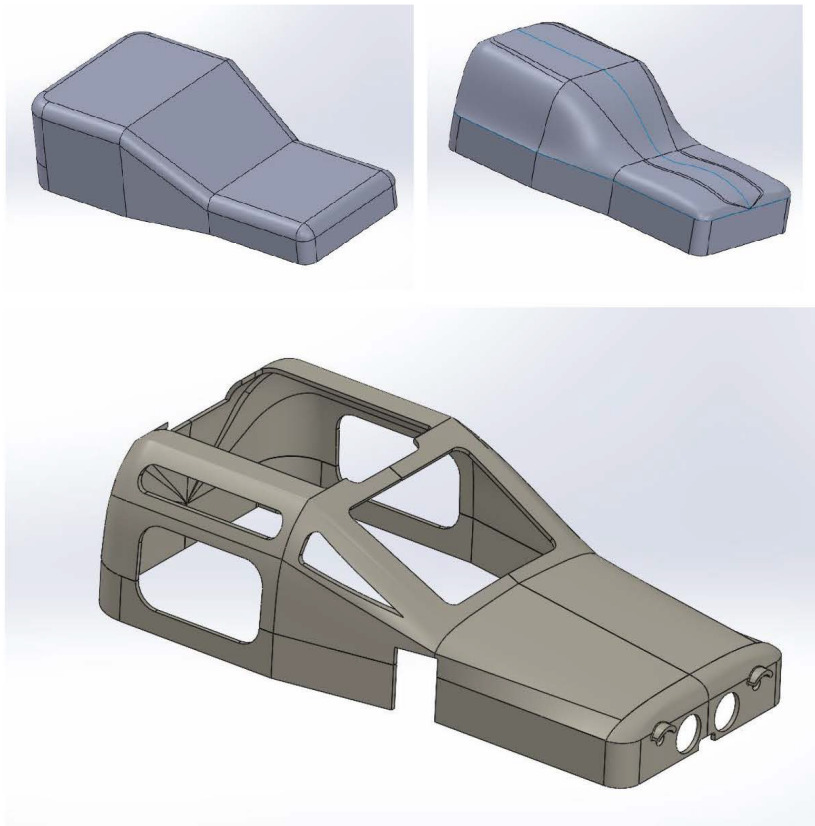
Elección de la herramienta informática:

Para el proceso de diseño utilicé el programa de diseño paramétrico **SolidWorks** dado que, en el proceso de diseño de todos los componentes de las maquetas utilizadas en el taller me había resultado fácil de manejar e intuitivo.

Dificultad:

Para construir la carcasa tuve que utilizar herramientas para el manejo de superficies, algo que hasta ahora no había usado. El proceso me resultó bastante complejo. En la actualidad estoy aprendiendo a utilizar otro software de diseño 3D como lo es el **Rhinos**, que para este trabajo me hubiera resultado de mayor utilidad (pero al momento de la entrega no lo manejaba).

Luego de mucho trabajo llegué a un diseño aceptable:



Las concavidades y perforaciones tienen como sentido el dejar ver los componentes para ver su estado (si están encendidos o enviando y recibiendo datos).

Una vez obtenido el diseño procedí a exportarlo en formato STL para incorporarlo al slicer (cortadora).

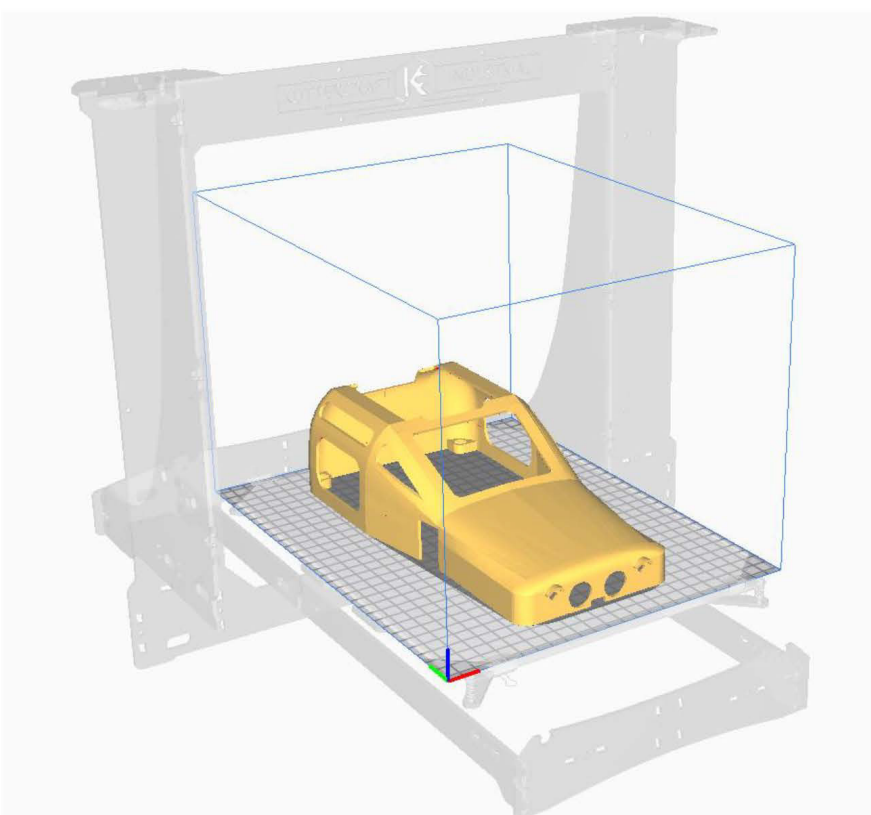
Proceso de cortado o slicer:

El software de cortado o slicer permite la generación de trayectorias de herramientas utilizado en la impresión 3D. Convierte un modelo de objeto 3D a instrucciones específicas para la impresora. La cortadora convierte un modelo en formato STL en comandos de impresora en formato de código G.

En mi caso, el software elegido es el **Ultimaker Cura** en su versión 4.12.1

La elección tuvo que ver con que es el software recomendado por los fabricantes la de impresora que utilizo para generar las piezas en FDM, se trata de una **Kuttercraft** (a describir en la próxima sección).

Me resulta bastante intuitivo, tiene buena documentación y la masividad de su uso hace que haya muchos manuales y tutoriales disponibles en caso de que me surjan dudas puntuales. Además, y fundamentalmente, porque posee mi modelo de impresora en la biblioteca del programa.

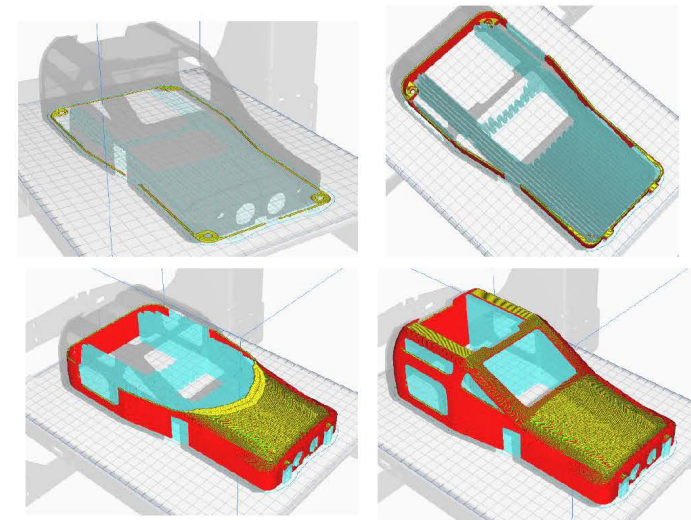


ALGUNOS PARÁMETROS DE IMPRESIÓN

PARÁMETROS	
Material:	PLA
Diámetro de la boquilla:	0.4 mm
Altura de la capa:	0.2 mm
Ancho de línea:	0.4 mm
Temperatura de impresión	205°C
Temperatura de impresión de la capa inicial	210°C
Temperatura de la placa de impresión	60°C
Velocidad de impresión	60 mm/seg
Velocidad de relleno	60 mm/seg
Velocidad de pared	30 mm/seg
Refrigeración	Activada
Velocidad del fan	100%
Tipo de adherencia a la placa de impresión	Falda

Dada la complejidad del diseño y la necesidad de que sea impreso en una sola pieza, se utilizó la opción de soportes:

SOPORTE	
Generar soporte	ACTIVO
Estructura de soporte	NORMAL
Colocación del soporte	EN TODOS LOS SITIOS
Patrón del soporte	Zigzag
Densidad del soporte	10%



Según el slicer la impresión insume: 18 horas 3 minutos de tiempo y 215 g (71.47 m) de PLA.

Impresora 3D

La impresora utilizada para la impresión del modelo es una Kuttercraft modelo PK3++ adquirida en 2020.



ALGUNAS CARACTERÍSTICAS TÉCNICAS:

Área de impresión real	Eje X 220 mm -Eje Y 310 mm - Eje Z 210 mm
Diámetro de filamento	Ø1.75mm
Materiales en los que imprime	Termoplásticos con temperatura de fundición de hasta 280°C - PLA, ABS, NYLON, FLEX, WOOD, fibra de carbono, filamentos Especiales
Base	Espejo magnético
Extrusor	Tipo BMG con tracción dual y reducción
Hotend	V6 con barrel bimetálico, fan 3030 y protector de silicona.
Boquilla	0,4mm (es intercambiable)

En cuanto al resultado en el uso de la impresora, en mi caso, he llegado a un conocimiento que me permite poder solucionar los problemas que se suscitan dado a la sencillez de su mecánica / electrónica y a la utilización de elementos reemplazables por marcas genéricas. El modelo con el que trabajo fue mejorado con posterioridad y le han corregido algunas cuestiones de diseño y de funcionamiento. Para el uso que le proporciona cumple con creces.

Material

PLA



Se denomina filamento PLA al ácido poliláctico, un termoplástico hecho a base de maíz o caña de azúcar y que se usa comúnmente en todas las impresoras 3D del tipo FDM del mercado. Es uno de los tipos más comunes de filamentos de impresión 3D y un material muy fácil de trabajar ya que es un termoplástico soluble en agua que puede usarse como material de soporte y se puede enjuagar con agua y reutilizar. El hecho de que se fabrique a partir de almidón de maíz, hace que el ácido láctico que contiene se polimerice durante el proceso. Es un material fácil de reciclar, ya que al ser un plástico no petroquímico es una excelente elección como material ecológico.

Para la impresión de la carcasa utilicé filamento de la marca Grilon 3



Proceso de impresión

grilon3
PLÁSTICOS PARA IMPRESIÓN 3D

HOJA TÉCNICA DE PRODUCTO

Filamento para Impresoras 3D. Industria Argentina. CE

PLA[®]Ingeo (Ácido Poliláctico)

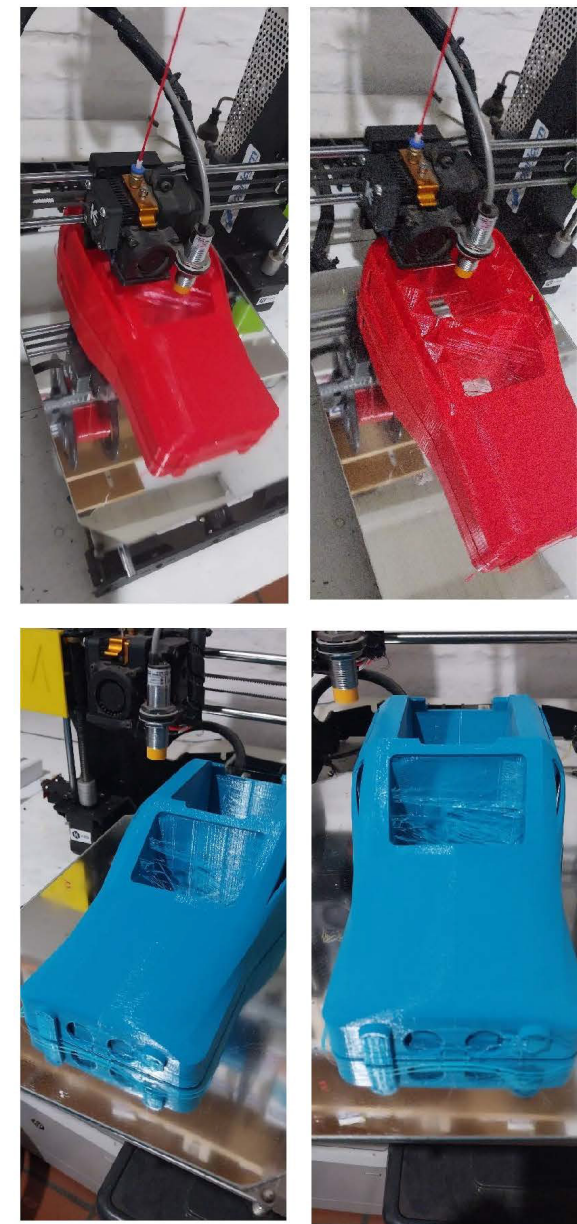
Partners

Especificaciones del Monofilamento		
Diámetro (Ø)	Tolerancia	Ovalidad
1.75 mm	± 0,02mm con un 99% y ±0,03 con el 1% de Nivel de Confianza	≥97 %
2.85 mm	± 0,04mm con un 99% y ±0,05 con el 1% de Nivel de Confianza	≥97 %

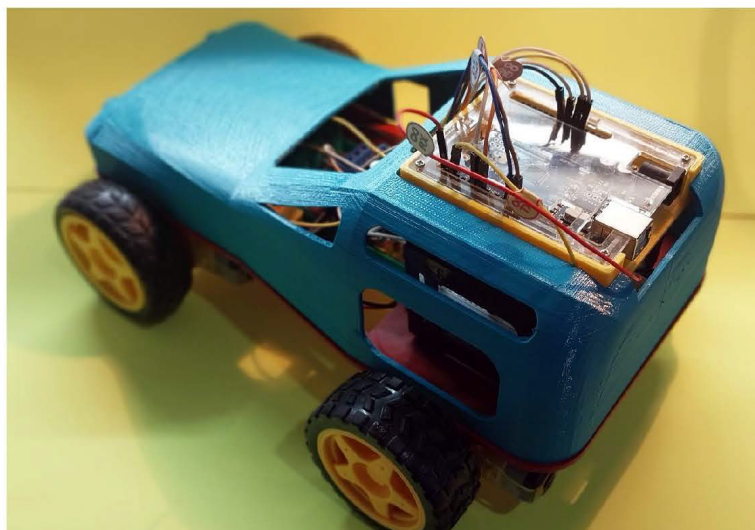
Propiedades de la Materia Prima más relevantes			
Descripción	Método	Valor Típico	
Densidad	ASTM 1505	1.24	Gr/Cm ³
Indice de Fluidez	(210 °C,2,16 Kg) ASTM 1238	6	Gr/10 min.

Physical	Test Method	Ingeo Resin
Specific Gravity, g/cc	ASTM D792	1.24
MFR, g/10 min ⁽¹⁾	ASTM D1238	6
Relative Viscosity ⁽²⁾	ASTM D5225	04.0
Clarity	-	Transparent
Peak Melt Temperature, °C	ASTM D3418	145-160
Glass Transition Temperatura, °C	ASTM D3418	55-60

Mechanical	Test Method	Value
Tensile Yield Strength, psi (MPa)	ASTM D882	8700 (60)
Tensile Strength at Break, psi (MPa)	ASTM D882	7700 (53)
Tensile Modulus, psi (MPa)	ASTM D882	524,000 (3.6)
Tensile Elongation, %	ASTM D882	6
Notched Izod Impact, ft-lb/in (J/m)	ASTM D256	0.3 (16)
Flexural Strength, psi (MPa)	ASTM D790	12,000 (83)
Flexural Modulus, psi (MPa)	ASTM D790	555,000 (3.8)
Heat Distortion Temperature, °C 66 psi (0.45 MPa)	ASTM E2092	55



Modelo Terminado





Especialización en Tecnologías de Fabricación Digital

Tecnologías Sustractivas de Fabricación Digital

Profesor Juan Manuel Pazo

Trabajo práctico:

Fabricación con Cortadora Láser

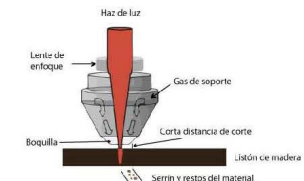
Martin Germán Weimer

Julio de 2024

CORTE LASER

ACERCA DE LA TECNOLOGÍA UTILIZADA

El corte láser es un tipo de proceso de separación térmica. El rayo láser incide en la superficie del material y lo calienta con tanta fuerza que se derrite o se vaporiza por completo. Una vez que el rayo láser ha penetrado completamente en un punto del material, comienza el proceso de corte real. El sistema láser sigue la geometría seleccionada y separa el material en el proceso.



Dependiendo de la aplicación, el uso de gases de proceso puede influir positivamente en los resultados.

VENTAJAS:

Adecuado para muchos tipos de materiales

Ninguna otra tecnología puede cortar tantos tipos diferentes de materiales orgánicos e inorgánicos.

No es necesario ningún procesamiento posterior

El láser es un proceso de separación en el que no es necesario ningún procesamiento posterior en muchos casos. Incluso sella los bordes de textiles tales como los sintéticos o alfombras, para que no se deshilachen. Esto ahorra procedimientos posteriores al procesamiento, como el sellado mecánico o el lijado, según el tipo de material que se procesa.

Alta precisión

Permite cortar geometrías muy finas de cualquier forma. Además, con la cámara integrada (JobControl Vision) puede reconocer marcas de registro y compensar automáticamente la ruta de

	corte, incluso si la plantilla original se sale de la alineación, es girada o distorsionada.
No hay desgaste de herramientas	Las máquinas de corte láser no están sujetas al desgaste, ya que el cabezal no tiene herramientas que pierdan sus propiedades con el uso. Esto ahorra dinero en operaciones de trabajo continuo.

MATERIALES

Plástico	Misceláneas	Metal
Acrilonitrilo butadieno estireno (ABS)	Polietileno tereftalato (PET)	Madera
Acrílico/PMMA	Poliamida (PA)	Papel (blanco)
Goma	Polioximetileno (POM) - por ejemplo, Delrin®	Papel (de color)
Poliamida (PA)	Polipropileno (PP)	Alimentos
Tereftalato de polibutileno (PBT)	Polisulfuro de fenileno (PPS)	Cuero
Policarbonato (PC)	Poliestireno (PS)	Tela
Polietileno (PE)	Poliuretano (PUR)	Cartón
Poliéster (PES)	Espuma (sin PVC)	Corcho

USOS:

Una de las industrias más comunes que utilizan el corte por láser es la industria publicitaria. Las empresas pueden utilizar las máquinas de corte por láser para crear vallas publicitarias, carteles de neón y letras de metal cortadas para campañas de publicidad exterior.



El corte por láser también se utiliza mucho en la industria del embalaje. Las máquinas de corte por láser pueden utilizarse para cortar formas precisas en materiales de envasado como cartón, papel y plástico para cajas, bolsas y contenedores.



Los constructores navales y los fabricantes de aviones también utilizan con frecuencia el corte por láser para cortar materiales como metal y compuestos. Las máquinas de corte por láser pueden cortar piezas para barcos y aviones con precisión y eficacia.





Por último, el corte por láser también se utiliza en la industria automovilística para cortar piezas como chapas de acero, chapas de aluminio y materiales compuestos para carrocerías.

Además de estas industrias, el corte por láser se utiliza para muchas otras aplicaciones, como la producción de teléfonos, ordenadores, juguetes, joyería, equipos electrónicos, piezas mecánicas, piezas médicas, piezas de diseño, piezas de decoración, piezas de moda, etc.



Proyecto Cortadora láser

Para el desarrollo del trabajo práctico se utilizó una cortadora Láser marca SIERRA Modelo SHC – 9060



Máquina láser para corte y grabado de diversos materiales. Pantógrafo láser de CO₂ de 90W con área de 900 x 600 mm. Bandeja regulable en altura y apta para dispositivo rotador de objetos.

Potencia y producción industrial en tamaño mediano. La precisión, velocidad de corte y durabilidad son las características principales de la línea SHC.

Puede realizar cortes y grabados sobre varios tipos de superficies, y en diversos materiales. Entre ellos, madera, acrílico, tela, cuero, plástico, y muchos más.

Su amplia área de trabajo minimiza los tiempos muertos de recambio de materiales procesados, y posibilita la colocación de piezas de gran superficie.

Ideal para emprendedores, artesanos, artistas, decoradores, industrias o empresas de merchandising, regalería empresarial, productos regionales, publicidad, maquetas, trofeos, grabados en general, sellos de goma, corte de madera, acrílico, cuero, goma eva, grabado de copas y mate y mas..

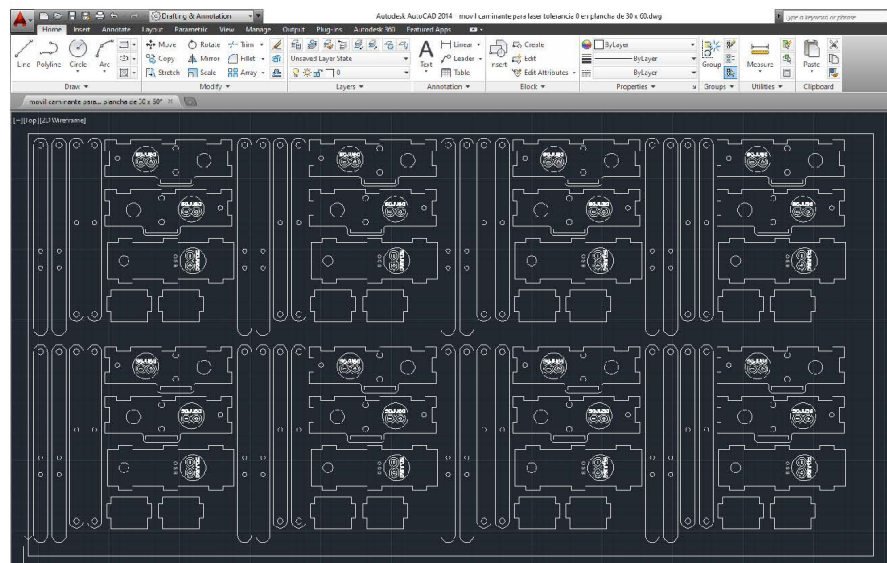
CARACTERÍSTICAS	
Potencia Láser:	80W
Área de Trabajo:	600 x 900 mm
Cabezales:	1
Bandeja:	tipo panal de abejas, fija o regulable a elección

TRABAJO ELEGIDO

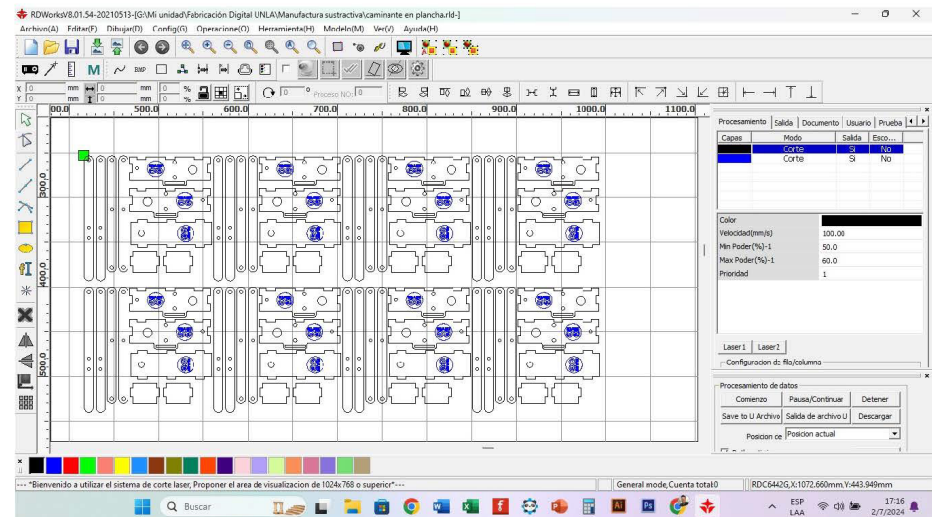
Se realizó el corte de las piezas de un “móvil caminante” para utilizar en el Taller de Programación y Robótica del Instituto San Juan Bautista.

El objetivo es mostrar a los estudiantes de 1er año las transformaciones mecánicas del movimiento para luego aplicarlo a otros móviles más complejos.

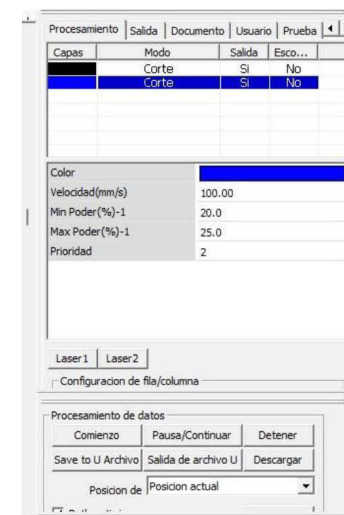
El diseño de las piezas se realizó en AutoCAD:



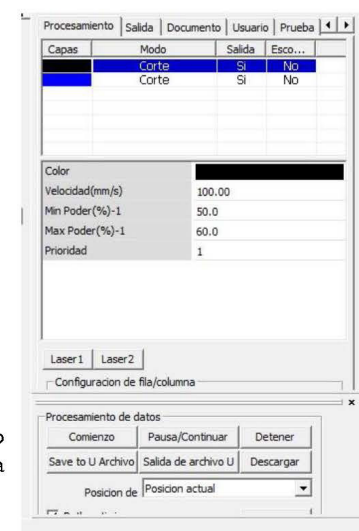
El diseño se exportó al formato de intercambio DXF para luego abrirlo en el software de transferencia a la cortadora RDWorks:



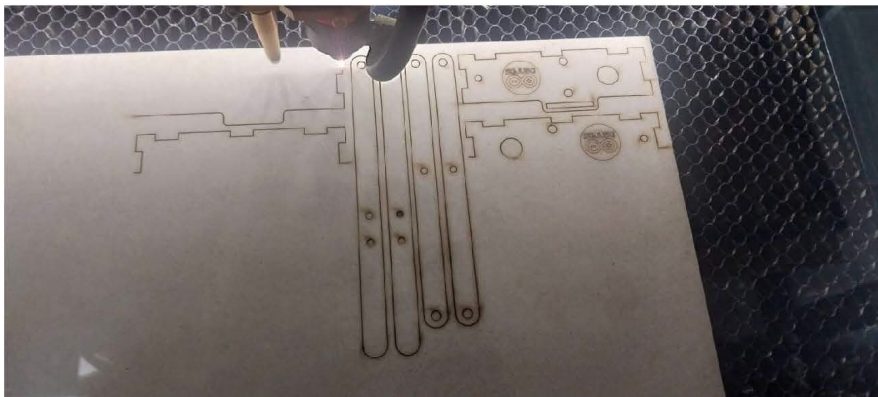
Se establecieron dos capas, la azul contiene aquello que se deseaba grabado (corte de escasa profundidad) con una velocidad de 100 mm/s y potencias máxima y mínima de 25% y 20 %



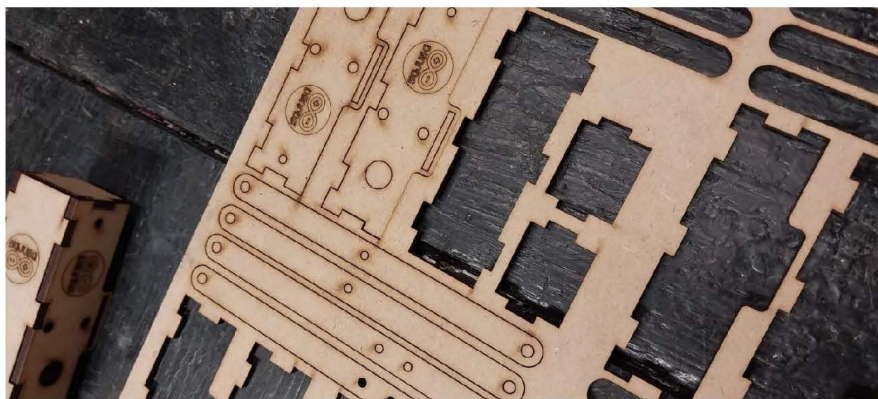
La capa negra azul contiene aquello que se deseaba cortado con una velocidad de 100 mm/s y potencias máxima y mínima de 50% y 60 %

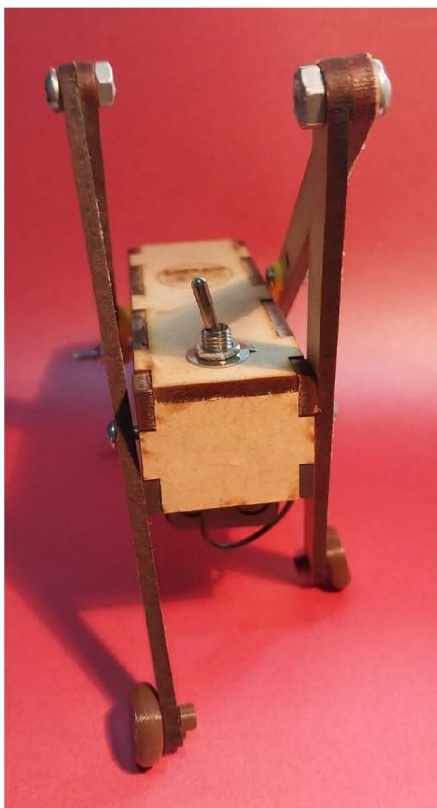


LÁSER EN ACCIÓN:



TRABAJO TERMINADO:



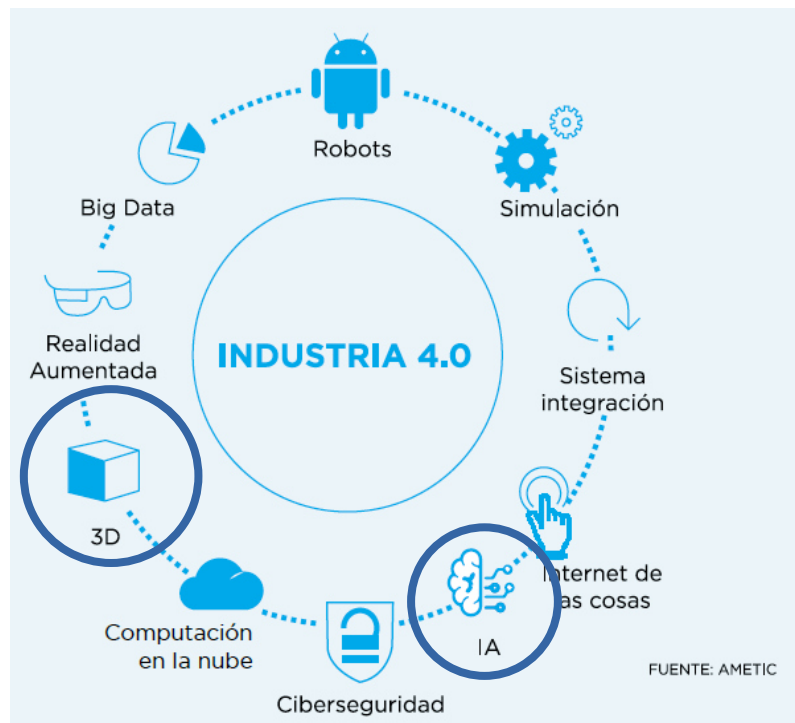


Herramientas de la industria 4.0 en la formación tecnológica del diseño industrial

Parte 2. Inteligencia Artificial en el flujo de trabajo de diseño y fabricación digital

Casos de diseño asistido por IA e impresión 3D

Anexo con informes técnicos



	Estudiante	Tema	Espacio de docencia e investigación	Docente
A	Aragón	Amelia	Manufactura Digital 2024	Ruscitti Andrés
B	Arévalo	Leonardo		
C	Pedrozo	Santiago		
D	Saia	Andrés		
E	Campaña	Lucas		
F	Tabernero	Victoria		
G	Tabernero	Victoria		
H	Saia	Andrés		

Modelado con asistencia de IA



MANUFACTURA DIGITAL

DOCENTE: ANDRÉS RUSCITTI

ALUMNA: AMELIA ARAGÓN

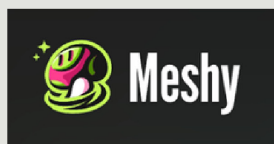
OBJETIVO GENERAL

Diseñar un producto mediante Inteligencia Artificial con un prompt detallado bajo un concepto de diseño

INTELIGENCIAS UTILIZADAS



Chat GPT para la generación del prompt.



KREA, LEONARDO.AI y MICROSOFT BING para la generación de imágenes del prompt.

MESHY y TRIPÔ para la generación del modelado 3D en formato malla, partiendo de las imágenes generadas.

SOLIDWORKS para la corrección del modelado 3D



OBJETIVO

Diseñar un set de mate (mate + azucarera + yerbera) mediante un prompt detallado con el concepto de **superficie facetada**, utilizando la tecnología de impresión de cerámica

(Luego se decidió que sea solo el mate)



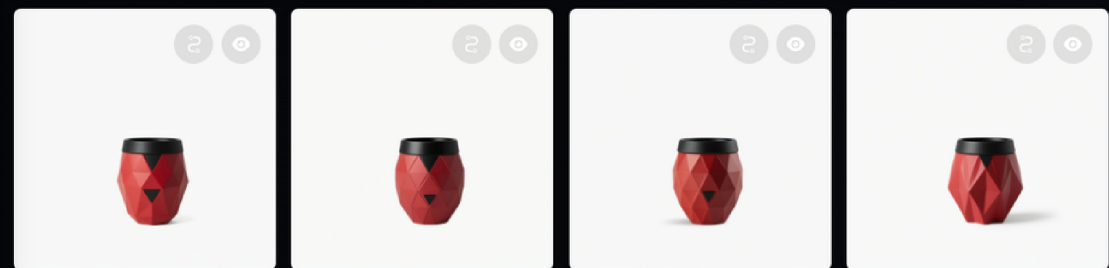
DISEÑOS GENERADOS POR IA DE IMÁGENES



Microsoft Bing



KREA

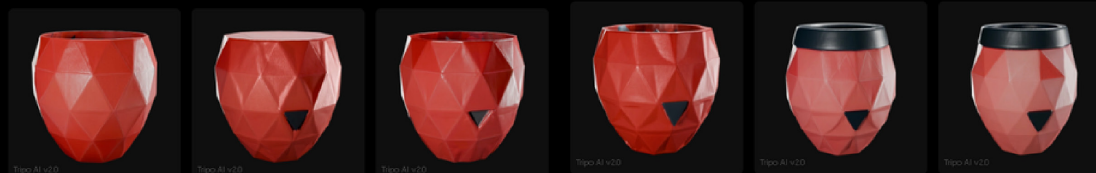


Leonardo.AI

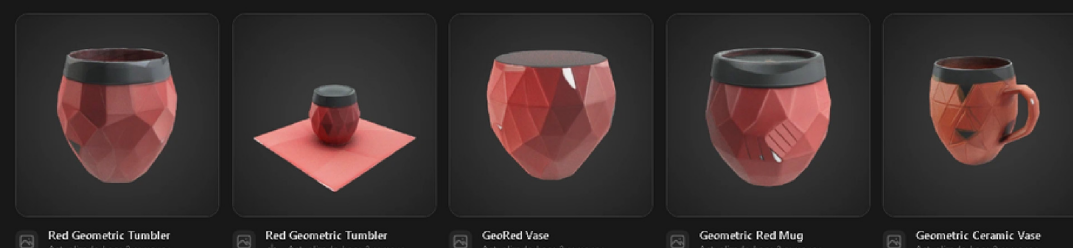
RESULTADOS GENERADOS EN TRIPÔ



Los resultados fueron medianamente acertados en cuanto a diseño, se presentaban complicaciones para que la IA entendiera el concepto de “superficie facetada” por lo que se continuó la búsqueda de alternativas probando distintos prompts.



RESULTADOS GENERADOS EN MESHY



Los resultados se fueron acercando un poco más a la idea de diseño, aunque la IA continuaba mal interpretando las imágenes y los prompts generados. En la mayoría de los casos las mallas estaban rotas o con muy poco espesor que hacía imposible la impresión de las mismas. Finalmente decidí llevar el trabajo hacia otro lado y cambiar el concepto a uno más dinámico con forma de “ondas” y la tecnología a FDM, y comenzar toda la búsqueda nuevamente.

KREA



Microsoft Bing

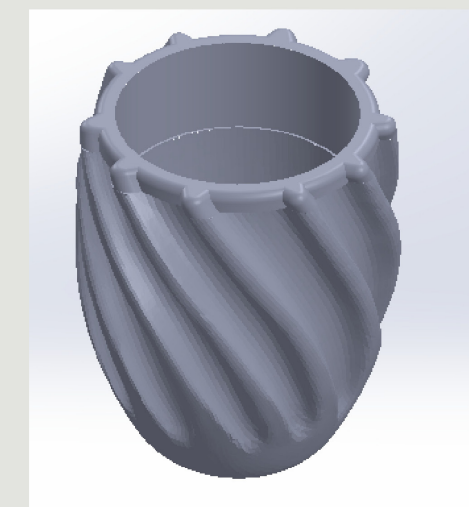


RESULTADO FINAL



Leonardo.AI

Modelados generados con TRIPY y MESHY



Elegance Unveiled
Actualizado hace 6 días



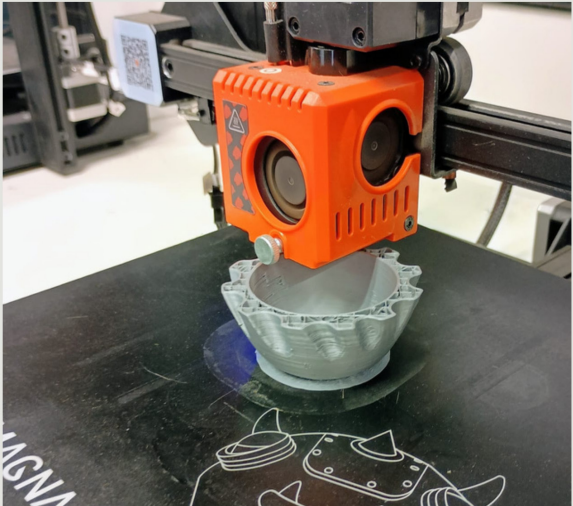
Elegance in Motion
Actualizado hace 6 días



Waves of Elegance
Actualizado hace 6 días



Whirlwind Vase
Actualizado hace 6 días



CONCLUSIÓN FINAL

Como conclusión, considero que el trabajo cumple con el objetivo inicial, más allá de las idas y vueltas que hubieron para llegar a la forma final. Si bien en un principio se lo había planteado para ser impreso en cerámica, lo tuve que cambiar por una cuestión de tiempo de fabricación y se optó por realizarlo con FDM.

En cuanto al diseño generado por IA, es sorprendente el avance de la tecnología y su capacidad de crear modelados enteros a partir de una o más fotos, o prompts. Aunque por otro lado, esto no quita que la IA tenga sus fallas al entregar modelados incompletos o inconsistentes, o directamente no entienda del todo lo que está intentando modelar y genere algo totalmente distinto a lo solicitado. Sin embargo, creo que será cuestión de tiempo para que la IA pueda superarse cada vez más y esas falencias sean mejoradas.

PROYECTO

Diseño de Producto + Diseño asistido por IA

Leonardo Arevalo
Manufactura Digital 2024

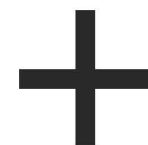


Leonardo Arévalo



Diseño Asistido por IA

¿Que es la herramienta de modelado mediante ChatGPT y OpenScad?



El modelado 3D mediante ChatGPT y OpenSCAD es una herramienta para quienes buscan crear modelos geométricos de manera programática, rápida y con un alto grado de personalización. Aunque hay limitaciones y ajustes manuales a veces necesarios, esta herramienta es una excelente opción para quienes quieren experimentar con el diseño 3D sin necesidad de ser expertos en CAD o programación.

CÓMO FUNCIONA EL MODELADO 3D CON CHATGPT Y OPENSCAD

Input por Texto (ChatGPT):

El usuario proporciona una descripción en lenguaje natural sobre lo que quiere modelar, como un cilindro, una esfera, o una estructura más compleja como una flor o un vehículo.

ChatGPT interpreta esa descripción y convierte la idea en código OpenSCAD, generando geometrías a partir de primitivas básicas (cubos, cilindros, esferas, etc.) y aplicando operaciones geométricas como uniones, diferencias, rotaciones, traslaciones y escalados.

Generación del Código OpenSCAD:

ChatGPT produce el código en el lenguaje específico de OpenSCAD.

OpenSCAD usa un enfoque paramétrico, donde cada elemento se describe mediante variables y funciones, lo que permite generar diseños ajustables y personalizables.

Ejecución en OpenSCAD:

El código generado por ChatGPT se copia y ejecuta en el software OpenSCAD. Este renderiza el modelo 3D basado en las instrucciones del código.

OpenSCAD permite visualizar, ajustar y exportar el modelo para imprimirla en 3D o usarlo en otros contextos.



```
// Parámetros generales
altura_tallo = 40;
radio_tallo = 5;
altura_base = 5;
radio_base = 12;
radio_petal_base = 15;
radio_petal_punta = 8;
numero_petales = 6;

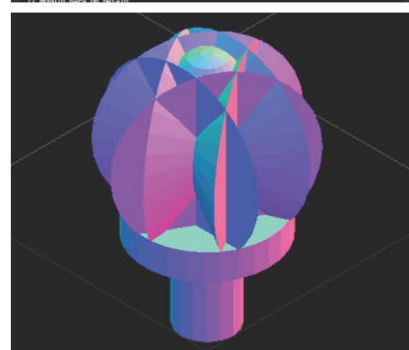
altura_media_esfera = 5; // Altura de la media esfera
elevacion_petales = 10; // Cantidad de elevación de los pétalos
altura_base = 5; // Altura redondeada de la base cilíndrica
radio_base = 12; // Radio reducido de la base cilíndrica

// Módulo para el tallo
modulo_tallo() {
    cylinder(h = altura_tallo, r = radio_tallo, center = true);
}

// Módulo para la media esfera en la punta del tallo
modulo_media_cervical() {
    translate([0, altura_tallo / 2]) // Posiciona la media esfera en la punta del tallo
    sphere(r = radio_tallo, center = true);
}

// Módulo para los pétalos de la flor
modulo_petales() {
    for (i = [0 : numero_petales - 1]) {
        rotate([0, 0, i * 360 / numero_petales])
        translate([0, radio_tallo, elevacion_petales]) // Elevación de los pétalos
        petal();
    }
}

// Módulo para los pétalos
petal() {
```



VENTAJAS DEL MODELADO 3D MEDIANTE CHATGPT Y OPENSCAD

Acceso a Modelado Sin Conocimiento Avanzado:

- Los usuarios no necesitan ser expertos en OpenSCAD o en programación para crear modelos 3D. ChatGPT convierte las ideas en código, lo que simplifica el proceso.
- Esto abre la puerta a creativos que no dominan el diseño CAD pero que pueden visualizar conceptos.

Generación Rápida de Prototipos:

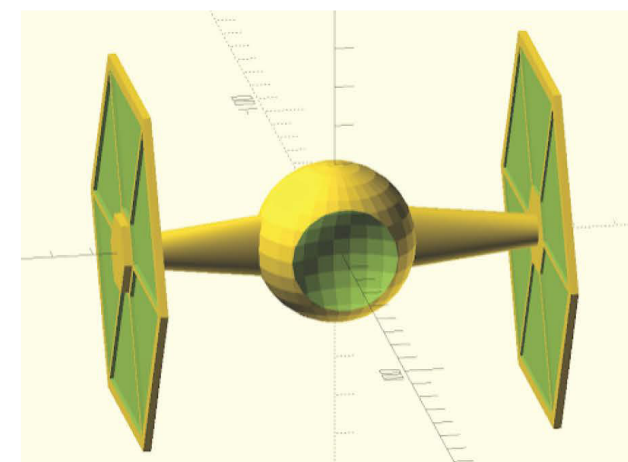
- Para usuarios que ya trabajan con OpenSCAD, ChatGPT puede ayudar a automatizar tareas repetitivas o acelerar la creación de geometrías más complejas.
- Es posible generar múltiples versiones de un modelo cambiando algunos parámetros en el código generado por ChatGPT.

Personalización y Parametrización:

- Al estar basado en código, los modelos generados son altamente parametrizables. Es sencillo ajustar dimensiones, agregar o eliminar elementos y realizar experimentos en el diseño.

Exploración Creativa:

- ChatGPT puede sugerir y probar diseños inusuales o abstractos, explorando opciones creativas que pueden ser difíciles de conceptualizar de otra manera.



LIMITACIONES Y DESVENTAJAS DE MODELADO 3D MEDIANTE CHATGPT Y OPENSCAD

Complejidad de Modelos Avanzados:

- Para modelos 3D complejos, puede ser difícil describir todos los detalles necesarios de manera efectiva con texto. A veces, el resultado puede no coincidir exactamente con lo que el usuario tenía en mente.
- ChatGPT aún depende del input del usuario, por lo que la calidad del modelo generado estará relacionada con la precisión de las instrucciones dadas.

Errores en el Código Generado:

- Aunque ChatGPT puede generar código OpenSCAD funcional, en algunos casos puede haber problemas como geometrías que no se interceptan correctamente, partes flotantes o estructuras inestables.
- Es posible que el código requiera ajustes manuales o depuración para perfeccionar el diseño final.

Capacidades Limitadas en Diseño Orgánico:

- OpenSCAD está orientado a modelos más geométricos y precisos, lo que lo hace menos adecuado para formas orgánicas (como figuras humanas, criaturas o entornos naturales). ChatGPT puede enfrentar dificultades para traducir descripciones de formas orgánicas en geometrías adecuadas en OpenSCAD.



TEMA GENERAL

Diseño Asistido por IA

Según una investigación realizada, se puede resumir en que:

Las herramientas de IA pueden acompañar los procesos de diseño al agilizar tareas y ampliar las posibilidades creativas. Algunos ejemplos son:

- **Texto a imagen:** Permiten generar conceptos visuales rápidamente a partir de descripciones textuales, facilitando la creación de moodboards y bocetos iniciales. Ayudan a visualizar ideas sin necesidad de dibujar manualmente, acelerando el proceso de ideación.
- **Texto a modelado 3D:** Transforman descripciones detalladas en modelos tridimensionales, lo que simplifica la creación de prototipos digitales. Esto es útil para visualizar productos desde diferentes ángulos antes de entrar en la fase de manufactura.
- **Imagen a modelado 3D:** A partir de una imagen 2D, estas herramientas pueden generar modelos tridimensionales, facilitando el desarrollo de versiones más precisas de un diseño. Esto permite transformar bocetos o fotografías en prototipos 3D para impresoras o software de modelado.

Uso de ChatGPT en programas CAD

Rhinoceros:

- Explica comandos y herramientas.
- Ayuda a modelar superficies complejas y optimizar archivos.

Grasshopper:

- Asiste en la creación de algoritmos paramétricos.
- Sugerencias para simulaciones físicas y optimización geométrica.

Otros programas CAD:

- Solución de problemas técnicos.
- Sugerencia de plugins y herramientas especializadas.
- Mini tutoriales para realizar tareas específicas.

OBJETIVO

METODOLOGIA

El trabajo en si consta de poder **realizar un producto funcional** y representativo de la materia al utilizar el proceso desarrollado en clase (Utilizar las **herramientas de IA** presentadas en el informe expuesto durante la clase del 27-9.), **fabricar un prototipo o protomaqueta con las herramientas disponibles** de la universidad.

Algunos de los productos a desarrollar que propongo pueden ser:

Propuesta principal:



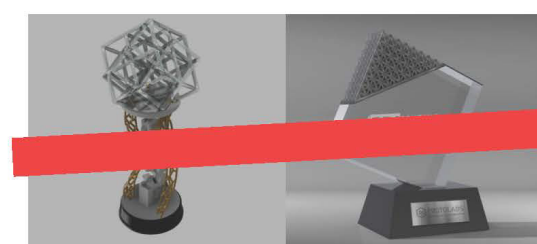
Lampara o juego de
(mesa, escritorio,
piso, pared)

Algunas propuestas en otro caso podrian ser:



Juego de ajedrez

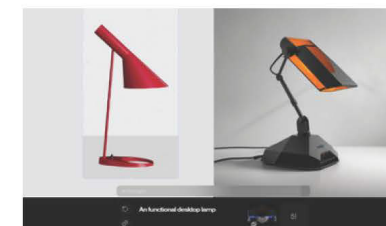
ELEGIDA



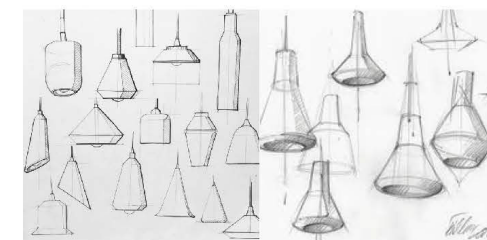
Premio, trofeo
reconocimiento.

La metodología de diseño asistida por IA que propongo realizar sigue un proceso en el que se combina las herramientas propias de un diseñador con herramientas digitales de IA para lograr buenos resultados (Ejemplo lampara):

Primero, busco conceptos visuales usando IA (Krea). Con esta herramienta, genero imágenes basadas en descripciones textuales, lo que me permite explorar diferentes ideas y estilos sin tener que hacer bocetos desde cero.



Segundo, hago renders a mano para resolver detalles puntuales. Aquí ajusto cualquier aspecto que necesite una mayor precisión o que no haya quedado claro en la imagen generada por IA. Este paso me ayuda a definir mejor los problemas específicos del diseño.



Después, reinterpreto el render con Krea AI o Vizcom AI. Tomo el Sketch que hice y lo subo nuevamente a la herramienta para que la IA lo procese y me devuelva nuevas versiones que integren los ajustes, pero con una visión automatizada que puede proponer soluciones diferentes.



METODOLOGIA

Convierto la imagen en un modelo 3D. Dependiendo del proyecto, uso Tripo3D para transformar la imagen en un modelo tridimensional o trabajo con Grasshopper para crear el modelo usando parámetros. Aquí, aprovecho la capacidad de la IA para modelar de manera más eficiente.



Por último, Ya con el modelo 3D, lo optimizo en programas CAD para asegurar que todo esté bien estructurado y sobre todo sea FACTIBLE, ajustando geometrías, materiales y asegurando que el diseño sea viable para su fabricación.



METODOLOGIA

Utilizar herramientas y/o materiales disponibles en la universidad para fabricar la protomaqueta segun sea necesario.

Ejemplos:



Nota: marcados con una flecha las mas probables a utilizar

AJEDREZ

Diseño asistido por IA

Leonardo Arevalo
Manufactura Digital 2024



Leonardo Arévalo



Objetivos

Tema: ajedrez



Herramientas



Tecnologías a usar



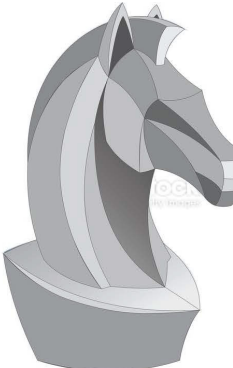
Pruebas

Pieza: Caballo

Texto a imagen



Dibujo propio

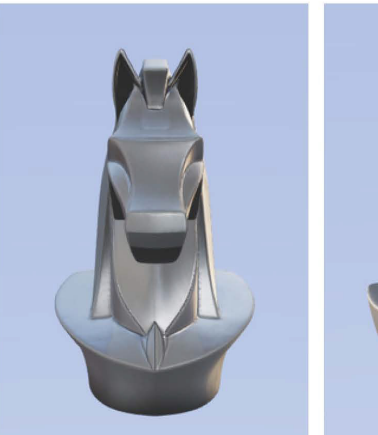


Dibujo mejorado



Tiradas: 4

Imagen a modelado



Pieza: Reina



Corel DRAW
Graphics Suite



VIZCOM

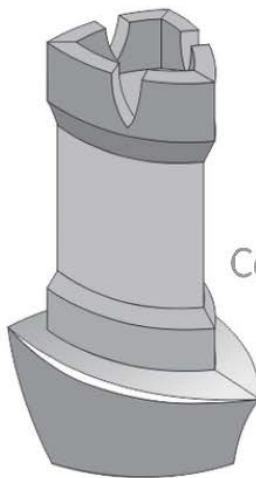


Tiradas: 9



Pieza: Torre

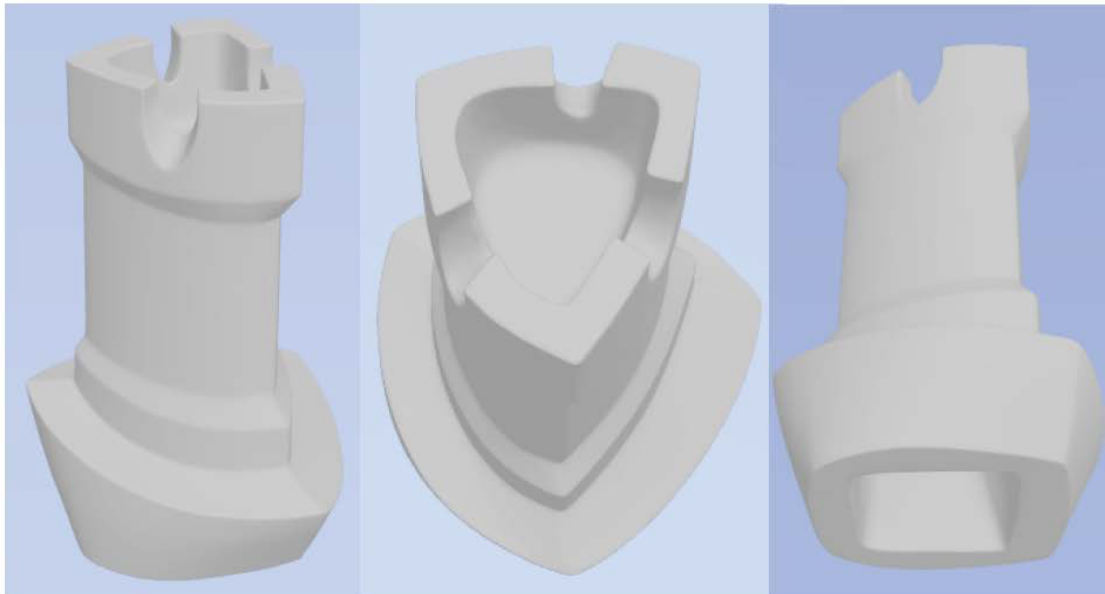
18-10



Corel DRAW
Graphics Suite



Tiradas: 3

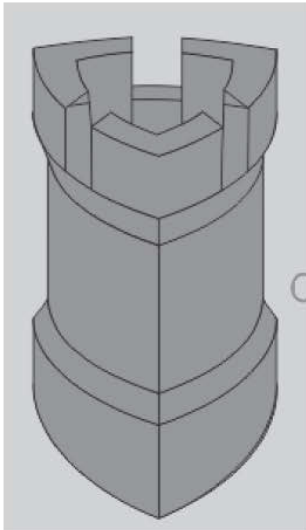


Cambios de estrategia

- Debido a la dificultad de realizar piezas con dimensiones deseadas. Se descargaran los modelos y se ajustaran en un software CAD.
- Se cambia la forma de generar los modelos, Antes se buscaba generarlos con una base parecida, al no ser consistente se generan sin base.
- La base sera hecha en un software CAD y sera compartida entre todos los modelos
- Mejorar la pieza torre e importancia a la pieza peon.



Pieza: Torre v2



Corel DRAW
Graphics Suite



VIZCOM



Tiradas: 7



Pieza: Alfil



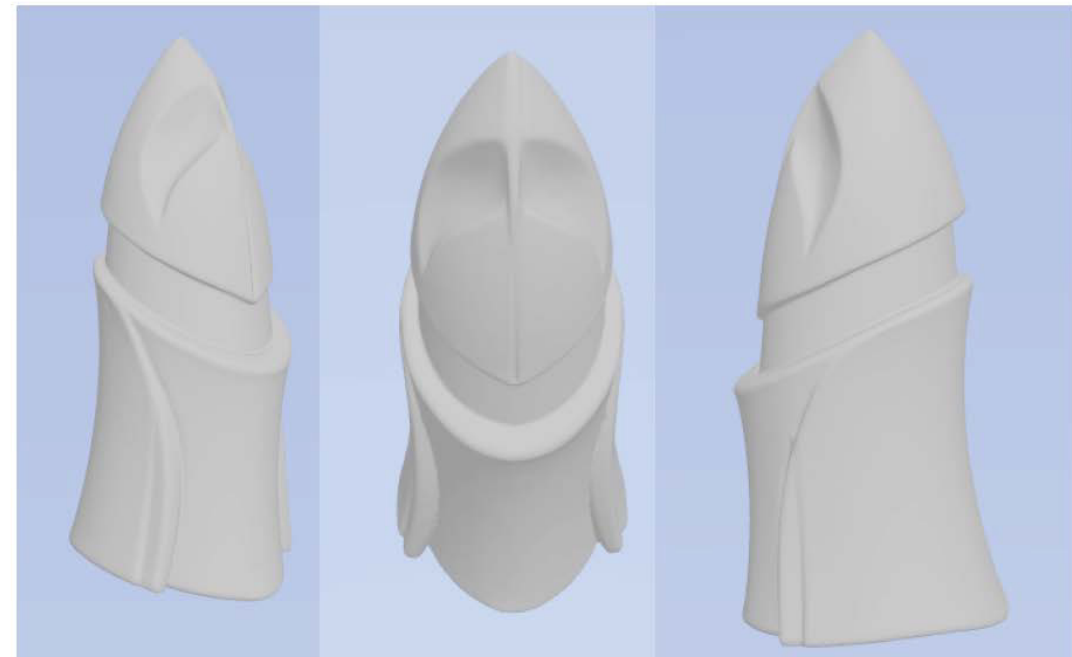
Corel DRAW
Graphics Suite



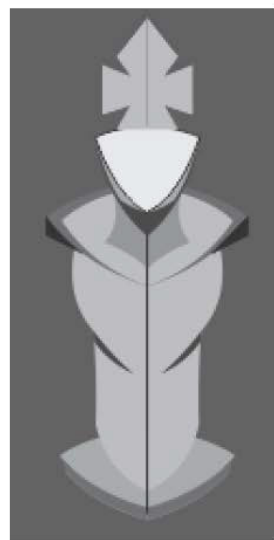
VIZCOM



Tiradas: 3



Pieza: Rey



VIZCOM

TRIPC

Tiradas: 7

Pieza: Peón



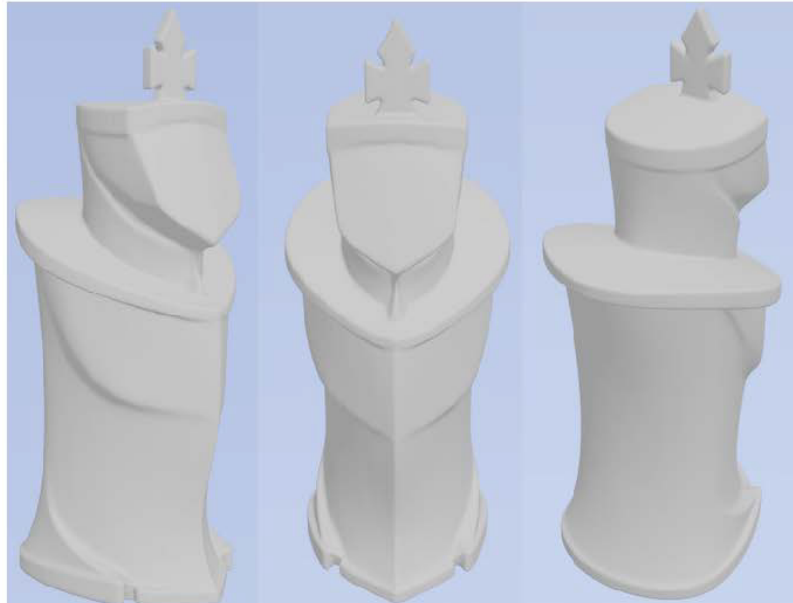
Corel DRAW
Graphics Suite



VIZCOM

TRIPC

Tiradas: 2



Piezas generadas

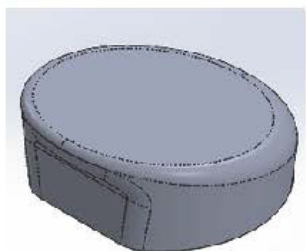


Pieza: Peón v2

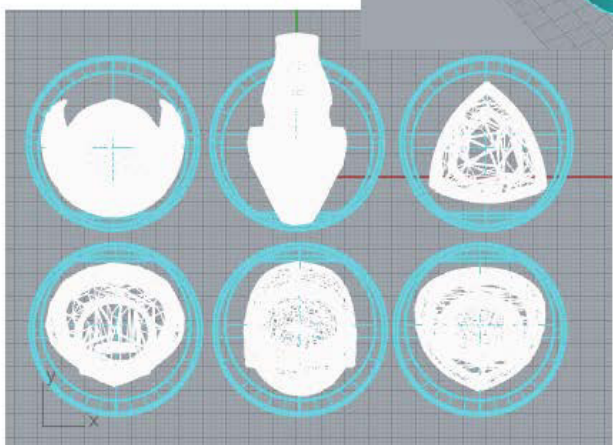
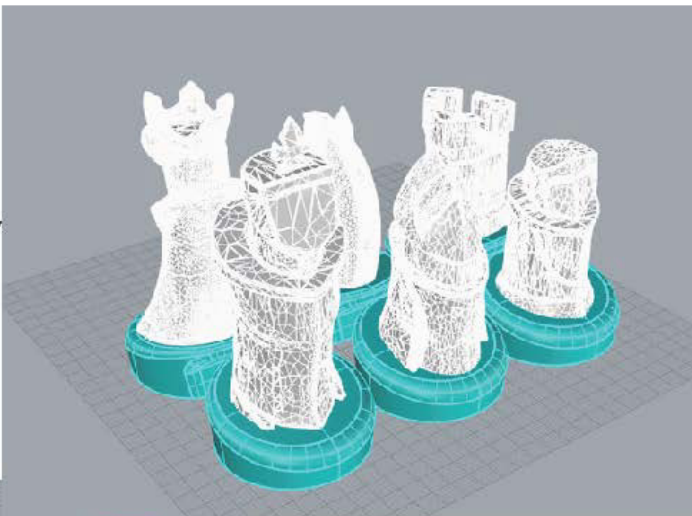


Preparacion de piezas

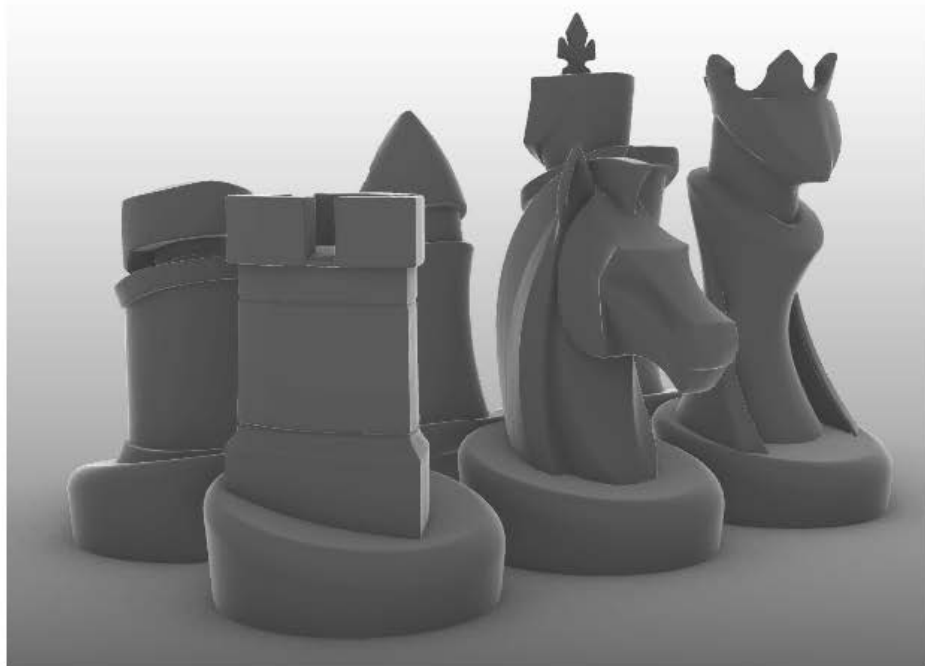
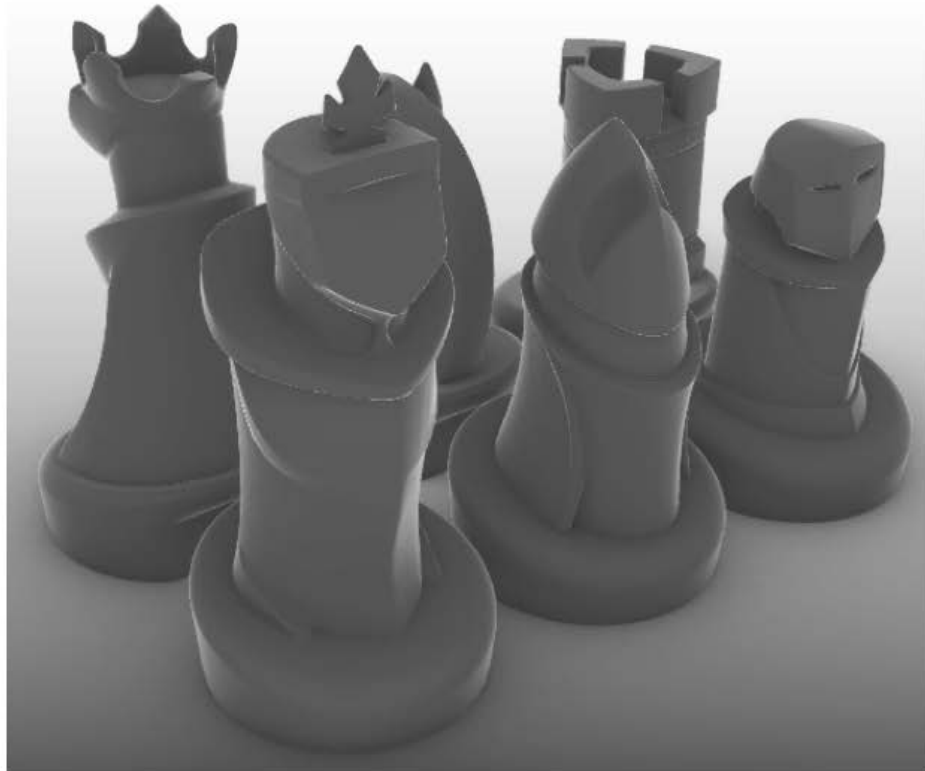
Se procedio a preparar las bases por separado, utilizando solidworks como opcion para crear una base simple de aproximadamente 35 mm de diametro y 15 mm de alto.



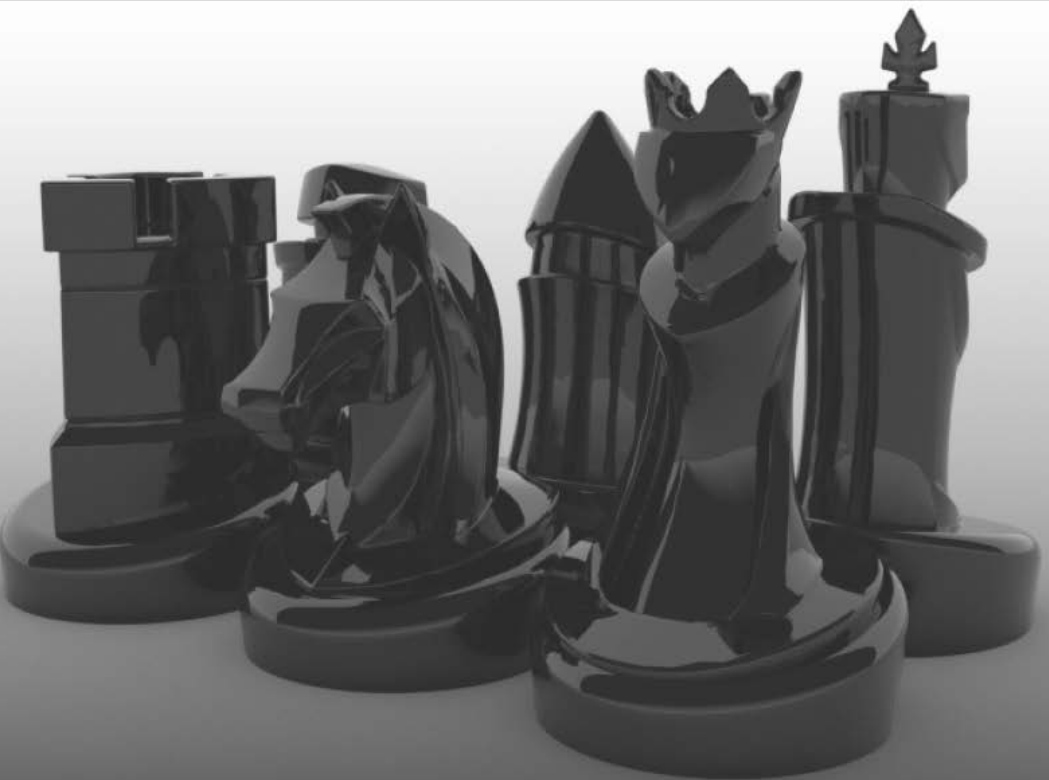
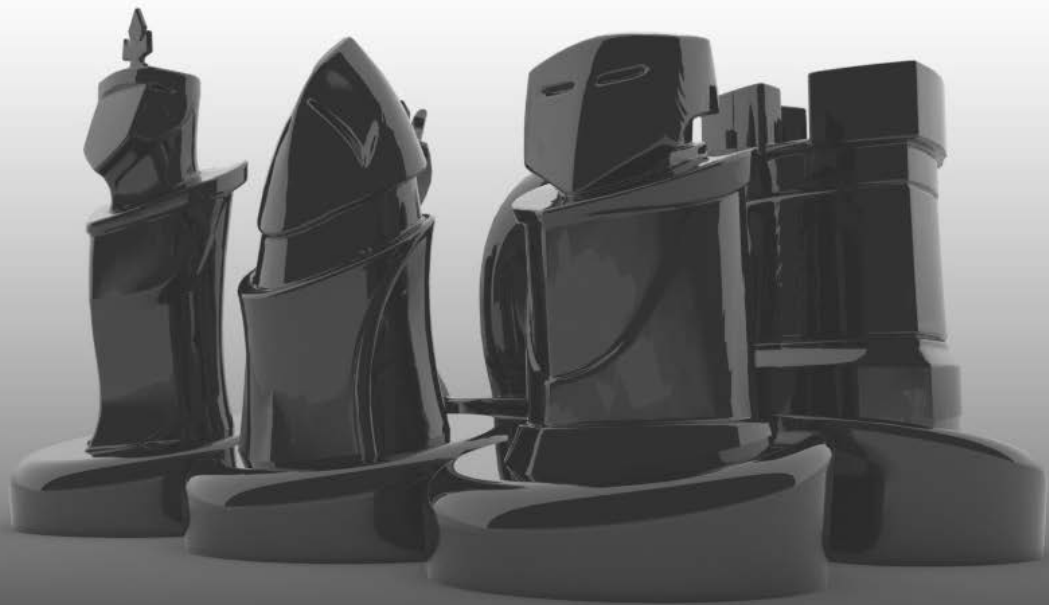
Se les realizo cortes con mesh mixer a las bases de las piezas generadas por trip y se importaron tanto la base estandar como tambien cada una de las piezas a rhinoceros, donde se escalaron y se unieron para formar los modelos para nuestras piezas de ajedez



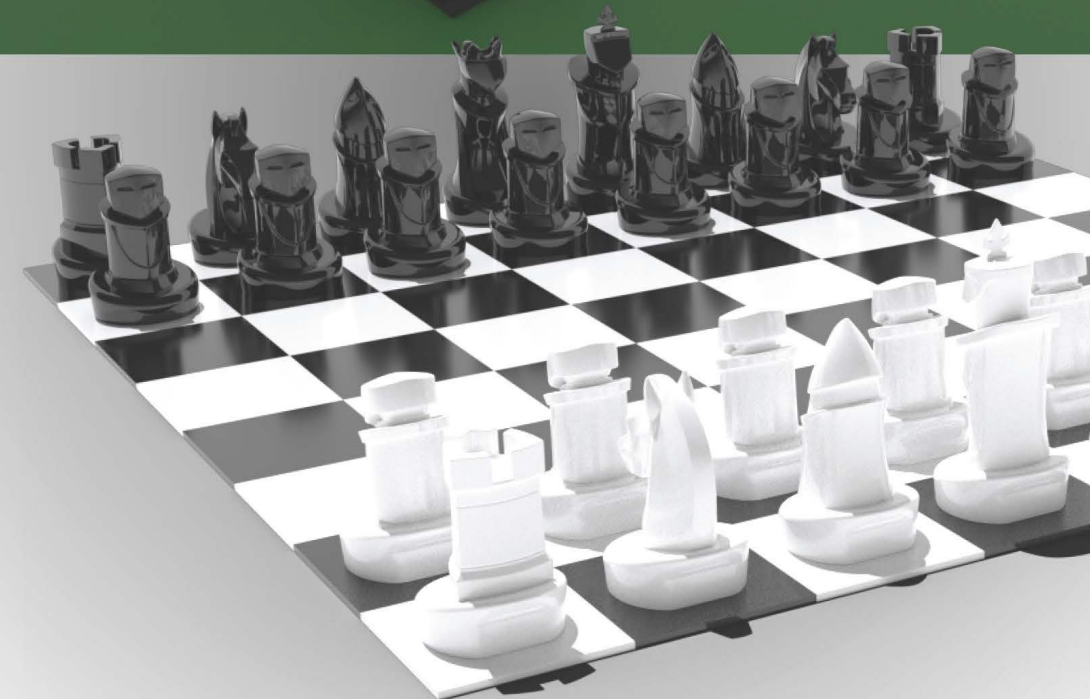
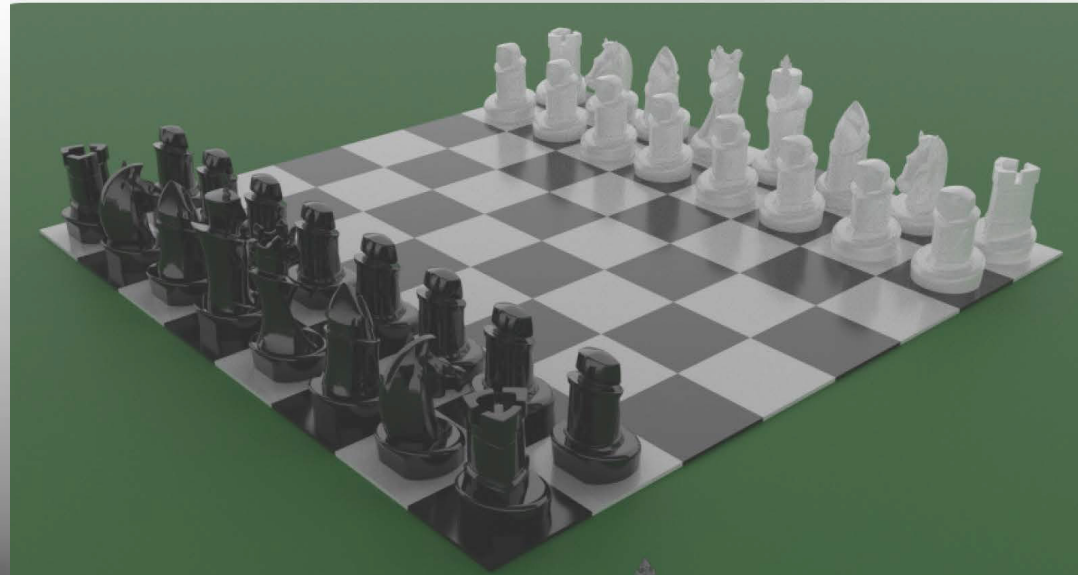
Resultado final de las piezas



Renders



Renders



Impresion 3d FDM de las piezas

Mediante la impresion 3d se procede a verificar las dimensiones de las piezas, las cuales fueron mayormente satisfactorias... Siempre se puede mejorar y este es el caso... En la pieza del rey, la corona debe ser ajustada debido a que la generacion no tuvo en cuenta el tamaño de la cruz, la cual debera ser escalada para aumentar la dureza.



Galeria de fotos: Pruebas de piezas impresion 3D



Conclusiones finales

El proyecto se basaba en hacer tareas de diseño asistido en diversas fases por la IA, aprender e integrarlas a el.

Primero se intento con OPENSCAD + Chat GPT. El cual resulto no ser muy eficiente debido a las limitaciones de openscad para modelar piezas organicas y la deficiencia de codigos generados por chatgpt. Esto hacia el proceso de diseño algo trabado e infructifero. No se llego a cumplir los objetivos.

Se decidió cambiar de rumbo a diversas estrategias y programas de diseño analizadas por mi y mis compañeros de temas.

La estrategia mas optima resulto en:

- 1.Inspirarse mediante **KREA.ai**
- 2.**Dibujar** la idea, en este caso hubo intervención manual en el proyecto (En mi caso personal mediante CorelDRAW)
- 3.insertarla en **VIZCOM**, donde el boceto fue intervenido por la IA para mejorar el dibujo y darle acabado realista.
- 4.El resultado de vizcom seria introducido en **TRIPO AI**. Donde seria modelado por una IA con resultados mayormente inconsistentes. Pero con el pasar de varios intentos serian aceptables o mejores a lo esperado.
- 5.Se bajan los resultados y de ser necesario se refinan en **Meshmixer**
- 6.Luego de esto los modelos generados por ia serian importados a **Rhinoceros**, donde se escalan,optimizan y adhieren a una base.

Ventajas y beneficios

- Se puede considerar a la ia como una herramienta creativa util para optimizar los tiempos de las fases de creatividad.
- Las I.A.s destinadas al modelado de piezas son muy utiles para visualizar una idea en poco segundos.
- De optimizar el uso en conjunto de las I.A.s , un trabajo puede ser realizado en muy poco tiempo.
- Recomendado para diseñadores con ideas que no puedan ser realizadas debido a un bajo nivel de manejo de Software CAD

Desventajas e inconvenientes

- Encontrar una estrategia de trabajo optima puede ser algo dificil de realizar, ya que depende mucho de las habilidades personales y el tiempo disponible para realizar un proyecto.
- La herramienta de Openscad fue algo dificil de usar y poco intuitiva.
- La herramienta de tripai suele confundirse si no se usa una imagen clara, con la perspectiva necesaria, y en un fondo que no sea un color liso. Tambien suele demorar entre 6 a 15 intentos lograr un resultado deseado, siendo esta una herramienta que en modo gratis, tiene unas tiradas limitadas.



Leonardo Arévalo

FINAL PROPUESTAS

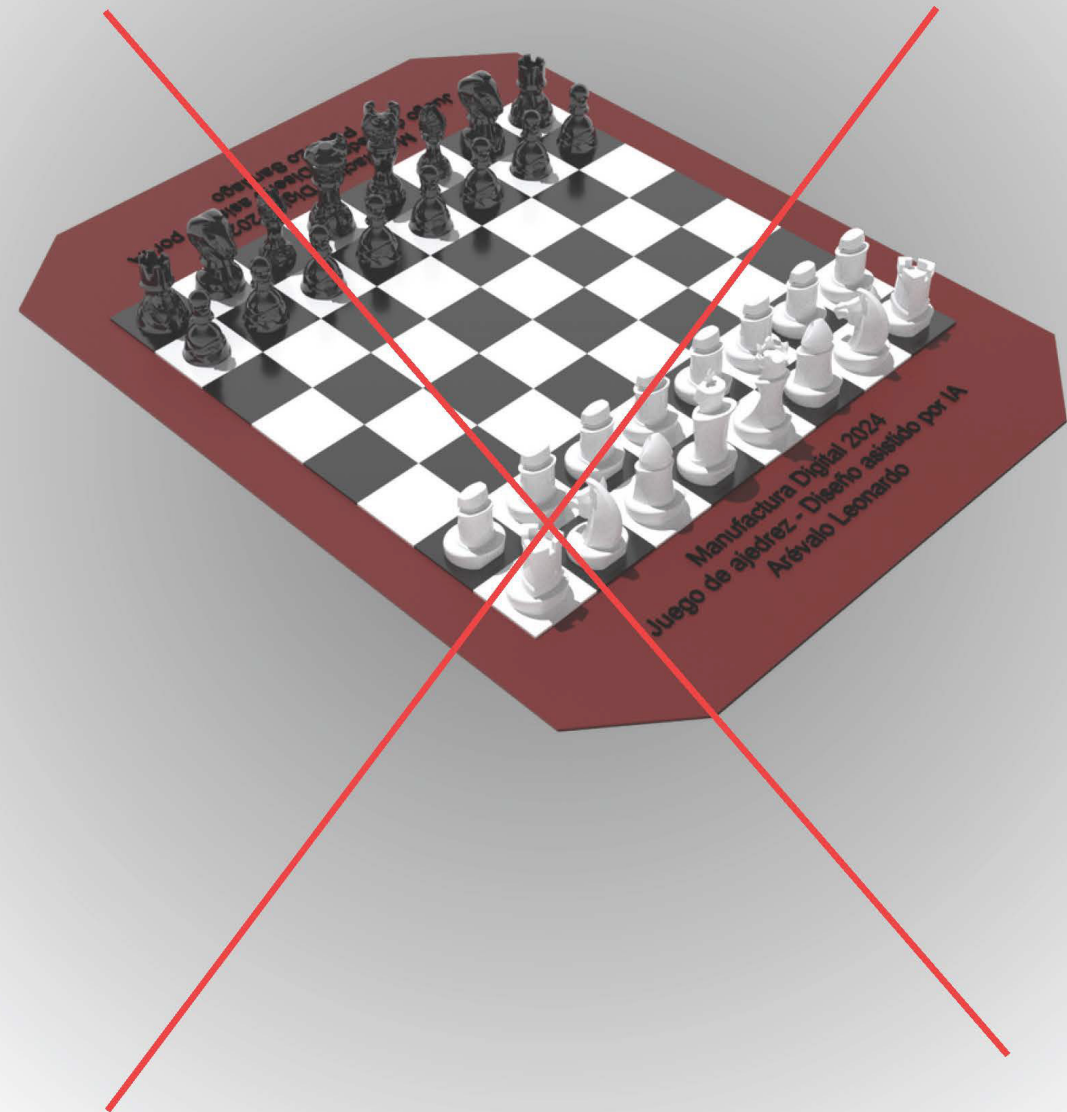
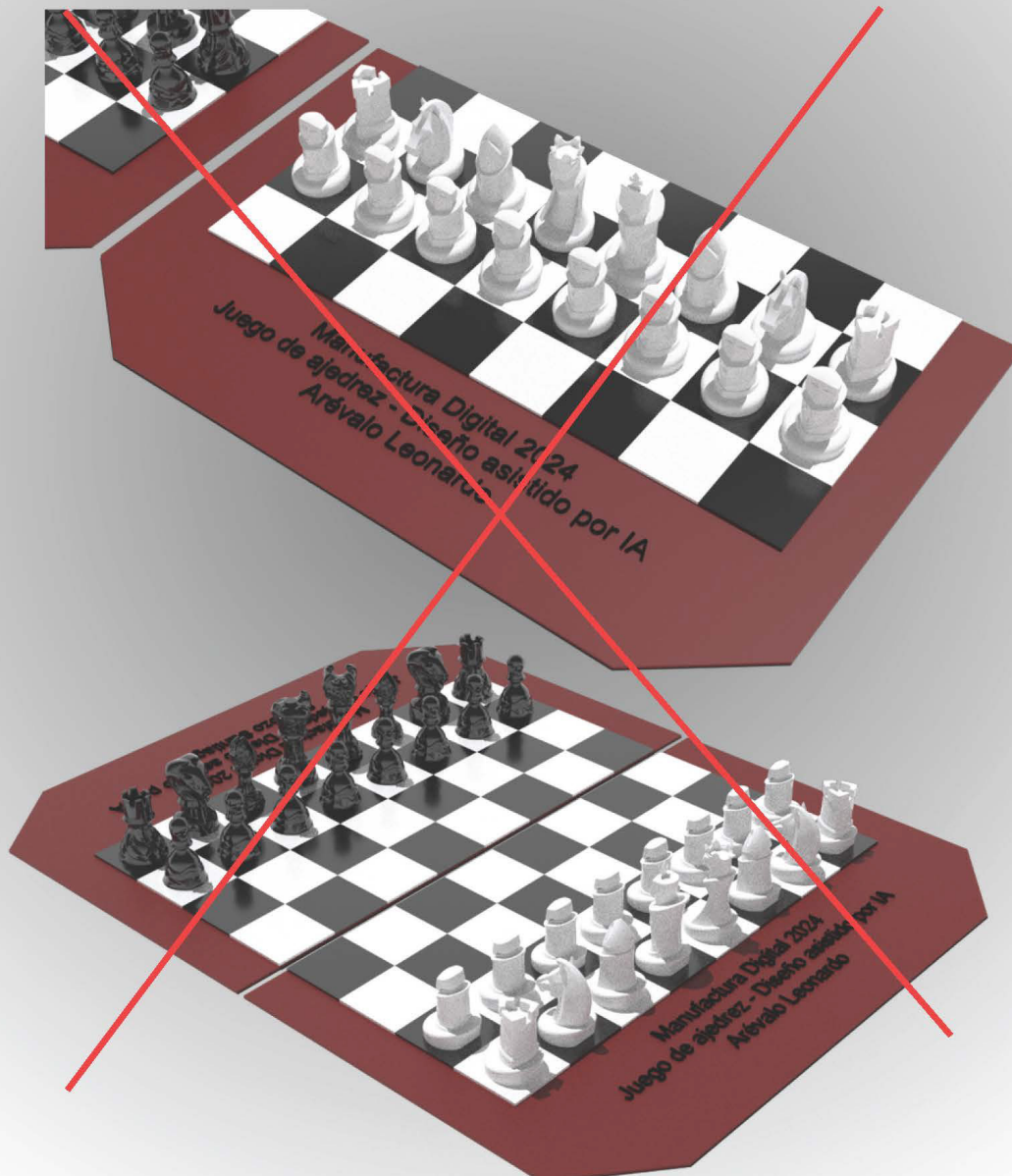
Diseño asistido por IA

Leonardo Arevalo
Manufactura Digital 2024

Propuesta 1 de presentacion final (descartada)

Tablero

Para una “presentacion final”, se acordó con mi compañero de tema realizar un juego en conjunto, donde cada set de piezas represente un bando de cada color. Se planea realizar un tablero partido a la mitad como exhibidor, que luego se pueden juntar para completar un tablero de juego



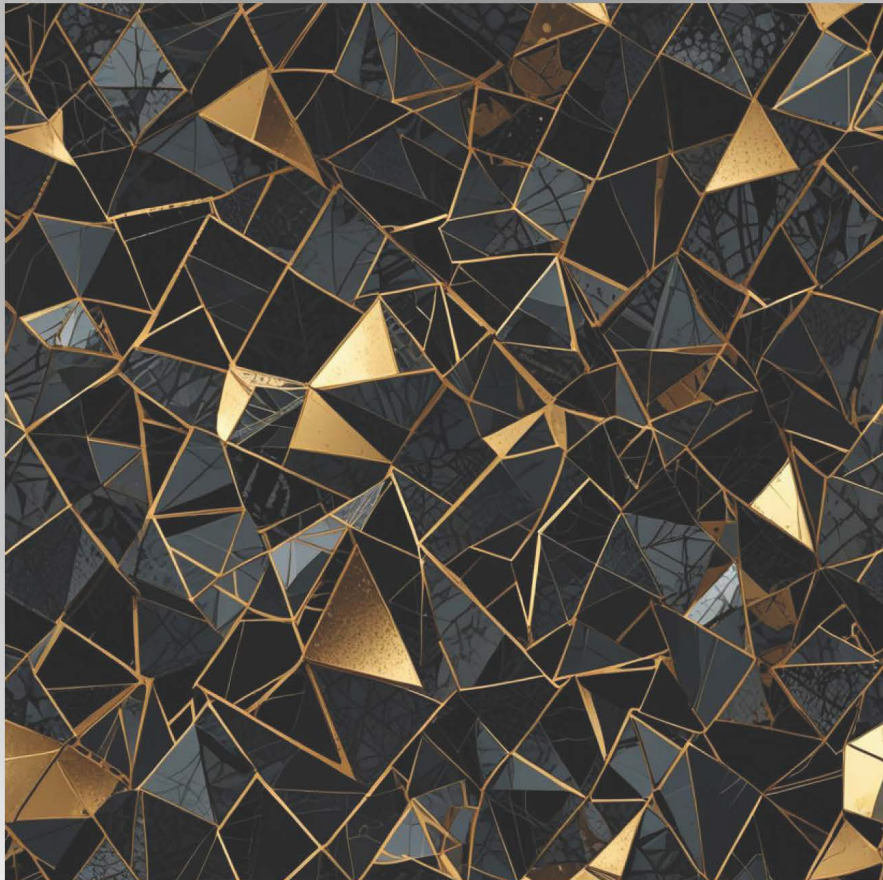
Propuesta 2 de presentacion final

"Producto terminado": Consiste en Desarrollar y Elaborar un tablero/contenedor de piezas para el transporte del juego completo. Un elemento tipo bolso textil sublimado, el cual al ser enrollado permita el transporte de las piezas en su interior.

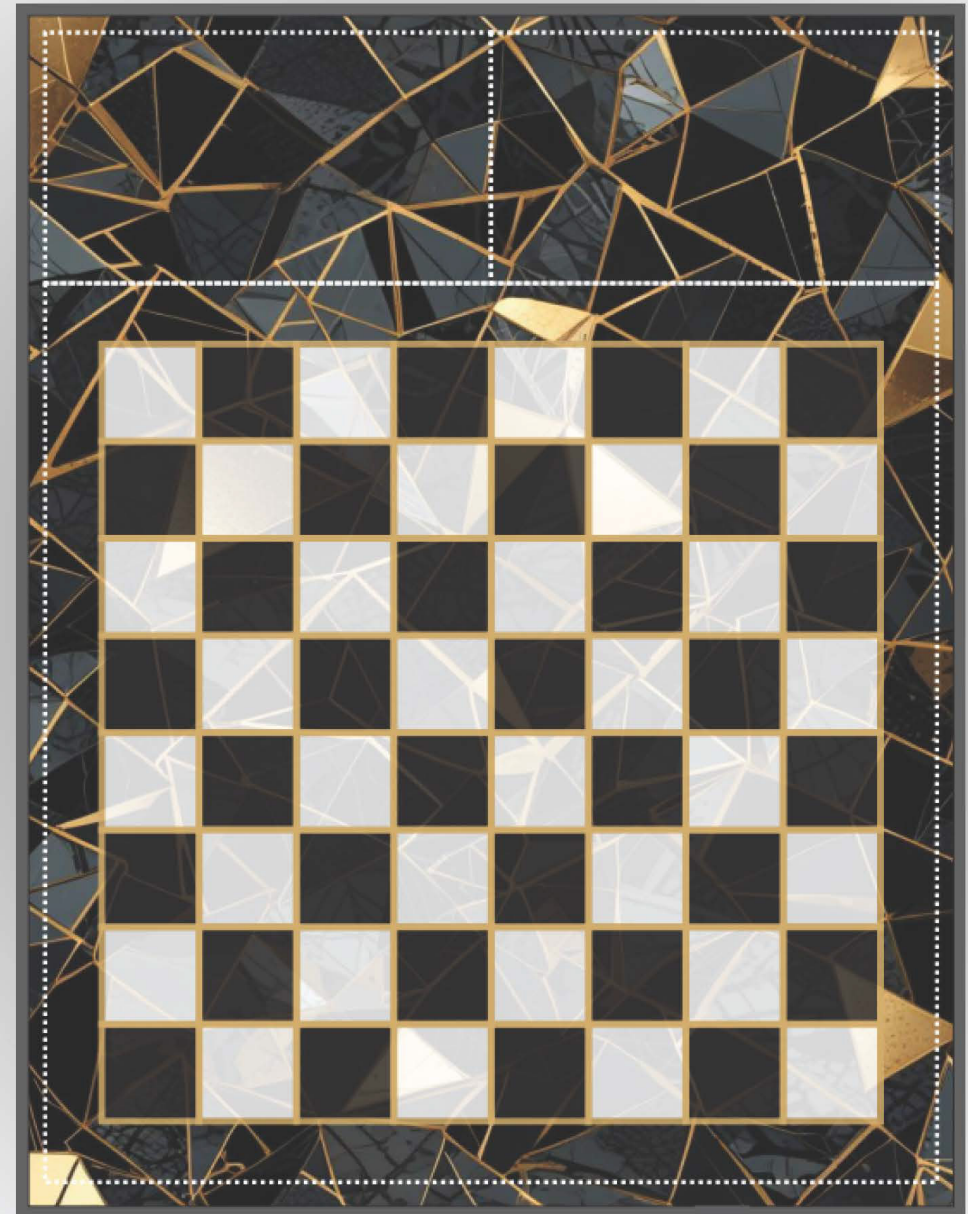
realizar compartimientos en un lateral para guardar las piezas de ajedrez de cada equipo.

Un dobladillo en el contorno para dejar una vista más limpia e incorporar botones o un mismo velcro de cierre a cada compartimiento

Textura tematica realizada por ia para la estetica del tablero



Boceto de Tablero



PROTOTIPO

Diseño asistido por IA

JUEGO DE AJEDREZ PORTATIL

Leonardo Arevalo
FINAL 18/12/24
Manufactura Digital 2024



Leonardo Arévalo



Elaboracion del Tablero

Plantilla



Tela Sublimada



Resultado final

Luego del sublimado y trabajos de costura



Se envia a sublimar una superficie textil de 75cm x 40cm para realizar un tablero textil con compartimiento de almacenamiento de piezas incluido. Lo cual lo hace un producto efectivo para transporte, viajes y jugar de manera rápida en lugares como parques, playa o en un campamento.

Aspecto funcional

Producto contenido las piezas en su interior y enrollado para guardado / transporte

Producto listo para usar



Tiras para fijar todo el conjunto en situacion de guardados, las mismas se fijan con velcro.

El compartimiento de guardado posee un cierre comun para almacenar las piezas de juego

Galeria de imagenes



Bandos





TRABAJO PRACTICO

Diseño de Producto + Diseño asistido por IA

Pedrozo Santiago

Manufactura Digital 2024
Profesor: Andrés Ruscitti

Licenciatura en Diseño Industrial

ÍNDICE

Diseño de Producto + Diseño asistido por IA

Presentación del tema.....	Hoja N°1
Objetivos.....	Hoja N°2
Metodología.....	Hoja N°3
Desarrollo de propuestas	Hoja N°5
Propuesta final	Hoja N°12
Prototipo	Hoja N°14
Evaluación de objetivos.....	Hoja N°15
Desarrollo de Presentacion.....	Hoja N°16
ENTREGA FINAL 19/22.....	Hoja N°22

Modelado 3D con asistencia de IA

Possible metodología a trabajar

Texto - imagen - modelado 3D

Generar Ideas conceptuales rápidas a partir de descripción textuales, que permitan crear imágenes rápidas sin necesidad de dibujarlo

Imagen - modelado 3D

A partir de una imagen 2D generar un modelado 3d (maya) facilitando la etapa de bocetado, obteniendo un modelado 3d inicial para poder ajustar proporciones y modificando a partir de un archivo

Programas complementarios con CHATGPT

Grasshopper

- Generar scripts para hacer patrones hechos por ia
- Diseño paramétrico, optimización de geometría compleja y automatización de tareas de modelado

Rhinoceros

- Explicar comandos y herramientas
- Facilitar la generación de superficies complejas y optimizar archivos

Blender

- Generar scripts para hacer formas geométricas
- Crear addons personalizados, generar materiales, modificar mallas, optimizar renders y hacer simulaciones.

Objetivo

El trabajo consiste en realizar un producto funcional utilizando como principal tema la INTELIGENCIA ARTIFICIAL, el cual deberá intervenir en cada etapa del desarrollo del producto (idea-modelado-Ajustes).

Deberá ser fabricado utilizando las herramientas que dispone el taller de la universidad

1era propuesta

Piezas de ajedrez + tablero



2da propuesta

Florero + Flores



3era propuesta

Joyería



Alternativas

- Mobiliario
- Utensilios de Cocina
- Envases de perfume + packaging

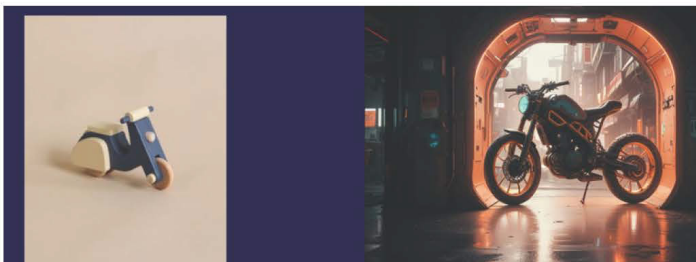


Metodología

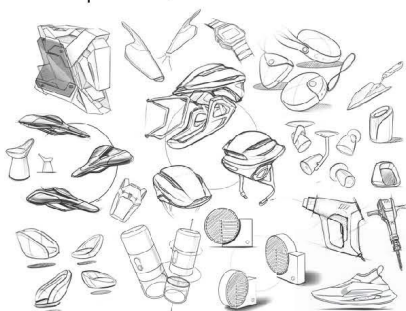
La metodología de diseño utilizando IA es la siguiente

Partir de un concepto utilizando IA (Krea) la cual me permite generar imágenes preliminares mediante texto para evitar realizar bocetos y alternativas

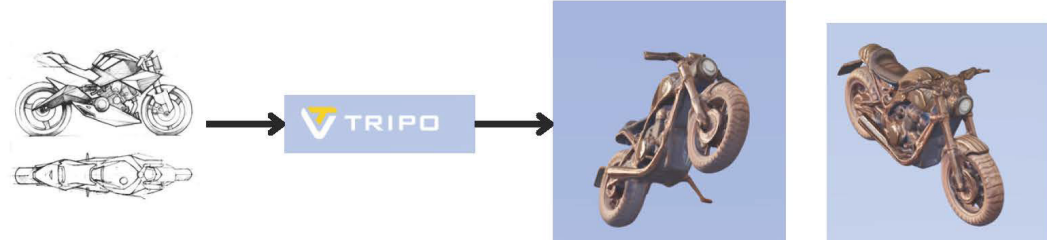
Mediante Pronts generados en chatGPT



Luego realizar RENDER a mano para ajustar detalles y errores que puede generar las imágenes hechas por IA. Con el fin de tener una propuesta final.



Luego Utilizar una ia para realizar un modelado 3d mediante imagen - modelo (maya) como TRIP03D.IA y utilizar ese modelado en Rhinoceros y Grasshopper para realizar un patron parametrico generado por ia



Hoja N°3

Metodología

Utilizar un programa que me permita trabajar con mayas y realizar formas paramétricas



Utilizar las herramientas y materiales disponibles en el taller de maquetas para poder fabricar una proto-maqueta de la propuesta elegida



Deseable

- Impresora 3D SLA
- Impresión PDM cerámica
- Impresión 3D FMD
- corte láser de materiales no ferrosos

Hoja N°4

PIEZAS DE AJEDREZ

Diseño asistido por IA

Propuesta N°1

Croquis



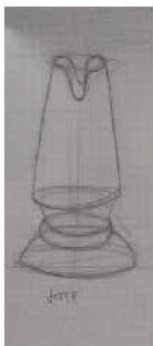
Renderizado por IA (Vizcom)



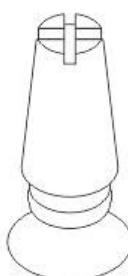
Modelado por IA (Tripo.IA)



Croquis



CorelDraw



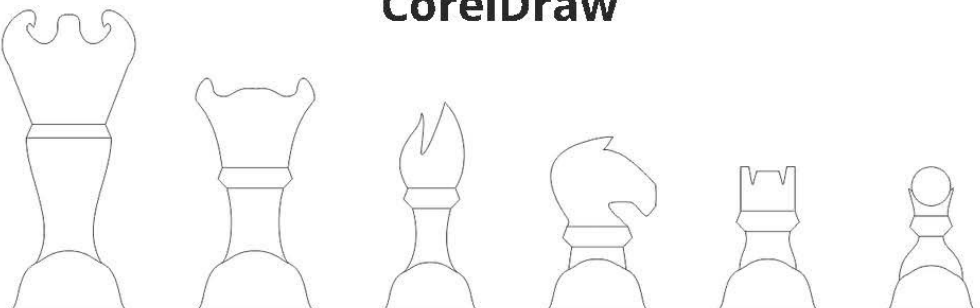
Vizcom



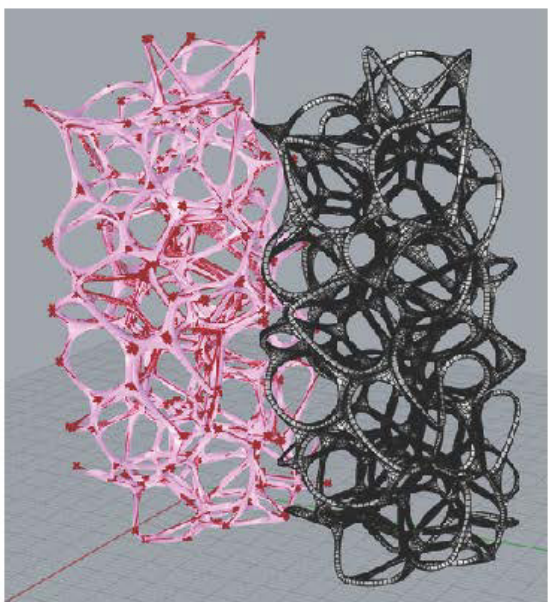
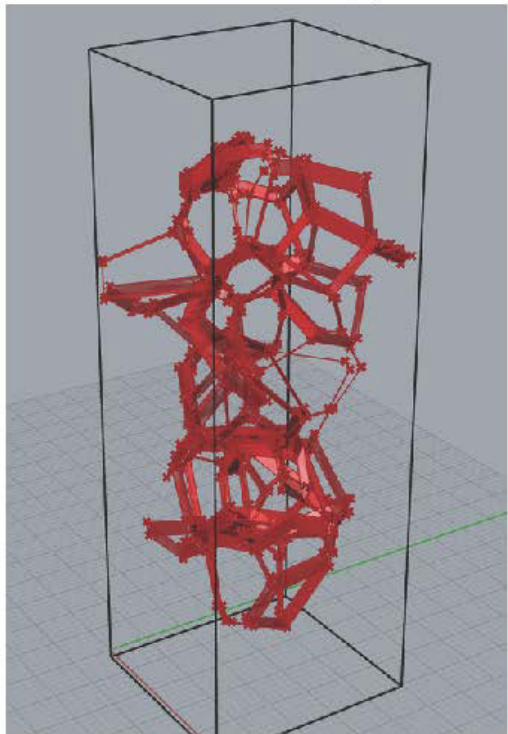
Tripo



Propuesta N°2 CorelDraw



Grasshopper Voronoi & Weaverbird



Observaciones

Buscar un criterio más “orgánico” que sea complejo de realizar mediante programas paramétricos

Se regeneró la imagen varias veces pero sin resultado para que las 6 piezas tengan la misma trama

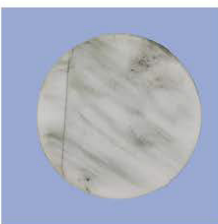
A la hora de realizar en renderizado por IA mediante un prompt “*chess piece with a wart plot marmol*”, logró interpretar el rey, reina y alfil una trama de “verrugas”, ya con el caballo, torre y peón no se logra que repita esa misma trama en cada una.

Tripo.ia



Observaciones

Los modelados resultantes están muy prolíjos y proporcionados, logró interpretar de qué objeto se trataba sin la necesidad de utilizar un prompt



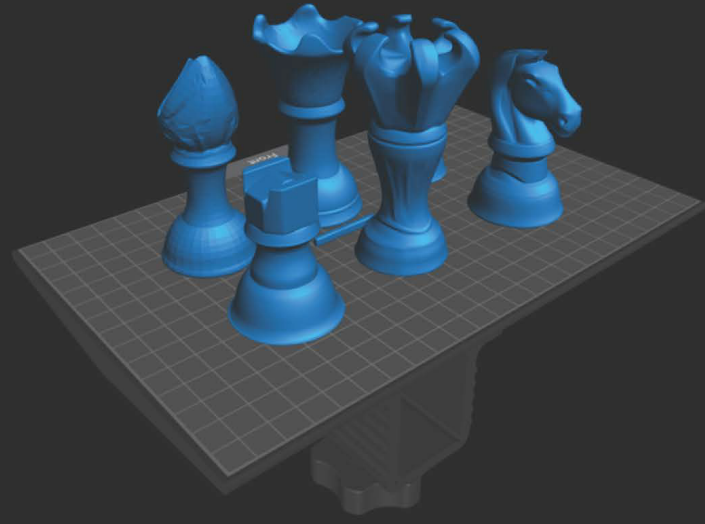
Generó un círculo casi perfecto, Presenta una irregularidades muy sutiles



Proyecto: untitled
Impresora: HALOT-LITE
Resina: normal
Espesor de capa/número: 0.05 mm/1420
Volumen de todo/sostén: 102.75/0.00
Precio de todo/sostén: 3.08/0.00
Tiempo estimado de impresión: 6h12m16s



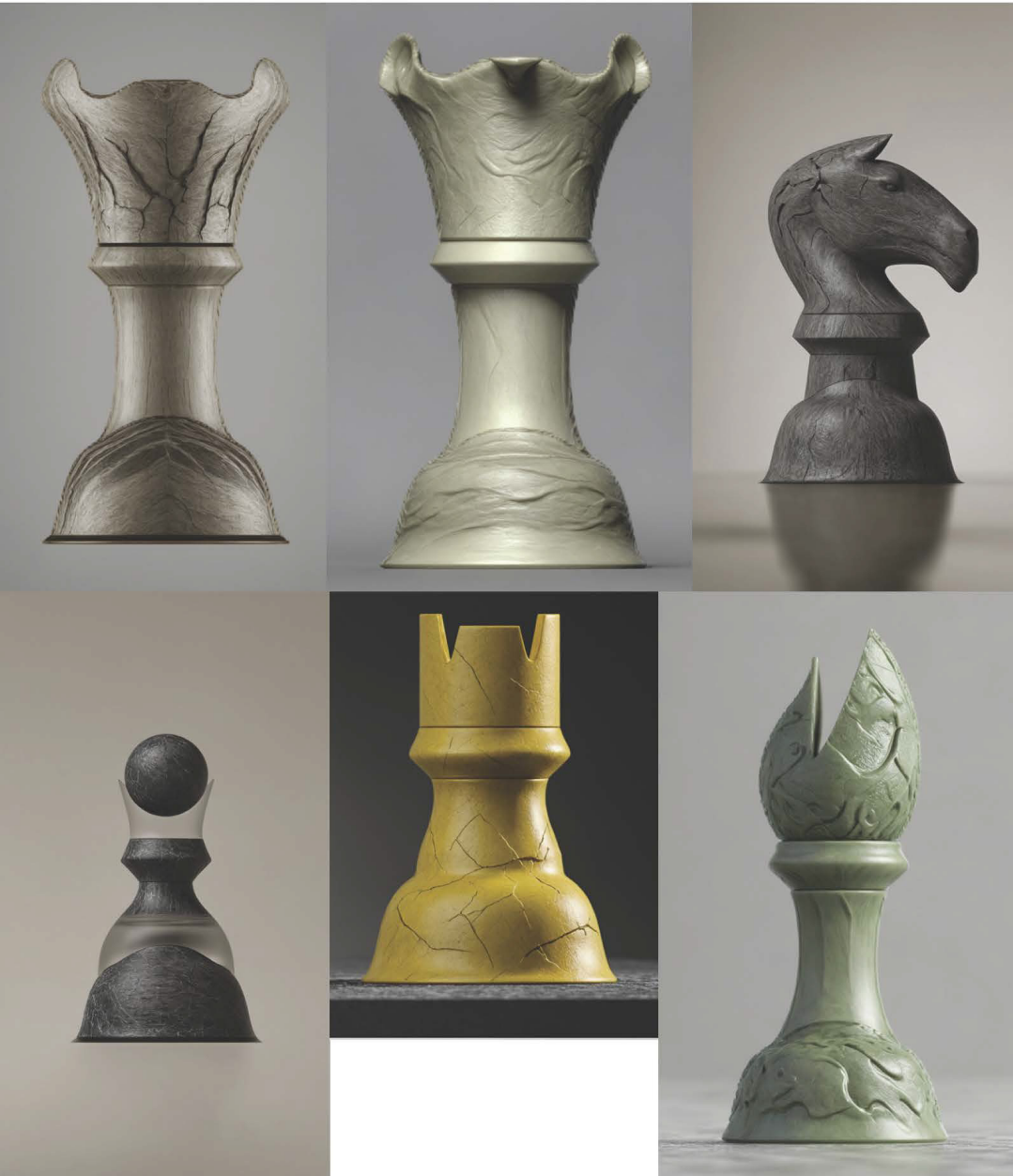
Impresion en resina



Se comenzó a tener una noción del tiempo y gasto de resina

Teniendo en cuenta los costos se opta por realizar las piezas mediante impresión 3d FDM, el cual tendrá un post procesado con la terminación correspondiente

Alternativas



Hoja N°11

Propuesta Final

Prompt

"chess piece with a pattern of grotesque veins on its surface texture with an Demon style"



Hoja N°12

Render keyshot



Hoja N°13

Prototipado en Impresión 3D FDM

Mediante la impresión en 3d se logra verificar la escalas de cada piezas, la calidad de la impresión y del modelado generado por la IA son impecables, sin errores.

Se logra apreciar sin problemas la textura que presenta



Hoja N°14

evaluación de acuerdo a los objetivos iniciales.

Criterios positivos

-Proceso de Bocetado y Creación del Modelo 3D (**Imagen - Modelado 3D**)

El uso de imágenes 2D generadas por **VIZCOM.IA** como referencia para crear modelos 3D preliminares me permitió trabajar de manera ágil permitiendo "jugar" con los prompt y no preocuparme por el boceto. Esto simplificó el proceso de representación tridimensional, reduciendo la necesidad de bocetos manuales detallados y acelerando el desarrollo inicial del modelo.

Los modelos 3D iniciales generados a partir de imágenes facilitaron el ajuste de resultados e ideas de forma precisa. Al tener una base tridimensional desde el comienzo, fue posible visualizar rápidamente los volúmenes, equilibrar las proporciones y hacer ajustes en tiempo real, mejorando la calidad de las decisiones de diseño.

-El uso de **chat GPT** me brindó un beneficio de tal manera que me proponía los prompts necesarios para IA, mediante el diálogo como si fuera otra persona le describió las características que precisaba para los prompt

-Utilizar otros programas enfocados en mallas sirvió para la reducción de polígonos de cada modelado para reducir el tamaño de los archivos (**Rhinoceros**). Se descartó el uso de Blender y Meshmixer ya que el uso sería mínimo y Rhino tiene el complemento de reducción de mallas

Criterios Negativos

-En un comienzo se tenía en cuenta la idea de realizar una trama superficial sobre las piezas de ajedrez mediante GRASSHOPPER, pero esto se eliminó ya que el propio prompt puede interpretar ese criterio **no paramétrico**, por lo que se descartó el uso de Grasshopper.

-Se tenía la idea en un principio de realizar las piezas en impresión en resina, pero teniendo en cuenta los costos se optó por realizarlo mediante impresión en filamento

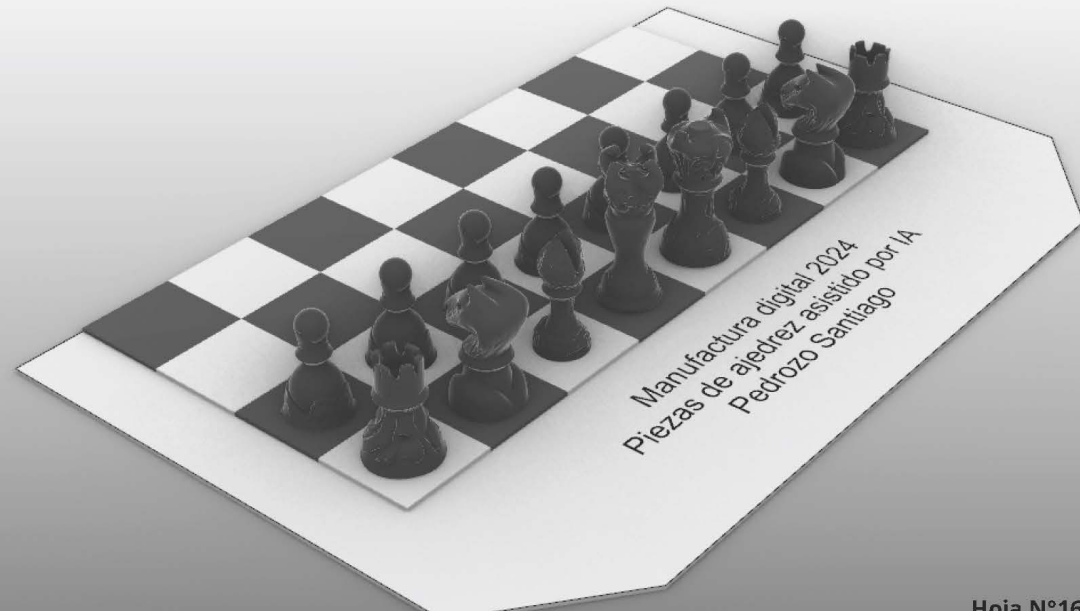
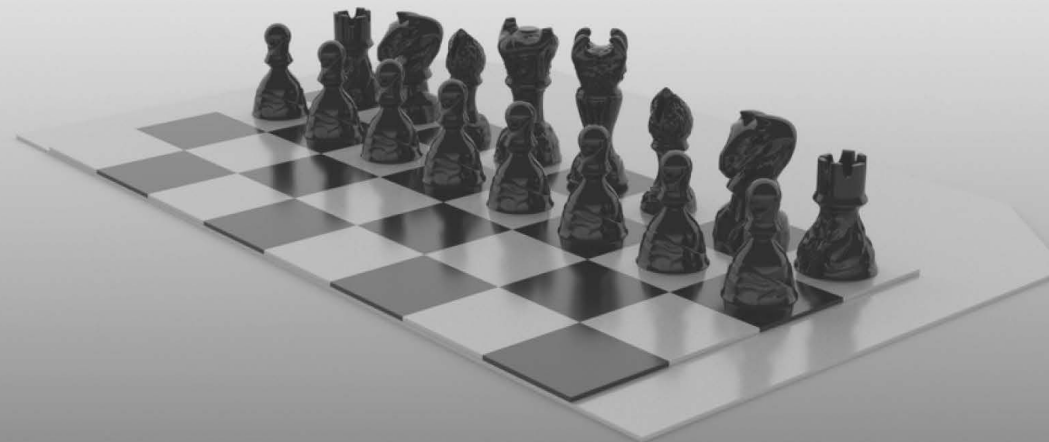
Conclusión

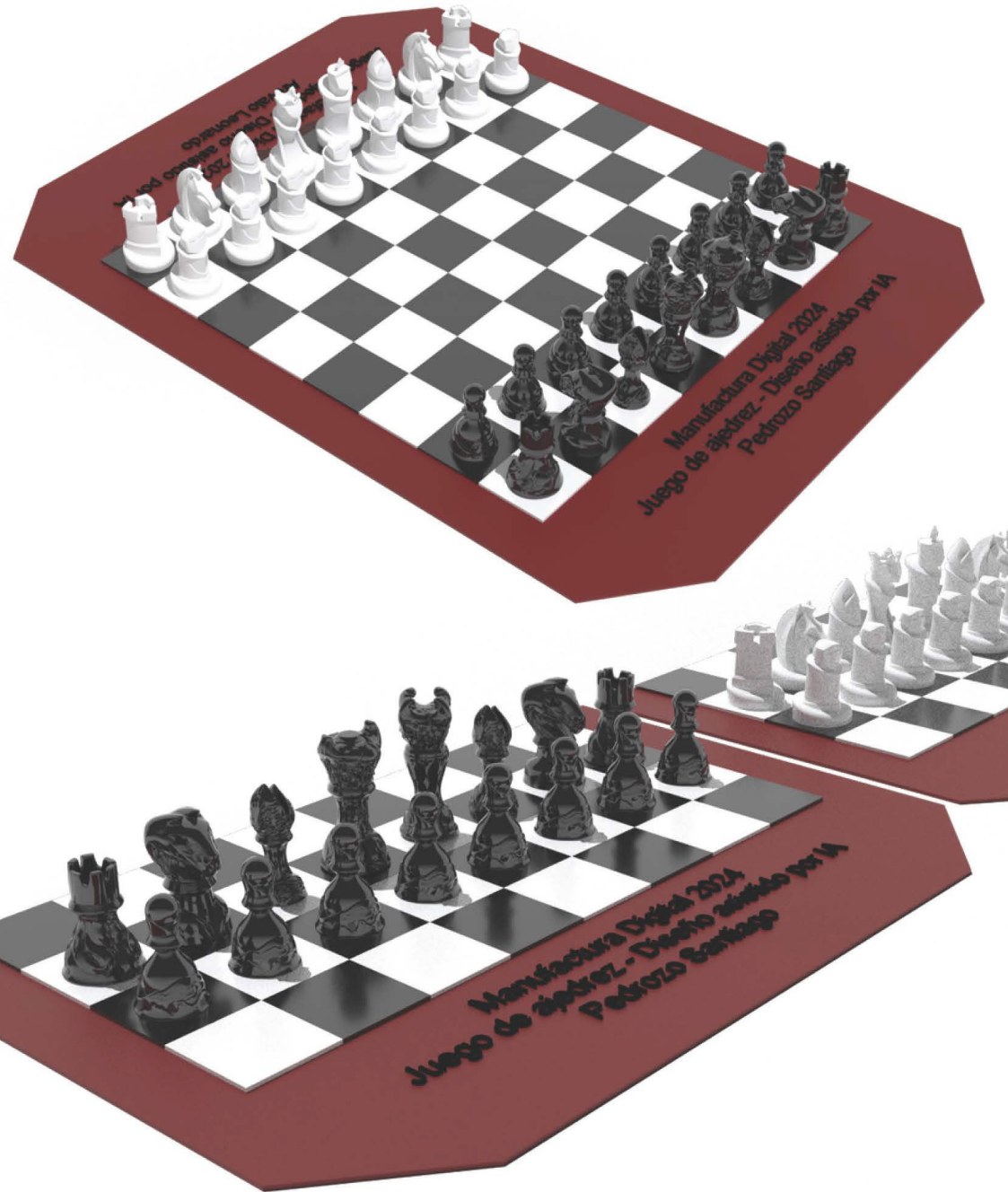
La integración de herramientas de inteligencia artificial como VIZCOM.IA y ChatGPT se demostró ser una estrategia altamente efectiva para optimizar el proceso de diseño 3D. La posibilidad de generar imágenes 2D preliminares mediante prompts simplificó la fase de bocetado, permitiendo desarrollar y visualizar ideas rápidamente sin necesidad de bocetos detallados. Este enfoque facilitó la exploración de volúmenes y proporciones desde etapas tempranas.

ChatGPT se destacó en el proceso, como un asistente en la creación de prompts específicos para la IA visual, brindando un aporte constante y permitiendo interacciones rápidas mediante el diálogo interactivo. Asimismo, el uso de Rhinoceros para la optimización de mallas permitió reducir la cantidad de polígonos de los modelos, optimizando el tamaño de los archivos y evitando la necesidad de otras herramientas como Blender o Meshmixer.

Presentación final nº1

Para la entrega final realizar un tablero mediante corte y grabado láser el cual se complementará con mi compañero para realizar el juego completo cada mitad tendrá los nombres y apellido de cada uno con sus respectivas piezas de ajedrez





Presentación final nº2

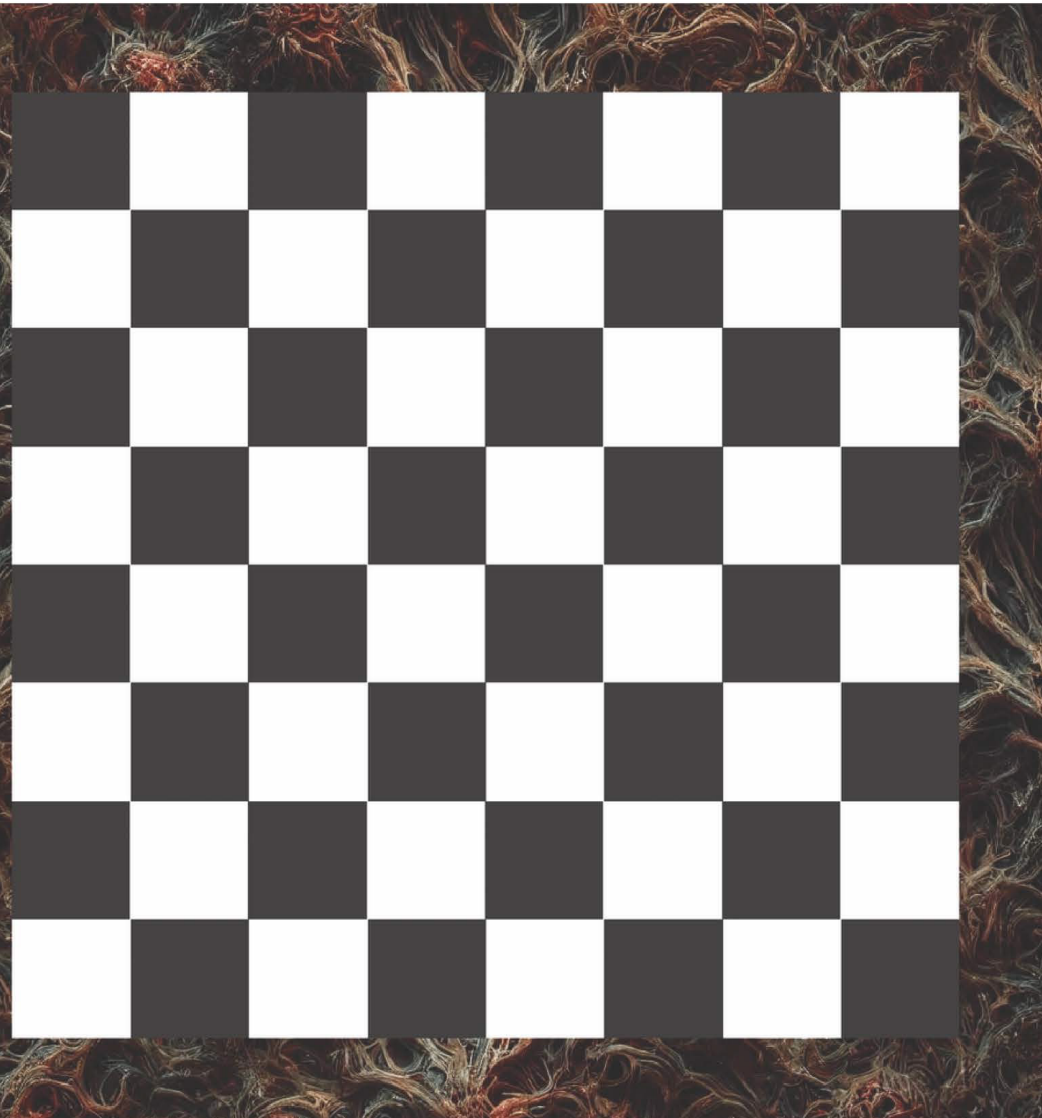
Imagen generada por Chat GPT con la referencia de las piezas de ajedrez



Tiradas: 4

Chat GPT se le dificulto generar la imagen que necesitaba ya que no trabaja con prompt, sino mediante el mismo diálogo. luego de varias tiradas se logro el resultado

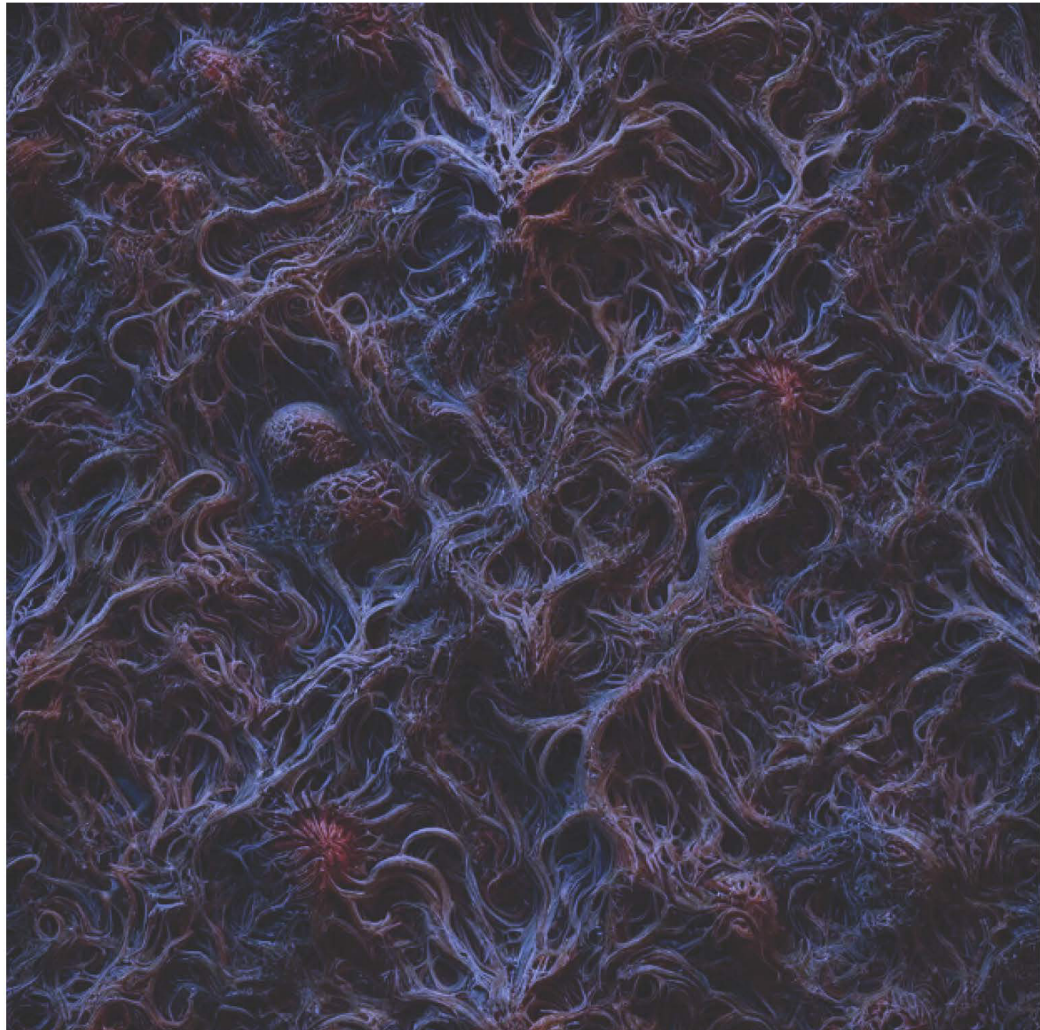
Utilizar IA para generar una imagen con referencia a la pieza de ajedrez para que tenga el mismo lenguaje, para posteriormente **sublimarlo en textil** el cual cumplira la función de tablero y packaging



Hoja N°19

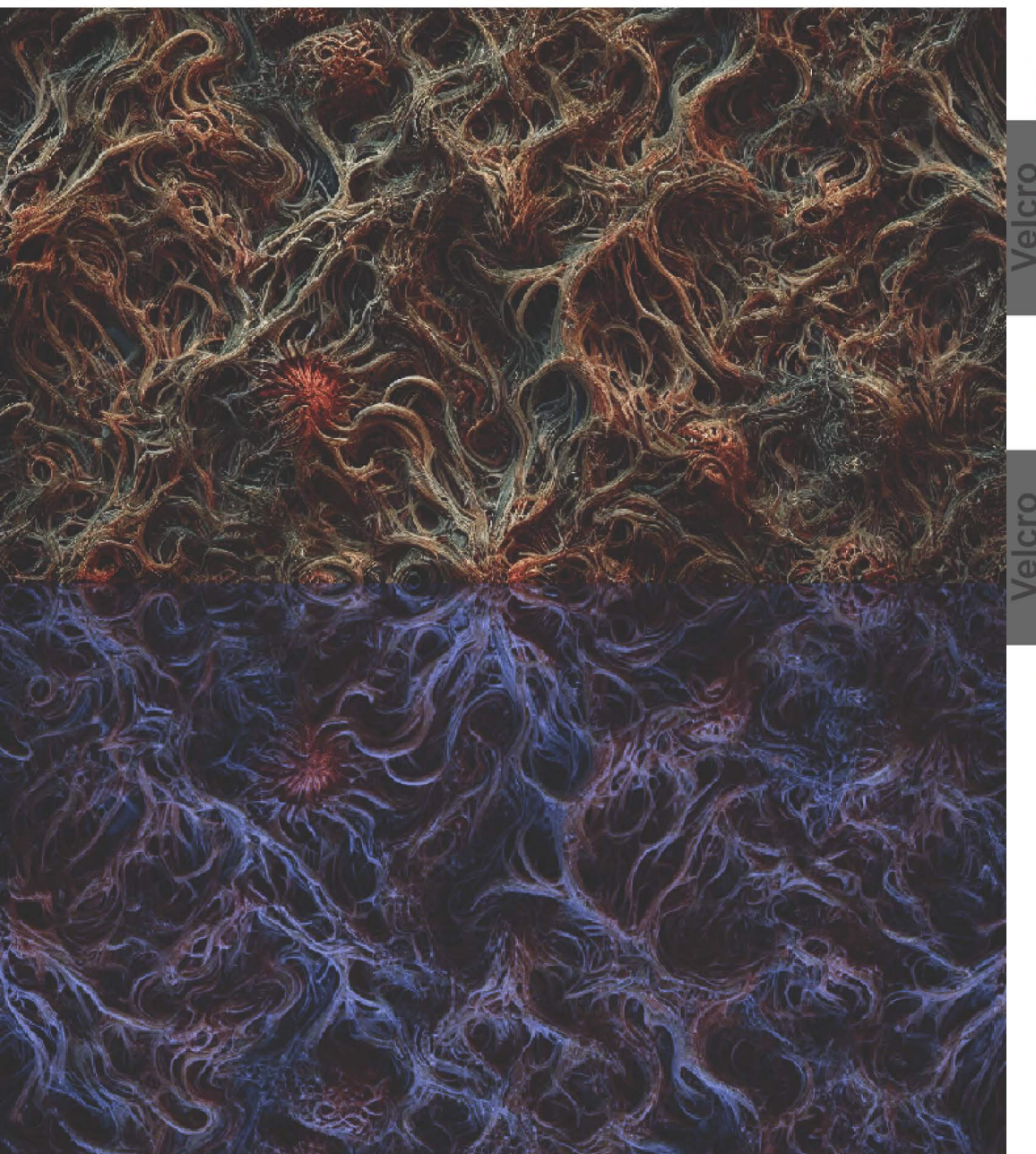
Presentación final n°2 Ajustes

Imagen generada por Chat GPT con la referencia de la imagen previa para realizar la diferenciarel tablero



Hoja N°20

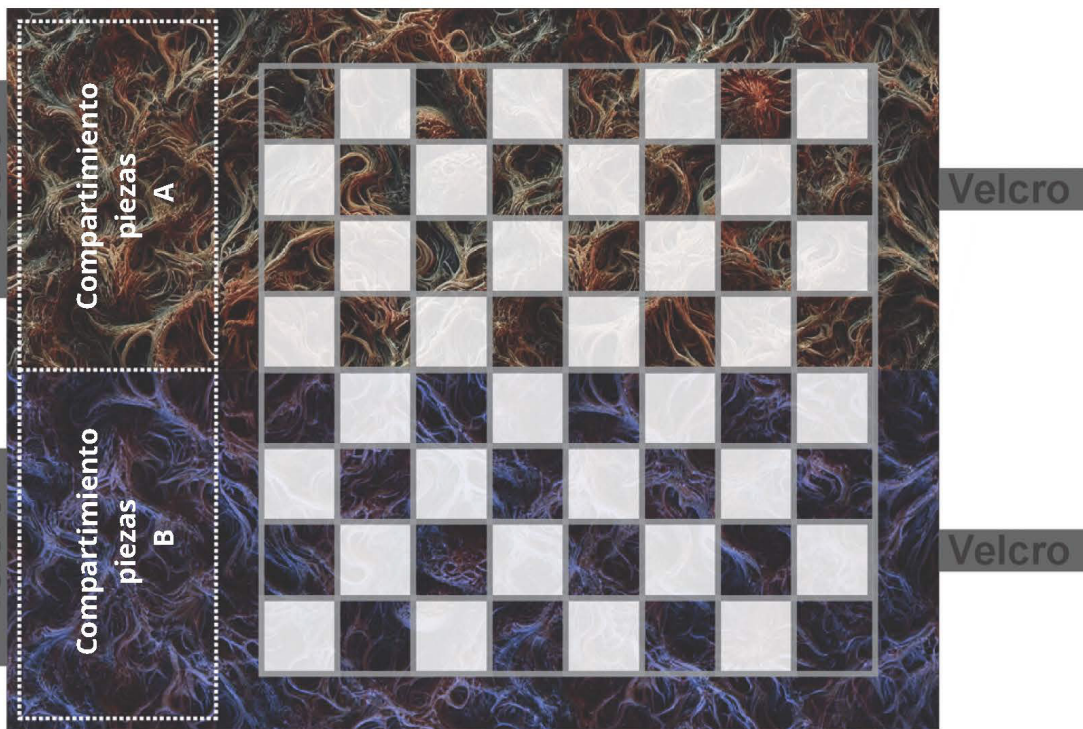
Presentación final nº2



Hoja N°21

Justificando la propuesta es realizar compartimientos en un lateral para guardar las piezas de ajedrez de cada equipo.

Un dobladillo en el contorno para dejar una vista más limpia e incorporar botones o un mismo velcro de cierre a cada compartimiento



Referencia a las cartucheras escolares con un enfoque de "enrollar"



Hoja N°22

ENTREGA FINAL 19/22

Prototipo contenido sus piezas y enrollado para transportarlas



El **tablero** está realizado mediante **sublimado textil** a su vez presenta un compartimento para guardar las piezas de ajedrez.

Las piezas de ajedrez fueron realizadas mediante **impresión 3D FMD** con un acabado superficial correspondiente a cada tono del tablero (azul y rojo)

Cuenta con un trabajo de costura para reforzar los laterales con un dobladillo y la incorporación de unas tiras con velcro para guardar el tablero



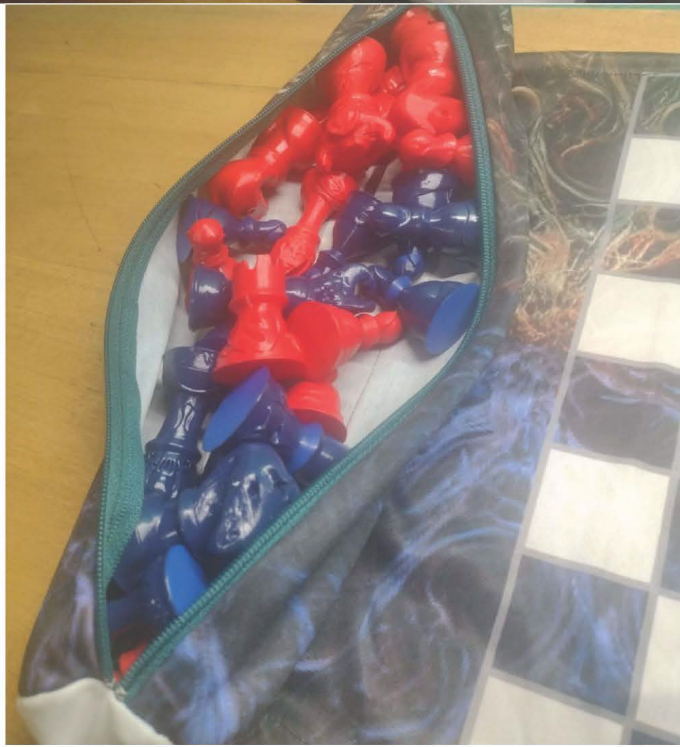
tablero antes del trabajo de costura

Prototipo desenrollado



Piezas de Ajedres

Pedrozo Santiago



Piezas de Ajedres

Pedrozo Santiago

Bandos



Piezas de Ajedres

Pedrozo Santiago

Piezas de Ajedres

Pedrozo Santiago

Detalles de piezas



Caballo



Reyna



Torre



Detalles de piezas



Rey



Peon



Alfil

Informe Manufactura digital

TP “Modelado con IA”

Andrés Saia

Año: 2024

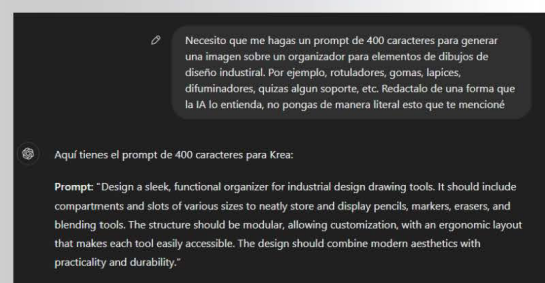
Objetivo del trabajo práctico

El objetivo del trabajo práctico consistía en continuar la investigación previa realizada sobre el uso de IAs para el proceso de diseño. En esa investigación se analizó el uso de una IA para generar un modelado final que, posteriormente, pudiese ser impreso en 3D FDM.

Para ello, se eligió un tema de trabajo, un lapisero para escritorio. Para llegar a su forma original, se trabajó con distintas IAs.



Chat GPT

Two screenshots of the Chat GPT interface. The top screenshot shows a user prompt asking for a 400-character prompt to generate an image of a sleek organizer for industrial design drawing tools. The bottom screenshot shows the generated prompt: "Design a sleek, functional organizer for industrial design drawing tools. It should include compartments and slots of various sizes to neatly store and display pencils, markers, erasers, and blending tools. The structure should be modular, allowing customization, with an ergonomic layout that makes each tool easily accessible. The design should combine modern aesthetics with practicality and durability." Both screenshots show the AI's response below the prompt.

Chat GPT fue utilizado para la creación y redacción de “prompts” adecuados que permitiesen ser utilizados en las IAs de creación de imagen.

La redacción de los prompts fue evolucionando en base a las imágenes generadas para llegar a la forma deseada.



Krea y Bing

Microsoft Bing y Krea son inteligencias artificiales que permiten crear imágenes a través de un prompt. Estas fueron utilizadas para la generación de varias imágenes en búsqueda de la propuesta final.



Tripo

Tripo es la IA que permite transformar esas imágenes en modelados finales que pueden ser descargados en formato STL.

Objetivo del trabajo práctico



Fusion fue utilizado para convertir los archivos de malla obtenidos en sólidos, permitiendo trabajar pequeños detalles que pudiesen haber salido mal en el modelado por IA. Por ejemplo, agregado de base, o sustracción interna.

Fusion 360

Propuestas

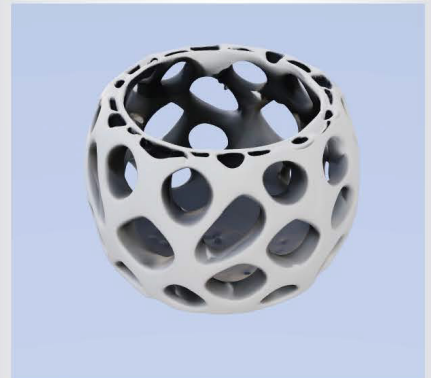
Como se mencionó, primero se empezó generando imágenes de organizadores/lapiceros. El prompt, a grandes rasgos, pedía la generación de lapiceros con formas orgánicas, de un solo espacio de uso, y que contemplase el proceso productivo de impresión 3D.



Propuestas

En una primera etapa se trabajó con propuestas con sustracciones en sus formas, sin embargo, esto complicaba la generación correcta del modelado por parte de la IA. Aunque el resultado no era malo, tenía varias fallos:

Vista previa de Tripo



Propuestas

Por ello, se pasó a una segunda etapa de búsqueda, donde se conservó la búsqueda de una forma orgánica, pero sin sustracciones que perjudiquen el modelado final.



Propuestas

Se volvió a la etapa de generación de modelos, pero esta vez con las nuevas imágenes, obteniendo formas mucho más pulidas, sin prácticamente precisar una intervención manual.



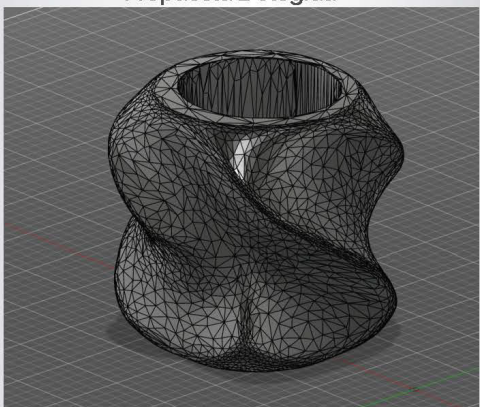
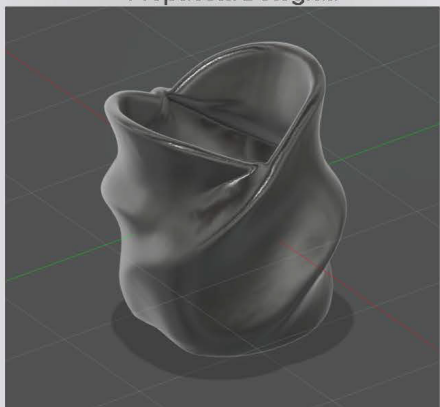
Propuestas finales

Se eligieron dos propuestas finales. Las mismas estaban prácticamente listas para imprimir, pero presentaban algunos fallos, como falta de material, o superficie irregular en su interior. Así que, previo a la impresión, los modelos fueron importados a fusion y trabajados como sólidos, corrigiendo esos fallos.



Propuesta 1 elegida

Propuesta 2 elegida



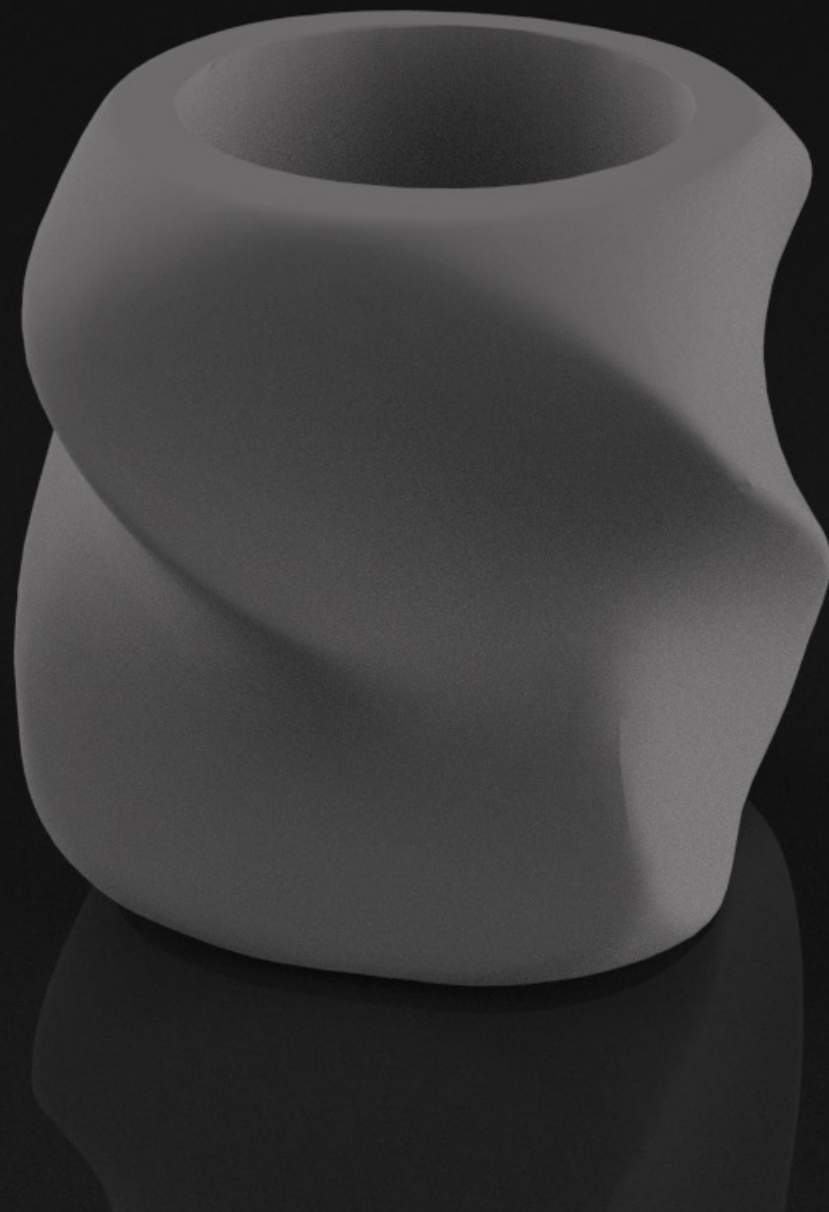
Propuestas ya trabajadas en fusión

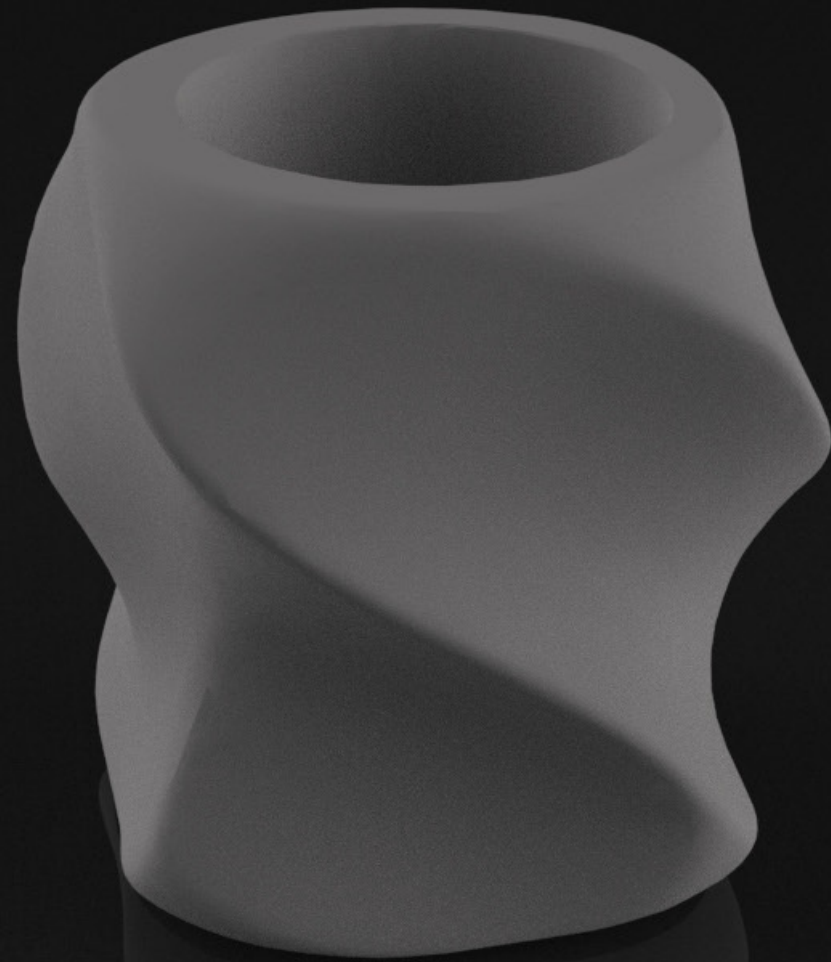
Resultados obtenidos

Ya con los archivos finales, se mandaron a imprimir. A modo de observar los resultados finales antes de la finalización de la impresión, se realizaron renders en Keyshot. Al final del informe, se verán las imágenes de los lapiceros ya impresos.













TRABAJO PRACTICO

Diseño de Producto + Diseño asistido por IA

Alumno: Lucas Campaña
Manufactura Digital 2024
Profesor: Andrés Ruscitti

CURSADA 2024

Opciones de temas y metodologias a trabajar -----	Pág. 3
Tema Elegidor -----	Pág. 6
Primeras Propuestas -----	Pág. 7
Cambio de metodologia de trabajo -----	Pág. 9
Desarrollo de propuestas -----	Pág. 9
Elección de propuesta Final -----	Pág. 18
Meta para Mesa del Final -----	Pág. 30
Evaluacion de Objetivos Planteados -----	Pág. 31

1- a travez de una inteligencia artificial que genere codigos pedirle que realice el codigo de una maceta con patrones o formas geometricas



2- Colocar ese código en openscad y verificar que elemento nos modela



3-verificar errores , pedir que los corrija y volver a repetir el proceso



4 Una vez se haya obtenido la pieza repetir el proceso hasta hayas la forma de distintas macetas que conformen una familia



5- realizar la fabricacion en impresion 3d

Objetivos personales: Aprender a utilizar correctamente las inteligencias artificiales que generan códigos para openscad

Aprender a utilizar openScad

Aprender a como corregir a las inteligencias artificiales

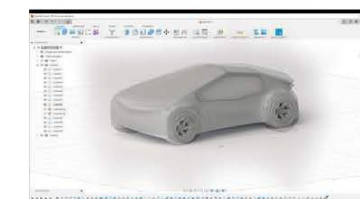
1-Generar a travez de un inteligencia artificial de imagen un juguete didactico de tiro, como ejemplo generar un autito de arrastre didactico con leonardo ai



2-Pasar esa imagen a una inteligencia artificial que lo trasfomre en 3D, como ejemplo Tripo 3d



3-Utilizar ese modelado como base para trasformar el juguete para poder ser producido en MDF corte laser, para esto se utilizara un programa parametrico como fusion 360, solid works etc



4-Preparar el archivo y producir el juguete con la cortadora laser del taller



Objetivos personales: Aprender a utilizar correctamente las inteligencias artificiales que generen productos en imágenes a través de textos, las cuales me ayuden a diseñar mejores productos

- Aprender a utilizar los programas de generar elementos 3d a traves de imagen
- Aprender a realizar trasformaciones de objetos a distintos procesos productivos sin perder la forma y funcion del mismo
- Aprender a utilizar la cortadora laser

1-Generar a travez de un inteligencia artificial de imagen un amplificador de sonido



2-Pasar esa imagen a una inteligencia artifical que lo trasforme en 3D, como ejemplo
Tripo 3d



3- Utilizar algun programa como Blender para realizar y ajustar pequeños errores en
relacionado a lo funcional (Opcional)



5- realizar la fabricacion en impresion 3d



Objetivos personales: Aprender a utilizar correctamente las inteligencias artificiales que
generan imagenes correctamente

Aprender a como corregir a las inteligencias artificiales

Aprender a realizar objetos Con Inteligencia artificial completamente funcionales

Opcion elegida para trabajar

Opcion 1: Juego de Macetas

Se comenzó a trabajar con esta opción de pedirle a chatGPT que realice un código para que Openscad Realice una maceta código generado:

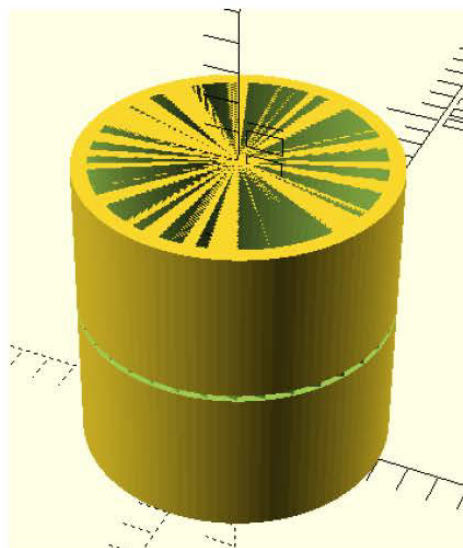
```
// Parámetros de la maceta
outer_radius = 50; // Radio exterior de la maceta
height = 70; // Altura total de la maceta
wall_thickness = 3; // Grosor de las paredes
base_thickness = 3; // Grosor de la base

// Crear maceta
module maceta() {
    // Maceta exterior
    difference() {
        cylinder(h = height, r = outer_radius, $fn = 100);

        // Interior hueco de la maceta
        translate([0, 0, wall_thickness])
        cylinder(h = height - wall_thickness, r = outer_radius - wall_thickness, $fn = 100);
    }
}

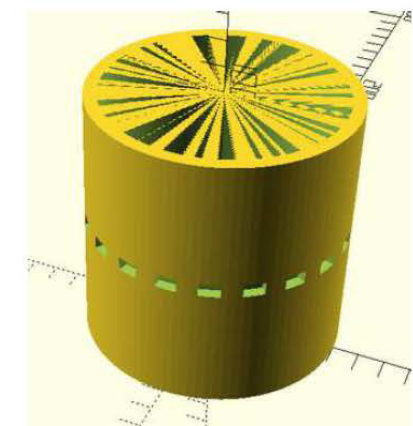
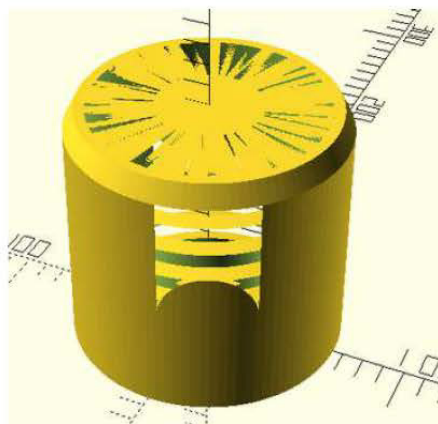
// Llamar al módulo para generar la maceta
maceta();
```

Maceta Generada a travez del código en openscad



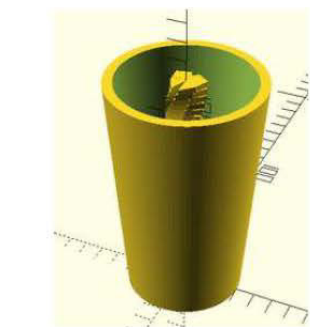
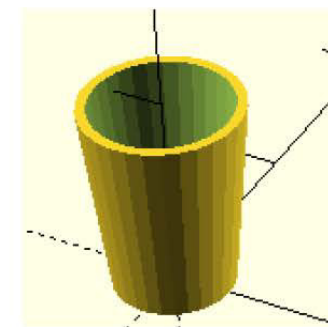
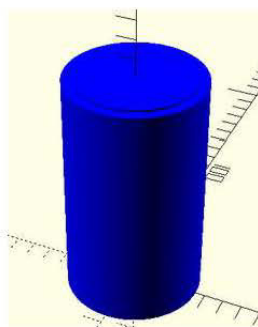
Se empieza a notar que la ia no genera bien los codigos

Luego de muchos intentos, estos fueron los mejores resultados



Se decidió cambiar de IA que genere códigos, esta vez probé en Sider Fusion

Mejores resultados generados en Sider fusion y Openscad



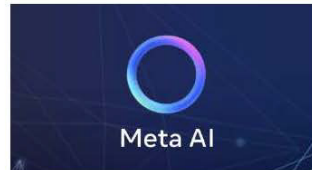
Conclusión: Las IA que generan por texto no están tan desarrolladas para generar códigos coherentes para crear elementos, ya que por semanas probé generar macetas con patrones y diseños con muchas maneras de pedirle pero lo más parecido que me generó es un vaso sin diseño

Por el momento no es posible generar productos con chat gpt o otra IA similar y openscad

Cambio de rumbo

Se decidió cambiar a otra IA que funcione de otra manera

1-Se decidió trabajar con una IA que genere imágenes, como leonardoAI, Meta AI o canva



Posteriormente de tener una imagen, se pasará la imagen por TRIPÔ AI, donde esta la transforma en un modelado 3D.



Posteriormente pasarlo por el programa Meshmixer para bajarle la cantidad de polígonos de malla



Por último realizar la impresión en 3D y materializar la familia de macetas



Mejores Opciones dadas con ese término



Se empezó a notar que este tipo de IA sí entiende lo que quiero que genere



A partir de este punto se le pido a Leonardo Ai esta vez que genere familia de macetas con diseños orgánicos y esta vez las mejores las pase por TRIPÔ para tener una idea de como serian en 3D

Opcion 1

Imagen generada en Leonardo Ai



elemento generado en Tripô



Opcion 2

Imagen generada en Leonardo Ai



elemento generado en Tripô



Opcion 3

Imagen generada en Leonardo Ai



elemento generado en Tripô



Opcion 4

Imagen generada en Leonardo Ai



elemento generado en Tripô



A partir de este punto decidí elegir una maceta, crear su familia y así maquetizarlas

opción elegida para hacer la familia de macetas y maquetizar por primera vez

Opcion 3



Posteriormente a esto se paso el modelado en maya en 3d a solid works para poder generarle la familia por mi cuenta ya que no me estaba gustando las imagenes que generaba



Familia realizada Y maquetizada en 3d



En este punto se presentó en clases y se quedo descartado este modelo ya que parece algo creado por el Hombre y no por una inteligencia artificial, ya que son muy simples y parecen hechas con unas simples extrusiones por revoluciones

En esta etapa se probó agilizar la escritura de los textos con la IA de WhatsApp, ya que es muy útil y no tiene límite de uso.

Se le pidió generar desde macetas que puedan ser fabricadas en 3d y tengan formas orgánicas, Hasta pedirle macetas que tengan formas únicas y orgánicas



la meta AI de WhatsApp me sirvió muchísimo para interactuar a través de los textos, pudiendo generar cosas únicas a través de mi escritura, pero no es muy eficiente esta IA, ya que se confunde teteras o jarros con las macetas, y no puedes pedirle que mejore mucho las formas o que realice familias porque se confunde y se pierde todo el proceso

Vuelta a LeonardoAI



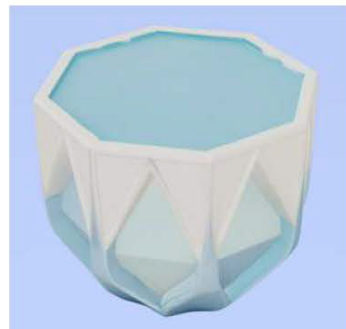
en este punto, ya avanço con la manera de escribirle los textos a la IA, decidi probar devuelta con leonardo AI para ver que resultados me brinda

Se le pidio realizar un juego macetas (POTS), que su forma sea original, innovadora y que tengan relacion entre si, compartiendo rasgos y siendo de la misma “familia”, pero a la vez tenga diferente medidas sin dejar de lado que se tiene que fabricar en impresión 3d de filamento



Estas fueron el mejor resultado de Familia de macetas, las cuales no llevaban ninguna tematica en especial, fueron parte de pruebas para entender si la inteligencia entendia el concepto de **“familia”**.

Un par de estas macetas fueron probadas en TRIP



Estas pruebas me ayudaron a comprender que TRIP suele distorsionar la forma y suele tener problemas con comprender que las macetas son huecas

PRUEBAS con CONCEPTOS

A todo lo anteriormente mencionado se le suma un concepto de tematica, para ayudar a obtener una forma con alguna tematica deseada

Opcion 1: INNOVADORA Y GOTICA



Un par de estas macetas fueron probadas en TRIPÔ



Las formas no fueron exactas , la tematica fue de mi agrado pero la resolucion con TRIPÔ no fue exacta y distorciono la forma para peor, por este motivo descarte esta tematica

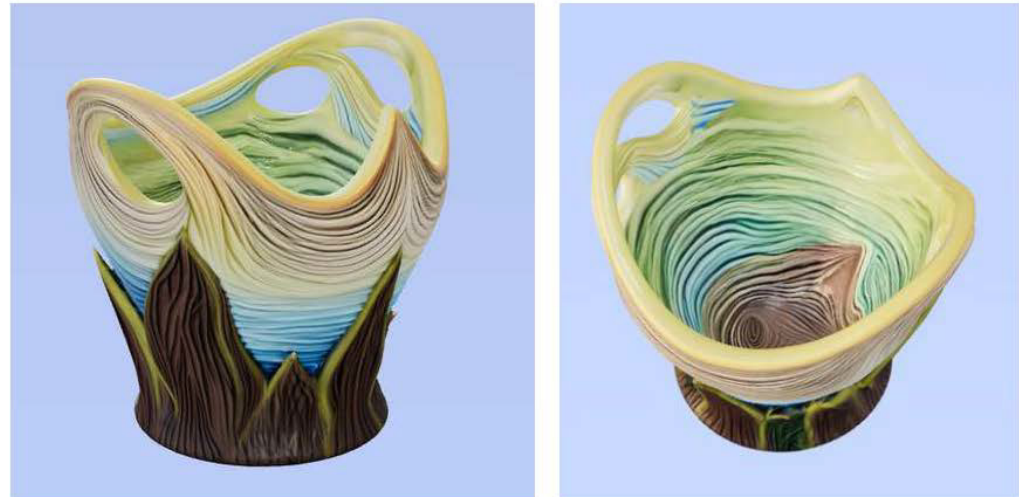
Opcion 2: Organica y floral



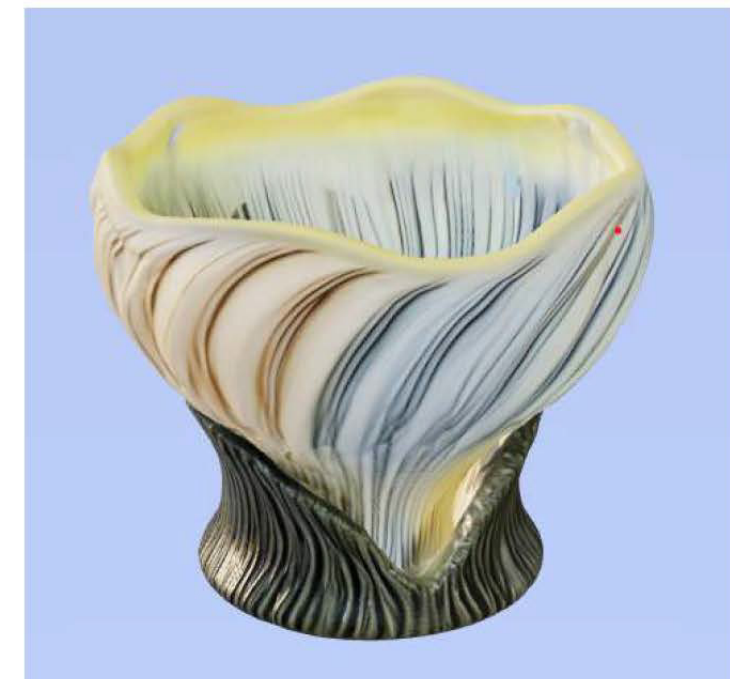
Esta tematica cumple mis expectativas, tienen un buen diseño que es dificil generar sin una IA y cumple con el requisito de familia, se opto por seguir econ estas macetas. se eligieron las primeras 3 macetas para seguir trabajando para asi completar

1era Maceta de la familia

Producto generado en TRIP

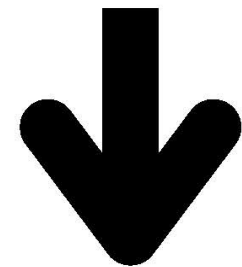
**2da Maceta de la familia**

Producto generado en TRIP



3era Maceta de la familia

Relleno de huecos con GALAXY IA desde la galería de fotos de un celular samsung

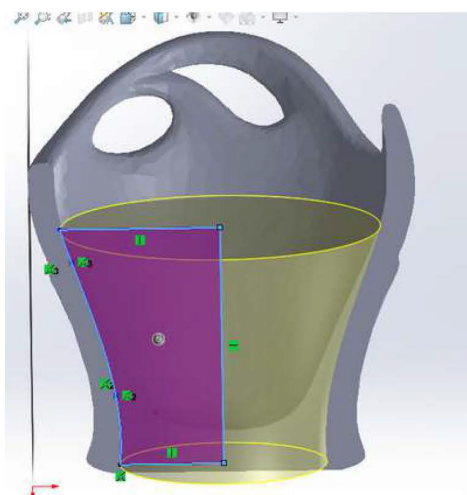
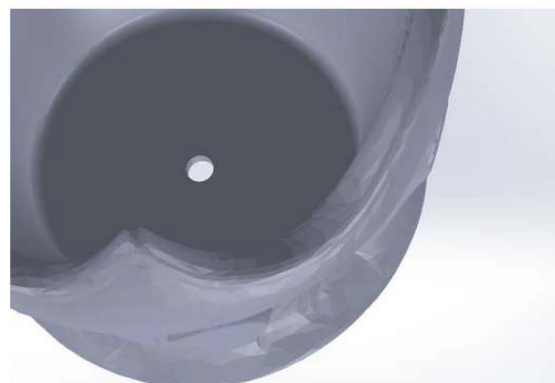
**3era Maceta de la familia**

Producto generado en TRIPÔ



Paso por solidworks

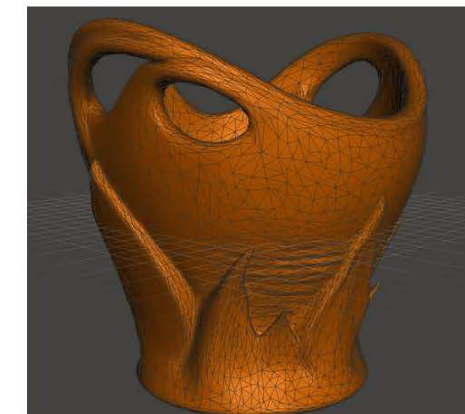
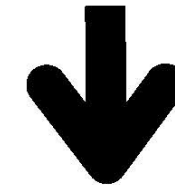
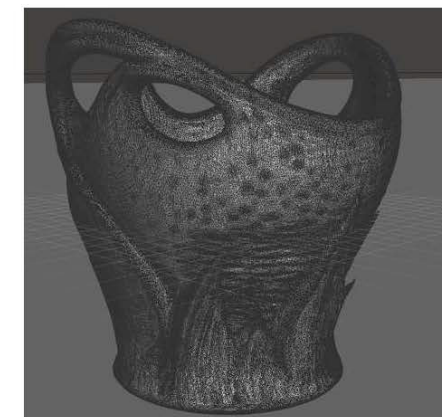
Luego de descargar los archivos en stl de TRIPOLI, Se opto este programa para eliminar relleno innecesario del interior de las macetas y generarle el hueco de filtrado de la parte inferior, ya que en ninguna IA es posible este suceso

Eliminación del relleno innecesario**Generación del hueco de filtrado de agua**

se repite el proceso en todas las macetas

Paso por Meshmixer

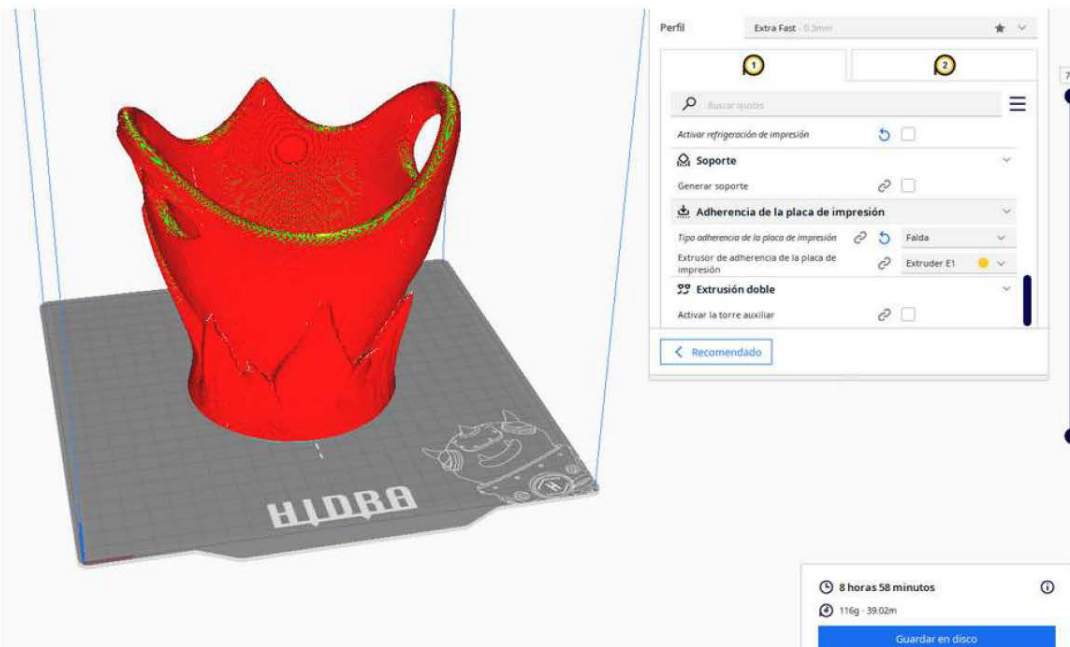
Luego del paso por solidworks, se eligio Meshmixer para reducir la cantidad de poligonos de las mallas de las macetas con el comando reducir, para simplificar la producción en impresoras 3D de FDM



se repite el proceso en todas las macetas

Paso por Cura

Se utiliza este programa laminador para obtener y configurar los códigos G para poder imprimir las macetas



se repite el proceso en todas las macetas

Macetas Impresas en 3D

Se imprimieron las macetas para obtenerlas materializadas

Maceta 1



Macetas Impresas en 3D

Se imprimieron las macetas para obtenerlas materializadas

Maceta 2



Maceta 3



Macetas Impresas en 3D

Se imprimieron las macetas para obtenerlas materializadas

Juego de Macetas organicas y florales**Macetas Impresas en 3D**

Se imprimieron las macetas para obtenerlas materializadas

Desafio para la entrega de la mesa Final

Para la entrega del Final me propongo como desafío personal conllevar un proceso semiartesanal de obtener la trama y color original de las macetas, tal cual fueron propuestas con la IA, ya que esto es vital para entender su forma y que quizo expresar la inteligencia cuando la desarollo

Macetas impresas**colores y tramas originales**

evaluación de las Inteligencias Artificiales de acuerdo a los objetivos iniciales

Criterios sobre la metodología de trabajo con CHATGPT / SIDER FUSIÓN y OPENSCAD:

Este metodo no solo no cumplio mis objetivos, sino que no estuvo ni cerca de lograrlo a pesar de invertirle mucho tiempo.

No fue el resultado esperado, **no cumplio mi objetivo**

Criterios sobre la metodología de trabajo con META AI (WhatsApp):

Esta IA me sirvio bastante a entender el proceso de como escribirle e intentar representarle lo que uno quiere que genere, Suele confundirse de objetos o palabras pero para la practica me fue muy de mi agrado.

Un poco confuso pero, **Cumplio Mi objetivo**

Criterios sobre la metodología de trabajo con LEONARDO AI:

Esta IA me fue muy util, al principio me costo entender la metodología de trabajo por que no le escribia textos concisos, pero luego de mi paso los meta ai, pude escribirle textos coherentes y pude obtener un muy buen resultado.

excelente, **Cumplio Mi objetivo**

Criterios sobre la metodología de trabajo con TRIPÔ AI:

Esta IA me sorprendio desde un inicio, poder generar objetos modelados a traves de una simple imagen es algo que ayuda muchisimo, pero no es 100% fiel al modelo, suele tener muchos cambios esteticos, no entiente bien si una maceta es hueca o no y genera pequeños detalles, a pesar de todo, es algo revolucionario y fasinatingo. **Cumplio Mi objetivo**

Conclusión final

Mi conclusion es que las IA que generan codigos todavia no estan muy avanzadas, y son una perdida de tiempo en estos momentos

Fue un acierto cambias re metodología de trabajo a tiempo, cambiar a IA's que generan imagenes a traves de texto y luego pedirle a TRIPÔ que genere el objeto es mucho mas interesante y se obtienen mejores resultados, pude obtener gracias a esto unos muy buenos productos, en este caso macetas, generados por inteligencia artificial casi sin intervencion del hombre

A pesar de mis tropiezos, Obtuve un muy buen resultado y pude sacarle un excelente potencial a las IA's, esto en un futuro muy posiblemente me ayude para generar nuevos diseños.

**Inteligencia
artificial y modelado
3D para impresión
en cerámica**



Victoria Tabernero

Objetivo 1

**Crear piezas
cerámicas,
que reflejen el
recuerdo de tu
mascota.**



Meshy

Generar Modelos 3D – “Utiliza nuestras herramientas de texturización y modelado AI para acelerar tu creación de contenido 3D. Inspírate en cómo otros aprovechan el poder de Meshy para crear contenido 3D. Ofrece Resultados Reales. Interfaz Simple. Uso Sin Problemas.”

Opciones



Texto a 3D



Imagen a 3D



Textura IA



Texto a Voxel

"A CUTE WIZARD GIRL WITH A BLUE AND WHITE OUTFIT"



02

TEXT OR IMAGE



1

Imagen
Cargar una imagen PNG, con un fondo claro y limpio



2

Modelado 3D
Remallado automático, Herramientas 3D



3

AI 3D MODEL

Impresión 3d en cerámica

Apartir del modelado generado por la AI, imprimir un producto final

Metodología

03

Resultados obtenidos



Resultados obtenidos

Resultados obtenidos en MESHY, a partir de una foto.

Prueba 2



Prueba 1



Oreo



Budín

Esperaba mas del programa, razón por la cual opté por un cambio de programa.



Meshy



Meshy

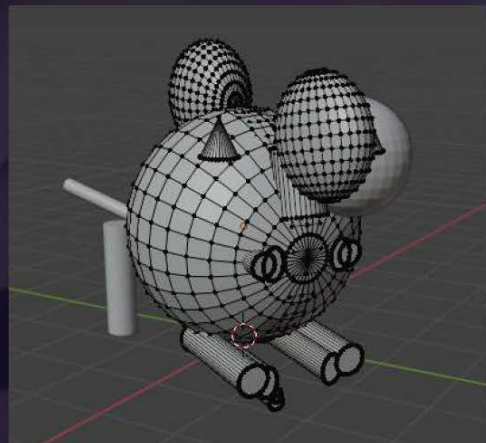




Programa N°2

Chat GPT y Blender

Objetivo crear un perro a partir de un prompt en Chat GPT y luego pegar el Script obtenido en blender



```
python
import bpy

# Eliminar los objetos existentes en la escena
bpy.ops.object.select_all(action='SELECT')
bpy.ops.object.delete(use_global=False)

# Función para crear una esfera (parte del cuerpo)
def crear_esfera(nombre, radio, location, scale=(1, 1, 1)):
    bpy.ops.mesh.primitive_uv_sphere_add(radius=radio, location=location)
    obj = bpy.context.object
    obj.scale = scale
    obj.name = nombre
    return obj

# Función para crear un cilindro (patas, cuello, cola)
def crear_cilindro(nombre, radio, profundidad, location, rotation=(0, 0, 0)):
    bpy.ops.mesh.primitive_cylinder_add(radius=radio, depth=profundidad, location=location)
    obj = bpy.context.object
    obj.rotation_euler = rotation
    obj.name = nombre
    return obj

# Cuerpo principal (alargado y ajustado)
perro = crear_esfera('Cuerpo', 1.5, (0, 0, 1.5), scale=(1.5, 1, 0.5))
```

Intenté cambiando el Prompt varias veces, el resultado no cambió demasiado, la figura de un perro se alejó cada vez mas.

04

Programa N°3

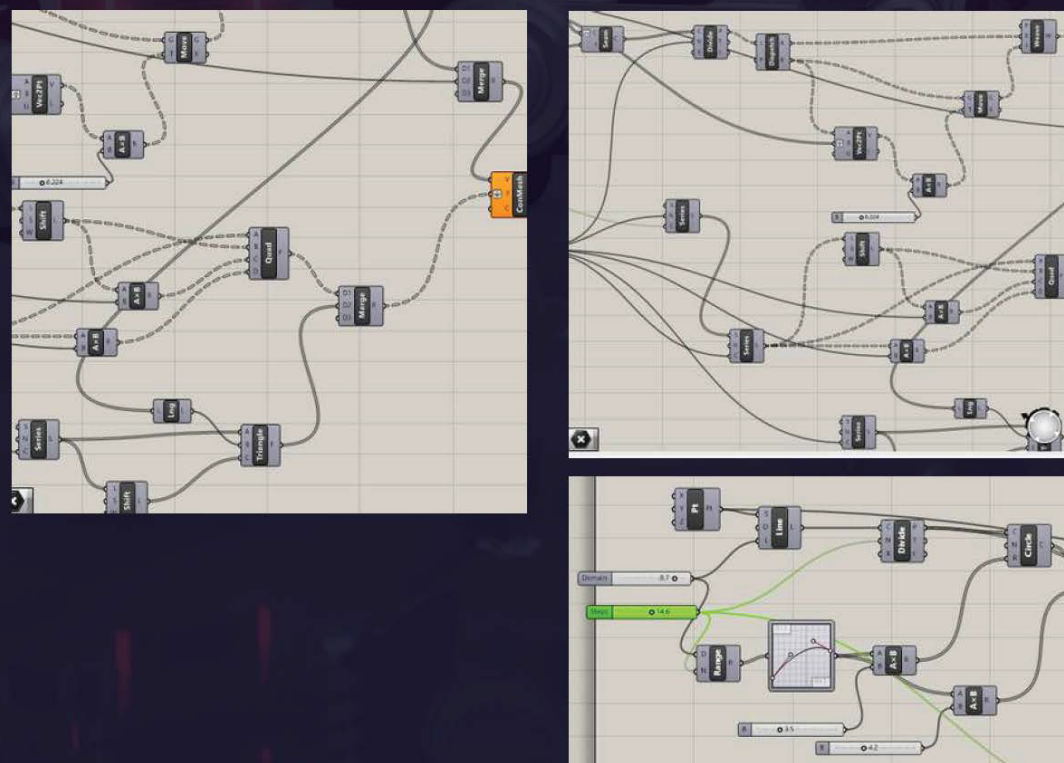
05

Chat GPT y Grasshopper



"Podrias diseñarme la carcasa de una lámpara en impresión 3d de cerámica, con el efecto, como si fuera un trapo mojado, que toma curva y crece , es irregular y tiene como ranuras que son parte como de esta torsión."

Resultados obtenidos



06

OP

Chat GPT generador de imágenes y Grasshopper

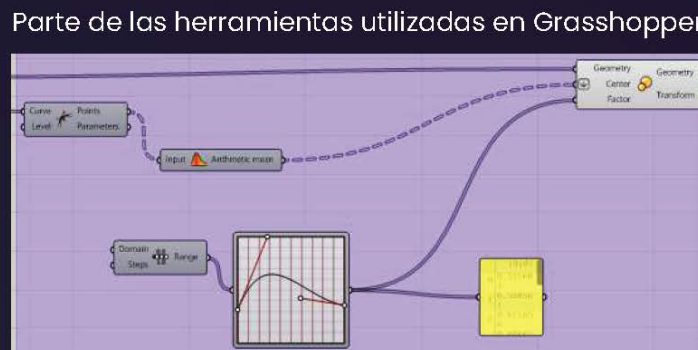
Los resultados volcados por chat GPT no fueron los esperados, así que decidí meterme de lleno con Grasshopper por mi cuenta y estos fueron los resultados.

Partiendo de la primer imagen creada por Chat (referencia página anterior), le pedí que me genere otra imagen, con menos detalles para poder ser impresa en cerámica.

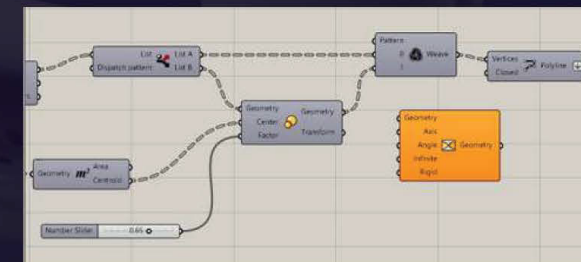
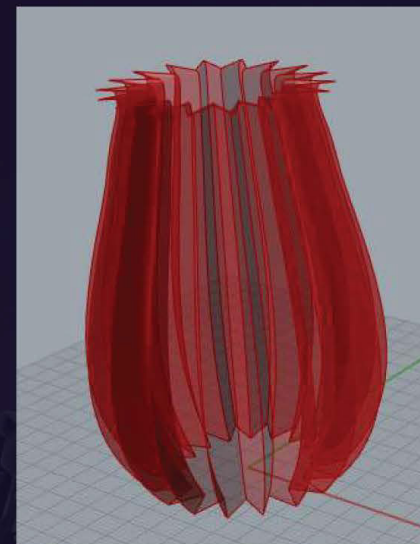
PROMPT: "La verdad que la imagen que me generaste es mejor de lo que me imaginaba, pero como objetivo principal de imprimirla en cerámica, es muy difícil de generar esas sustracciones en forma de círculos, necesito un diseño simplificado de la imagen generada, ya que la impresora 3d en cerámica solo avanza y no puede retroceder"

Tras varios intentos y tutoriales, este fue el resultado:

Resultado 1



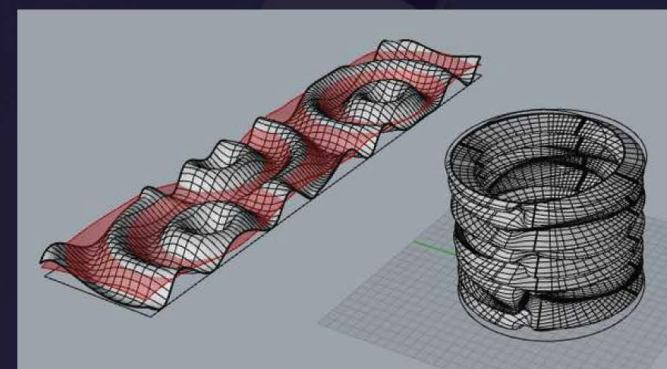
Resultado 2



A la hora de darle los detalles finales en la parte superior, se complicó.

Como resultado del fallo, decidí repensar la primer imagen de referencia e intentar una nueva versión de lámpara que se convirtió en florero, sin agujeros pasantes.

Volviendo a los orígenes



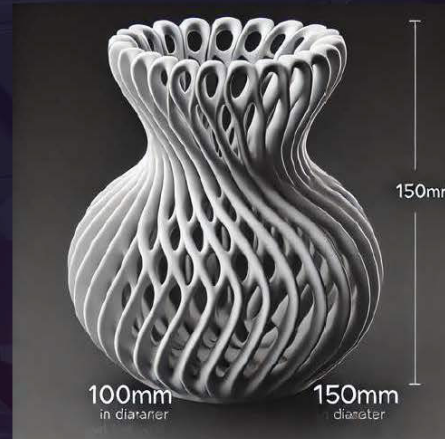
Partiendo de una superficie y utilizando la herramienta Graph Mapper, logré generar un patrón, que puede aplicarse a cualquier superficie. Pero el resultado no fue el esperado.

Chat Gpt generador de imágenes

08



"Chat generame una imagen que demuestre que el objeto que creaste tiene profundidad y no se queda en una sola foto de plano frontal, rehace la imagen que creaste primero y hazela parecer 3D, vaciada para que sirva de florero y con agujeros huecos".



Ejemplo 3

"He creado una versión simplificada del jarrón con un diseño de patrones circulares huecos y una forma adecuada para impresión 3D. Este jarrón tiene una base de 100x100 mm y una altura de 150 mm, con un ensanchamiento en el medio.

La estructura está diseñada para ser imprimible en plástico, con un espesor de pared consistente y sin detalles excesivamente complejos".

-Chat GPT-



Ejemplo 4

Tripo y Chat Gpt

09



Partiendo de la imagen generada por Chat GPT, utilicé un segundo programa que genera modelados 3D de mallas a partir de imágenes. TRIP0.

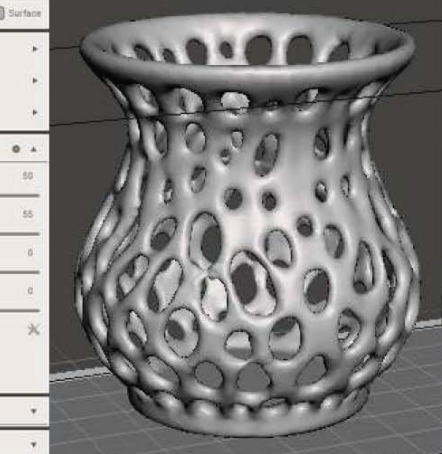


Modelado TRIP0

Meshmixer

Al tener un modelado en formato de mallas, una forma de suavizarlo es a través de un tercer programa, Meshmixer.

Pude corregir algunos errores, agregando material y suavicé los agujeros para obtener el mejor resultado posible a la hora de imprimir.



Impresión 3D en PLA

10

-Boquilla de 1.2 mm

Horas de impresión: 3 hs

El modelado en malla era improbable si funcionaría para la impresión, debido a esta razón; se optó por generar un sólido y con la herramienta "SPIRALIZE" en el programa UltiMaker Cura, propio para la impresión 3D, permitió imprimir el florero con una sola capa del espesor de la boquilla.



Impresora Hellbot
Magna SE PRO

Resultado Final



"Fallas", debido a no que la impresión no contó con un espesor de pared.

11

Objetivo Final

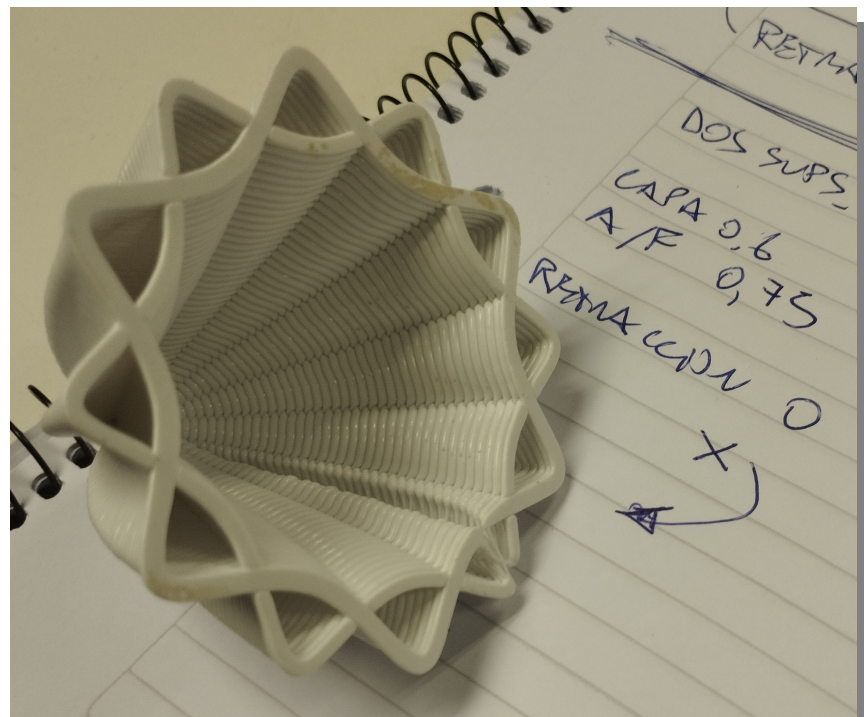
Poder imprimir el florero en cerámica.

Herramientas de la industria 4.0 en la formación tecnológica del diseño industrial

Parte 3. Diseño asistido por algoritmos y fabricación digital

Exploración morfológica de impresión 3D de plástico, cerámica y textiles mediante Grasshopper®

Anexo con informes técnicos



	Estudiante auxiliar de I+D	Tema	Docente investigador ** CETMIC (CIC – UNLP – CONICET)	Espacio de docencia e investigación
A	Roldán Lautaro	Piezas de PLA demostrativas de programación de impresión 3D en grasshopper	Ruscitti Andrés, Matías Mendozzi	AH 2022 – 2024
	Harrdos Eteban			
B	Yocco Melina	Fanales cerámicos impresos 3D	Ruscitti Andrés	
	Vernarelli Pilar			
C		Variaciones paramétricas de ondas sobre un domo	Ruscitti Andrés	
D		Cuencos por capas alternadas		
E	Piccirilli Juan	Diseño e impresión 3D de una serie de piezas cerámicas basadas en las ollas de la alfarería tradicional de Casira	Ruscitti Andrés, Rendtorff Nicolás* Serra Florencia* Paltrinieri Agustina* (2021)	AH 2019-2020
F		Diseño paramétrico y producción por impresión 3D de una serie de ocho piezas huecas tramadas en cerámica	Ruscitti Andrés Rendtorff Nicolás* Tapia Clara Serra Florencia* (2021)	
G		Tramas textiles	Tapia Clara	

Herramientas de la industria 4.0 en la formación tecnológica del diseño industrial

Parte 3. Diseño asistido por algoritmos y fabricación digital

Exploración morfológica de impresión 3D de plástico, cerámica y textiles mediante Grasshopper®

Anexo con informes técnicos

3A Piezas de PLA demostrativas de programación de impresión 3D en grasshopper

D.I. Ruscitti Andrés

Presentación en Tecnologías Aditivas de la fabricación Digital, ETFD, 2024



Herramientas de la industria 4.0 en la formación tecnológica del diseño industrial

Parte 3. Diseño asistido por algoritmos y fabricación digital

Exploración morfológica de impresión 3D de plástico, cerámica y textiles mediante Grasshopper®

Anexo con informes técnicos

3G Tramas Textiles, Fabricación digital en la cadena de valor textil

D.I. Dra. Clara Tapia

Presentación en Aplicaciones de la fabricación Digital, ETFD, 2024

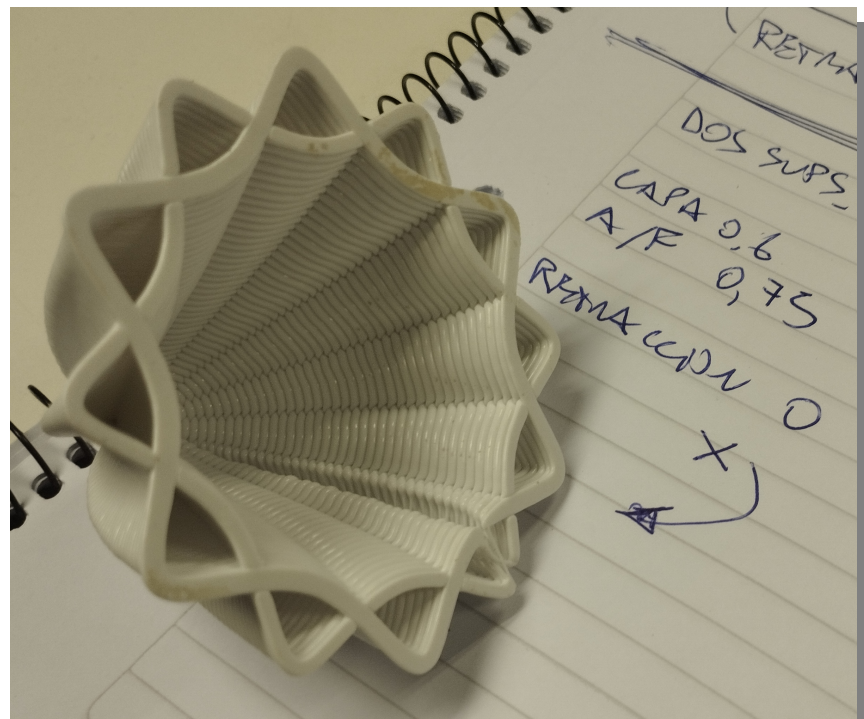


Herramientas de la industria 4.0 en la formación tecnológica del diseño industrial

Parte 3. Diseño asistido por algoritmos y fabricación digital

Exploración morfológica de impresión 3D de plástico, cerámica y textiles mediante Grasshopper®

Anexo con informes técnicos



	Estudiante auxiliar de I+D	Tema	Docente investigador ** CETMIC (CIC – UNLP – CONICET)	Espacio de docencia e investigación
A	Roldán Lautaro	Piezas de PLA demostrativas de programación de impresión 3D en grasshopper	Ruscitti Andrés, Matías Mendozzi	AH 2022 – 2024
	Harrdos Eteban	Fanales cerámicos impresos 3D		
B	Yocco Melina	Variaciones paramétricas de ondas sobre un domo	Ruscitti Andrés	AH 2019-2020
	Vernarelli Pilar	Cuencos por capas alternadas		
C		Diseño e impresión 3D de una serie de piezas cerámicas basadas en las ollas de la alfarería tradicional de Casira	Ruscitti Andrés, Rendtorff Nicolás* Serra Florencia* Paltrinieri Agustina* (2021)	
	Piccirilli Juan	Diseño paramétrico y producción por impresión 3D de una serie de ocho piezas huecas tramadas en cerámica		
F		Tramas textiles	Tapia Clara Serra Florencia* (2021)	
G			Tapia Clara	

Herramientas de la industria 4.0 en la formación tecnológica del diseño industrial

Parte 3. Diseño asistido por algoritmos y fabricación digital

Exploración morfológica de impresión 3D de plástico, cerámica y textiles mediante Grasshopper®

Anexo con informes técnicos

3A Piezas de PLA demostrativas de programación de impresión 3D en grasshopper

D.I. Ruscitti Andrés

Presentación en Tecnologías Aditivas de la fabricación Digital, ETFD, 2024



Herramientas de la industria 4.0 en la formación tecnológica del diseño industrial

Parte 3. Diseño asistido por algoritmos y fabricación digital

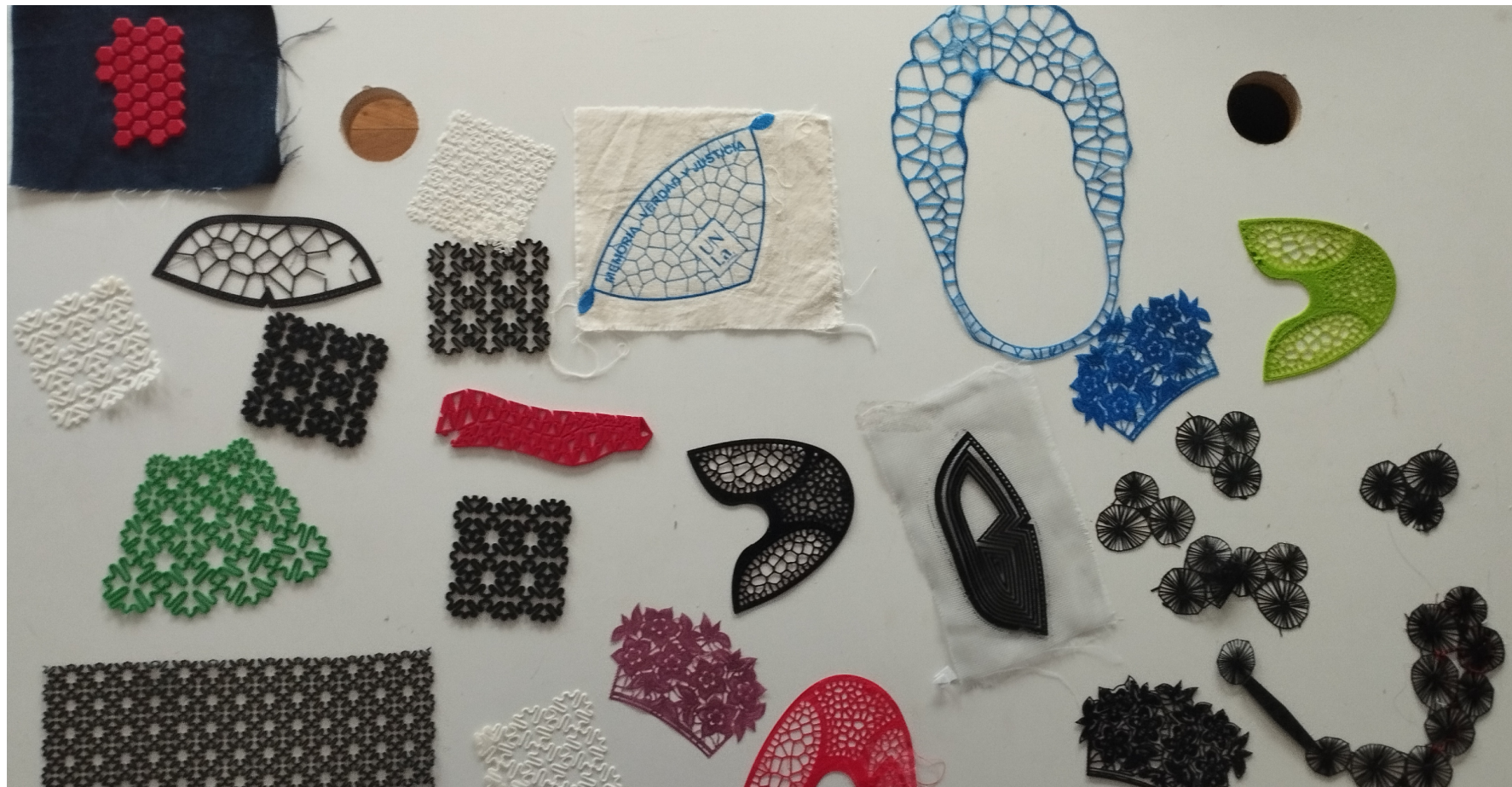
Exploración morfológica de impresión 3D de plástico, cerámica y textiles mediante Grasshopper®

Anexo con informes técnicos

3G Tramas Textiles, Fabricación digital en la cadena de valor textil

D.I. Dra. Clara Tapia

Presentación en Aplicaciones de la fabricación Digital, ETFD, 2024



PROGRAMACIÓN DE CÓDIGO G EN GRASSHOPPER

PARTE 1

EL PROCESO DE IMPRESIÓN 3D EN ENTORNO DE DISEÑO PARAMÉTRICO



OBJETOS GEOMÉTRICOS BÁSICOS

Objetos de Rhino

Los objetos geométricos básicos de Rhino son: puntos y curvas NURBS, superficies, polisuperficies, objetos de extrusión y objetos de malla poligonal.

Por qué el modelado NURBS

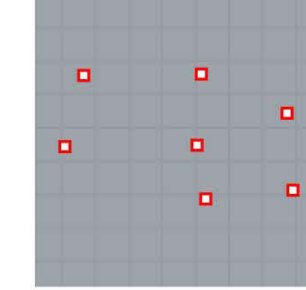
Las **NURBS** (B-splines racionales no uniformes) son representaciones matemáticas capaces de modelar cualquier forma con precisión, desde simples líneas, círculos, arcos o cajas 2D, hasta las más complejas superficies o sólidos orgánicos de forma libre en 3D. Gracias a su flexibilidad y precisión, se pueden utilizar modelos NURBS en cualquier proceso, desde la ilustración y animación hasta la fabricación.

La **geometría NURBS** es un estándar de la industria para diseñadores que trabajan en 3D, donde las formas son libres y fluidas y donde tanto forma como función son importantes. Rhino se emplea en la industria naval, aeronáutica y automovilística para el diseño interior y exterior. Los fabricantes de electrodomésticos y accesorios de oficina, mobiliario, equipamiento médico y deportivo, calzado y joyería utilizan Rhino para crear formas libres.

El uso del **modelado NURBS** también se ha extendido entre profesionales de la animación y artistas gráficos. La ventaja que tiene sobre los modeladores de polígonos es que no hay facetas. Los modelos se pueden renderizar en cualquier resolución. Una malla se puede crear a partir del modelo en cualquier resolución. Para obtener más información acerca de la matemática de las NURBS, consulte [¿Qué son las NURBS?](#)

Puntos

Los **puntos** marcan un único punto en un espacio 3D. Se trata del objeto más simple de Rhino. Los puntos se pueden colocar en cualquier lugar del espacio y se usan mayoritariamente como marcadores de posición.



Puntos.
Véase: [Dibujar puntos](#).

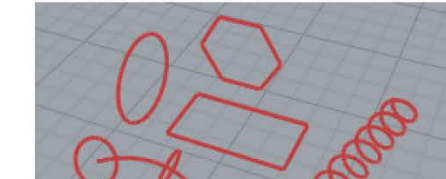
Curvas

Una curva de Rhino es similar a una estructura alámbrica. Puede ser recta u ondulada, puede ser abierta o cerrada.

Una **policurva** es una curva formada por varios segmentos unidos de extremo a extremo.

Rhino ofrece varias herramientas para la creación de curvas. Se pueden dibujar líneas rectas, polilíneas formadas por segmentos de línea conectados, arcos, círculos, polígonos, elipses, helices y espirales.

También se pueden dibujar curvas utilizando **puntos de control** de curvas y curvas que atraviesan los puntos seleccionados.



<https://docs.mcneel.com/rhino/6/help/es-es/information/rhinoobjects.htm>

GEOMETRÍAS NURBS: GRADO, NODOS Y PUNTOS DE CONTROL

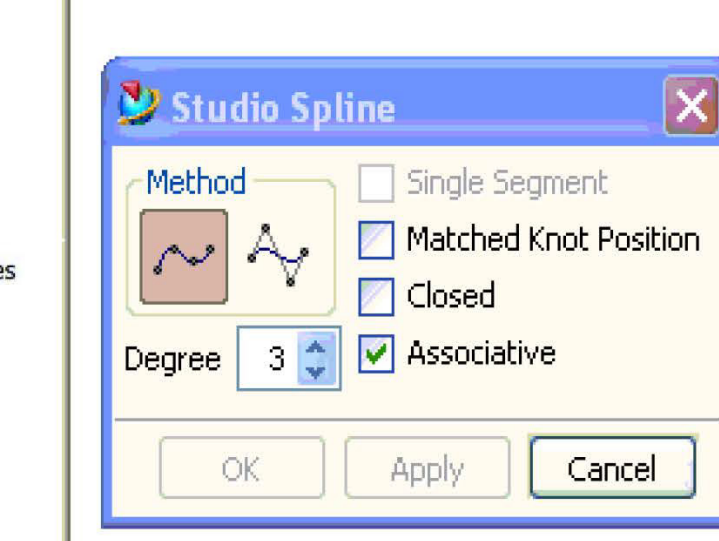
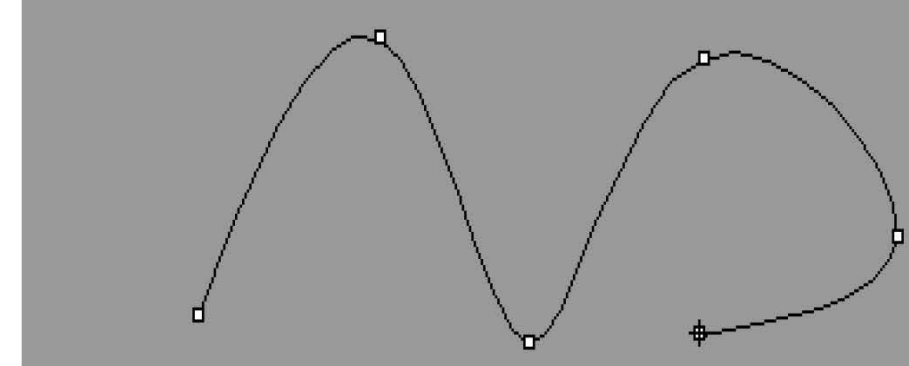
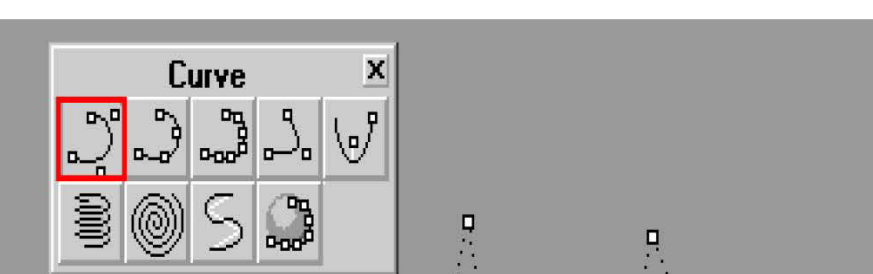
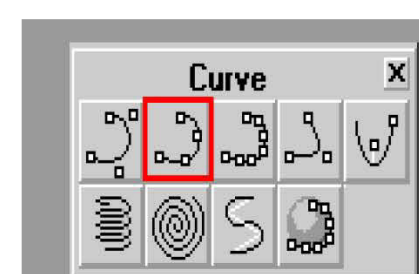
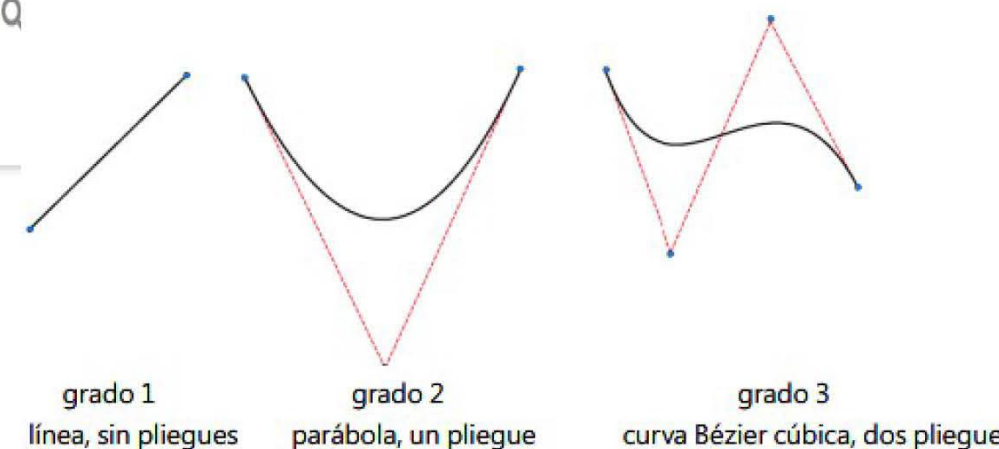
GEOMETRÍAS NURBS



¿Qué son las NURBS?

Las **NURBS**, B-splines racionales no uniformes, son representaciones matemáticas de

<https://www.rhino3d.com/features/nurbs/>



Grasshopper Docs Community documentation for Grasshopper add-ons & plugins

Grasshopper Addons and Plugins

Rhino 7. Grasshopper 1.0.0007. 7647 components including 164 addons. 514 video tutorials.

Complete Component Index
View all 7647 components

Grasshopper
11 libraries

Display
Version 1.0.0007
Released 2022-Mar-08

Curve
Version 1.0.0007
Released 2022-Mar-08

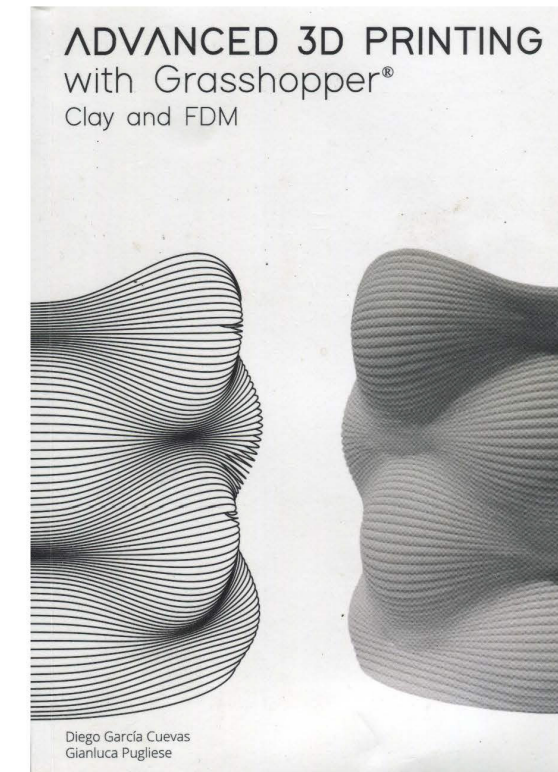
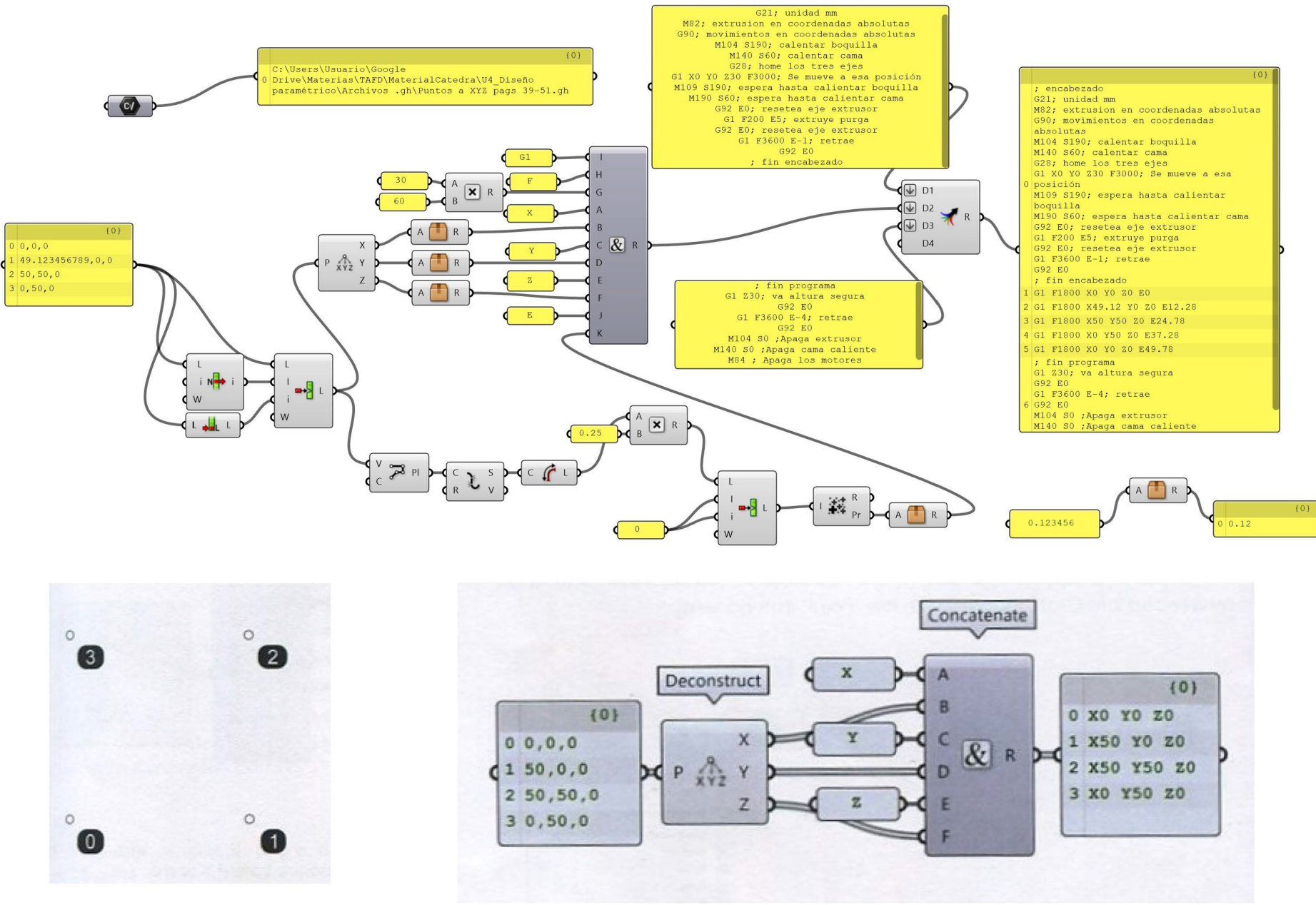
Surface
Version 1.0.0007
Released 2022-Mar-08

View

<http://grasshopperdocs.com/>

1.1. DE PUNTOS a COORDENADAS XYZ, a CÓDIGO G

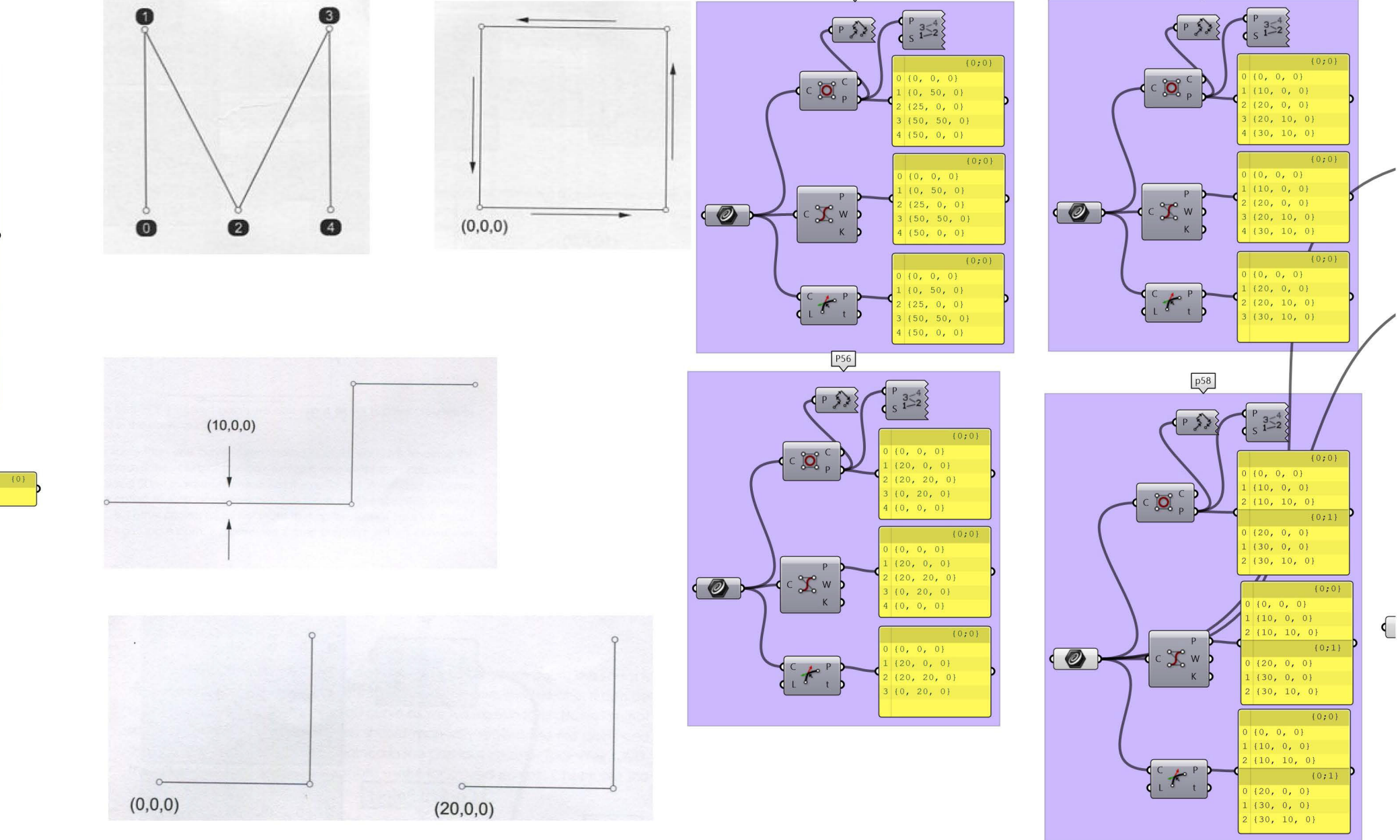
P. 39 - 51



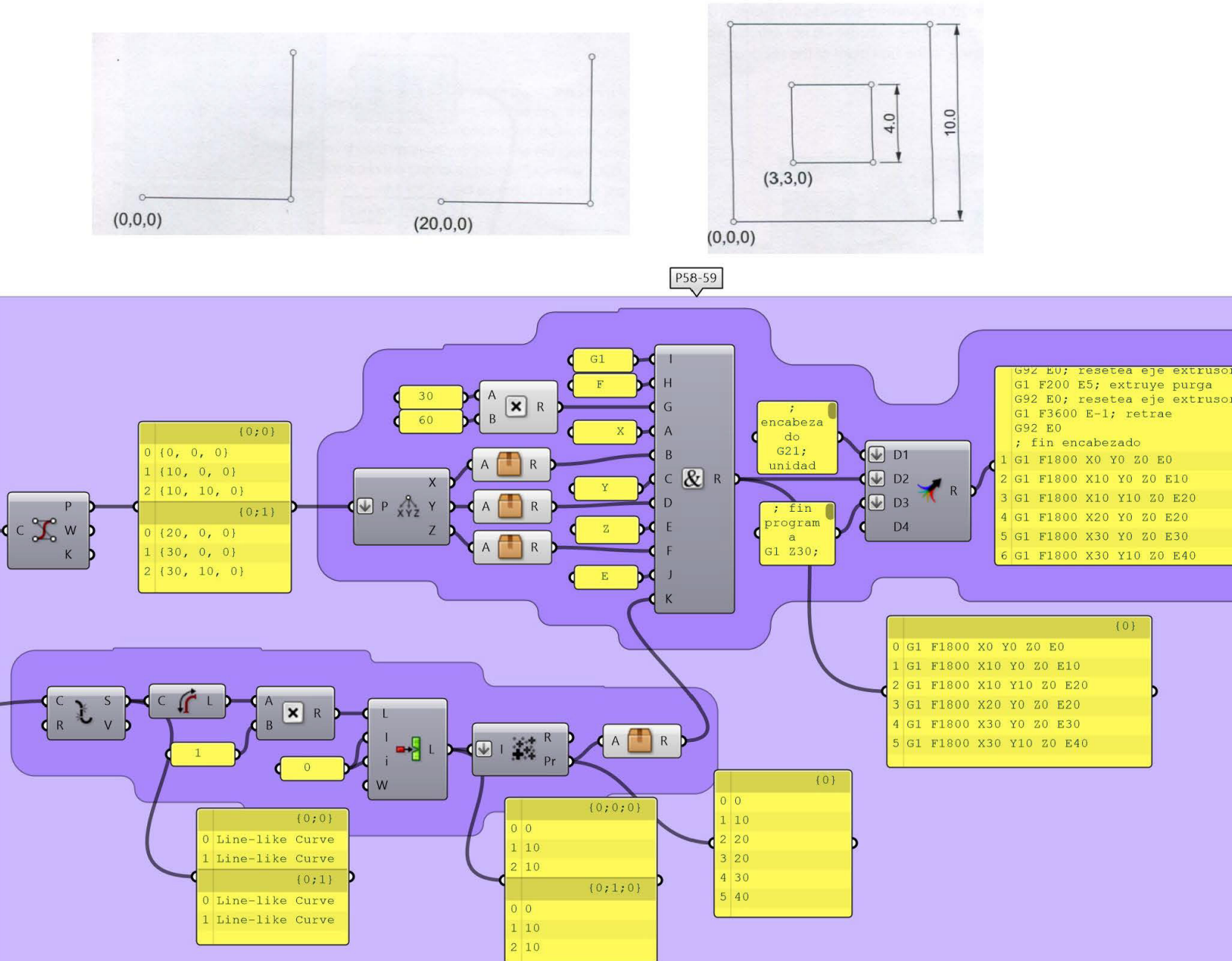
PART IV Drawing 3D printing.....	29
G-Code.....	31
G-code with Grasshopper®.....	39
Points -> X,Y,Z	41
Polylines -> Points -> X,Y,Z	53
Curves -> Points -> X,Y,Z.....	65
Mesh -> Polylines -> Points -> X,Y,Z	73
Brep -> Mesh -> Polyline -> Points -> X,Y,Z	83
Brep -> Curves -> Polyline -> Points -> X,Y,Z.....	89

1.2. DE POLILÍNEAS a PUNTOS a COORDENADAS XYZ, a CÓDIGO G

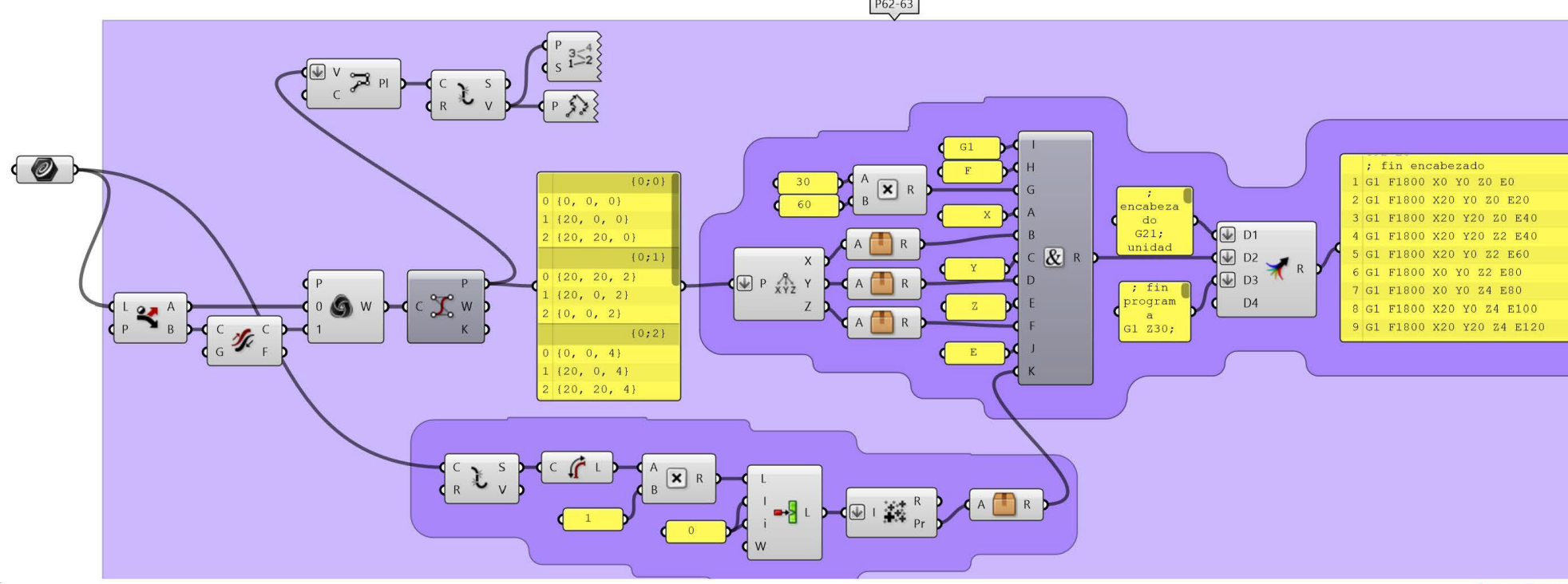
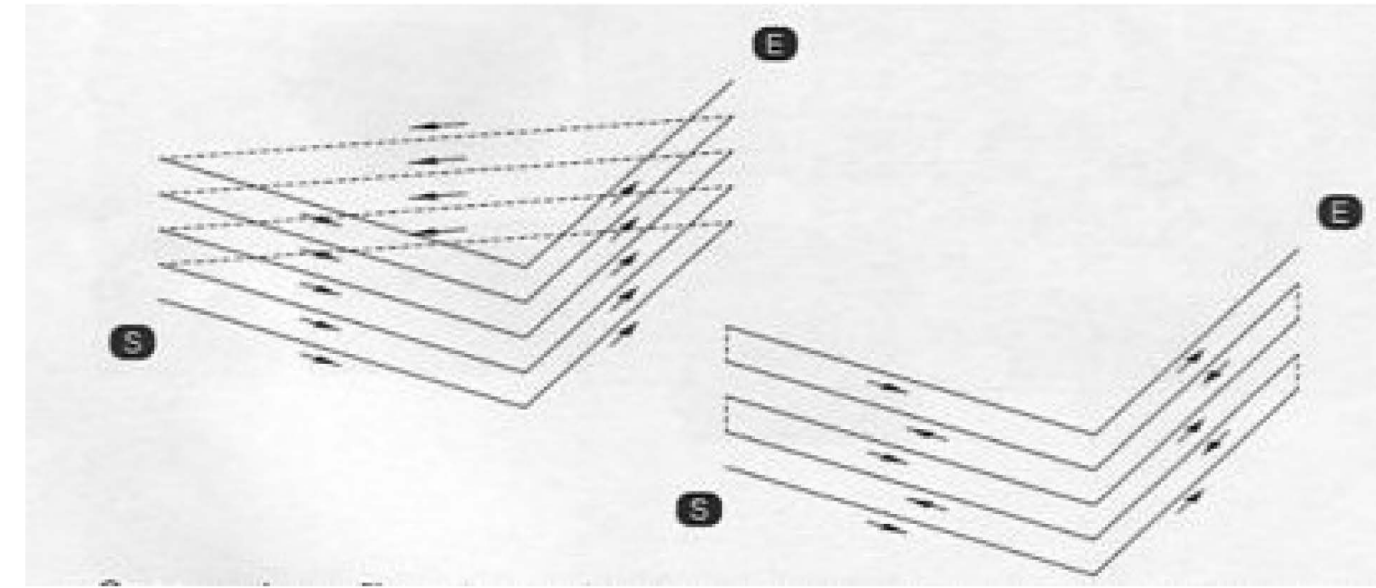
P. 53 - 63



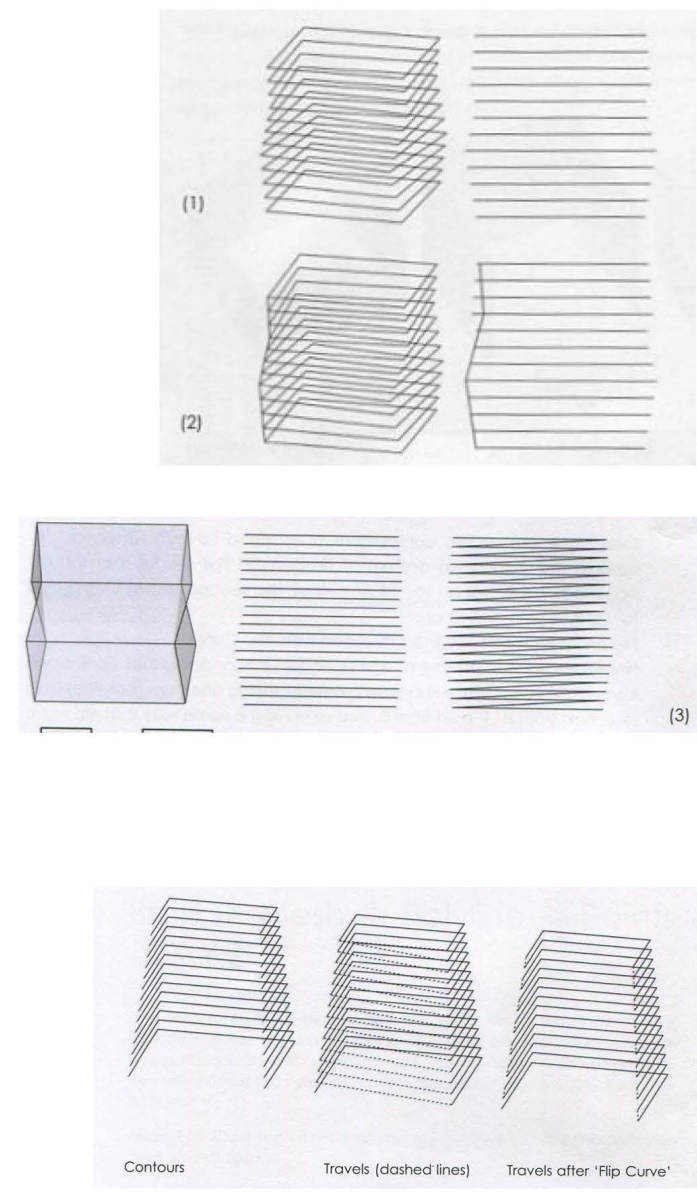
**1.2. DE POLILÍNEAS a PUNTOS a COORDENADAS XYZ, a CÓDIGO G
P. 53 - 63**



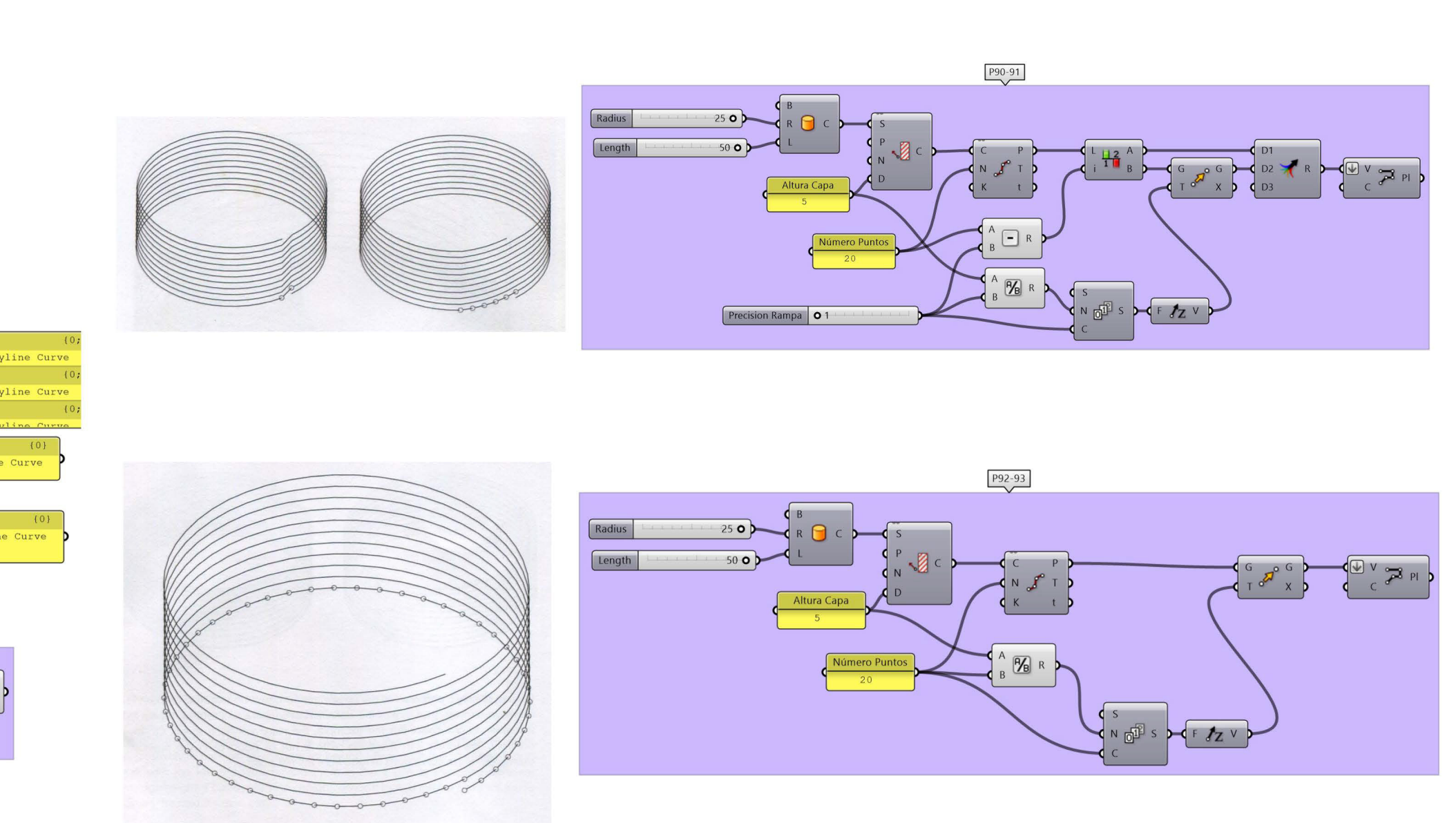
**1.2. DE POLILÍNEAS a PUNTOS a COORDENADAS XYZ, a CÓDIGO G
P. 53 - 63**

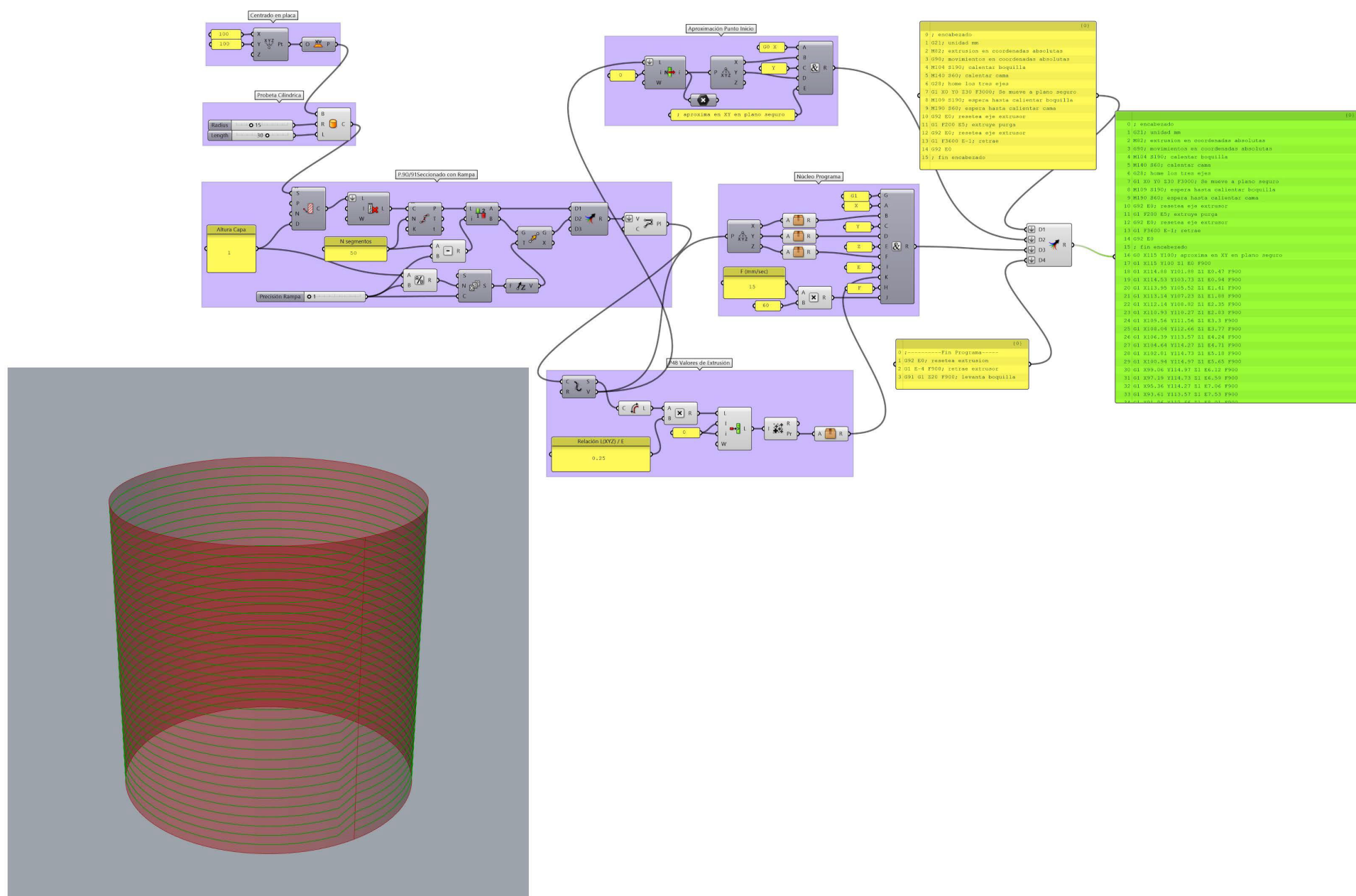
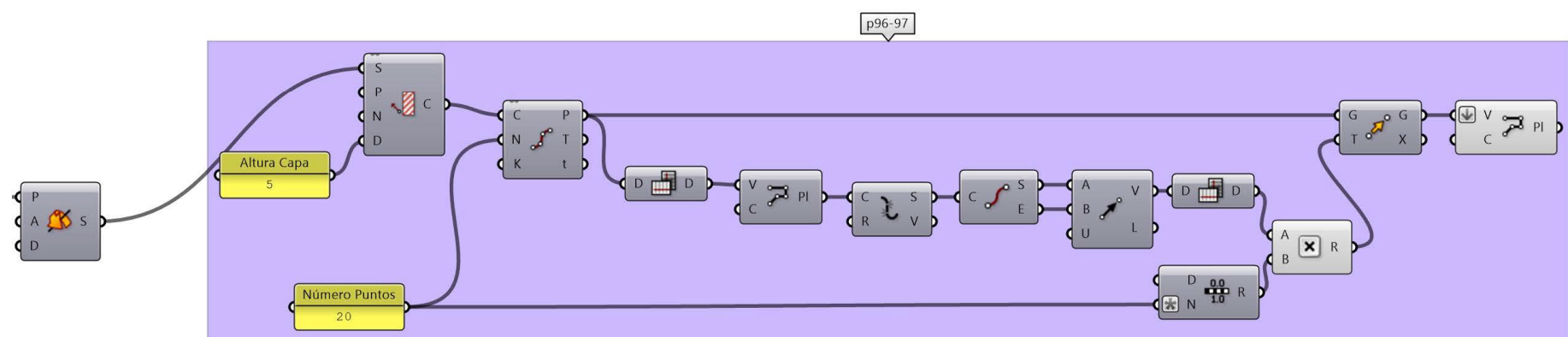
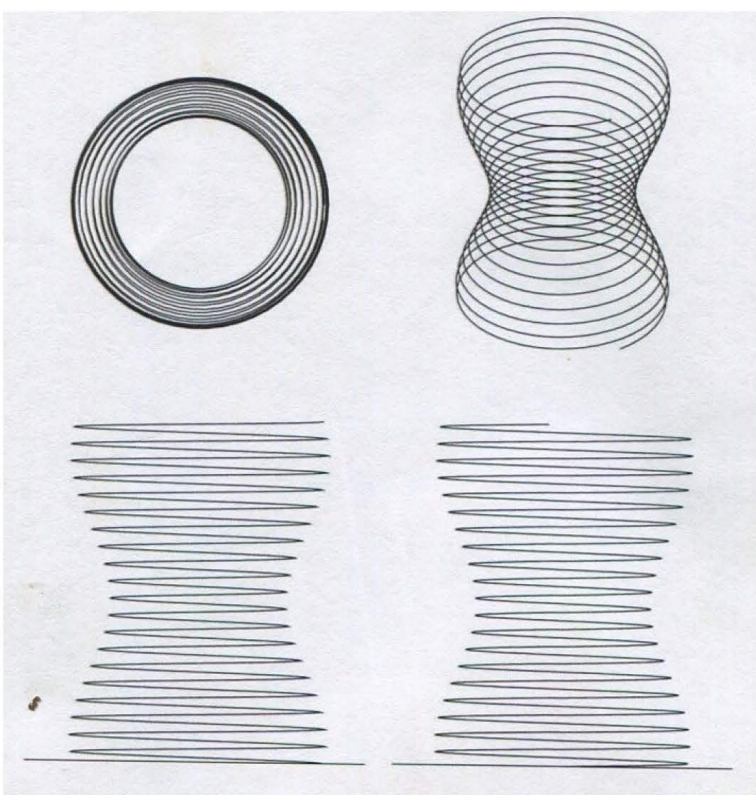


**1.3. DE MALLAS a POLILÍNEAS a PUNTOS a COORDENADAS XYZ
P. 73 - 81**

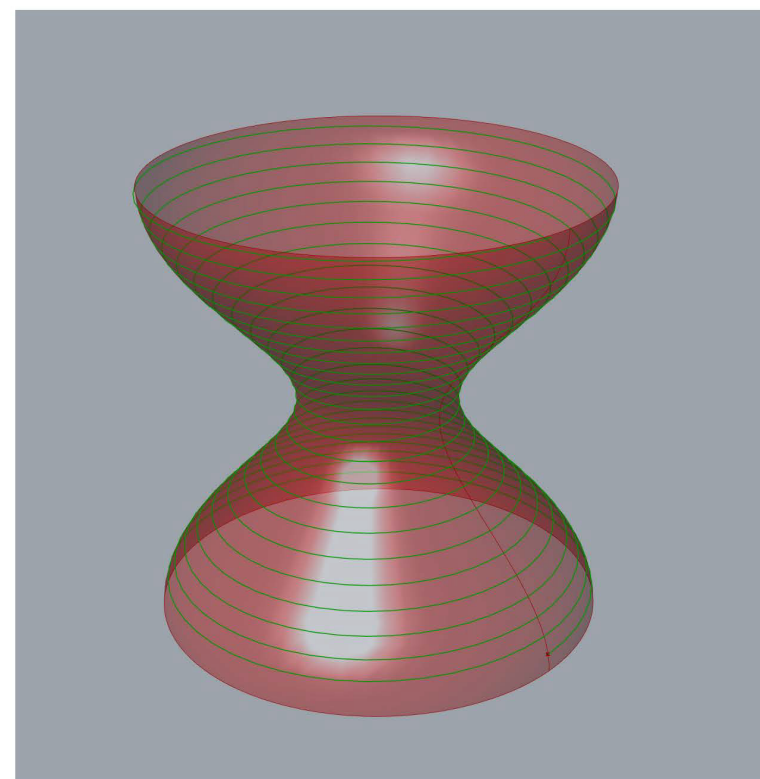
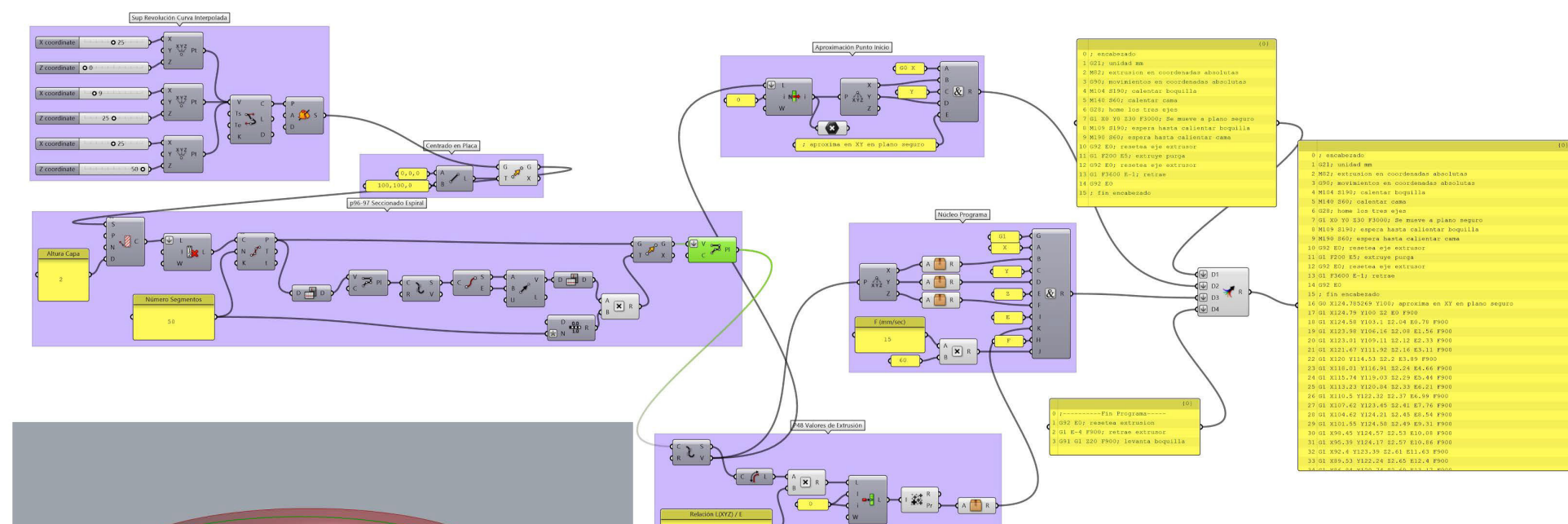


**1.4. DE SUPERFICIES a POLILÍNEAS a PUNTOS a COORDENADAS XYZ
P. 89 - 97**





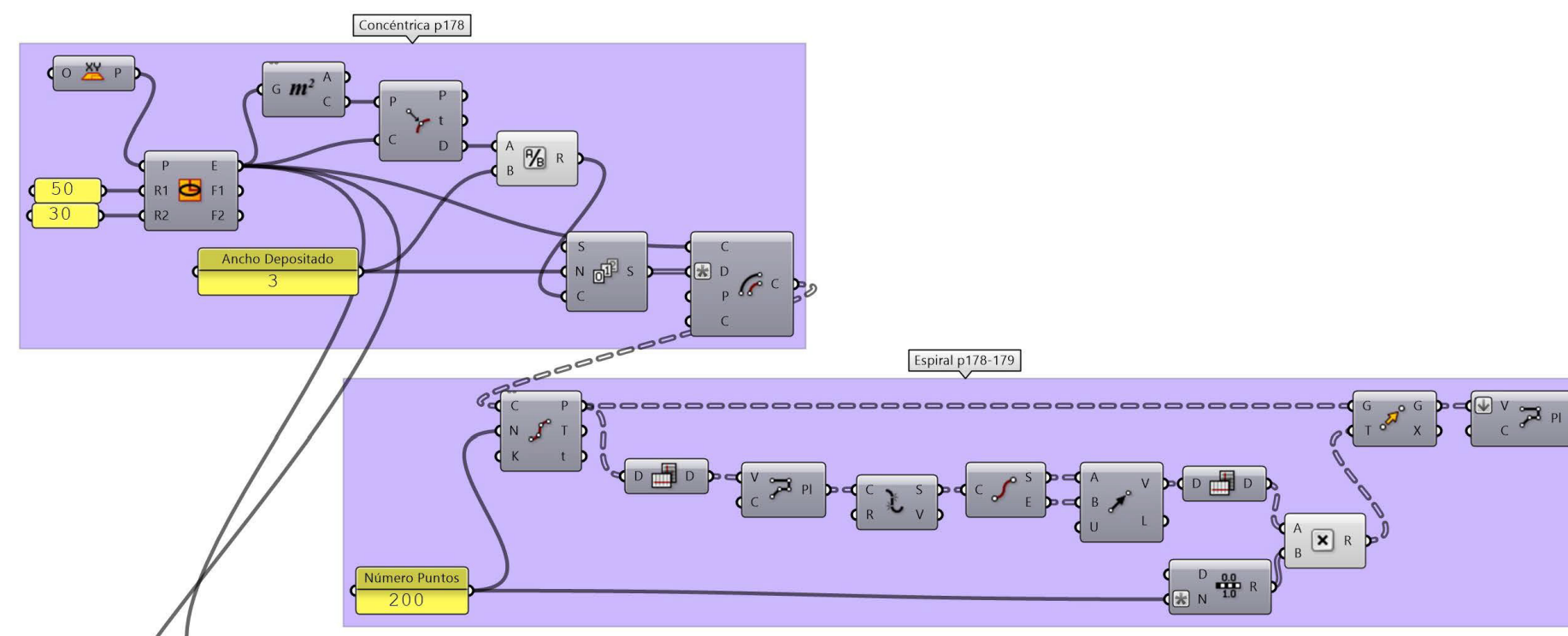
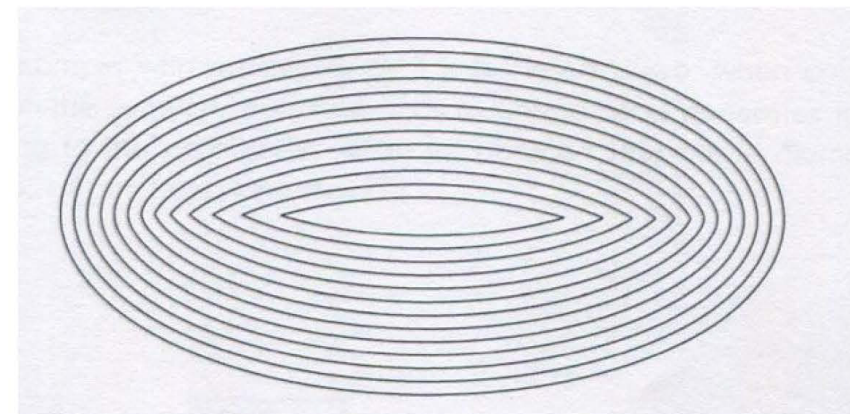
**PROGRAMACIÓN FDM PLÁSTICO, EN ESPIRAL, SUPERFICIE DE REVOLUCIÓN,
ProbetaInterpoladaRevolucionSpiralGcode.gh**



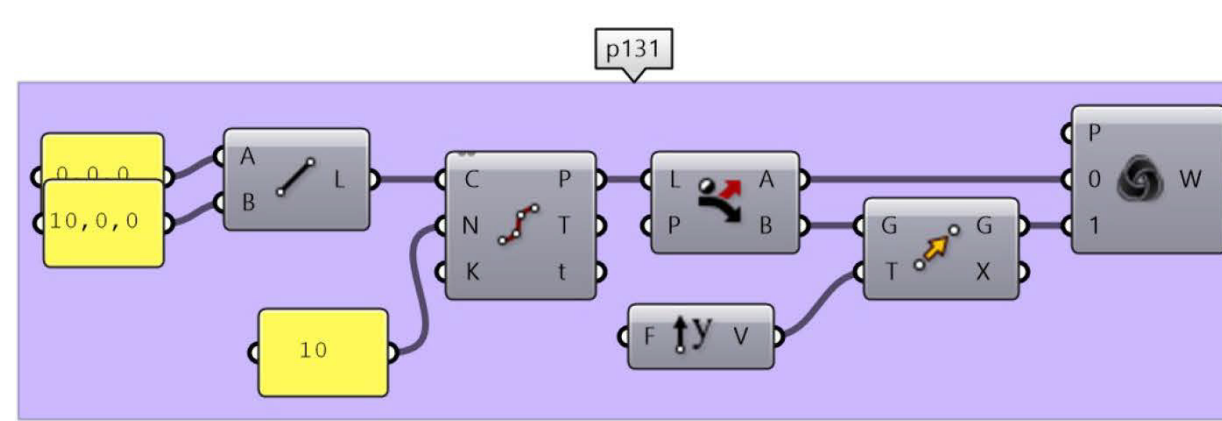
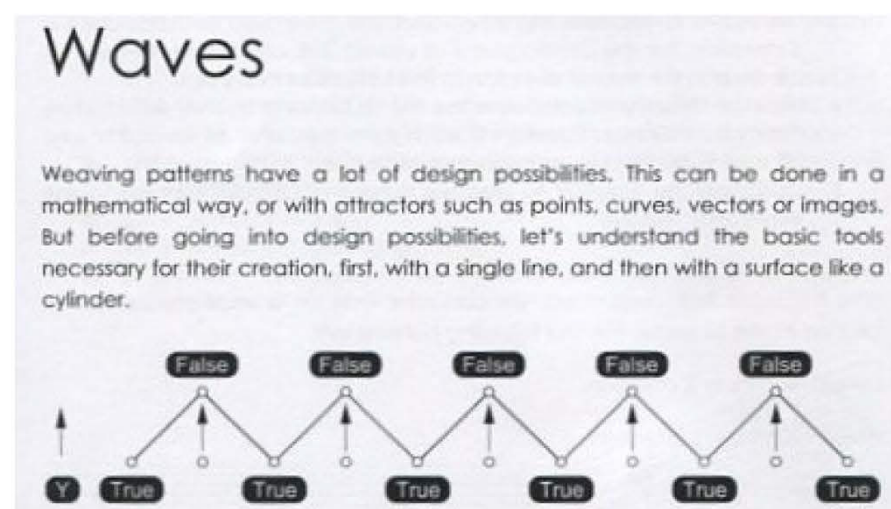
PROGRAMACIÓN DE CÓDIGO G EN GRASSHOPPER

PARTE 2

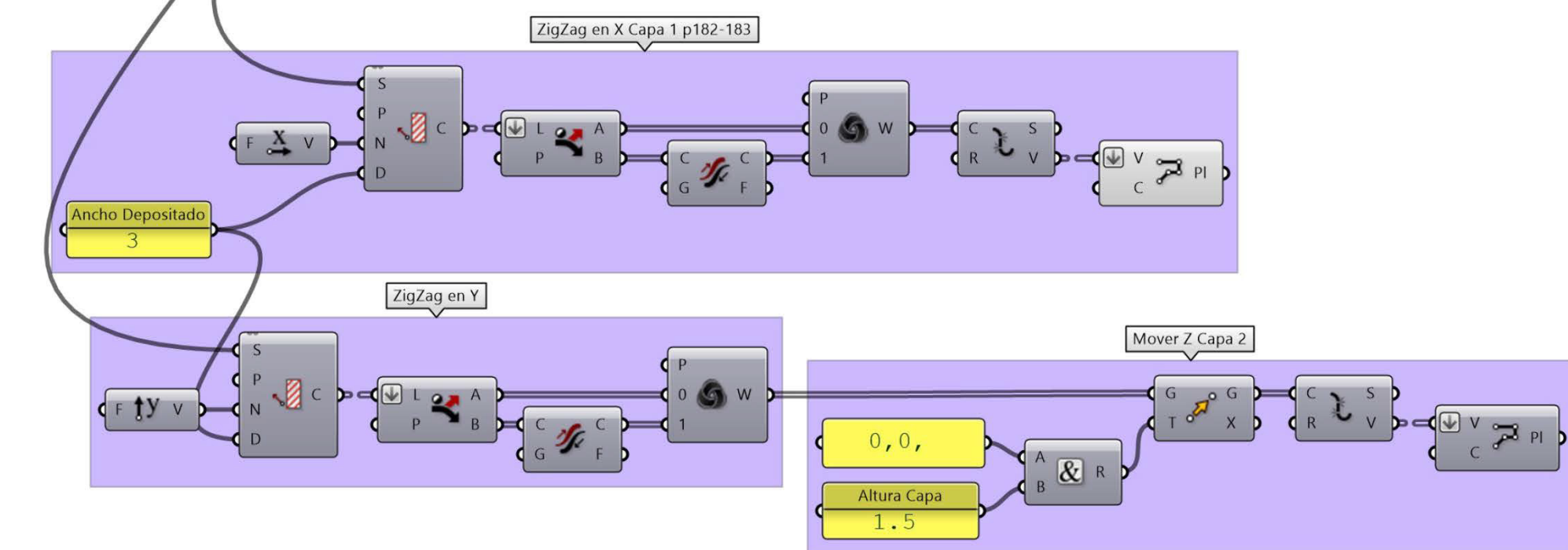
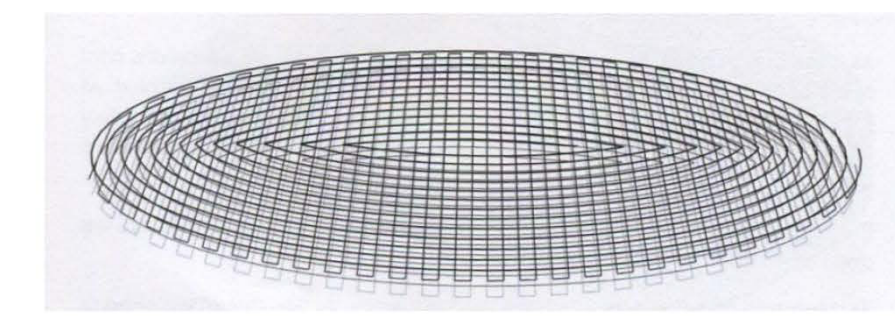
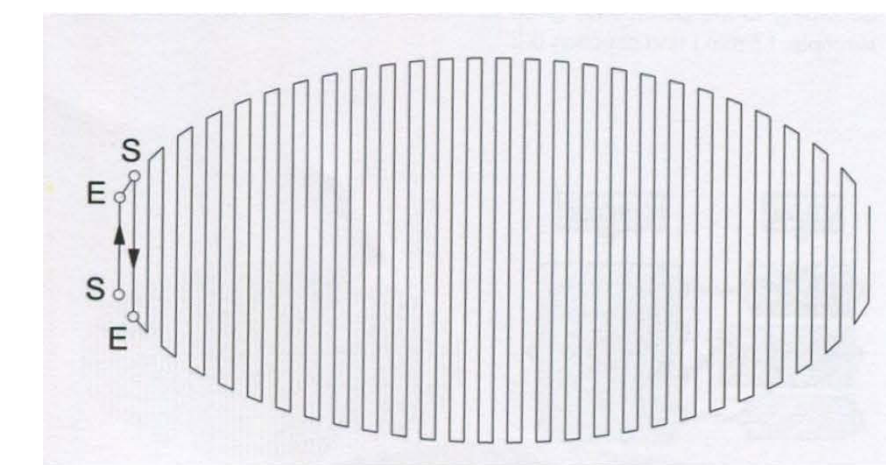
BASES, CONCÉNTRICA Pags 175 - 183



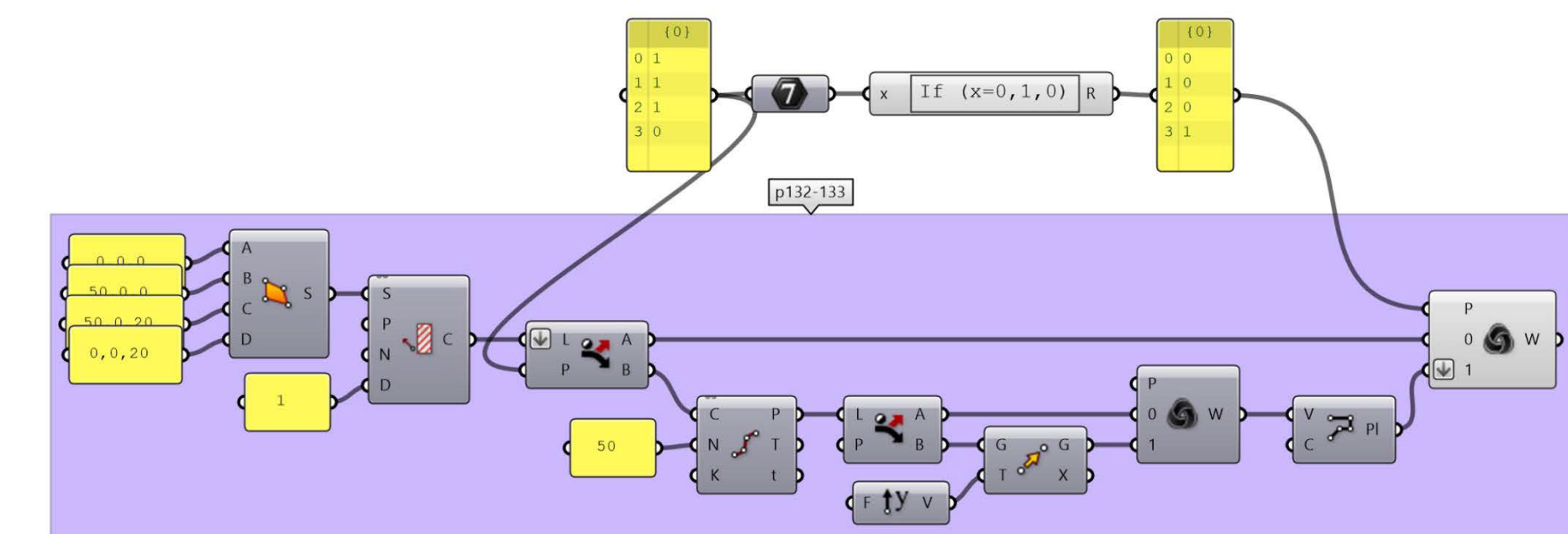
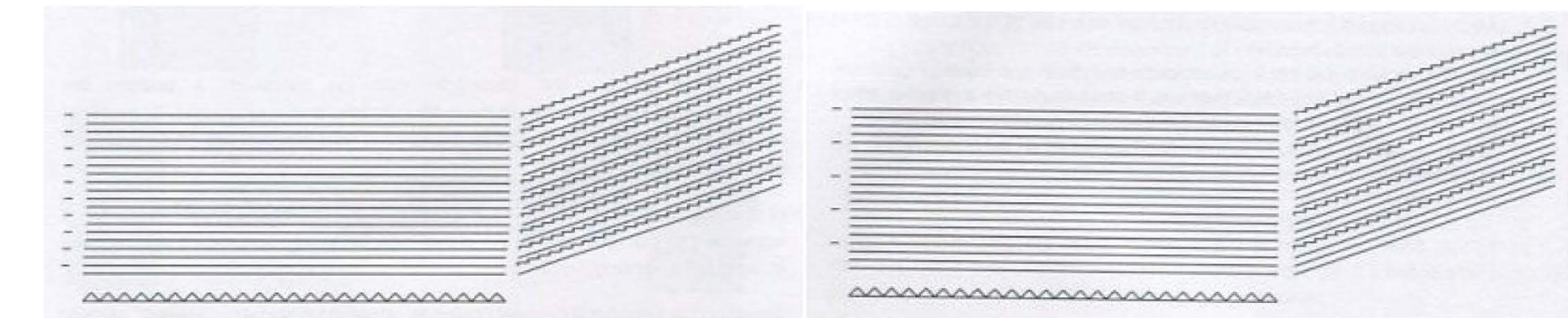
ONDAS Pags. 131 - 141

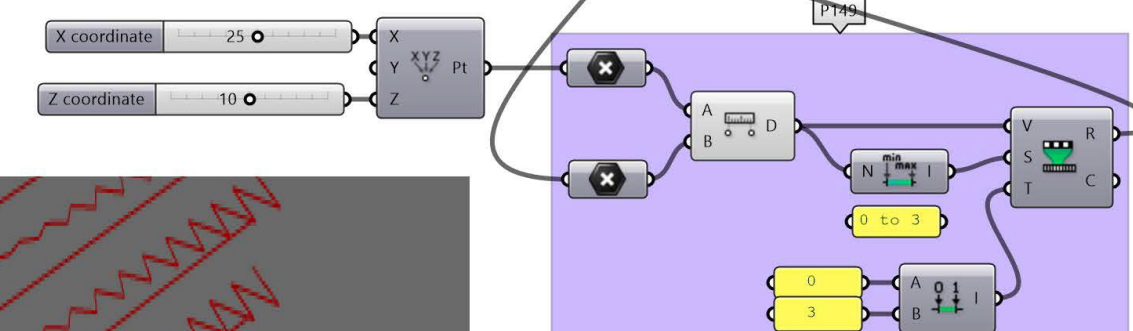
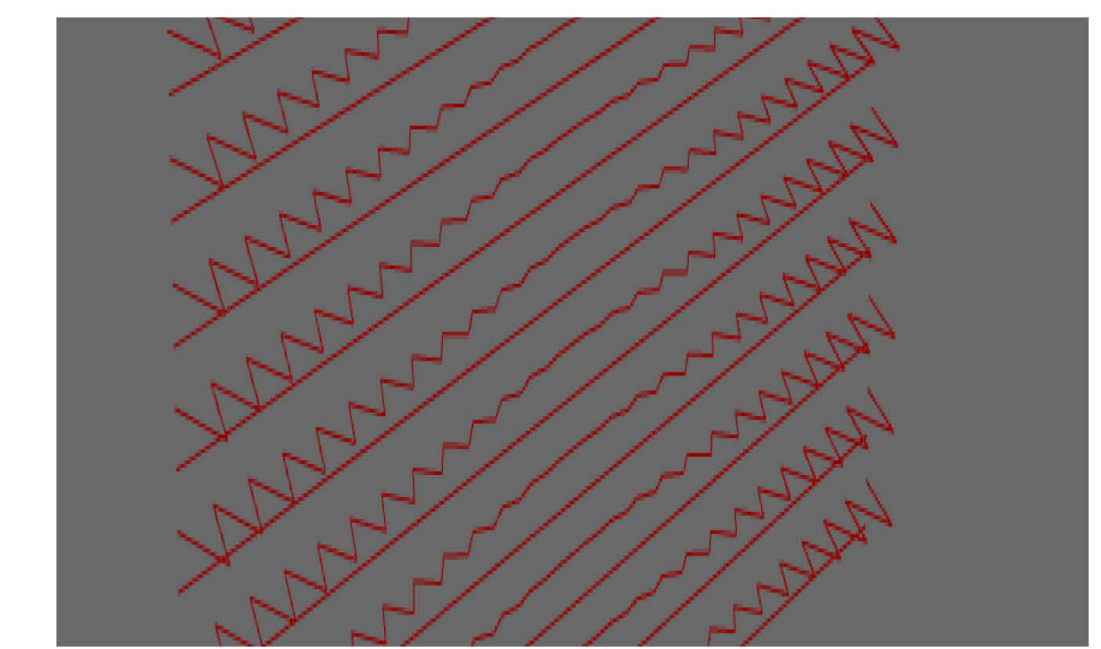
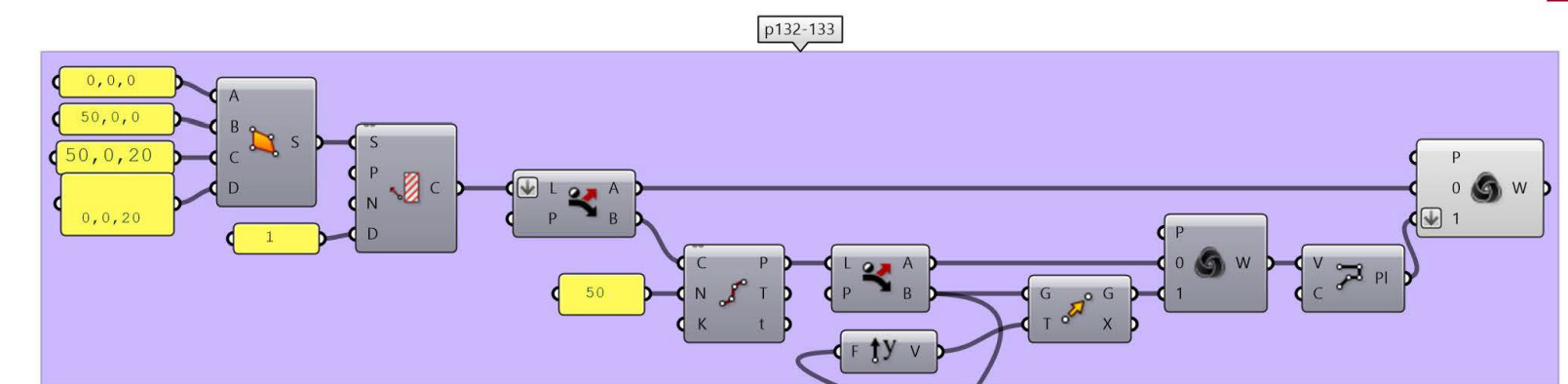
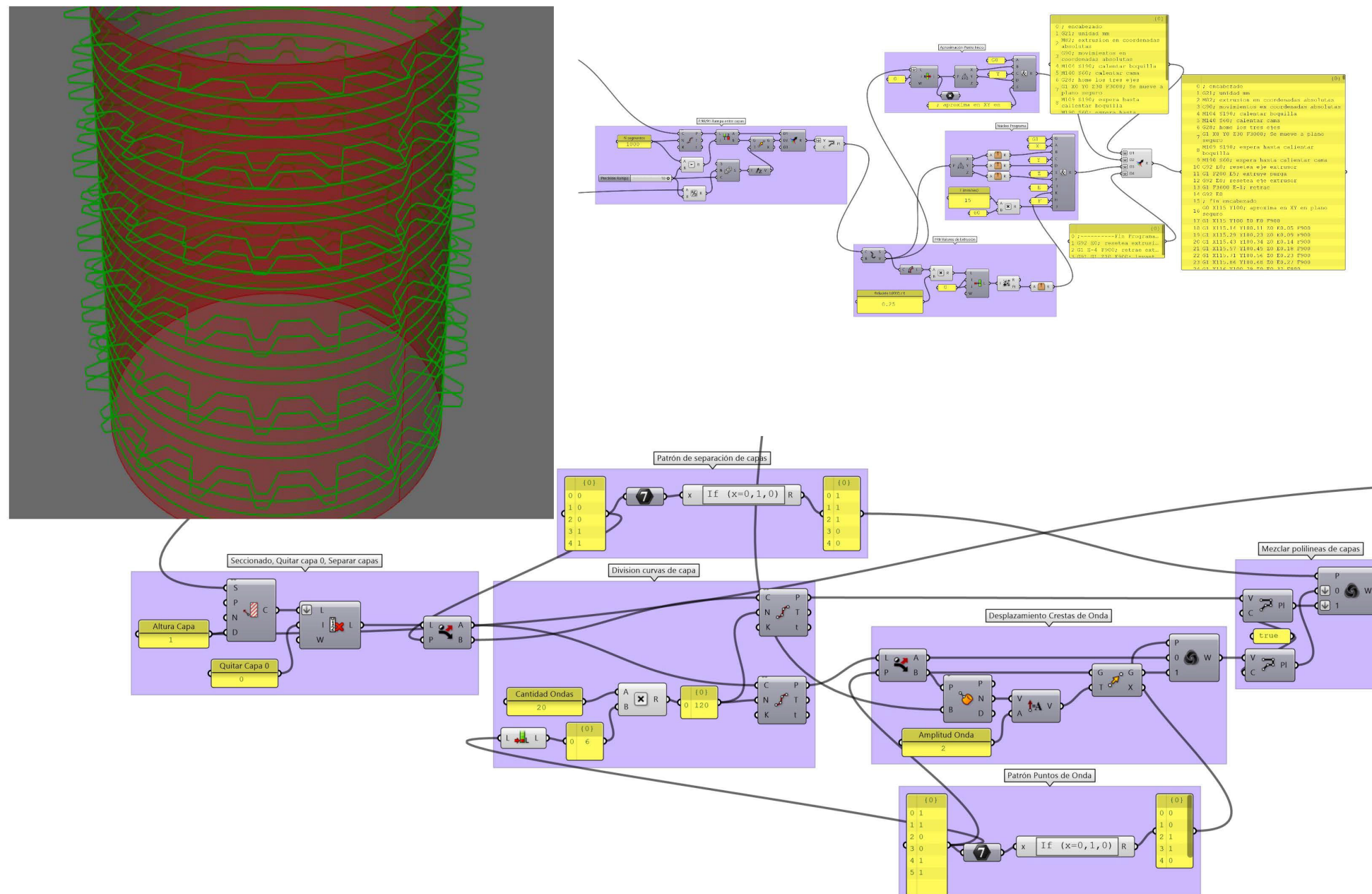
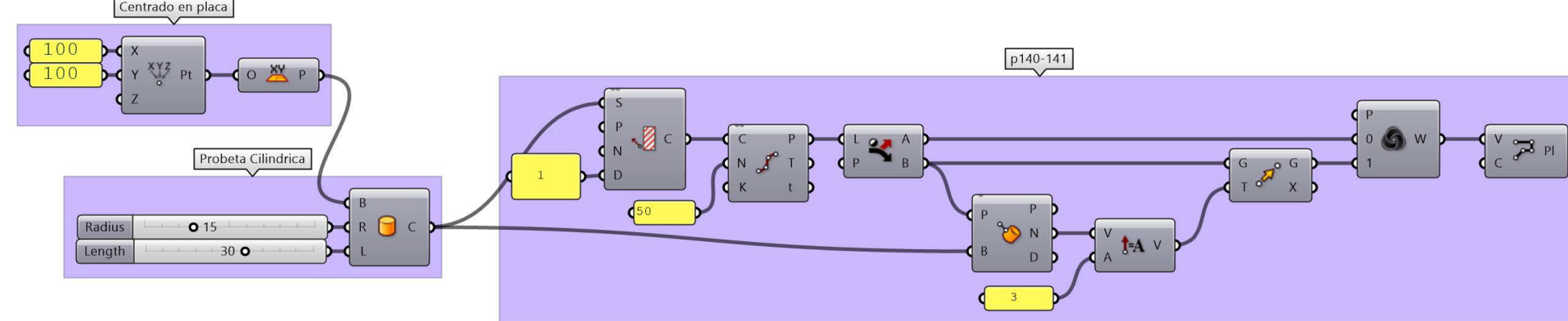
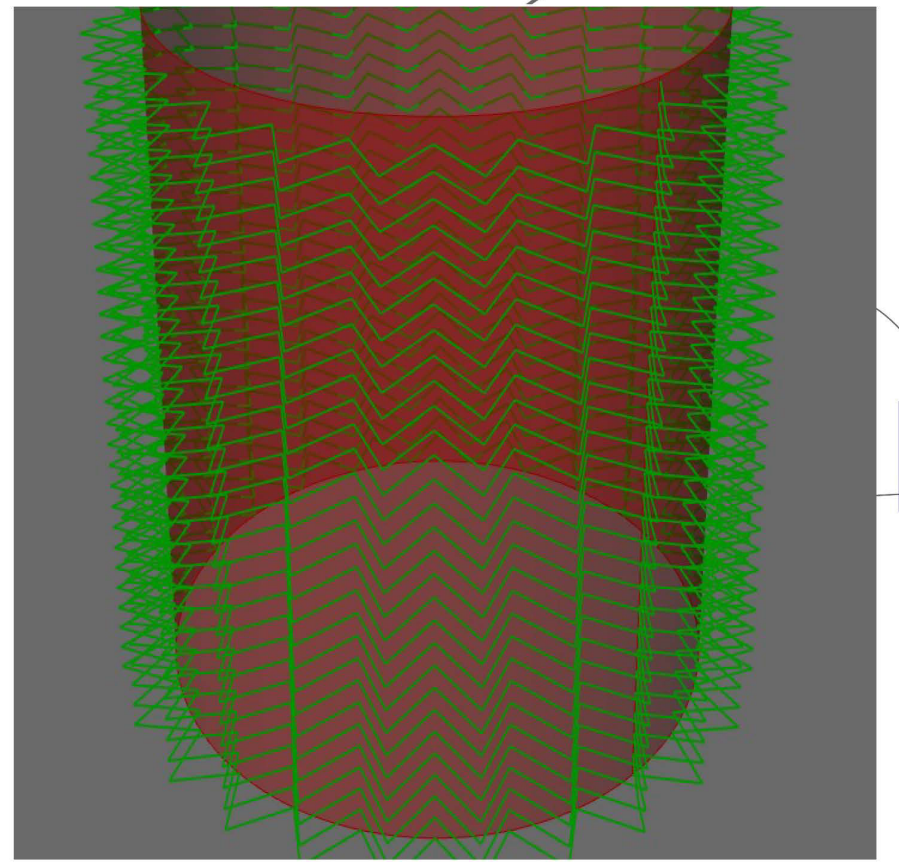
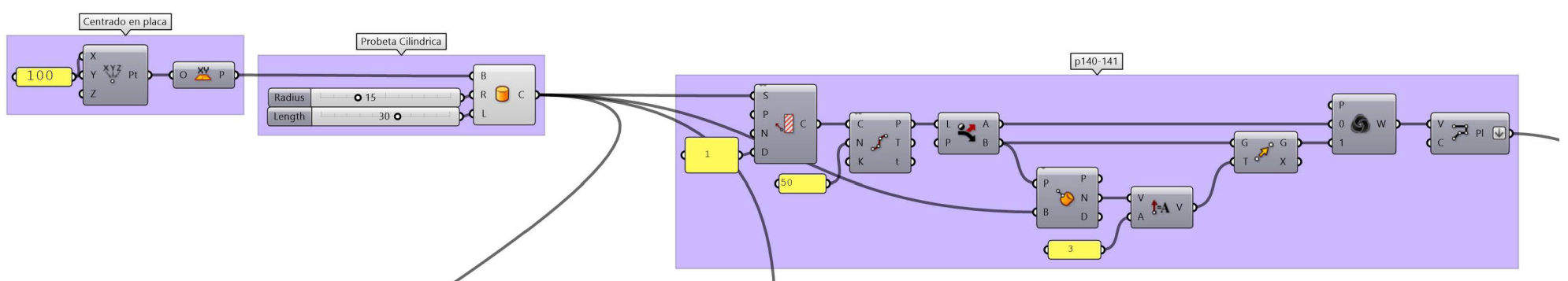
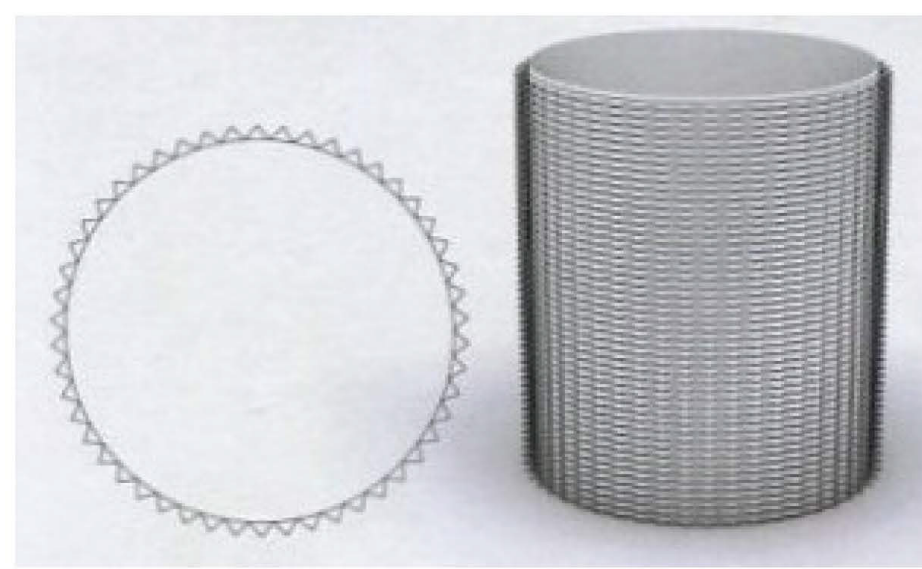
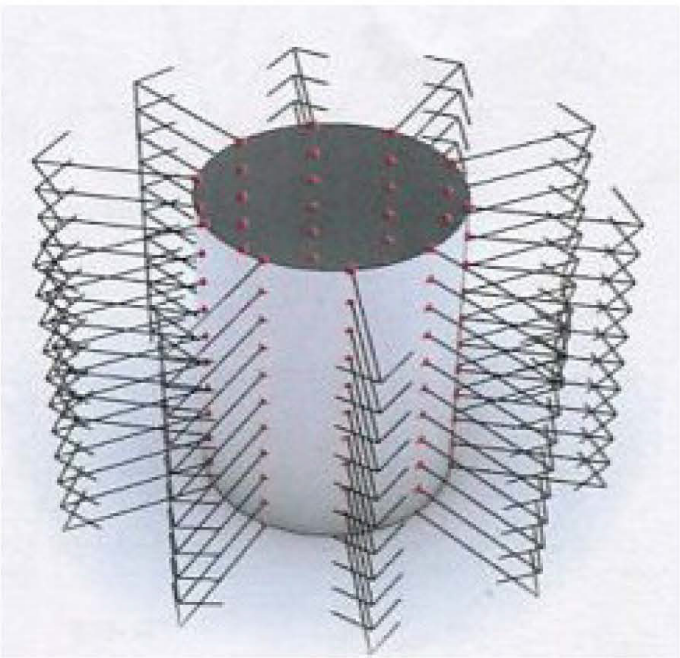


BASES, ZIGZAG Pags. 175 - 183

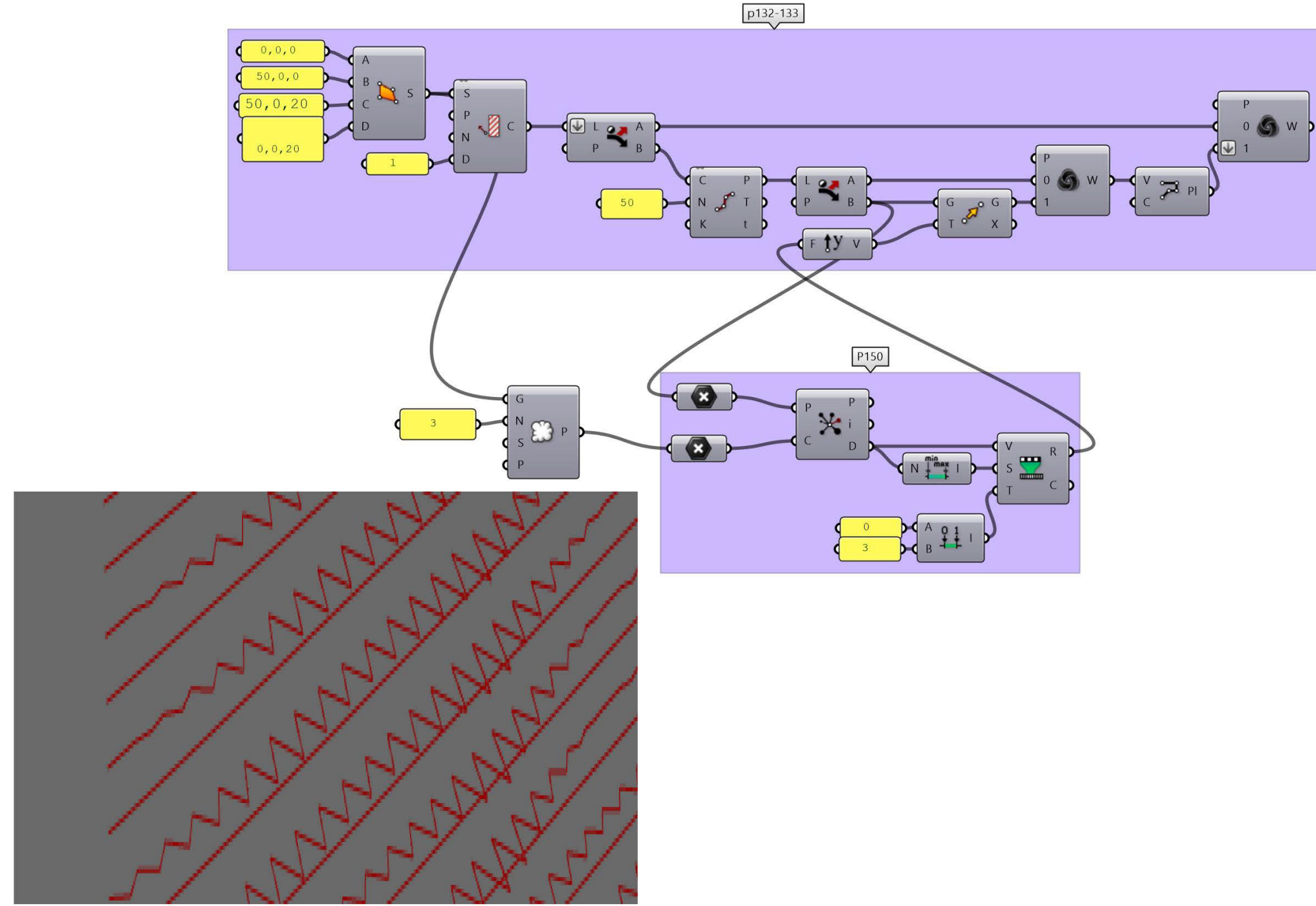


ONDAS Pags. 131 - 141

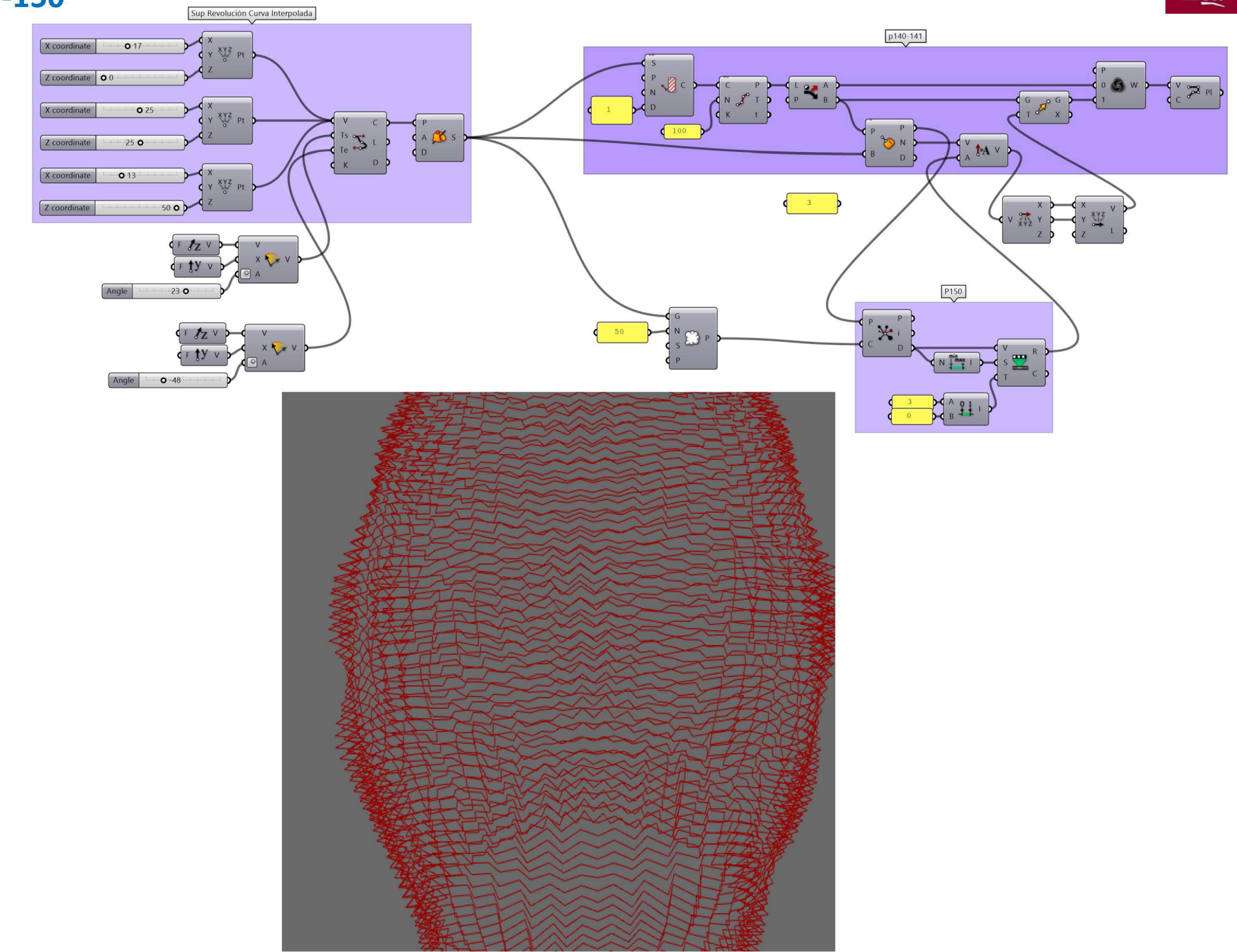




ATRACTORES, PUNTOS
Pags 147-150



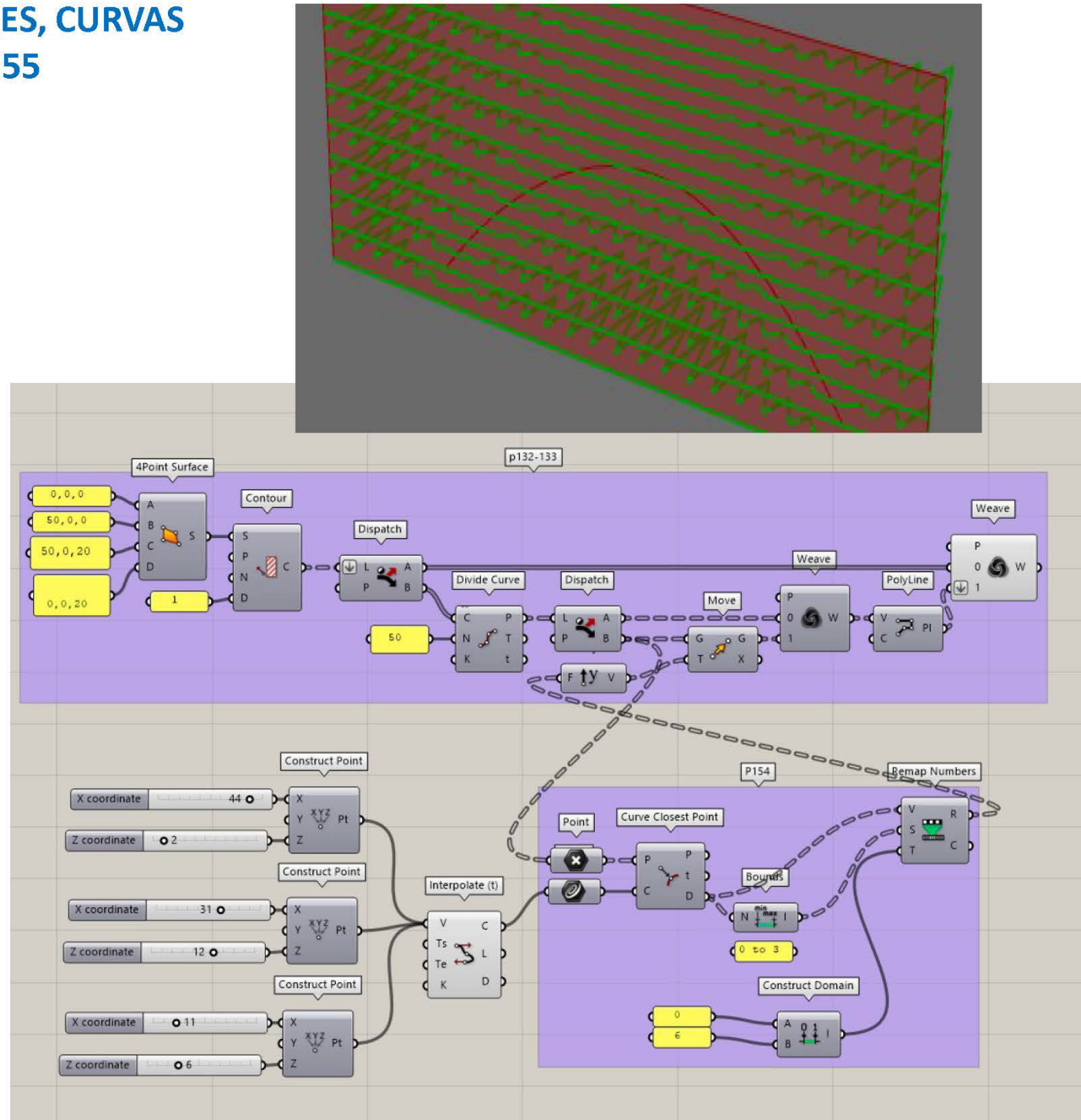
ATRACTORES, PUNTOS
Pags 147-150



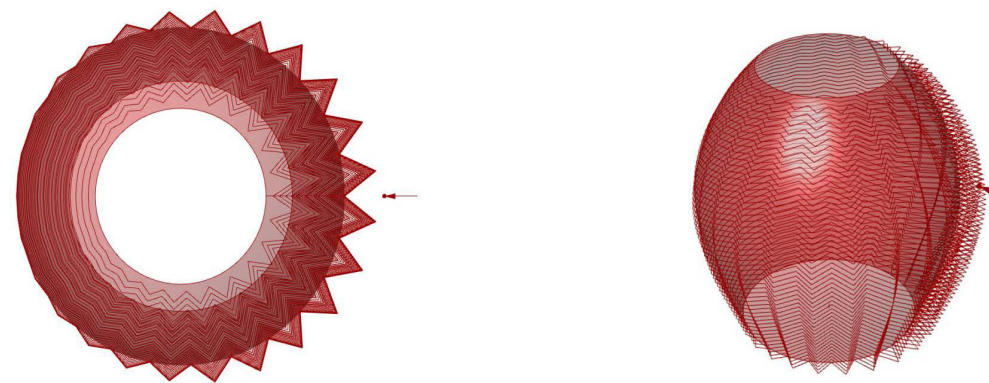
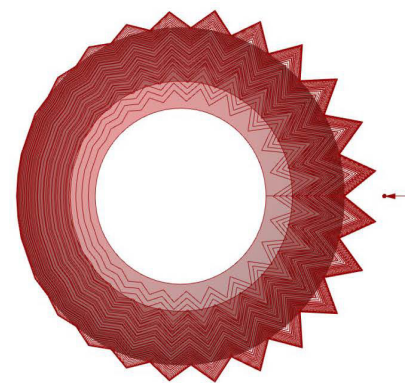
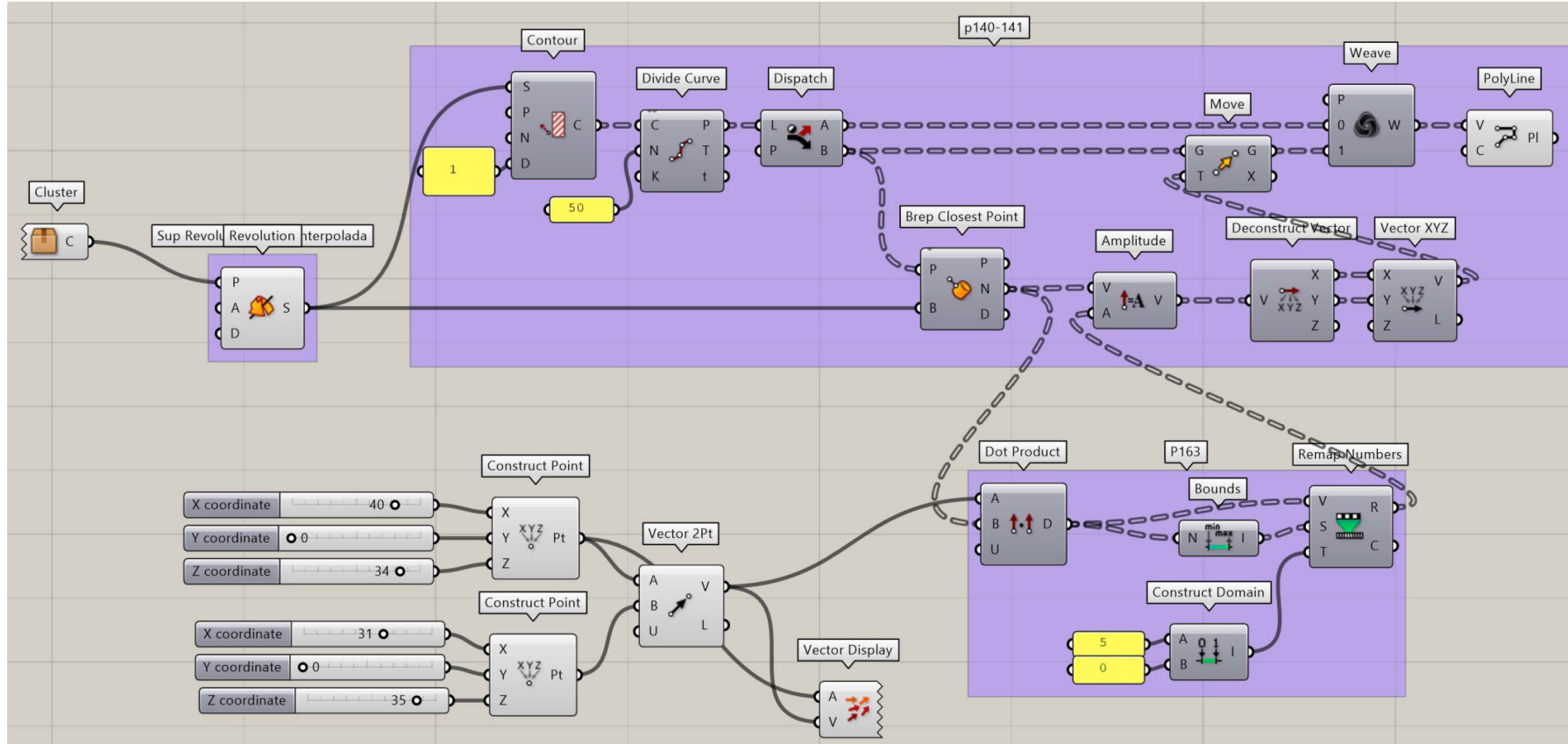
PROGRAMACIÓN DE CÓDIGO G EN GRASSHOPPER

PARTE 3

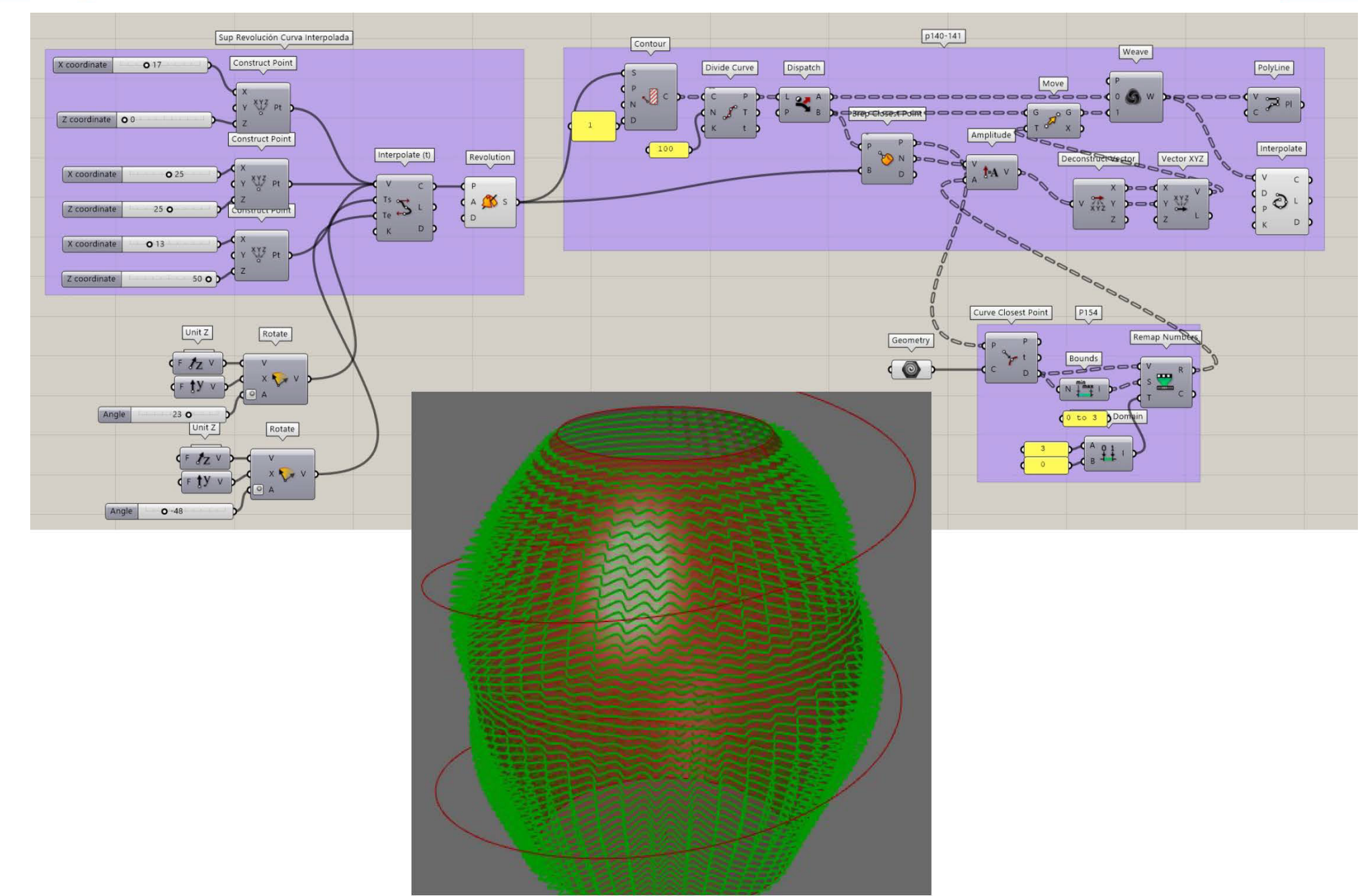
ATRACTORES, CURVAS
Pages 153-155



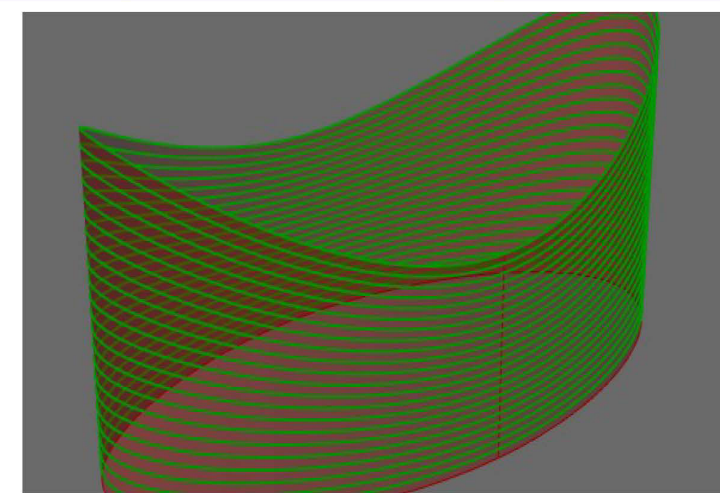
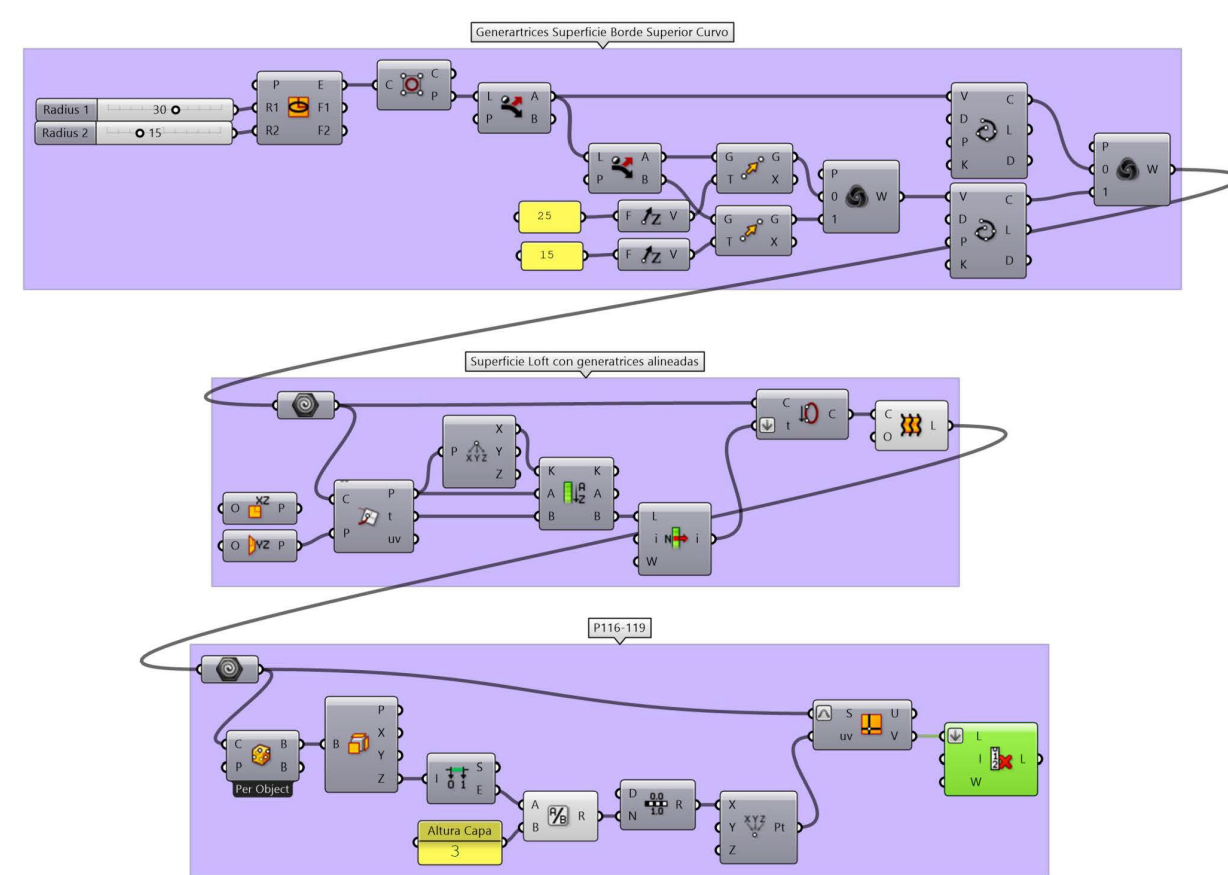
ATRACTORES, VECTORES
Pages 159-163



ATRACTORES, CURVAS
Pages 153-155



ISOCURVAS
Pages 115-123

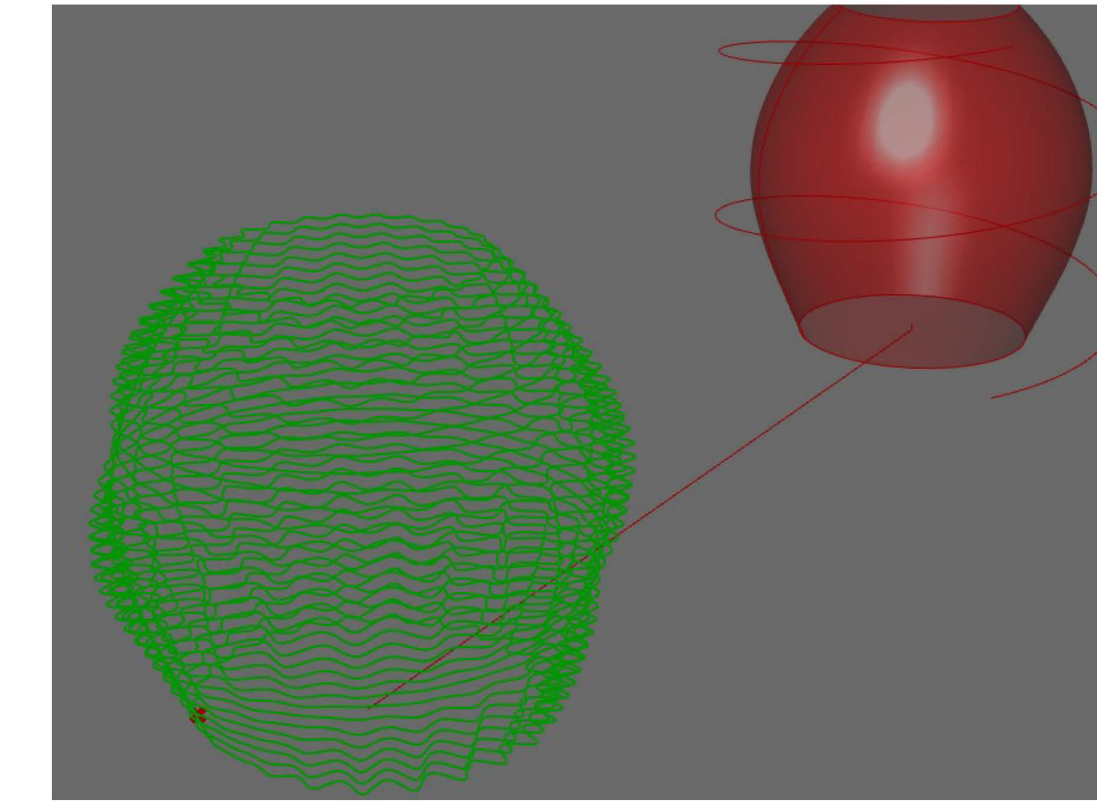
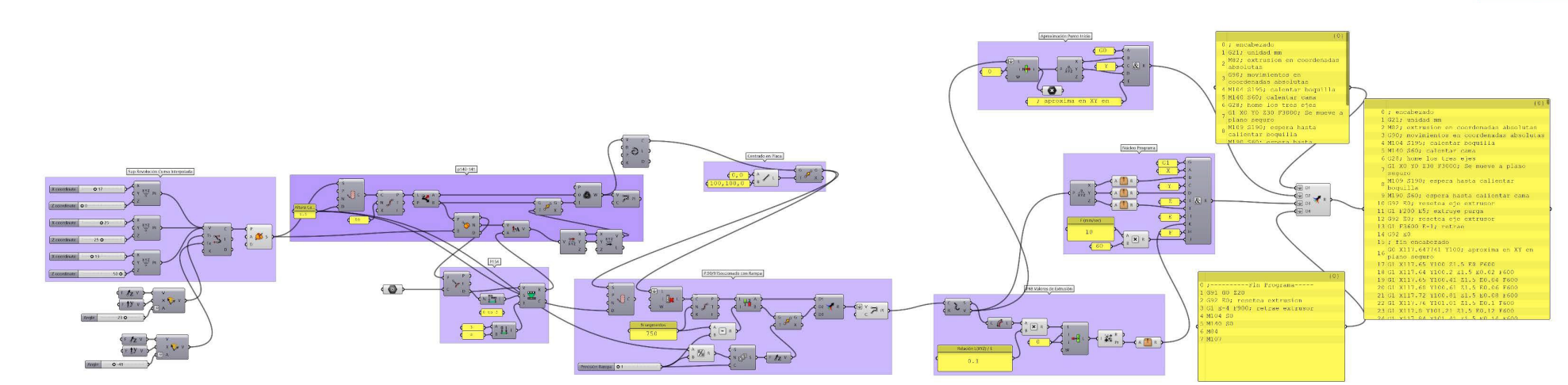
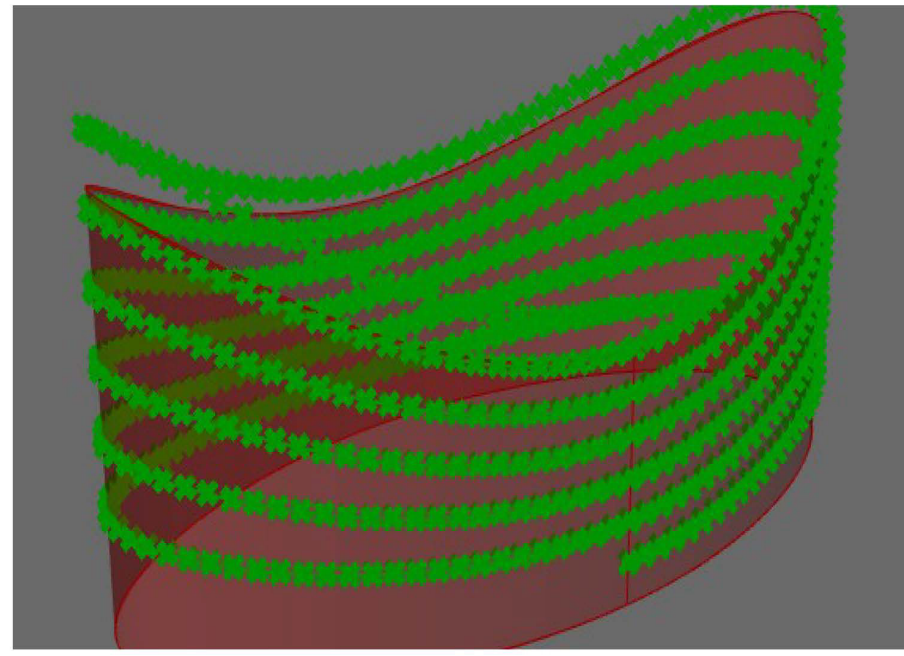
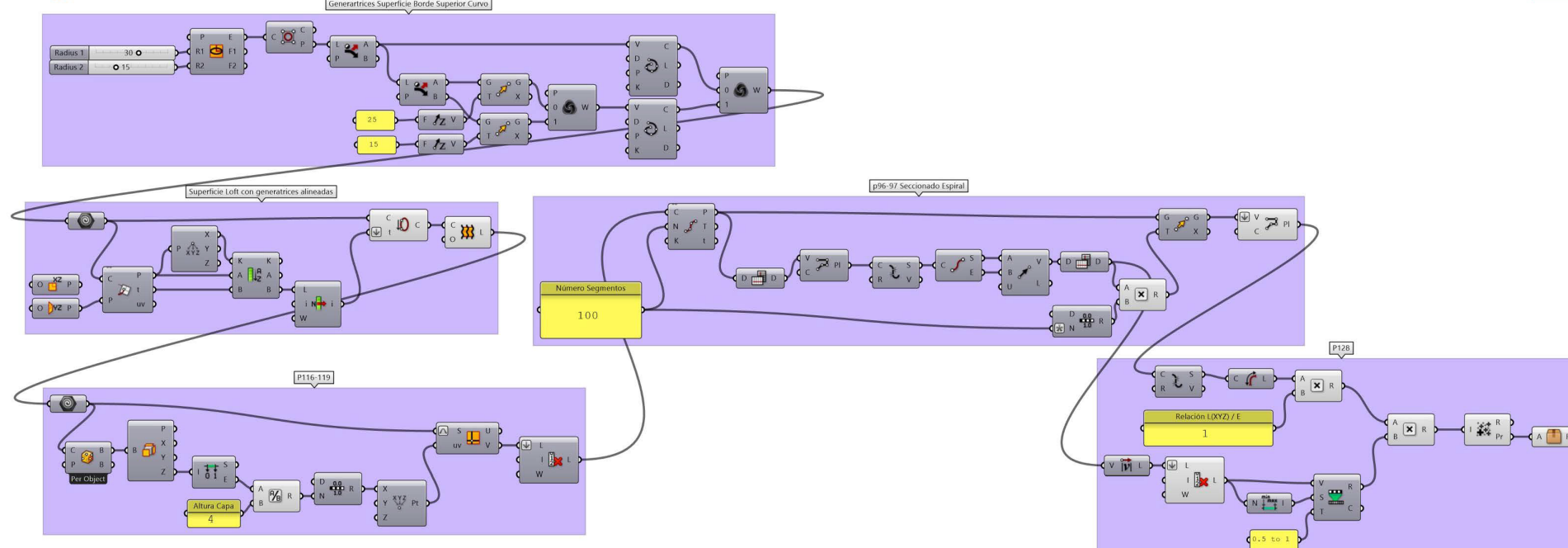


**UNIVERSIDAD NACIONAL DE
LA PLATA**

**UNIVERSIDAD NACIONAL DE
LA PLATA**

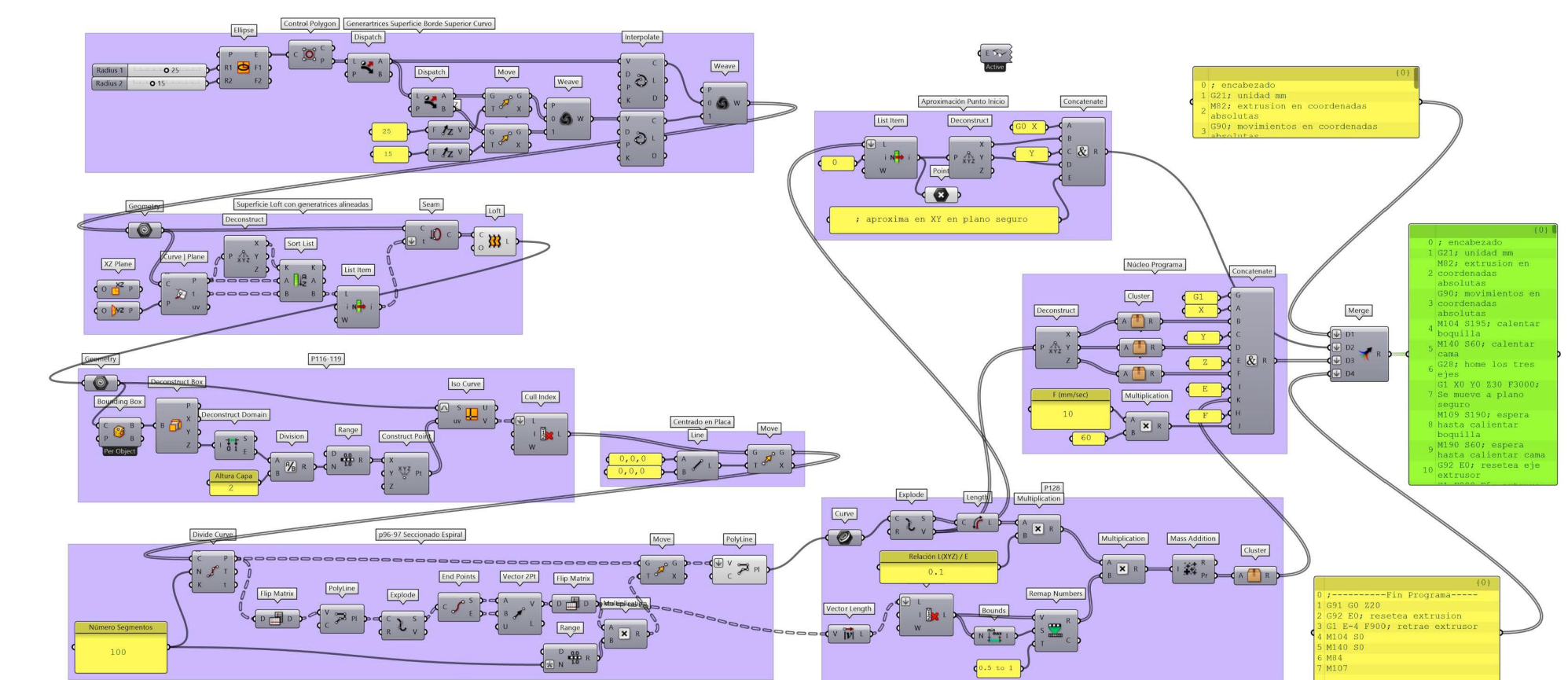
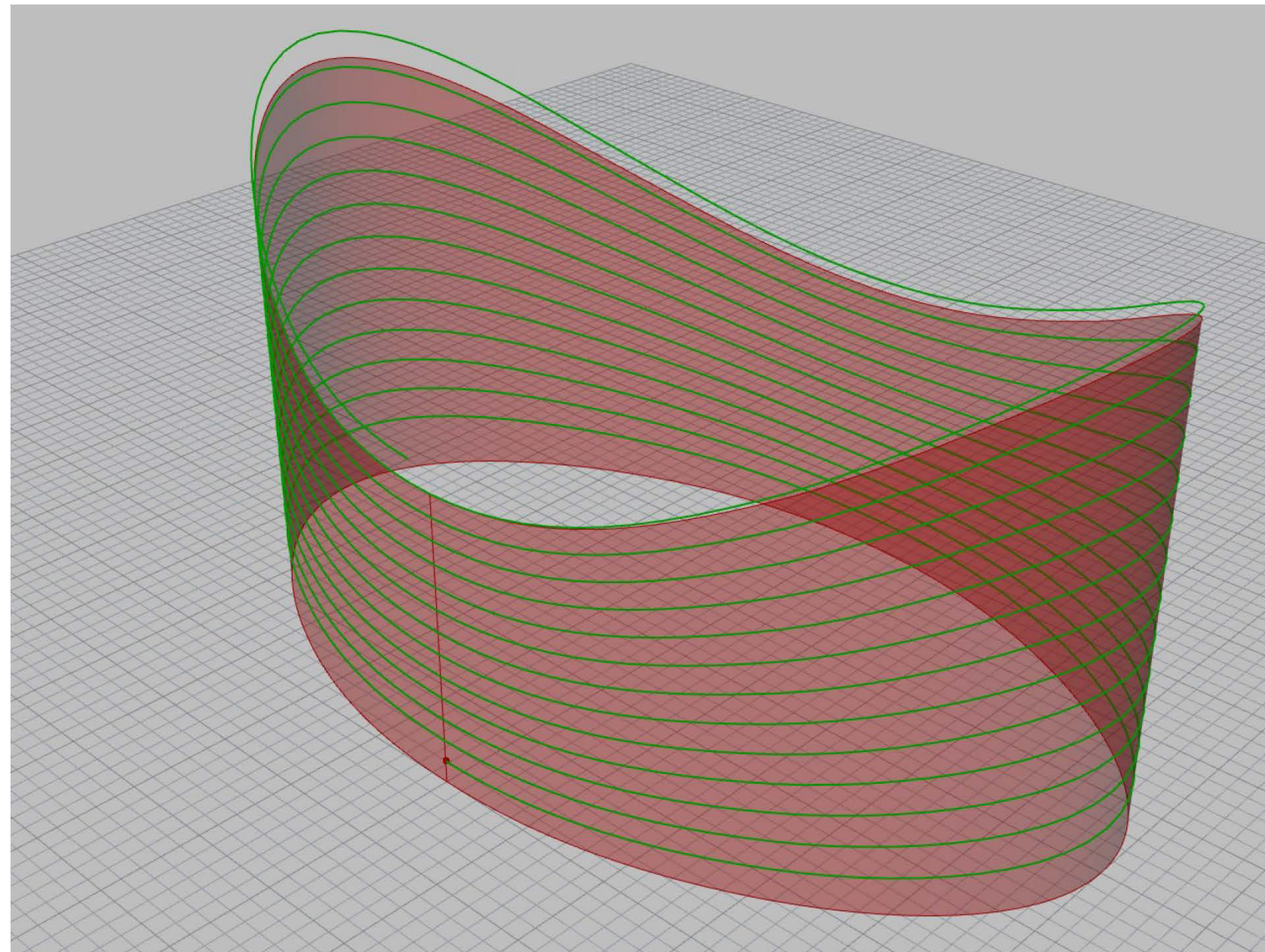
ISOCURVAS + FLOW

Pags 127-129



ProbetaNoPlanar_Spiral+Gcode

ProbetaNoPlanar_Spiral+Gcode



Kasia MOLGA- Sensor de contaminación ambiental



Metaverso

This composite image illustrates the intersection of physical and digital fashion. The top half shows a smartphone screen with a dark background, displaying a 3D rendering of a shoe encased in a translucent, cracked-looking protective layer. The bottom half shows a screenshot from the OpenSea platform. It features a digital version of the same shoe, set against a vibrant, pixelated background reminiscent of a video game. The listing includes details like "RARE.SHOE", "Publicaciones", "rare.shoe", "1/2", and "Sale ends May 2, 2022 at 10:06am GMT-3". Below the listing, it says "Owned by ICJ" with 10 views and 1 favorite.





Fig.1 Conjunto de 12 piezas cerámicas impresas 3D con aplicación de patrones de ondas mediante modelado y programación en software de diseño paramétrico

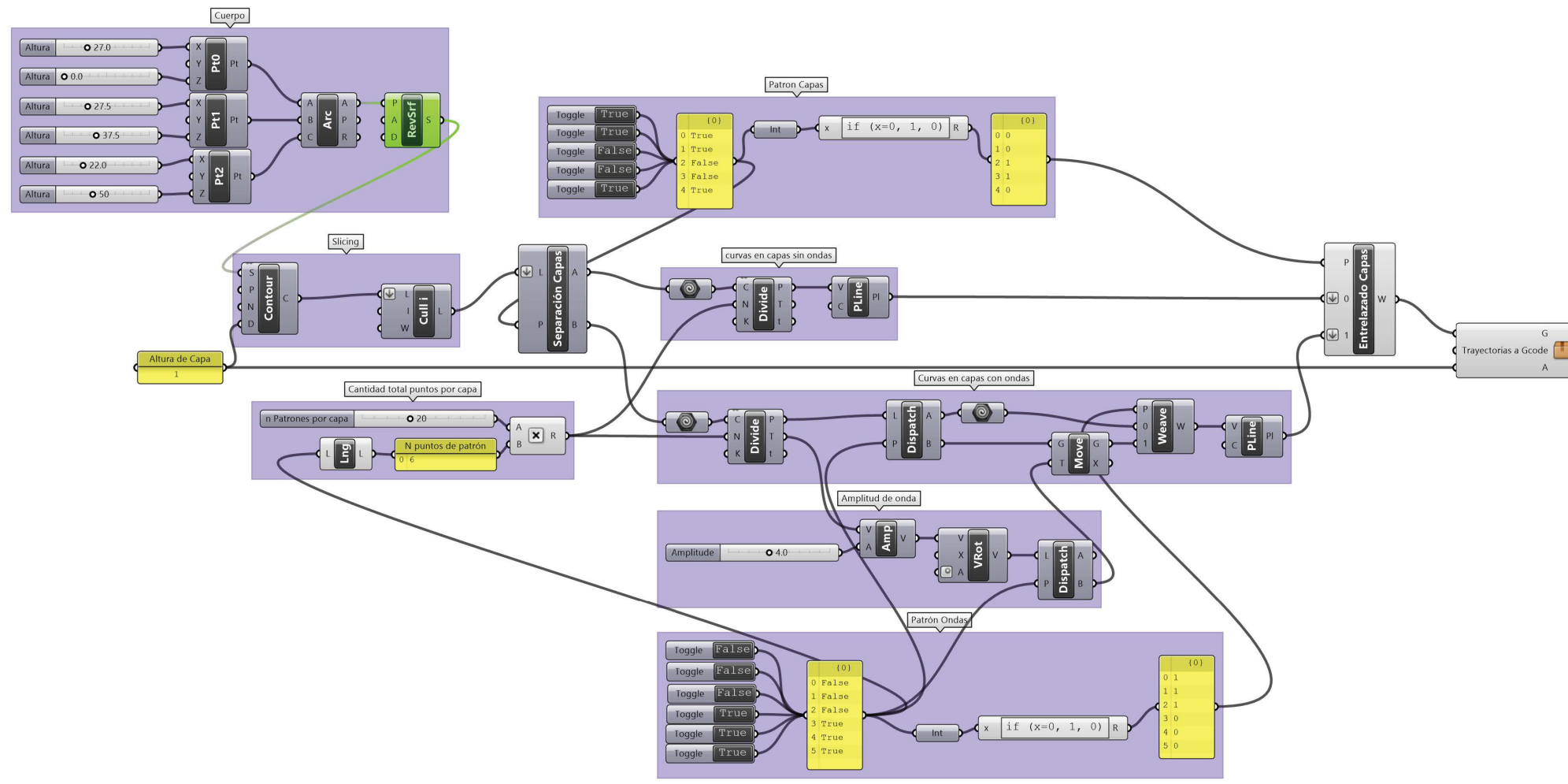


Fig.2 Vista de algoritmo de generación de modelo 3D de cuerpo principal y aplicación de patrones de separación de capas y de creación de ondas, variables del caso de la pieza L

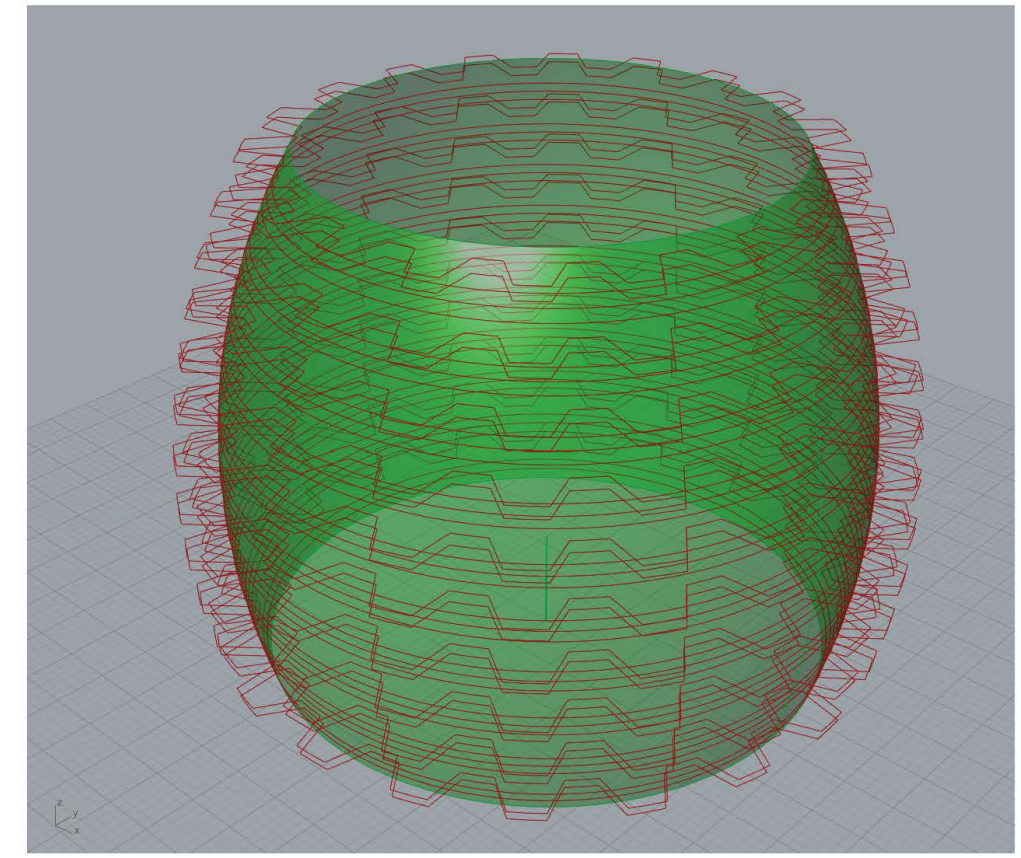
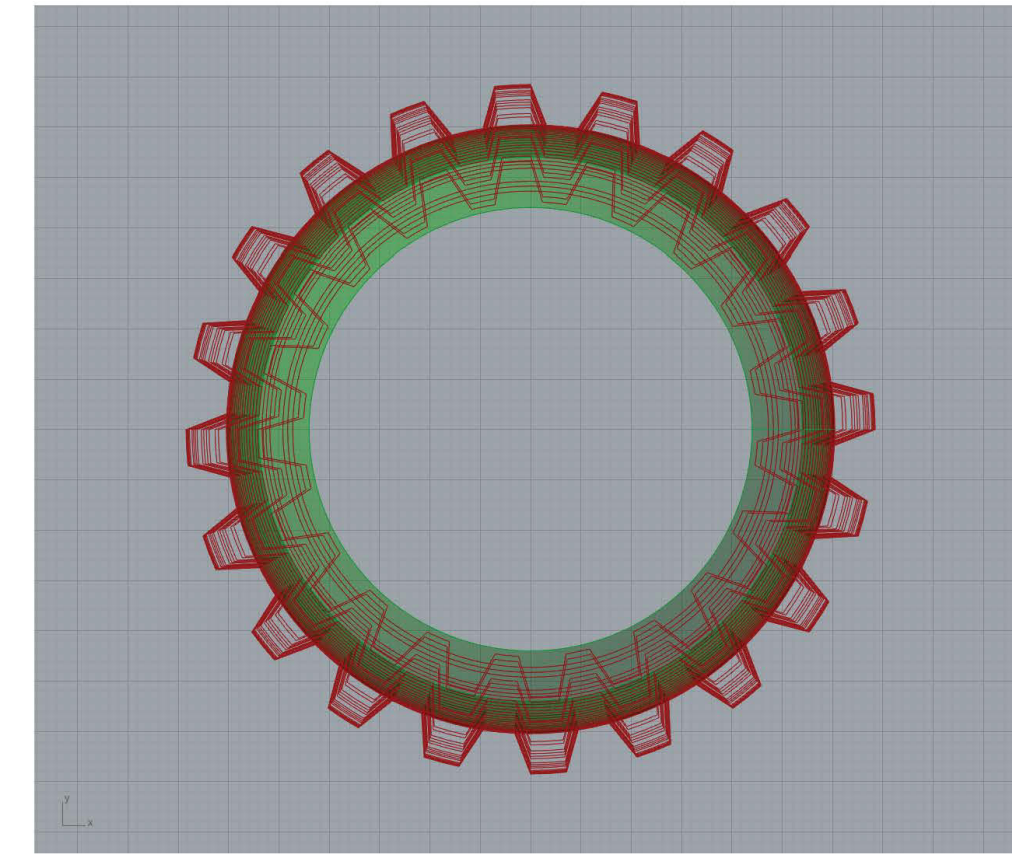


Fig.3 Vista y perspectiva de modelo 3D de cuerpo principal con la aplicación de los patrones de separación de capas y de creación de ondas, para el caso de la pieza L

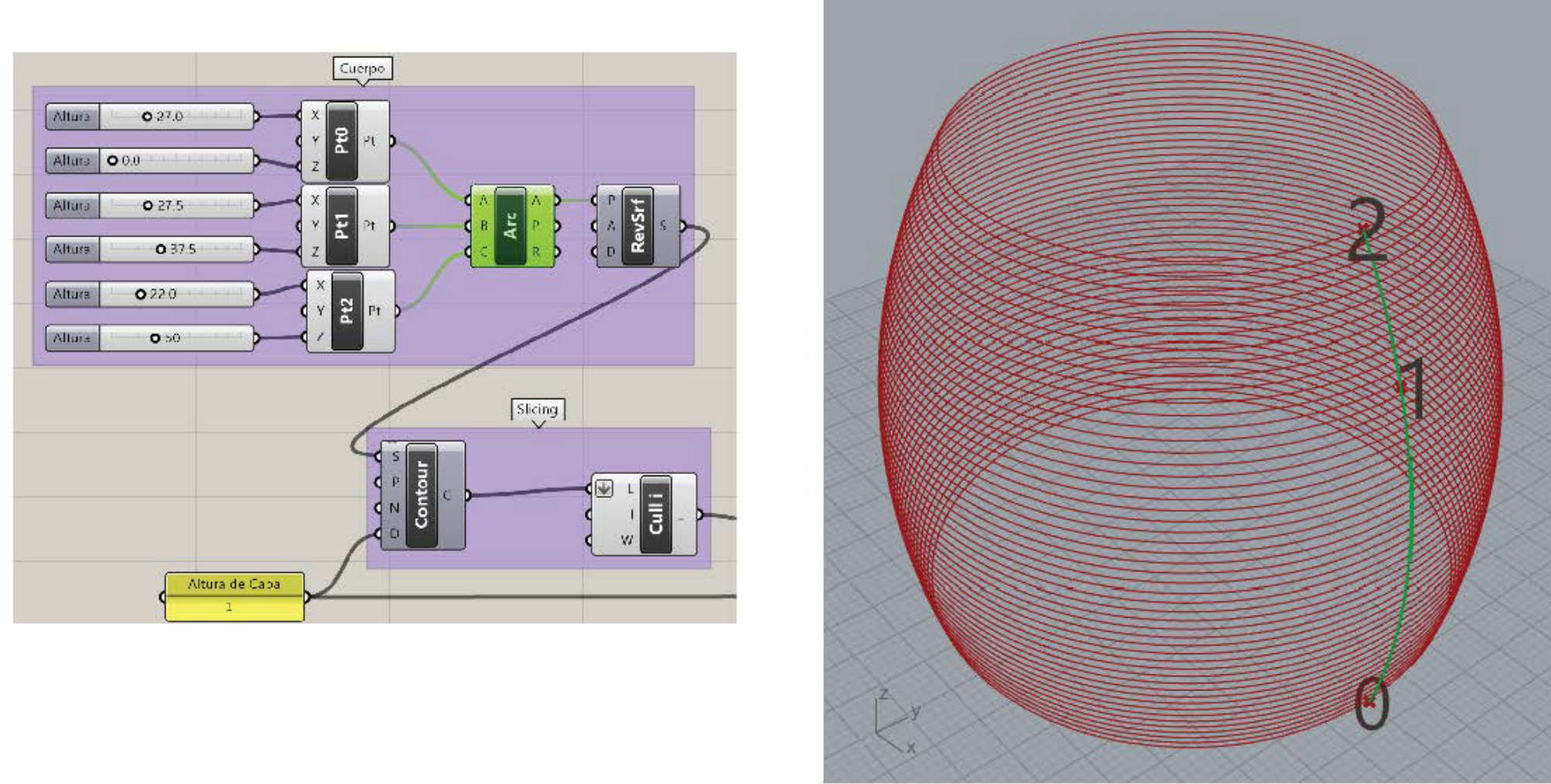
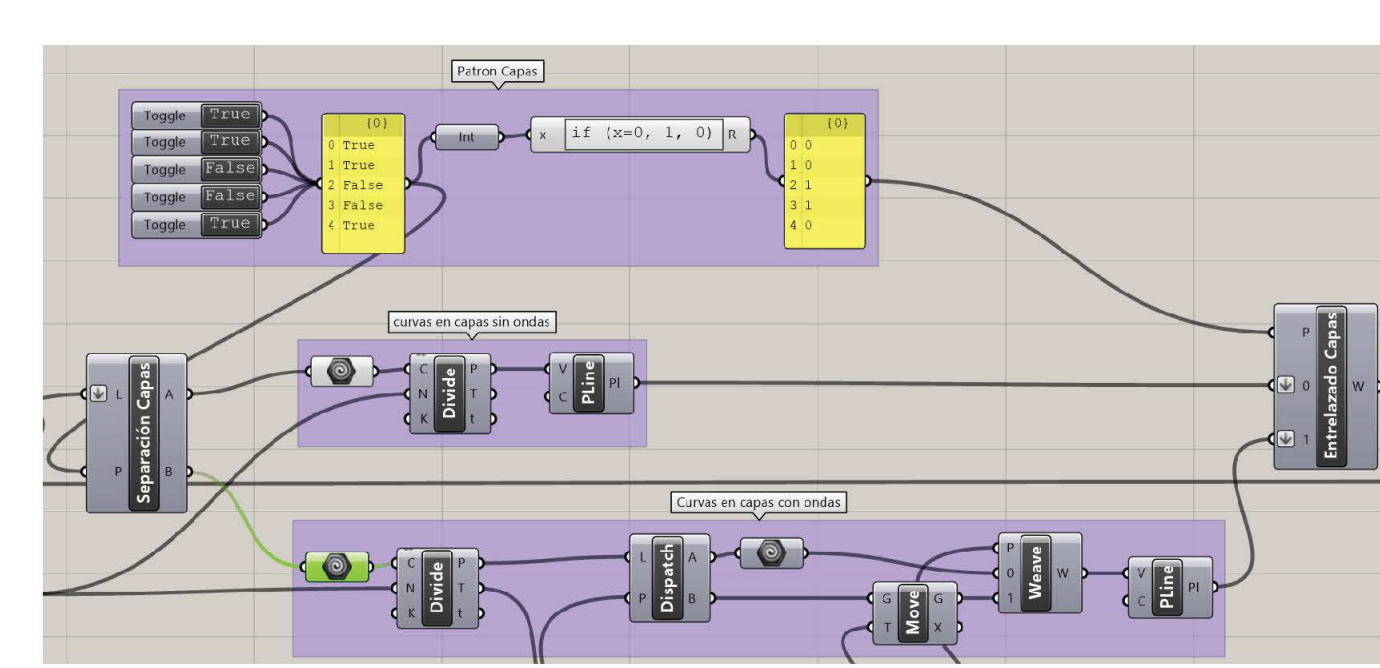
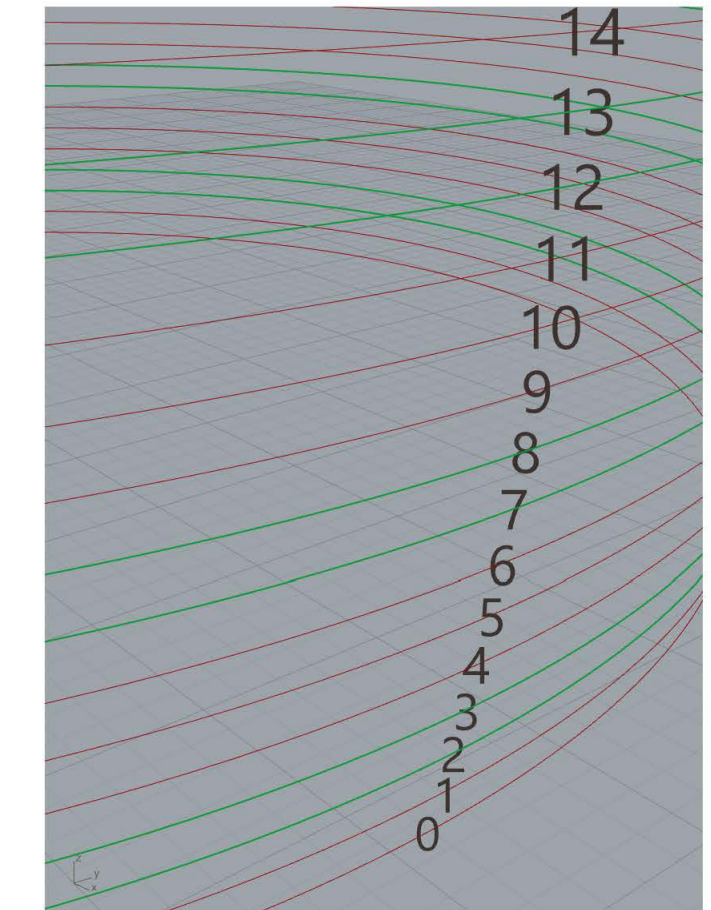


Fig.4 Vista parcial de algoritmo y perspectiva de cuerpo principal con las curvas por capa



Pieza # L	
Patrón de capas 00110	
Capa #	0,5,...
	True
	1,6,...
	True
	2,7,...
	False
	3,8,...
	False
	4,9,...
	True

Fig.5 Vista parcial de algoritmo, tabla y perspectiva de patrón de separación de capas



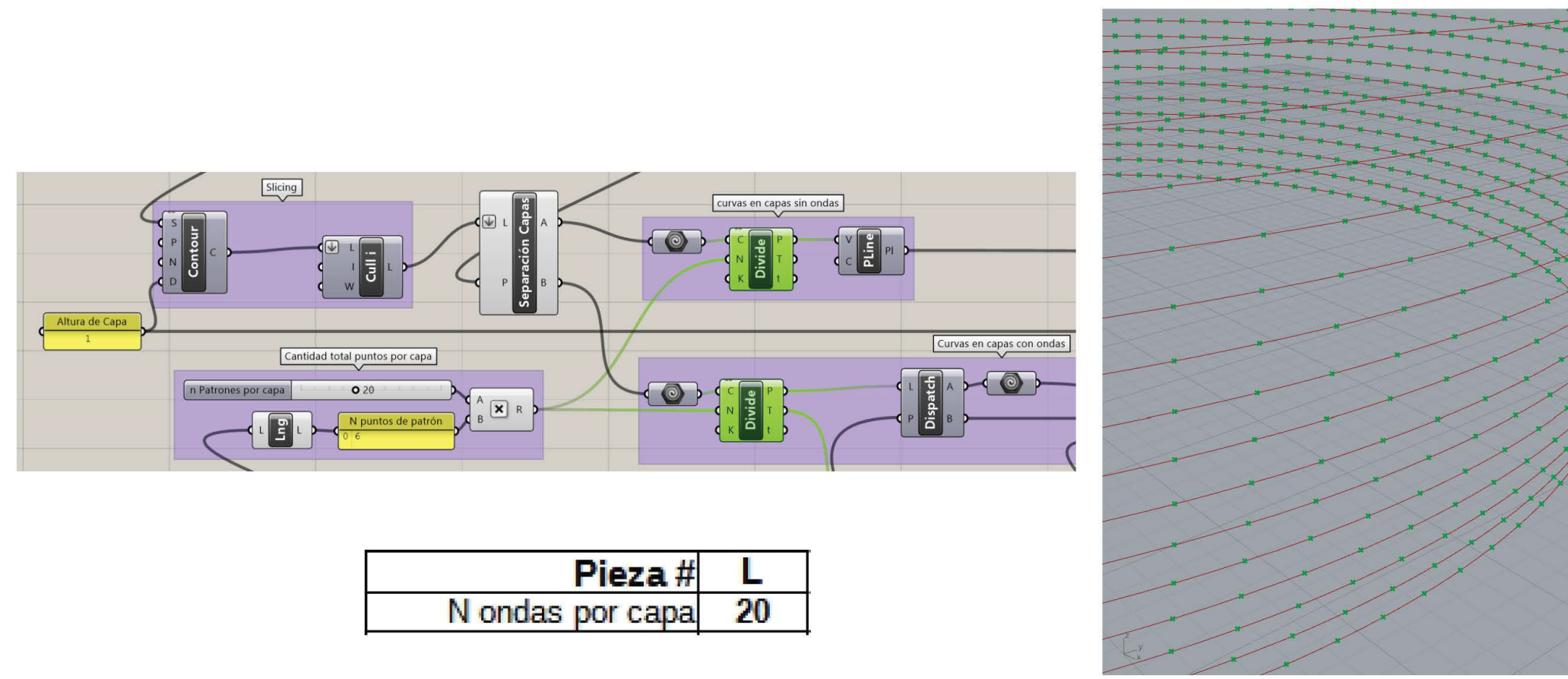


Fig.6 Vista parcial de algoritmo, tabla y perspectiva de las curvas por capa y los puntos de la división, para ejemplo pieza L

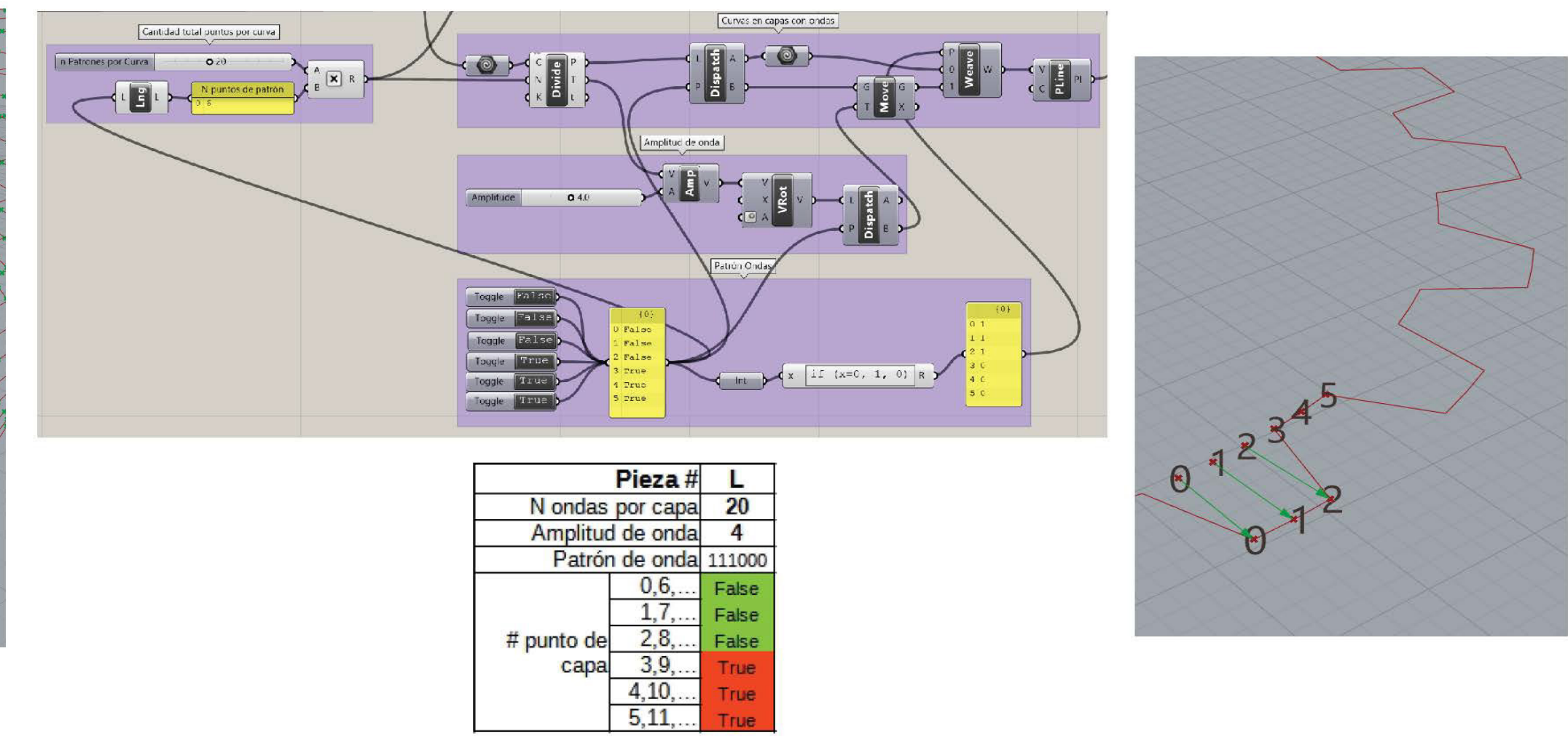


Fig.7 Vista parcial de algoritmo, tabla y perspectiva del patrón de onda para una de las curvas

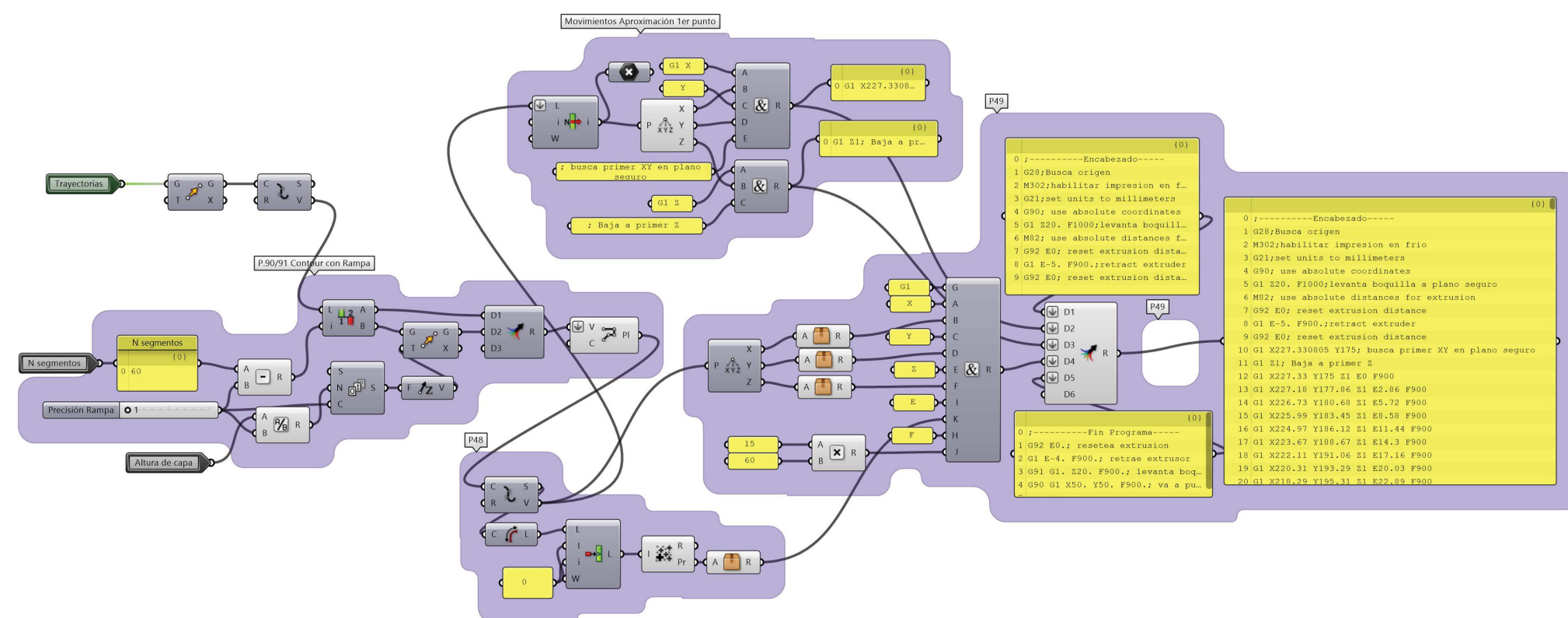


Fig.8 Cluster de conversión de las trayectorias de cada capa a programa de impresión 3D en código G

The table shows the values of the modeling algorithm for the set of parts:

Pieza #	A	B	C	D	E	F	G	H	I	J	K	L
Patrón de capas	00010	00100	11100	11000	11000	00010	00010	00010	00010	00110	00110	
Capa #	0,5,... 1,6,... 2,7,... 3,8,... 4,9,...	True True False False True	True False False True True	False False True True True	False False True True True	True True True True True	True True True True True	True True True True True	True True True True True	True True False False True	True True True True True	
N Ondas por capa	20	10	10	10	20	20	20	10	10	10	20	
Amplitud de onda	4	8	8	8	4	4	4	8	4	2	2	
Patrón de onda	100000 (onda de 1 punto de cresta, 5 de valle) 111000 (onda de 3 puntos de cresta, 3 de valle)											
# punto de capa	0,6,... 1,7,... 2,8,... 3,9,... 4,10,... 5,11,...	False True True True True True	False True True True True True	False True True True True True	False False True True True True	False False True True True True	False False True True True True	False False True True True True	False False False True True True	False False False True True True		

Fig.9 Tabla con los valores del algoritmo de modelado del conjunto de piezas

Pieza #	A	B	C
Patrón de capas	00010	00100	11100
N ondas por capa	20	10	10
Amplitud de onda	4	8	8
Patrón de onda		100000	

Pieza #	D	E	F
Patrón de capas	11000	11000	00010
N ondas por capa	10	20	20
Amplitud de onda	8	4	4
Patrón de onda		100000	



Pieza #	G	H	I
Patrón de capas	00010	00010	00010
N ondas por capa	20	10	10
Amplitud de onda	4	8	4
Patrón de onda		111000	

Pieza #	J	K	L
Patrón de capas	00010	00110	00110
N ondas por capa	10	10	20
Amplitud de onda	2	2	4
Patrón de onda		111000	





apa #	0,5,...	True
	1,6,...	True
	2,7,...	True
	3,8,...	False
	4,9,...	True
línes por Curva	20	
Amplitud	4	
to del	0,6,...	False
ón de	1,7,...	True
onda	2,8,...	True
	3,9,...	True
	4,10,...	True
	5,11,...	True
		(faltó última)



apa #	0,5,...	True
	1,6,...	True
	2,7,...	False
	3,8,...	True
	4,9,...	True
línes por Curva	10	
Amplitud	8	
to del	0,6,...	False
ón de	1,7,...	True
onda	2,8,...	True
	3,9,...	True
	4,10,...	True
	5,11,...	True



apa #	0,5,...	False
	1,6,...	False
	2,7,...	False
	3,8,...	True
	4,9,...	True
línes por Curva	10	
Amplitud	8	
to del	0,6,...	False
ón de	1,7,...	True
onda	2,8,...	True
	3,9,...	True
	4,10,...	True
	5,11,...	True



apa #	0,5,...	False
	1,6,...	False
	2,7,...	True
	3,8,...	True
	4,9,...	True
línes por Curva	10	
Amplitud	8	
to del	0,6,...	False
ón de	1,7,...	True
onda	2,8,...	True
	3,9,...	True
	4,10,...	True
	5,11,...	True



apa #	0,5,...	False
	1,6,...	False
	2,7,...	True
	3,8,...	True
	4,9,...	True
ines por Curva	20	
Amplitud	4	
to del	0,6,...	False
ón de	1,7,...	True
onda	2,8,...	True
	3,9,...	True
	4,10,...	True
	5 11	True



apa #	0,5,...	True
	1,6,...	True
	2,7,...	True
	3,8,...	False
	4,9,...	True
ines por Curva	20	
Amplitud	4	
to del	0,6,...	False
ón de	1,7,...	True
onda	2,8,...	True
	3,9,...	True
	4,10,...	True
	5 11	True



apa #	0,5,...	True
	1,6,...	True
	2,7,...	True
	3,8,...	False
	4,9,...	True
ines por Curva	20	
Amplitud	4	
to del	0,6,...	False
ón de	1,7,...	False
onda	2,8,...	False
	3,9,...	True
	4,10,...	True
	5 11	True



pa #	0,5,...	True
	1,6,...	True
	2,7,...	True
	3,8,...	False
	4,9,...	True
ies por Curva	10	
Amplitud	8	
to del	0,6,...	False
ón de	1,7,...	False
onda	2,8,...	False
	3,9,...	True
	4,10,...	True
	5 11	True



pa #	
0,5,...	True
1,6,...	True
2,7,...	True
3,8,...	False
4,9,...	True
nes por Curva	10
Amplitud	4
0,6,...	False
1,7,...	False
2,8,...	False
3,9,...	True
4,10,...	True



pa #	
0,5,...	True
1,6,...	True
2,7,...	True
3,8,...	False
4,9,...	True
nes por Curva	10
Amplitud	2
0,6,...	False
1,7,...	False
2,8,...	False
3,9,...	True
4,10,...	True



pa #	
0,5,...	True
1,6,...	True
2,7,...	False
3,8,...	False
4,9,...	True
nes por Curva	1
Amplitud	1
0,6,...	False
1,7,...	False
2,8,...	False
3,9,...	True
4,10,...	True



pa #	
0,5,...	True
1,6,...	True
2,7,...	False
3,8,...	False
4,9,...	True
nes por Curva	2
Amplitud	1
0,6,...	False
1,7,...	False
2,8,...	False
3,9,...	True
4,10,...	True

Diseño e impresión 3D de una serie de piezas cerámicas basadas en las ollas de la alfarería tradicional de Casira.

Autores

Andrés Federico Ruscitti^{(a)*}, Paltrinieri Agustina^(b), María Florencia Serra^(b), Nicolás Maximiliano Rendtorff Birrer^(bc)

a. Laboratorio de Diseño, Departamento de Humanidades y Artes, Universidad Nacional de Lanús, 29 de Septiembre 3901, Remedios de Escalada (1826), Buenos Aires, Argentina.

b. CETMIC Centro de Tecnología de Recursos Minerales y Cerámica (CIC-CONICET La Plata-UNLP) Cno Centenario y 506 M.B. Gonnet (1897), Buenos Aires, Argentina.

c. Departamento de Química, Facultad de Ciencias Exactas, Universidad Nacional de La Plata, 47 y 115, La Plata 1900 Buenos Aires, Argentina.

*autor responsable : aruscitti@unla.edu.ar

Informe técnico: El presente documento de trabajo se ha realizado en el marco del proyecto “ Desarrollo de una tecnología de impresión 3D por sistema de extrusión-deposición de materiales cerámicos” de la convocatoria a Proyectos de Investigación Orientados de la Universidad Nacional de Lanús y el Consejo Nacional de Investigaciones Científicas y Técnicas PIO UNLa-CONICET 2016-2017

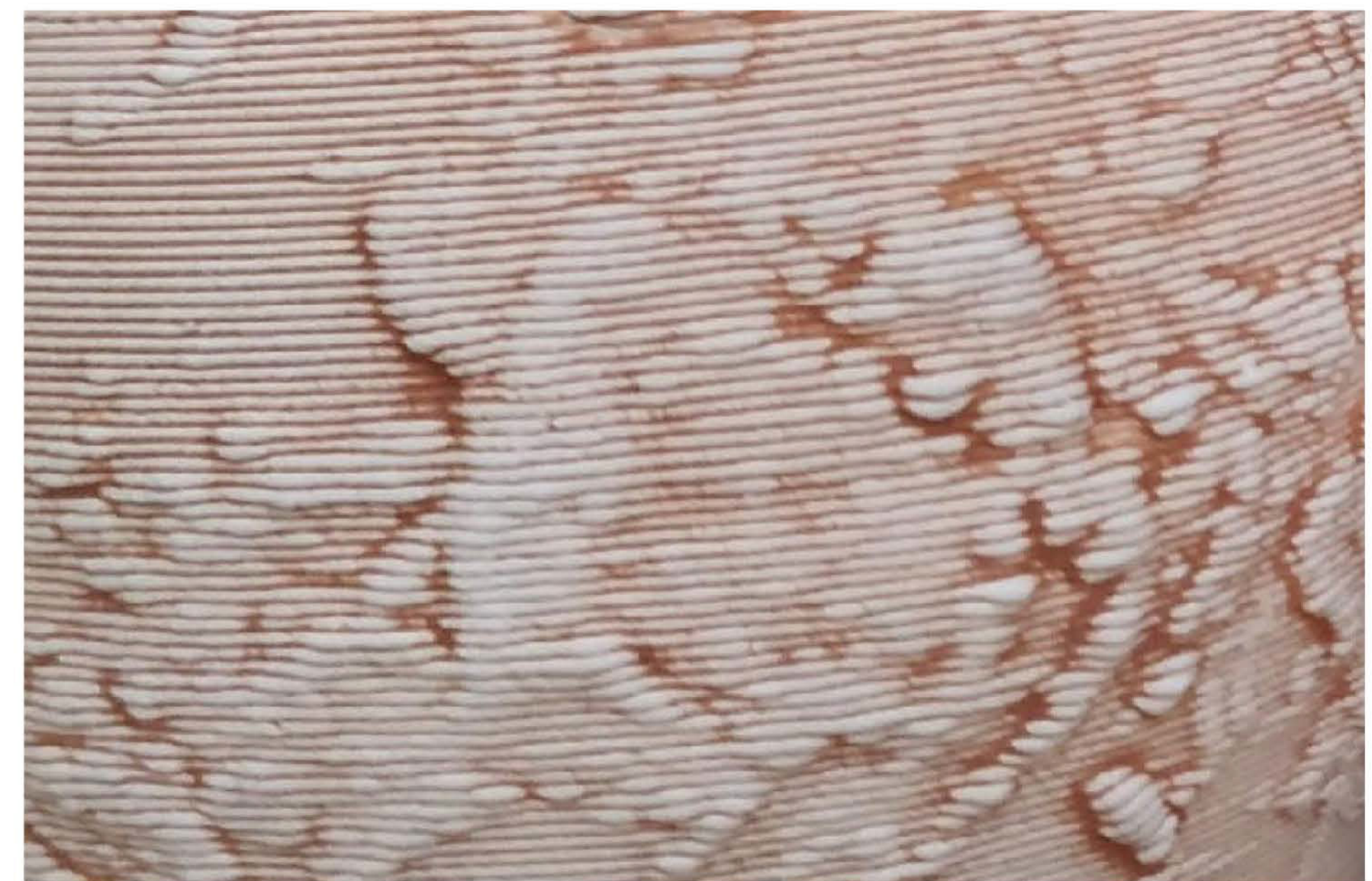
Agosto 2021

Palabras clave: Impresión 3D, Cerámica, Modelado paramétrico / 3Dprinting, ceramic, parametric modeling

Resumen

En este trabajo nos proponemos documentar la experiencia de diseño y fabricación de una serie de piezas cerámicas basadas en las ollas de la alfarería tradicional del pueblo jujeño de Casira. Hemos partido de la forma de una de sus ollas para realizar un modelo 3D digital sobre el que se aplicó una textura en relieve a partir de la imagen del material obtenida por un microscopio SEM. Los modelos digitales fueron luego usados para el conformado por impresión 3D en una pasta cerámica arcillosa.

La configuración de las diversas variables del proceso de diseño y producción permitieron la obtención de cuatro piezas cerámicas de 150 x 150 mm y 2 a 3 mm de espesor que remiten a la silueta básica de la olla y cuyas texturas en altura incremental “revelan” la imagen microscópica de su material.



En este trabajo nos proponemos documentar la experiencia de diseño y fabricación de una serie de piezas cerámicas basadas en las ollas de la alfarería tradicional de Casira y modeladas digitalmente y conformadas por impresión 3D.

La motivación de esta actividad experimental fue la exploración de la convergencia de las prácticas de las diferentes disciplinas involucradas en el equipo de investigación de la UNLa y el CETMIC sobre Impresión 3D de cerámica desde 2012.

Los elementos de partida de la exploración fueron:

- Las muestras y el estudio de la producción del pueblo alfarero de Casira en la provincia de Jujuy. (Rendtorff Birrer et al., 2016) (Paltrinieri et al., 2019)
- Las imágenes digitales obtenidas en las microscopías realizadas para el análisis del material de las ollas,
- La evaluación del software de modelado digital paramétrico Grasshopper®
- El equipamiento de impresión 3D de pasta cerámica (Ruscitti et al., 2018) (Ruscitti et al., 2017a) (Ruscitti et al., 2017b) (Ruscitti et al., 2017c)

La búsqueda inició en torno al problema de cómo representar con las geometrías matemáticas propias de las herramientas digitales a objetos únicos completamente formados por las huellas de la mano del alfarero. Este pasaje formal también implicaba el paso de un objeto utilitario a un objeto simbólico. Otra de las ideas motoras fue aprovechar el modelado paramétrico para crear una textura en la nueva forma que “revele” la estructura del material a nivel microscópico.

Etapas del proceso

- Análisis y relevamiento de las ollas de Casira
- Fig. 1 Imagen macroscópica de una olla de Casira
- Elaboración del modelo digital tridimensional de un volumen básico que sintetice sus rasgos característicos
- Fig. 2 Modelado 3d de un sólido de revolución a partir de la silueta típica de la olla

- Selección de imágenes de microscopías
- Se seleccionó la imagen de 2700X de una serie de microscopías sobre fractura fresca del cerámico, metalizada con oro y caracterizada mediante microscopio electrónico de

Figura 1: Imagen macroscópica de una olla de Casira



Diseño y impresión 3D de una serie de piezas cerámicas basadas en las ollas de la alfarería tradicional de Casira

2 de 16

- Secado
- Fig. 10 Piezas impresas en estado cuero, De derecha a izquierda, valores de textura 7, 4, 2 y 0 mm
- Fig. 11 Pieza en estado cuero textura 0
- Fig. 12 Pieza en estado cuero textura 2
- Fig. 13 Pieza en estado cuero textura 4
- Fig. 14 Pieza en estado cuero textura 7

- Cocción y terminación
- Se realizó una primera cocción a 900°C, se aplicó una pátina de arcilla APM y fundente y luego una segunda cocción a 1040°
- Fig. 15 Piezas cocidas texturas 4 y 7
- Fig. 16 piezas cocidas texturas 4 y 7
- Fig. 17 pieza cocida textura 7
- Fig. 18 pieza cocida textura 2

Comentarios finales

En el marco de un proyecto de investigación y desarrollo “Desarrollo de una tecnología de impresión 3D por sistema de extrusión-deposición de materiales cerámicos”, en esta particular experiencia se logró realizar un proyecto de diseño y fabricación relativamente exitoso basándose en impresión 3D de pastas cerámicas-arcillosas y usando como insumo proyectual la morfología (a escala humana) y la microestructura (escala microscópica) de cerámicos de alto valor cultural pertenecientes a la producción alfarera de los artesanos tradicionales actuales del pueblo de Casira, en la provincia de Jujuy, en la república Argentina.

Asimismo, se logró imprimir una serie de piezas mediante la metodología propuesta lo que permitió ajustar y experimentar variables de proceso que dan cuenta de las posibilidades y limitaciones de la estrategia de conformado. La configuración de proceso usada permitió obtener piezas de Ø150, 150 mm de altura y 2 a 3 mm de espesor de pared, con buen resultado en el efecto de textura buscado.

barrido (MEB) JEOL JMC-6000. Empleando 15 volts de corriente, detector de electrones retrodispersados (back-scattering) en un aumento de 2000 veces.

Fig. 3 Imagen microscópica de una olla de Casira

- Construcción del algoritmo de conversión de la imagen microscópica en textura macroscópica y de aplicación de la textura en el volumen

En el plugin Grasshopper® del software Rhinoceros® se construyó el algoritmo de asignación de alturas de la textura según los valores de gris de la imagen microscópica

Fig. 4 Algoritmo paramétrico de aplicación de textura al sólido básico de la olla

- Modelado 3D paramétrico, previsualización, ajuste de variables del algoritmo y exportación de archivo 3D para impresión

Se previsualizaron diversas configuraciones de los parámetros del algoritmo y se definieron cuatro valores de altura máxima de textura: 0, 2, 4 y 7mm

Fig. 5 Renderizado de sólido con textura aplicada en forma simétrica, valor 2

Fig. 6 Renderizado de sólido con textura aplicada en forma simétrica, valor 7

- Programación de impresión

Los archivos *.stl de las cuatro piezas exportados desde el Rhinoceros® se cargaron en el software de programación de impresión 3D Repetier-Host®, con un escalado al 70% de su tamaño. Se realizó el slicing con Slic3r® con altura de capa 1,5mm y en modo Spiral.

Fig. 7 Captura de pantalla de programación de la impresión de sólido textura valor 0

- Preparación de pasta

Su uso una pasta compuesta por 65% arcilla Tinkar, 30% cuarzo y 5% bentonita, mezclada en seco, hidratada hasta estado barbotina y reposada en bolsa de tela hasta lograr la consistencia de extrusión

- Impresión 3D

Se empleó el dispositivo de extrusión-deposición V4 con boquilla Ø1,6mm, montado sobre la impresora cartesiana FlyingBear 902 adaptada.

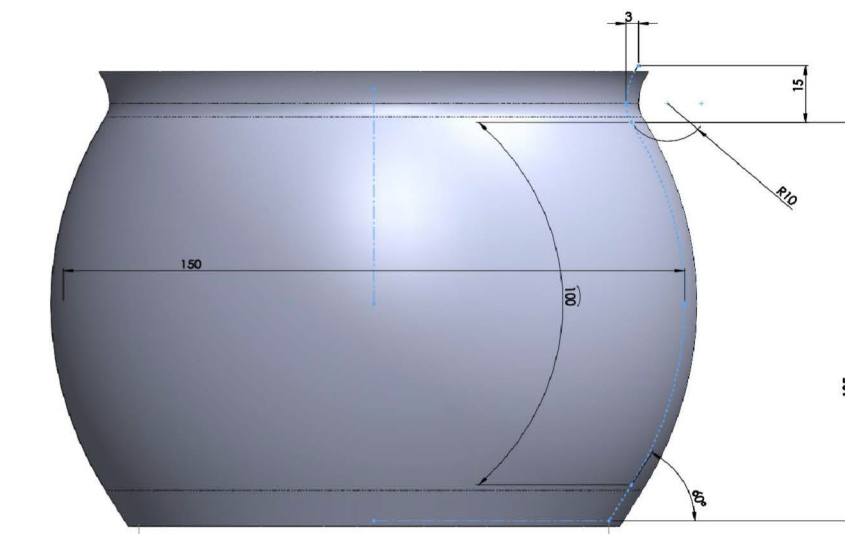
Fig. 8 Equipo de impresión en funcionamiento

Fig. 9 Extrusor imprimiendo probetas

Diseño y impresión 3D de una serie de piezas cerámicas basadas en las ollas de la alfarería tradicional de Casira

3 de 16

Figura 2: Modelado 3D de sólido de revolución a partir de la silueta típica de la olla



Agradecimientos

Los autores agradecen a CONICET y UNLa por el financiamiento (PIO UNLa 2016-2021); MFS agradece por la beca posdoctoral CONICET.

Referencias

- Paltrinieri, A., Rendtorff, N., & Fuente, G. D. L. (2019). Casira: pueblo alfarero argentino. Procesos de producción, circulación y materialidad en el arte cerámico local contemporáneo. *Investigación Joven*, 6 (Especial), 91-92. ISSN 2314-3991
- Rendtorff Birrer, N., Serra, M. F., Paltrinieri, A., Hernandez, M. F., Gauna, M. G., Moyas, E., & Conconi, M. S. (2016). Cerámica roja artesanal contemporánea de Casira, Jujuy Argentina, caracterización del material. *Boletín del Laboratorio de Petrología y Conservación cerámica*, 3.
- McNeel Robert & Associates. (2009, 2021). Grasshopper®. <https://www.rhino3d.com/features/#grasshopper>
- McNeel Robert & Associates. (1993, 2021). Rhinoceros®. <https://www.rhino3d.com/mcneel/about/>
- Ranellucci, A. (2011, 2017). Slic3r ®. <https://slic3r.org/>
- Hot-World GmbH & Co. KG. (s. f.). Repetier-Host®. Repetier Software. <https://www.repetier.com/about-us/>
- Ruscitti, A., Rendtorff Birrer, N. M., & Serra, M. F. (2017). Dispositivo de Impresión 3D de Pasta Cerámica UNLa-CETMIC, por alimentación neumática y extrusión a tornillo, Versión 1. <https://doi.org/10.18294/rdi.2019.175797%20>
- Ruscitti, A., Rendtorff Birrer, N. M., & Serra, M. F. (2017). Dispositivo de Impresión 3D de Pasta Cerámica UNLa-CETMIC, por alimentación neumática y extrusión a tornillo, Versión 2. <https://doi.org/10.18294/rdi.2019.175798%20>
- Ruscitti, A., Rendtorff Birrer, N. M., & Serra, M. F. (2017). Dispositivo de Impresión 3D de Pasta Cerámica UNLa-CETMIC, por alimentación neumática y extrusión a tornillo, Versión 3. <https://doi.org/10.18294/rdi.2019.175799%20>
- Ruscitti, A., Rendtorff Birrer, N. M., Serra, M. F., & Stabile, M. (2018). Dispositivo de Impresión 3D de Pasta Cerámica UNLa-CETMIC, por extrusión con pistón mecánico para jeringa estándard. <https://doi.org/10.18294/rdi.2019.175801%20>

Figura 3: Imagen microscópica de una olla de Casira

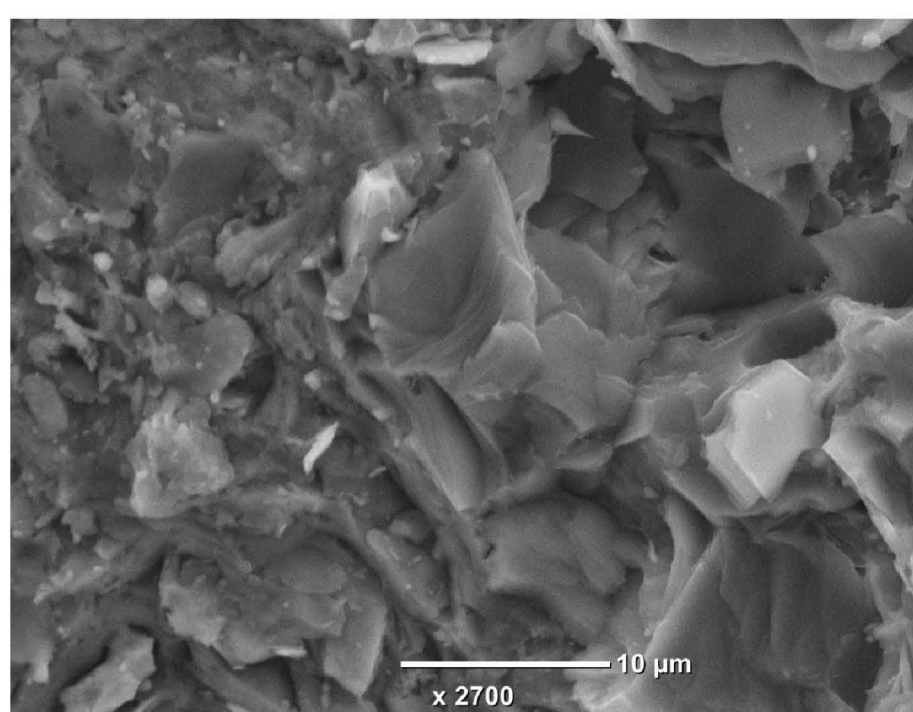


Figura 4: Algoritmo paramétrico de aplicación de textura al sólido básico de la olla

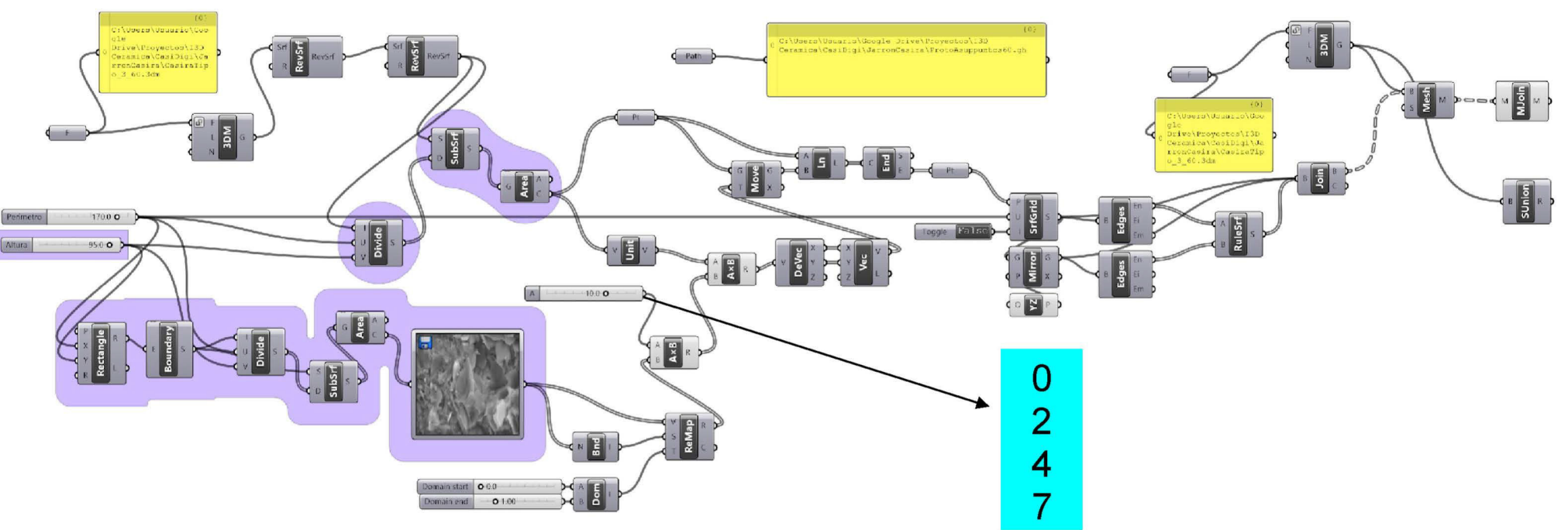
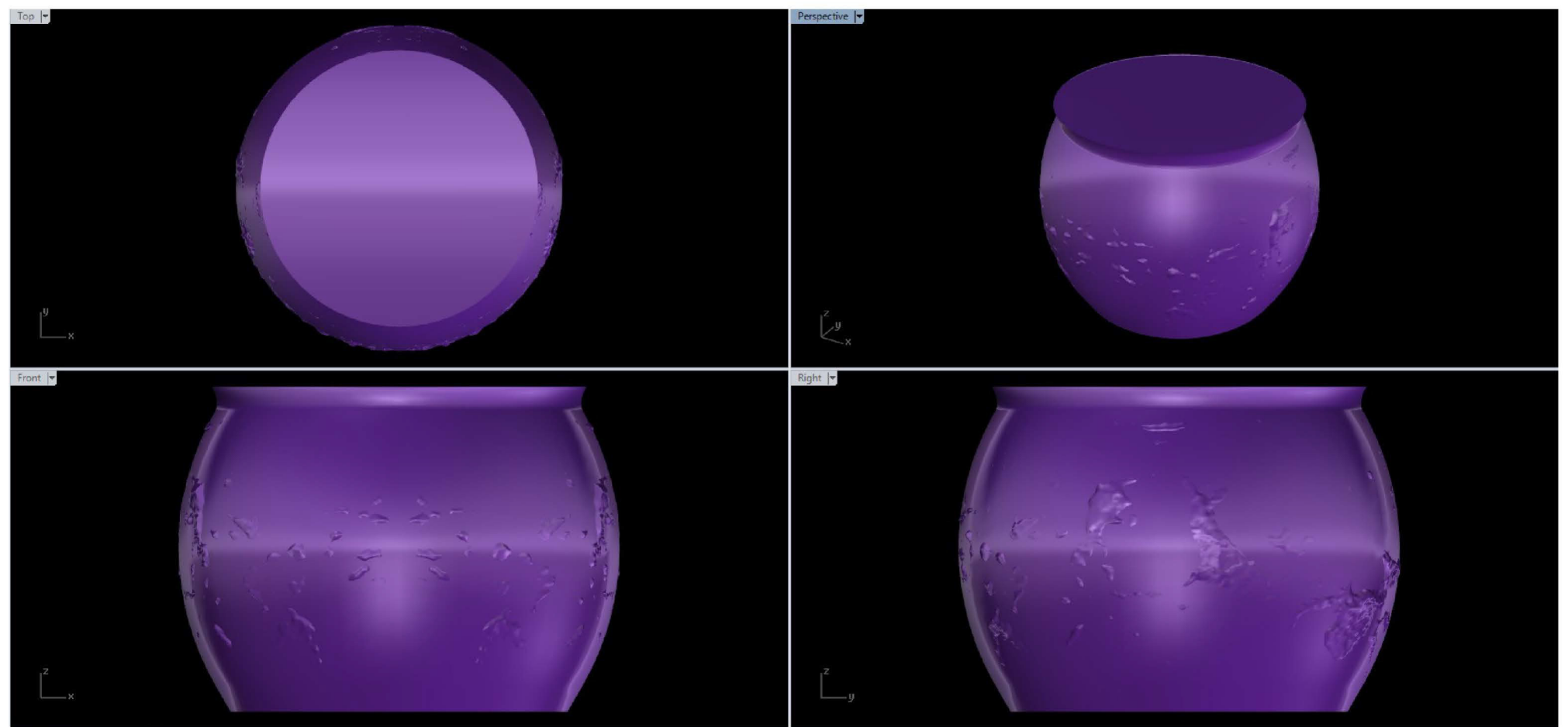


Figura 5: Renderizado de sólido con textura aplicada en forma simétrica, valor 2



Diseño y impresión 3D de una serie de piezas cerámicas basadas en las ollas de la alfarería tradicional de Casira

6 de 16

Diseño y impresión 3D de una serie de piezas cerámicas basadas en las ollas de la alfarería tradicional de Casira

7 de 16

Figura 6: Renderizado de sólido con textura aplicada en forma simétrica, valor 7

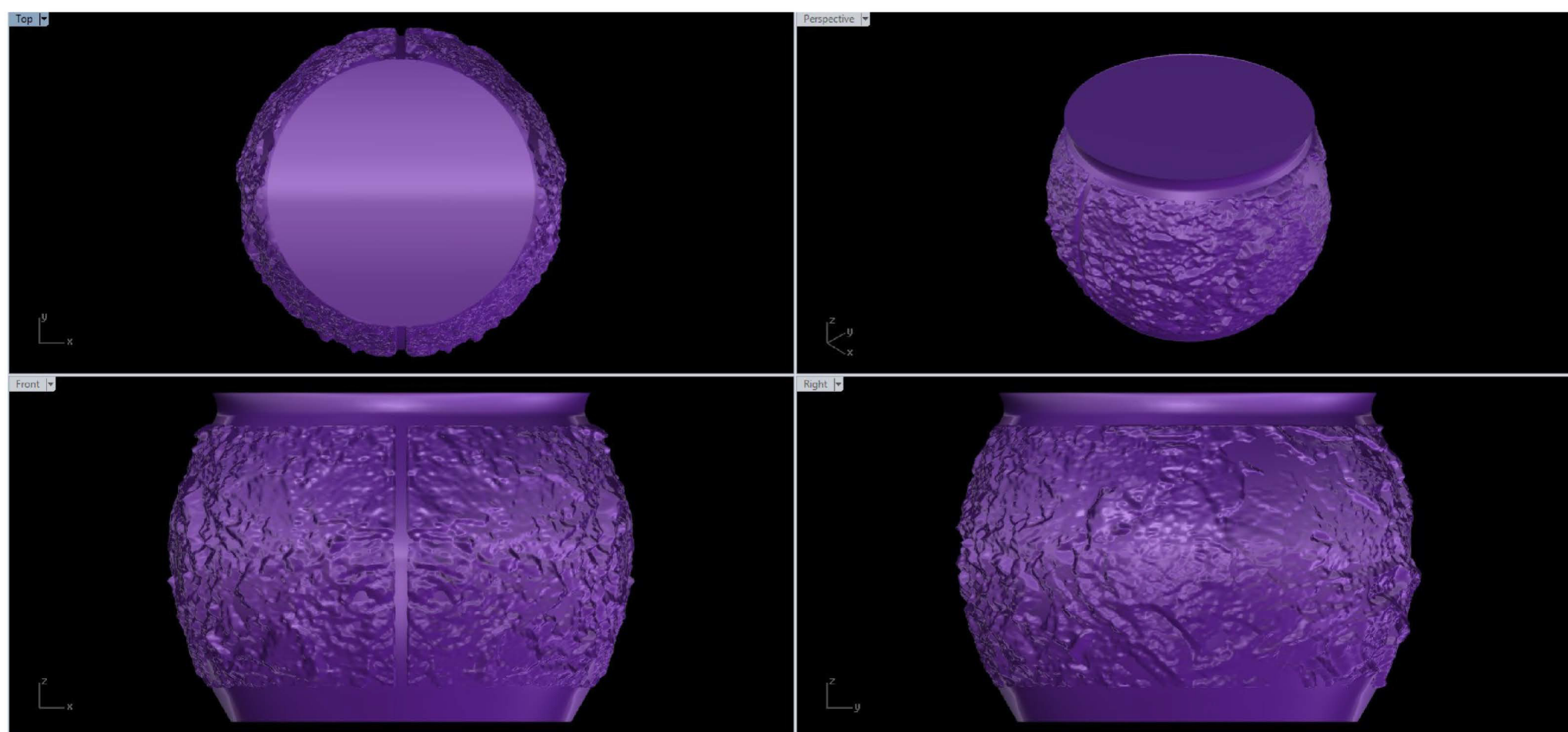
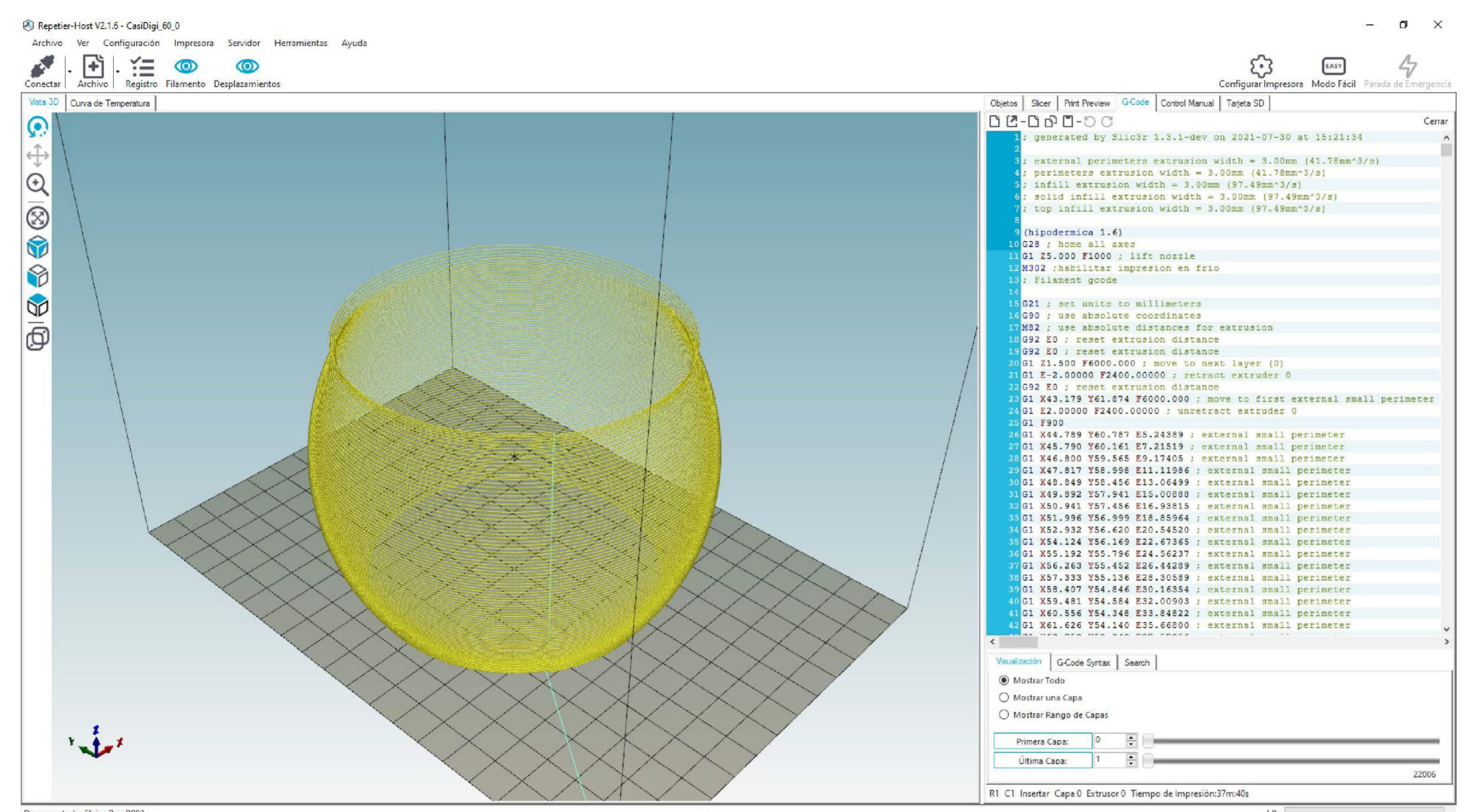


Figura 7: Captura de pantalla de programación de la impresión de sólido textura valor 0



Diseño y impresión 3D de una serie de piezas cerámicas basadas en las ollas de la alfarería tradicional de Casira

8 de 16

Diseño y impresión 3D de una serie de piezas cerámicas basadas en las ollas de la alfarería tradicional de Casira

9 de 16

Figura 8: Extrusor imprimiendo probetas

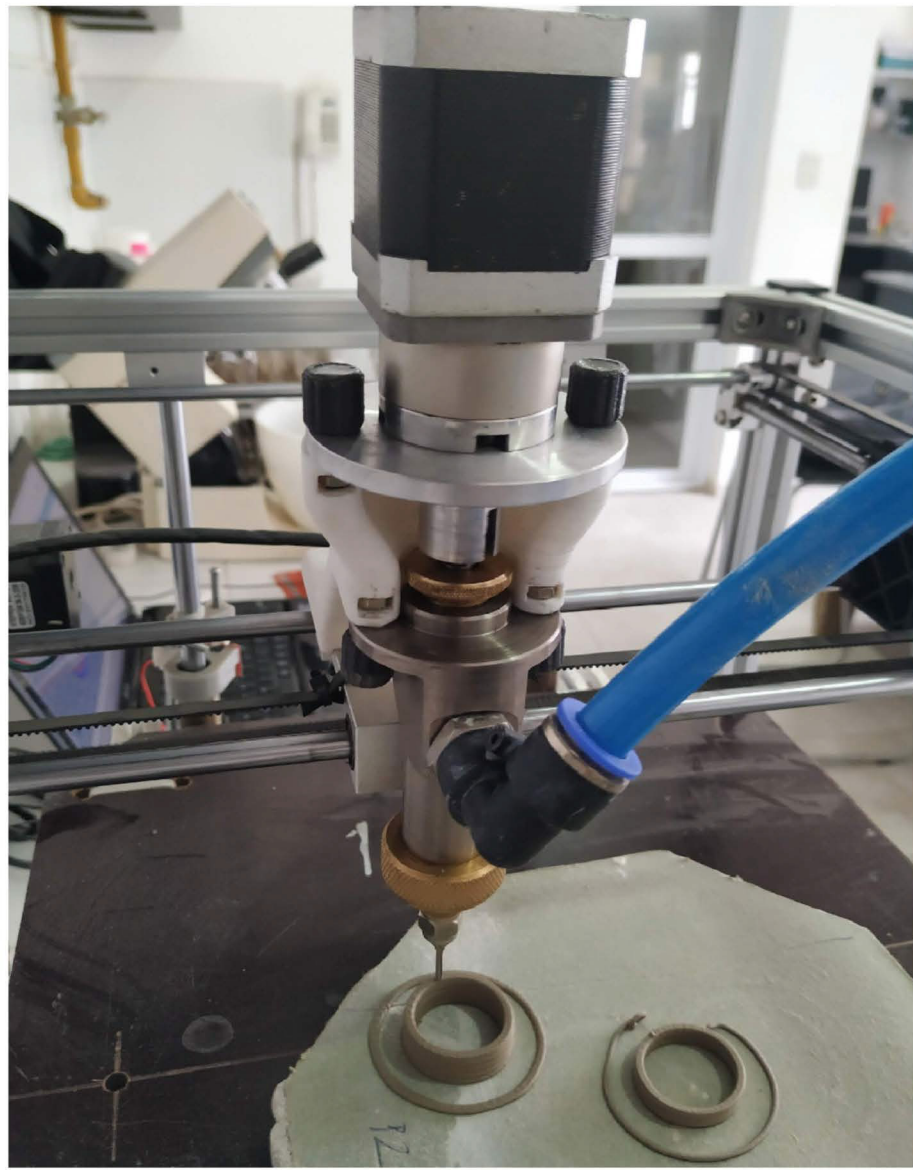


Figura 9: Equipo de impresión en funcionamiento

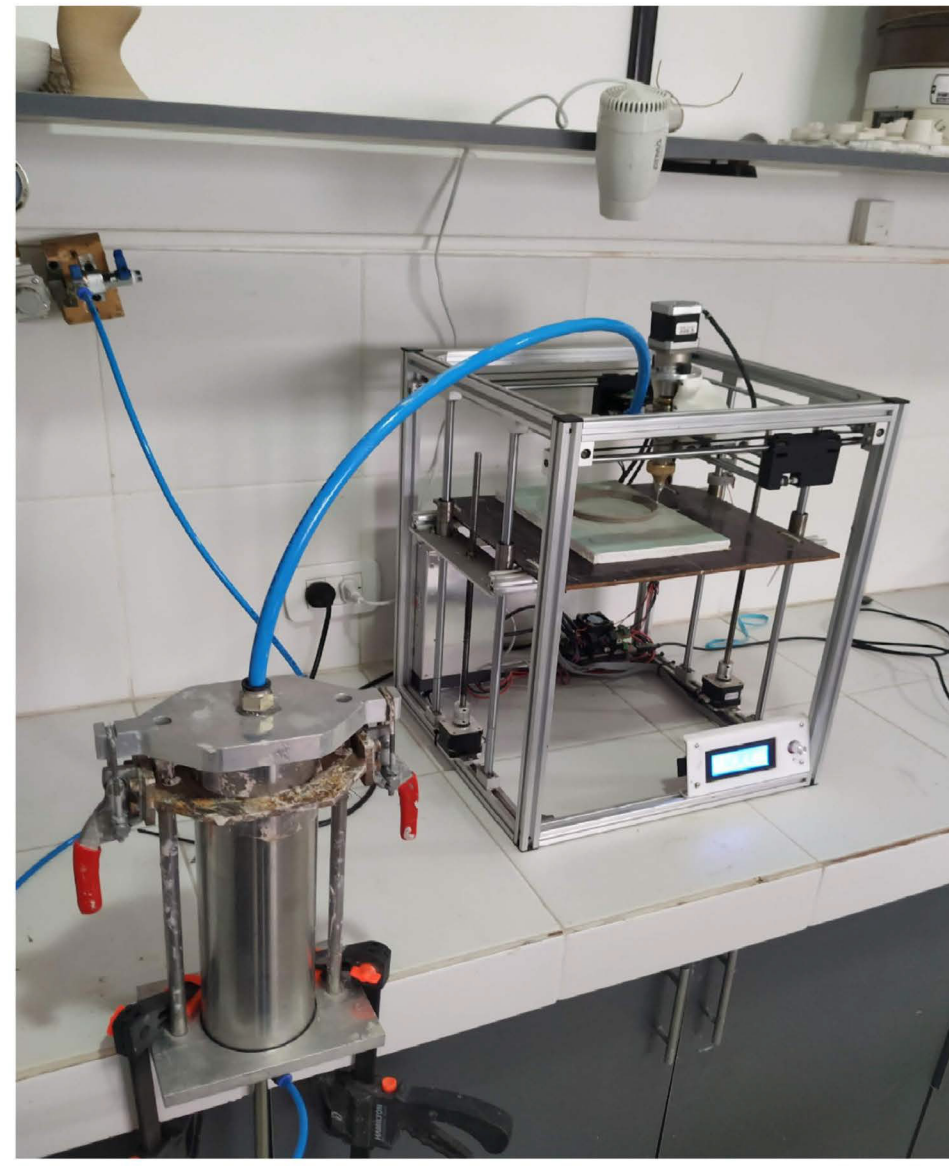


Figura 10: Piezas impresas en estado cuero. De derecha a izquierda, valores de textura 7, 4, 2 y 0 mm



Diseño y impresión 3D de una serie de piezas cerámicas basadas en las ollas de la alfarería tradicional de Casira

10 de 16

Diseño y impresión 3D de una serie de piezas cerámicas basadas en las ollas de la alfarería tradicional de Casira

11 de 16

Figura 11: Pieza en estado cuero textura 0

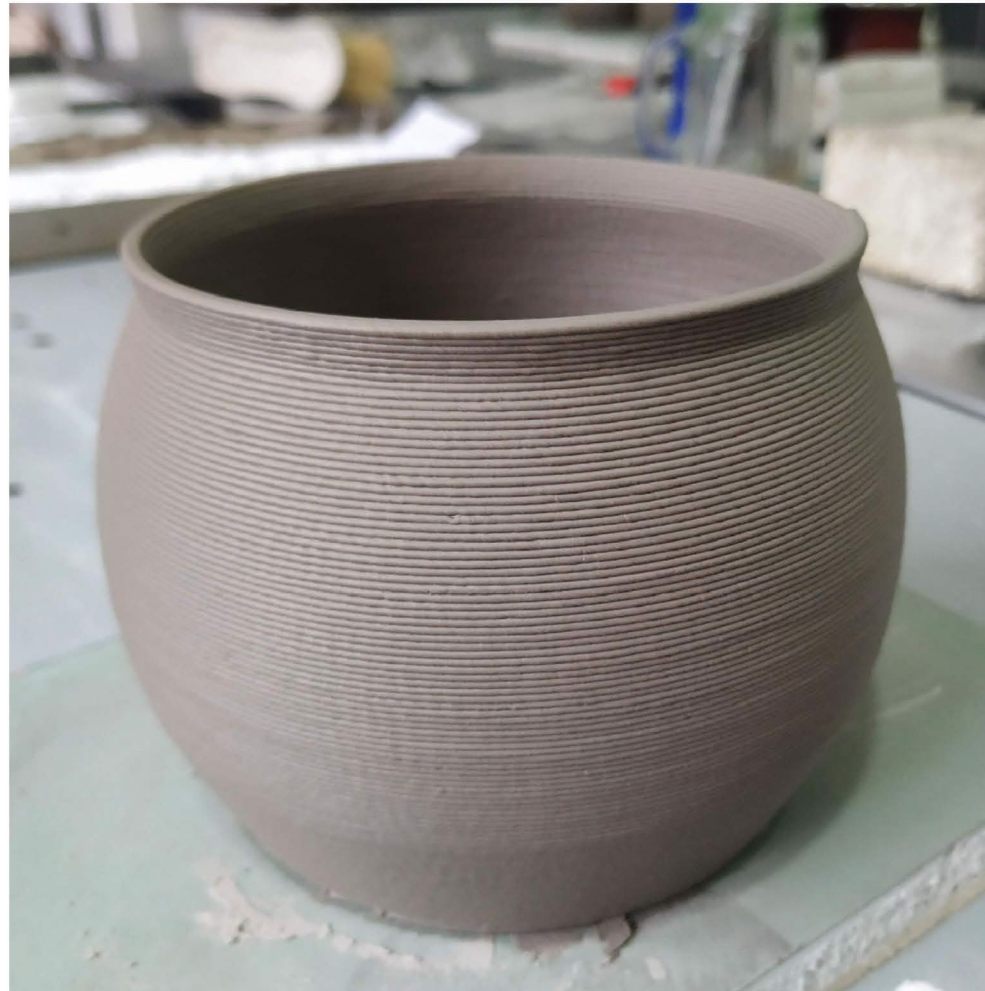


Figura 12: Pieza en estado cuero textura 2



Figura 13: Pieza estado cuero textura 4



Figura 14: Pieza estado cuero textura 7



Diseño y impresión 3D de una serie de piezas cerámicas basadas en las ollas de la alfarería tradicional de Casira

12 de 16

Diseño y impresión 3D de una serie de piezas cerámicas basadas en las ollas de la alfarería tradicional de Casira

13 de 16

Figura 15: Piezas cocidas texturas 4 y 7



Diseño y impresión 3D de una serie de piezas cerámicas basadas en las ollas de la alfarería tradicional de Casira

14 de 16

Figura 16: Piezas cocidas texturas 4 y 7



Diseño y impresión 3D de una serie de piezas cerámicas basadas en las ollas de la alfarería tradicional de Casira

15 de 16

Figura 17: Pieza cocida textura 2



Diseño y impresión 3D de una serie de piezas cerámicas basadas en las ollas de la alfarería tradicional de Casira

Figura 18: Pieza cocida textura 7



16 de 16

Diseño paramétrico y producción por impresión 3D de una serie de ocho piezas huecas tramadas en cerámica

Autores

Andrés Federico Ruscitti^{(a)*}, Clara Tapia^(a), Juan Piccirilli^{(a)**}, María Florencia Serra^(b), Nicolás Maximiliano Rendtorff^(bc)

a Laboratorio de Diseño, Departamento de Humanidades y Artes, Universidad Nacional de Lanús, 29 de Septiembre 3901, Remedios de Escalada (1826), Buenos Aires, Argentina.

b CETMIC Centro de Tecnología de Recursos Minerales y Cerámica (CIC-CONICET La Plata-UNLP) Cno Centenario y 506 M.B. Gonnet (1897), Buenos Aires, Argentina.

c Departamento de Química, Facultad de Ciencias Exactas, Universidad Nacional de La Plata, 47 y 115, La Plata 1900 Buenos Aires, Argentina.

*autor responsable: aruscitti@unla.edu.ar

** estudiante becario

Informe técnico: El presente documento de trabajo se ha realizado en el marco de los proyectos: “Desarrollo de una tecnología de impresión 3D por sistema de extrusión-deposición de materiales cerámicos” de la convocatoria a Proyectos de Investigación Orientados de la Universidad Nacional de Lanús y el Consejo Nacional de Investigaciones Científicas y Técnicas PIO UNLa-CONICET 2016-2017; y “Aplicaciones de la manufactura aditiva por extrusión de pastas cerámicas en el diseño de joyería contemporánea” de la convocatoria Amílcar Herrera 2019 de la UNLa.

Agosto 2021

Palabras clave: Impresión 3D, Cerámica, Diseño paramétrico / 3Dprinting, ceramic, parametric design

Resumen

En este informe técnico nos proponemos documentar la experiencia de modelado digital paramétrico e impresión 3D de una serie de ocho piezas huecas tramadas cerámicas de arcillas blanca y roja de baja temperatura a partir de su presentación comercial en pasta. Además de la prueba de esos insumos comerciales nacionales, el trabajo se orientó a la exploración de las posibilidades del diseño por algoritmos paramétricos y a la puesta a prueba del equipamiento de impresión 3D en la experimentación morfológica con cuerpos de revolución simples recubiertos por una trama formada por una matriz de crestas helicoidales.

Los modelos digitales se generaron mediante la modificación de ciertas variables geométricas de un único algoritmo de diseño paramétrico elaborado en un archivo en el complemento *Grasshopper*© del software *Rhinoceros*© V7. Las piezas se conformaron por impresión 3D con una boquilla de Ø2mm con una configuración de *slicing* de una única pasada perimetral en modo *spiral*, sin fondo ni tapa, con una altura de capa de 1mm. La pasta se hidrató en forma manual, la pasta roja presentó dificultades durante la impresión, con la pasta blanca se lograron flujos de extrusión en un rango controlado que generaron cordones de entre 3 y 4 mm de espesor. Se obtuvieron dos piezas de arcilla roja y seis de arcilla blanca, que durante el secado contrajeron entre 3 y 5%, y luego de una cocción a 1040º tuvieron unas dimensiones generales de 95 a 97 mm de altura, entre 92 y 65 mm de diámetro, y pesaron entre 110 y 248 gr. La experiencia permitió cumplir los objetivos en tanto se logró producir una serie de piezas conformadas por impresión 3D demostrativas de las ventajas del diseño paramétrico y de las características particulares de las pastas comerciales.

Introducción

En este trabajo nos proponemos documentar la experiencia de diseño y fabricación de una serie de piezas cerámicas conformadas mediante la tecnología de impresión 3D que resultan demostrativas de las posibilidades del diseño por algoritmos paramétricos y de las características de la cerámica impresa 3D.

Uno de los objetivos de la experiencia fue evaluar el uso de pastas comerciales tradicionales basadas en arcillas nacionales como insumo del proceso de impresión 3D. Con el objetivo de comparar el desempeño de un producto estándar, en relación a la impresiones anteriores realizadas por el equipo de investigación con pastas preparadas en el laboratorio a partir de un mezclado en seco, agregado de agua hasta estado barbotina y una deshidratación en bolsa hasta estado pasta pegajosa.

En el marco del análisis de las características típicas de la cerámica impresa 3D, nos interesaba experimentar en la aplicación de tramas sobre la forma de vasijas simples (cuencos, vasos, jarras, botellas, etc.). El campo del *pottery* (o alfarería) constituye en la actualidad el más dinámico en el uso del diseño paramétrico en impresión 3D de cerámica. La capacidad de diseño e impresión 3D de estas morfologías, mediante el ajuste de tamaño, proporción y densidades de trama, permitirán su aprovechamiento en el diseño de joyería contemporánea cerámica impresa.

Los modelos diseñados corresponden al cuerpo de una vasija, sin su fondo de manera de exponer los efectos del tramo en las caras internas. La geometría de estos cuerpos huecos consiste en un sector de toroide, definido por la revolución completa de un arco de circunferencia. Sobre estas superficies de revolución se aplica una trama generada por la copia circular de dos crestas opuestas de sección triangular y desarrollo helicoidal (Fig. 1).

Desarrollo del trabajo

Las actividades desarrolladas fueron:

1. Preparación de las pastas

Se adquirieron dos paquetes de 10 kg de una pasta roja y otra blanca de baja temperatura marca *Antares* (Argentina). Se fraccionaron en porciones de 2,5 kg y, a cada parte, se le agregó agua y se amasó hasta conseguir una pasta homogénea.

Luego se las dejó reposar entre una y dos semanas envueltas en toalla mojada y doble bolsa de plástico. Durante el reposo se las amasó entre 2 y 3 veces. En base a las experiencias anteriores se buscó una consistencia de pasta algo pegajosa, es decir cerca de su límite líquido.

2. Modelado digital

Se elaboró un algoritmo de diseño paramétrico en el editor de algoritmos gráficos *Grasshopper*© incluido en el software de diseño *Rhinoceros*© (Fig. 2) con el que se obtuvieron los modelos digitales de los ocho cuerpos de revolución tramados con diferentes configuraciones (cóncavos y convexos, variación de altura y curvatura de cresta, densidad de trama) (Fig. 3)

El algoritmo se compone de:

- un primer bloque en el que se define una superficie de revolución cuya generatriz es un arco por tres puntos en el plano XZ; los valores de las coordenadas en Z se mantuvieron comunes para los ocho variantes, con el punto medio a 50 mm y la altura total de 100 mm; los valores X de los puntos del arco fueron modificados para lograr unos casos cóncavos y otros convexos con diversas curvaturas

- en el segundo bloque se definen los puntos de la curva helicoidal generatriz de las crestas; el ángulo de inicio y fin de la curva se mantuvo constante para todos los modelos. Se modificó en algunos casos la curvatura mediante el control gráfico.

- en el tercer bloque se trasladan los puntos de la generatriz sobre la superficie de revolución y se crea una curva interpolando estos puntos

- el bloque *Secciones cresta* permite generar dos triángulos, mediante el comando *Polygon* (de tres lados), cada uno centrado en los puntos inicio y fin de la curva generatriz. Las dimensiones del radio del polígono fueron usadas como variables para los diferentes modelos.

- el quinto bloque contiene los componentes de generación de la cresta mediante el barrido entre los dos triángulos a través de la curva generatriz; de la copia simétrica de la cresta y de la matriz circular de ambas crestas opuestas

- el último bloque convierte la superficie inicial en un sólido al crear el fondo y la tapa, y luego realiza la operación de unión con los sólidos de las crestas.

3. Programación de la impresión

Se cargaron individualmente los modelos digitales exportados del paso anterior en el software de impresión 3D *Repetier-Host*®. Se realizó el *slicing* usando el software *Slic3r*® con una configuración de única pasada perimetral, sin fondo ni tapa, en modo *spiral* con una altura de capa de 1 mm.

4. Impresión 3D

Se realizó el conformado de las piezas en la impresora 3D cartesiana grande del laboratorio, equipada con el dispositivo de extrusión V4 con boquilla de Ø2mm (Fig. 4) (Ruscitti y col 2018). La presión del alimentador se mantuvo constante en 6bar. Los programas llevaron entre 12 y 18 minutos. La pasta roja presentó dificultades de extrusión con pérdidas de flujo, presumiblemente a una baja fluencia por falta de hidratación. Con la pasta blanca se lograron flujos de extrusión relativamente constantes lográndose espesores de entre 3 y 4 mm.

5. Postprocesado

Las piezas se dejaron secar sobre sus bases de *durlock* (Fig. 5) en un gabinete cerrado a temperatura ambiente. Una vez secas se las horneó a 1040º. Las piezas cocidas presentaron una contracción en la altura del 3 al 5%; sin deformaciones en las piezas cóncavas y con pérdida de planitud en la cara superior en las convexas.

En la siguiente tabla se informa para cada pieza su peso y la referencia a la figura que muestra los valores del algoritmo y fotos de las piezas cocidas

Pieza Nº	Fig. nº	Peso (gr)
1	6	130
2	7	162
3	8	233
4	9	150
5	10	146
6	11	248
7	12	138
8	13	110

Comentarios finales

Las pastas comerciales probadas resultaron aptas para la impresión 3D; quedando para futuras experiencias incorporar un método de taller de medición de consistencia de las pastas durante su hidratación.

El proceso de conformado resultó exitoso para la complejidad de las morfologías planteadas; excepto los problemas de fluencia con la pasta roja los demás parámetros de material, programación e impresión resultaron adecuados.

El proceso de modelado paramétrico por algoritmos demostró ser una excelente herramienta para la aplicación de texturas a partir de patrones geométricos parametrizados sobre sólidos simples. Si bien la construcción del algoritmo requiere habilidades de programación y conocimientos de morfología digital; la manipulación de las variables principales de la forma es muy sencilla y podría hacerse accesible a no expertos mediante una mejora de la interfase gráfica.

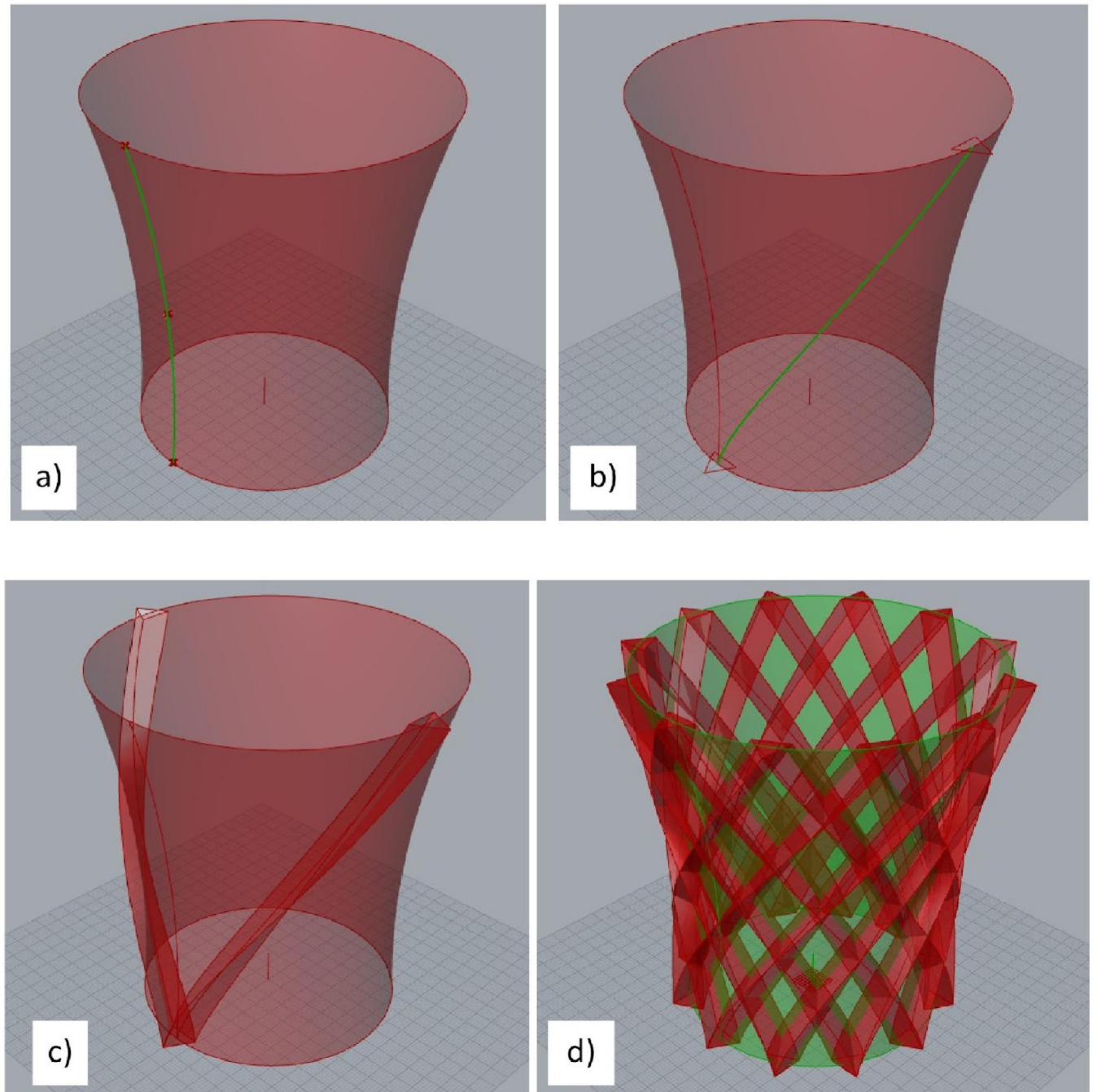
Agradecimientos

Los autores agradecen a CONICET y UNLa por el financiamiento; M.F.S. agradece por la beca posdoctoral CONICET; J.P. agradece por la beca de la convocatoria Amílcar Herrrera 2019 de la UNLa.

Referencias

- McNeel Robert & Associates. (2009, 2021). *Grasshopper*®. <https://www.rhino3d.com/features/#grasshopper>
- McNeel Robert & Associates. (1993, 2021). *Rhinoceros*®. <https://www.rhino3d.com/mcneel/about/>
- Ranellucci, A. (2011, 2017). *Slic3r*®. <https://slic3r.org/>
- Hot-World GmbH & Co. KG. (s. f.). *Repetier-Host*®. Repetier Software. <https://www.repetier.com/about-us/>
- Ruscitti, A., Rendtorff Birrer, N. M., & Serra, M. F. (2017). *Dispositivo de Impresión 3D de Pasta Cerámica UNLa-CETMIC, por alimentación neumática y extrusión a tornillo, Versión 1.* <https://doi.org/10.18294/rdi.2019.175797%20>
- Ruscitti, A., Rendtorff Birrer, N. M., & Serra, M. F. (2017). *Dispositivo de Impresión 3D de Pasta Cerámica UNLa-CETMIC, por alimentación neumática y extrusión a tornillo, Versión 2.* <https://doi.org/10.18294/rdi.2019.175798%20>
- Ruscitti, A., Rendtorff Birrer, N. M., & Serra, M. F. (2017). *Dispositivo de Impresión 3D de Pasta Cerámica UNLa-CETMIC, por alimentación neumática y extrusión a tornillo, Versión 3.* <https://doi.org/10.18294/rdi.2019.175799%20>
- Ruscitti, A., Rendtorff Birrer, N. M., Serra, M. F., & Stabile, M. (2018). *Dispositivo de Impresión 3D de Pasta Cerámica UNLa-CETMIC, por extrusión con pistón mecánico para jeringa estándard.* <https://doi.org/10.18294/rdi.2019.175801%20>
- Ruscitti, A., Tapia, C., & Rendtorff, N. M. (2020). *A review on additive manufacturing of ceramic materials based on extrusion processes of clay pastes.* *Cerámica*, 66, 354-366. <https://doi.org/10.1590/0366-69132020663802918>

Fig. 1 Elementos geométricos de los modelos digitales
a) Sector de toroide,
superficie de revolución de un
arco definido por tres puntos
b) curva generatriz y secciones
triangulares de cresta
c) crestas opuestas
d) copia circular de las crestas



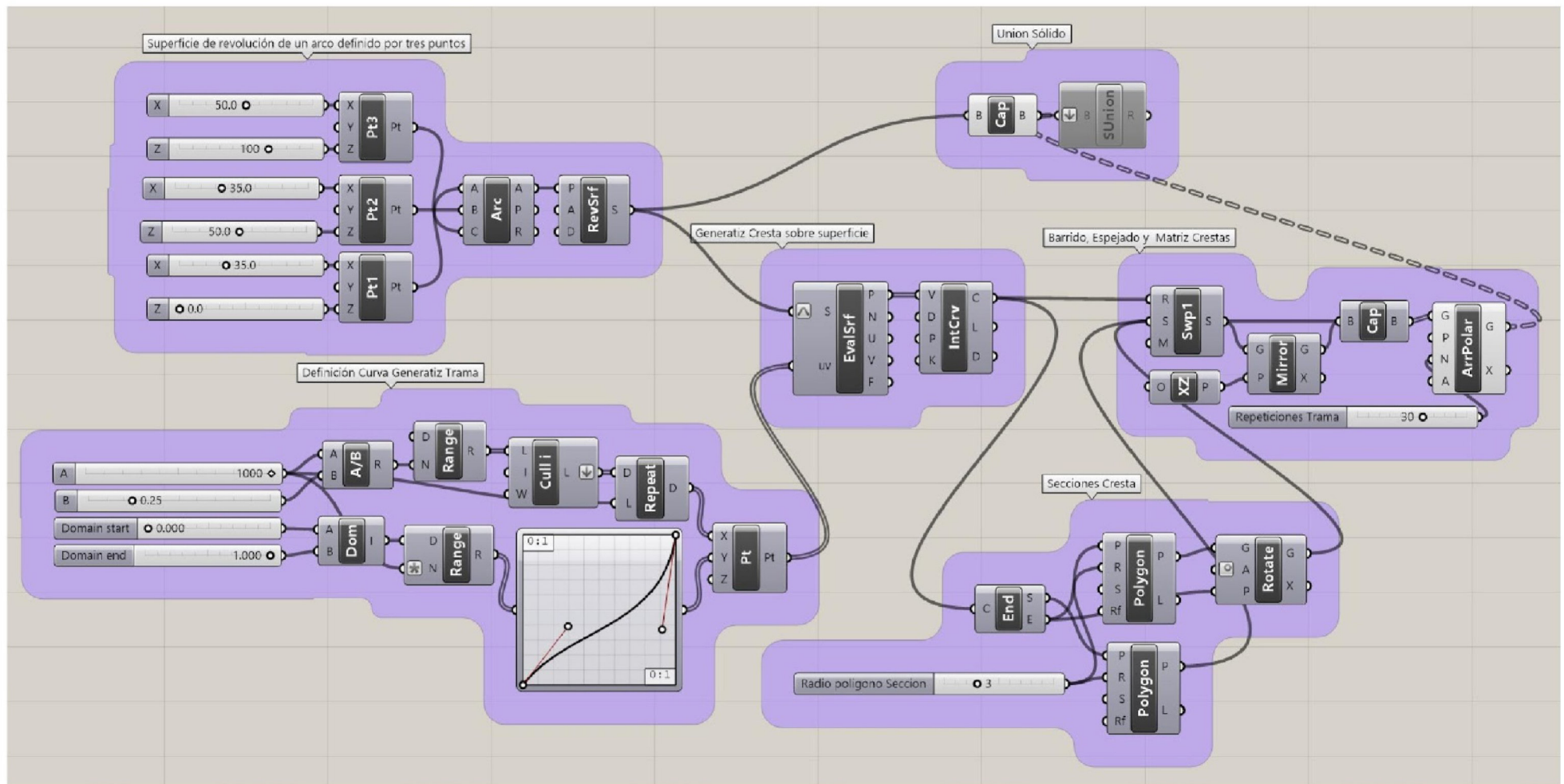


Fig. 2 Algoritmo de generación de los modelos digitales

Pieza N. ^o		1	2	3	4	5	6	7	8
Sólido unión cuerpo de revolución y matriz de crestas									
Superficie de revolución de un arco definido por tres puntos	Pt 3 (mm)	X3	50	40	40	50	45	30	30
		Z3				100			
	Puntos de arco generatriz	Pt 2 (mm)	X2	35	52,5	52,5	35	30	55
			Z2			50		52,5	30
Crestas	Pt 1 (mm)	X1	35	35	35	45	40	40	40
		Z1				0			
Control bezier curva directriz									
Radio polígono sección (mm)		3	5	3	5	10	10	5	5
Repeticiones matriz crestas		30	20	30	20	12	12	12	12

Fig. 3 Tabla de valores del algoritmo de los ocho modelos

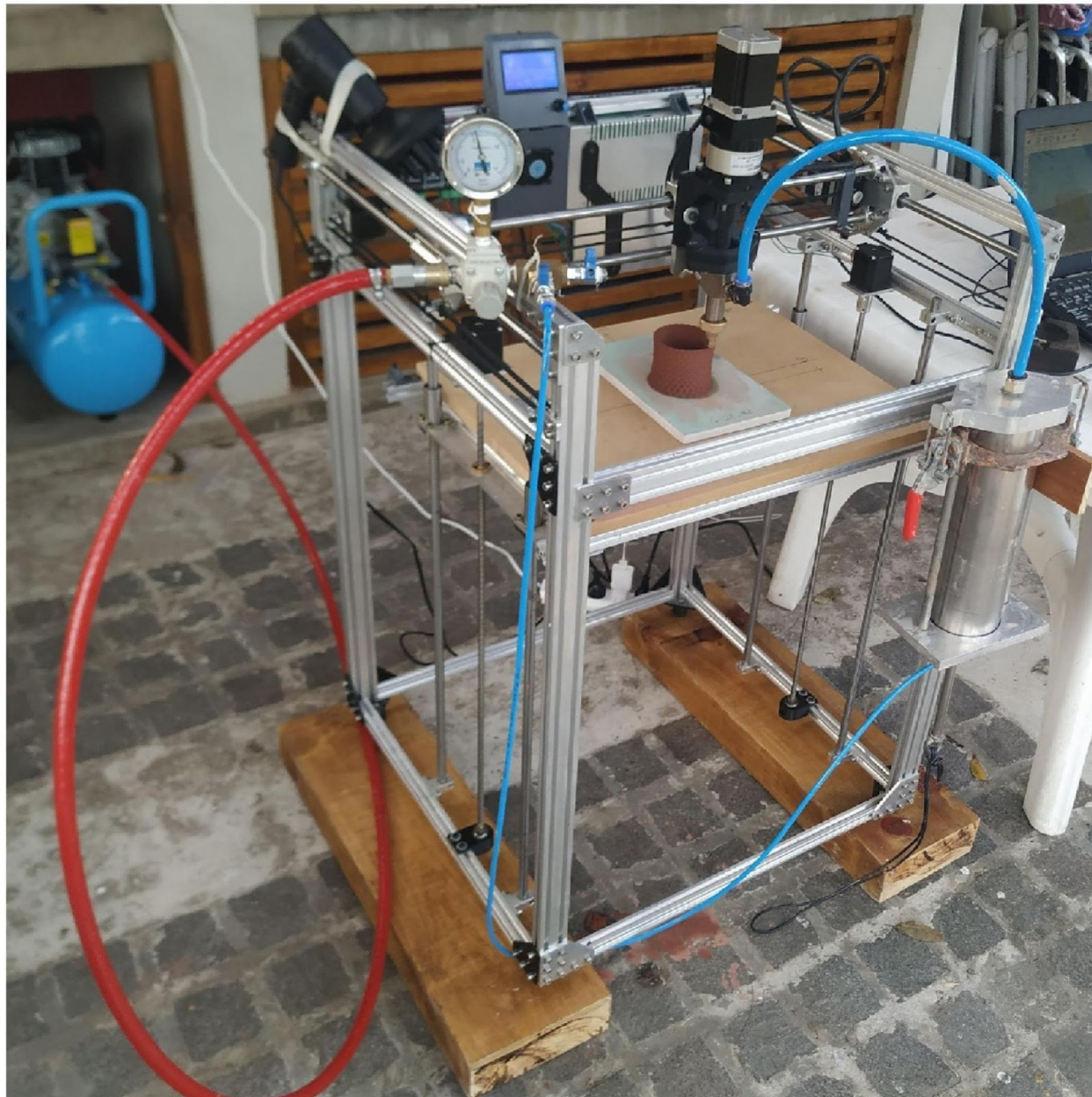


Fig. 4 Equipo de impresión 3D en funcionamiento



Fig. 5 Piezas durante el secado

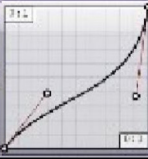
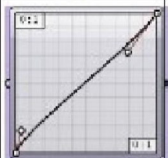
#	1
	
X3	50
Z3	100
X2	35
Z2	50
X1	35
Z1	0
Control curva	
Radio sección	3
Repeticiones	30



Fig. 6 Valores del algoritmo y pieza 1 cocida

#	2
	
X3	40
Z3	100
X2	52,5
Z2	50
X1	35
Z1	0
Control curva	
Radio sección	5
Repeticiones	20

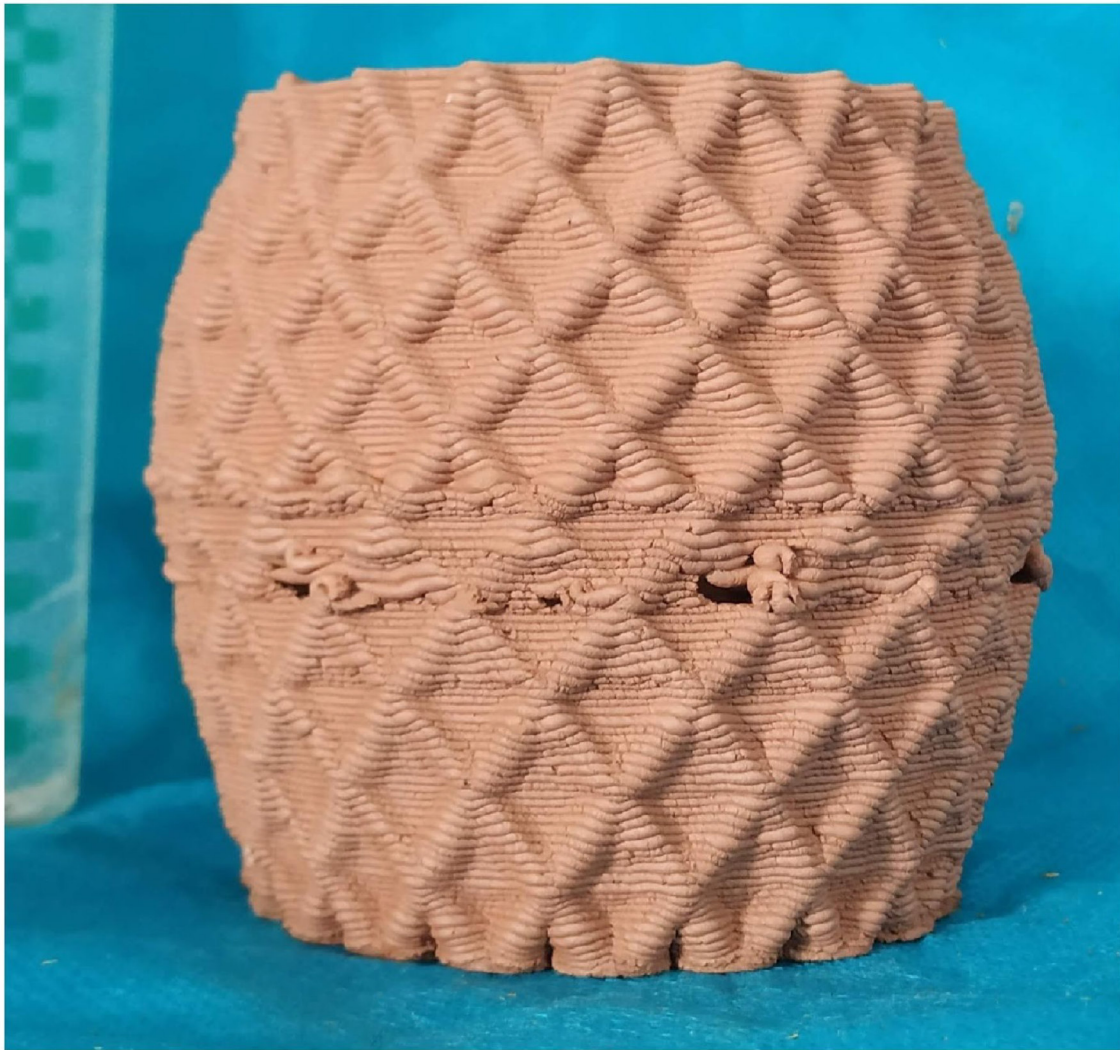


Fig. 7 Valores del algoritmo y pieza 2 cocida

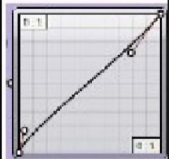
#	3
	
X3	40
Z3	100
X2	52,5
Z2	50
X1	35
Z1	0
Control curva	
Radio sección	3
Repeticiones	30



Fig. 8 Valores del algoritmo y pieza 3 cocida

#	4
	
X3	50
Z3	100
X2	35
Z2	50
X1	45
Z1	0
Control curva	
Radio sección	5
Repeticiones	20

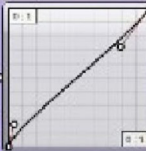


Fig. 9 Valores del algoritmo y pieza 4 cocida

#	5
	
X3	45
Z3	
X2	30
Z2	
X1	40
Z1	
Control curva	
Radio sección	10
Repeticiones	12



Fig. 10 Valores del algoritmo y pieza 5 cocida

#	6
	
X3	30
Z3	100
X2	55
Z2	50
X1	40
Z1	0
Control curva	
Radio sección	10
Repeticiones	12

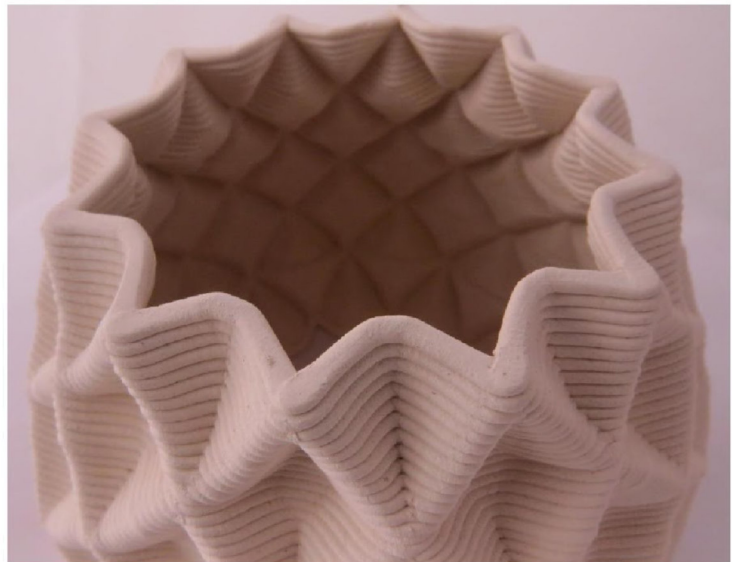
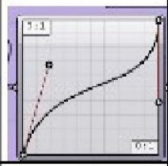


Fig. 11 Valores del algoritmo y pieza 6 cocida

#	7
	
X3	30
Z3	100
X2	52,5
Z2	50
X1	40
Z1	0
Control curva	
Radio sección	5
Repeticiones	12

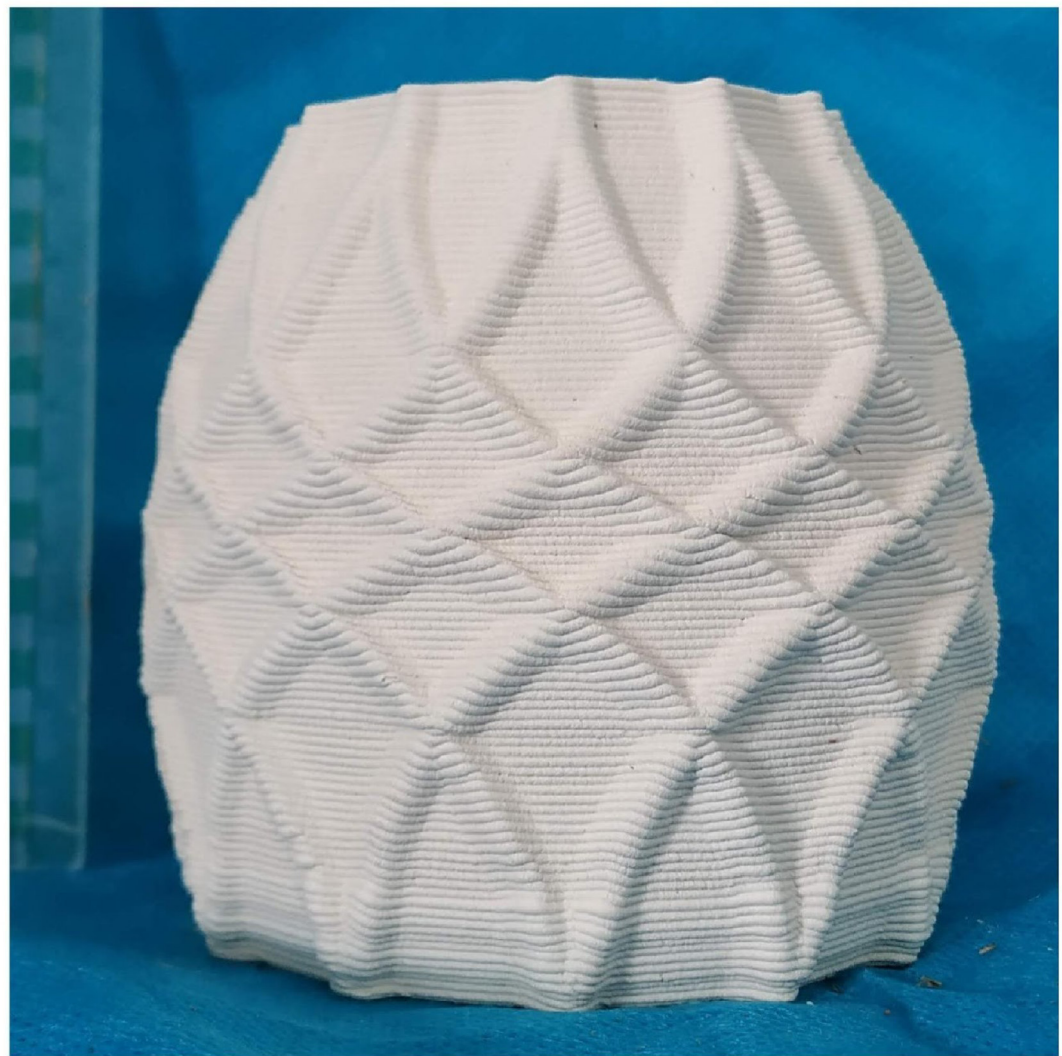
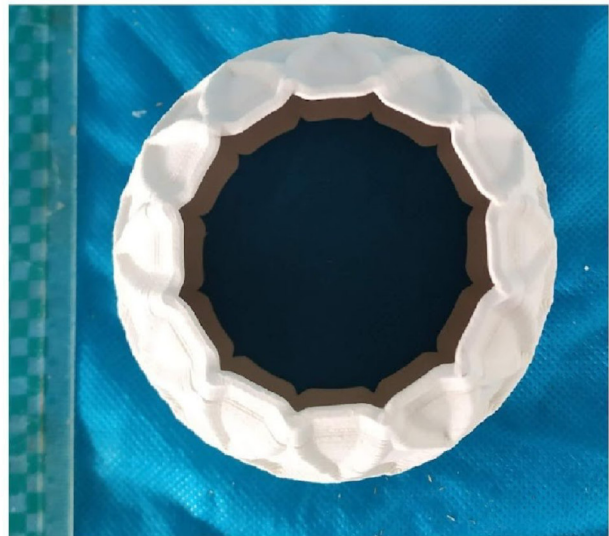


Fig. 12 Valores del algoritmo y pieza 7 cocida

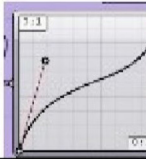
#	8
	
X3	45
Z3	100
X2	30
Z2	50
X1	40
Z1	0
Control curva	
Radio sección	5
Repeticiones	12



Fig. 13 Valores del algoritmo y pieza 8 cocida

Diseño paramétrico y producción por impresión 3D de una serie de ocho piezas huecas tramadas en cerámica

Autores

Andrés Federico Ruscitti^{(a)*}, Clara Tapia^(a), Juan Piccirilli^{(a)**}, María Florencia Serra^(b), Nicolás Maximiliano Rendtorff^(bc)

a Laboratorio de Diseño, Departamento de Humanidades y Artes, Universidad Nacional de Lanús, 29 de Septiembre 3901, Remedios de Escalada (1826), Buenos Aires, Argentina.

b CETMIC Centro de Tecnología de Recursos Minerales y Cerámica (CIC-CONICET La Plata-UNLP) Cno Centenario y 506 M.B. Gonnet (1897), Buenos Aires, Argentina.

c Departamento de Química, Facultad de Ciencias Exactas, Universidad Nacional de La Plata, 47 y 115, La Plata 1900 Buenos Aires, Argentina.

*autor responsable: aruscitti@unla.edu.ar

** estudiante becario

Informe técnico: El presente documento de trabajo se ha realizado en el marco de los proyectos: “Desarrollo de una tecnología de impresión 3D por sistema de extrusión-deposición de materiales cerámicos” de la convocatoria a Proyectos de Investigación Orientados de la Universidad Nacional de Lanús y el Consejo Nacional de Investigaciones Científicas y Técnicas PIO UNLa-CONICET 2016-2017; y “Aplicaciones de la manufactura aditiva por extrusión de pastas cerámicas en el diseño de joyería contemporánea” de la convocatoria Amílcar Herrera 2019 de la UNLa.

Agosto 2021

Palabras clave: Impresión 3D, Cerámica, Diseño paramétrico / 3Dprinting, ceramic, parametric design

Resumen

En este informe técnico nos proponemos documentar la experiencia de modelado digital paramétrico e impresión 3D de una serie de ocho piezas huecas tramadas cerámicas de arcillas blanca y roja de baja temperatura a partir de su presentación comercial en pasta. Además de la prueba de esos insumos comerciales nacionales, el trabajo se orientó a la exploración de las posibilidades del diseño por algoritmos paramétricos y a la puesta a prueba del equipamiento de impresión 3D en la experimentación morfológica con cuerpos de revolución simples recubiertos por una trama formada por una matriz de crestas helicoidales.

Los modelos digitales se generaron mediante la modificación de ciertas variables geométricas de un único algoritmo de diseño paramétrico elaborado en un archivo en el complemento *Grasshopper*© del software *Rhinoceros*© V7. Las piezas se conformaron por impresión 3D con una boquilla de Ø2mm con una configuración de *slicing* de una única pasada perimetral en modo *spiral*, sin fondo ni tapa, con una altura de capa de 1mm. La pasta se hidrató en forma manual, la pasta roja presentó dificultades durante la impresión, con la pasta blanca se lograron flujos de extrusión en un rango controlado que generaron cordones de entre 3 y 4 mm de espesor. Se obtuvieron dos piezas de arcilla roja y seis de arcilla blanca, que durante el secado contrajeron entre 3 y 5%, y luego de una cocción a 1040º tuvieron unas dimensiones generales de 95 a 97 mm de altura, entre 92 y 65 mm de diámetro, y pesaron entre 110 y 248 gr. La experiencia permitió cumplir los objetivos en tanto se logró producir una serie de piezas conformadas por impresión 3D demostrativas de las ventajas del diseño paramétrico y de las características particulares de las pastas comerciales.

Introducción

En este trabajo nos proponemos documentar la experiencia de diseño y fabricación de una serie de piezas cerámicas conformadas mediante la tecnología de impresión 3D que resultan demostrativas de las posibilidades del diseño por algoritmos paramétricos y de las características de la cerámica impresa 3D.

Uno de los objetivos de la experiencia fue evaluar el uso de pastas comerciales tradicionales basadas en arcillas nacionales como insumo del proceso de impresión 3D. Con el objetivo de comparar el desempeño de un producto estándar, en relación a las impresiones anteriores realizadas por el equipo de investigación con pastas preparadas en el laboratorio a partir de un mezclado en seco, agregado de agua hasta estado barbotina y una deshidratación en bolsa hasta estado pasta pegajosa.

En el marco del análisis de las características típicas de la cerámica impresa 3D, nos interesaba experimentar en la aplicación de tramas sobre la forma de vasijas simples (cuencos, vasos, jarras, botellas, etc.). El campo del *pottery* (o alfarería) constituye en la actualidad el más dinámico en el uso del diseño paramétrico en impresión 3D de cerámica. La capacidad de diseño e impresión 3D de estas morfologías, mediante el ajuste de tamaño, proporción y densidades de trama, permitirán su aprovechamiento en el diseño de joyería contemporánea cerámica impresa.

Los modelos diseñados corresponden al cuerpo de una vasija, sin su fondo de manera de exponer los efectos del tramo en las caras internas. La geometría de estos cuerpos huecos consiste en un sector de toroide, definido por la revolución completa de un arco de circunferencia. Sobre estas superficies de revolución se aplica una trama generada por la copia circular de dos crestas opuestas de sección triangular y desarrollo helicoidal (Fig. 1).

Desarrollo del trabajo

Las actividades desarrolladas fueron:

1. Preparación de las pastas

Se adquirieron dos paquetes de 10 kg de una pasta roja y otra blanca de baja temperatura marca *Antares* (Argentina). Se fraccionaron en porciones de 2,5 kg y, a cada parte, se le agregó agua y se amasó hasta conseguir una pasta homogénea.

Diseño paramétrico y producción por impresión 3D de una serie de ocho piezas huecas tramadas en cerámica

2 de 16

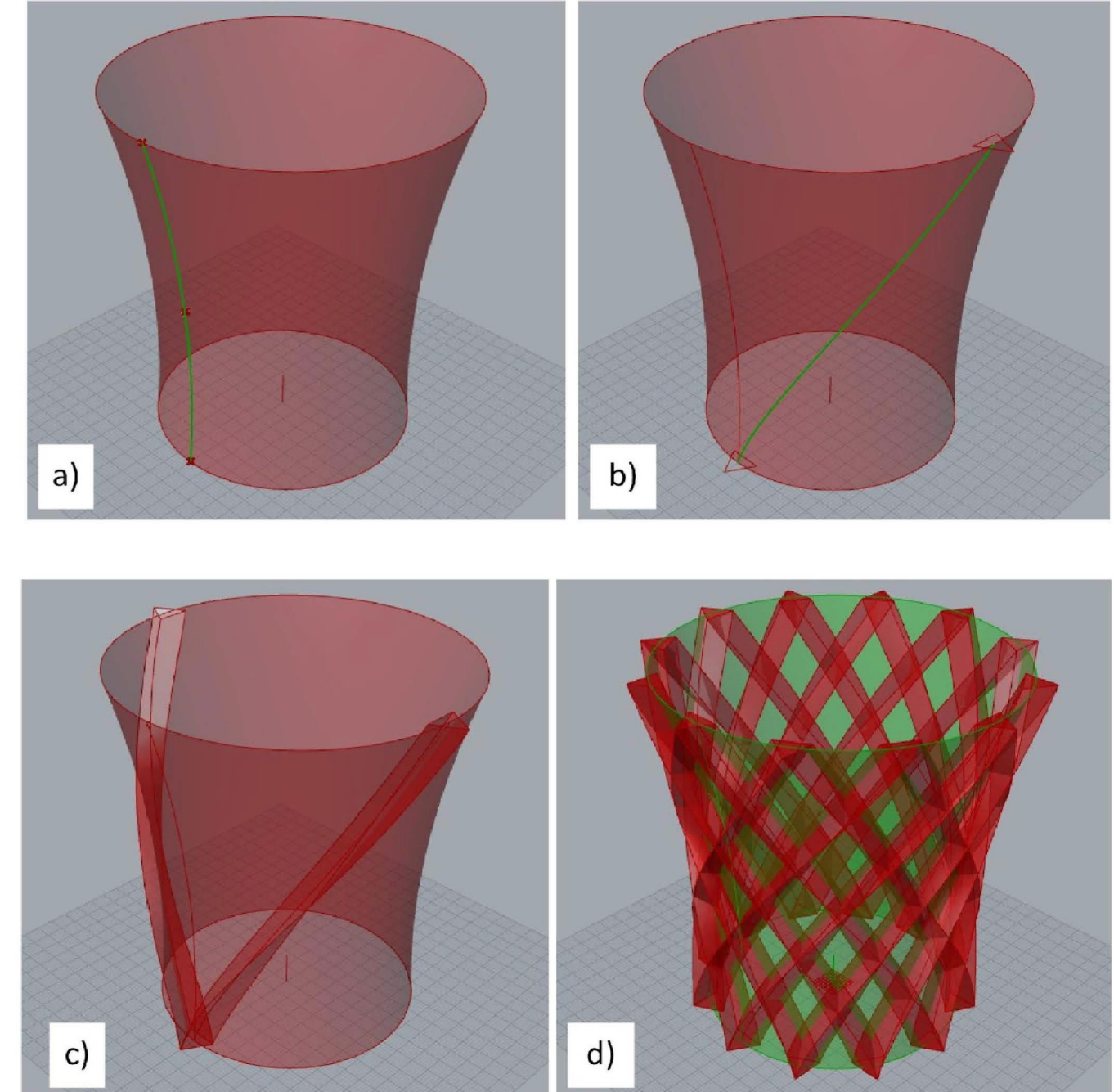


Fig. 1 Elementos geométricos de los modelos digitales
a) Sector de toroide, superficie de revolución de un arco definido por tres puntos
b) curva generatriz y secciones triangulares de cresta
c) crestas opuestas
d) copia circular de las crestas

Luego se las dejó reposar entre una y dos semanas envueltas en toalla mojada y doble bolsa de plástico. Durante el reposo se las amasó entre 2 y 3 veces. En base a las experiencias anteriores se buscó una consistencia de pasta algo pegajosa, es decir cerca de su límite líquido.

2. Modelado digital

Se elaboró un algoritmo de diseño paramétrico en el editor de algoritmos gráficos *Grasshopper* incluido en el software de diseño *Rhinoceros* (Fig. 2) con el que se obtuvieron los modelos digitales de los ocho cuerpos de revolución tramados con diferentes configuraciones (cóncavos y convexos, variación de altura y curvatura de cresta, densidad de trama) (Fig. 3)

El algoritmo se compone de:

- un primer bloque en el que se define una superficie de revolución cuya generatriz es un arco por tres puntos en el plano XZ; los valores de las coordenadas en Z se mantuvieron comunes para los ocho variantes, con el punto medio a 50 mm y la altura total de 100 mm; los valores X de los puntos del arco fueron modificados para lograr unos casos cóncavos y otros convexos con diversas curvaturas

- en el segundo bloque se definen los puntos de la curva helicoidal generatriz de las crestas; el ángulo de inicio y fin de la curva se mantuvo constante para todos los modelos. Se modificó en algunos casos la curvatura mediante el control gráfico.

- en el tercer bloque se trasladan los puntos de la generatriz sobre la superficie de revolución y se crea una curva interpolando estos puntos

- el bloque *Secciones cresta* permite generar dos triángulos, mediante el comando *Polygon* (de tres lados), cada uno centrado en los puntos inicio y fin de la curva generatriz. Las dimensiones del radio del polígono fueron usadas como variables para los diferentes modelos.

- el quinto bloque contiene los componentes de generación de la cresta mediante el barrido entre los dos triángulos a través de la curva generatriz; de la copia simétrica de la cresta y de la matriz circular de ambas crestas opuestas

- el último bloque convierte la superficie inicial en un sólido al crear el fondo y la tapa, y luego realiza la operación de unión con los sólidos de las crestas.

3. Programación de la impresión

Se cargaron individualmente los modelos digitales exportados del paso anterior en el software de impresión 3D *Repetier-Host*. Se realizó el *slicing* usando el software *Slic3r* con una configuración de única pasada perimetral, sin fondo ni tapa, en modo *spiral* con una altura de capa de 1 mm.

4. Impresión 3D

Se realizó el conformado de las piezas en la impresora 3D cartesiana grande del laboratorio, equipada con el dispositivo de extrusión V4 con boquilla de Ø2mm (Fig. 4) (Ruscitti y col 2018). La presión del alimentador se mantuvo constante en 6bar. Los programas llevaron entre 12 y 18 minutos. La pasta roja presentó dificultades de extrusión con pérdidas de flujo, presumiblemente a una baja fluencia por falta de hidratación. Con la pasta blanca se lograron flujos de extrusión relativamente constantes lográndose espesores de entre 3 y 4 mm.

5. Postprocesado

Las piezas se dejaron secar sobre sus bases de *durlock* (Fig. 5) en un gabinete cerrado a temperatura ambiente. Una vez secas se las horneó a 1040º. Las piezas cocidas presentaron una contracción en la altura del 3 al 5%; sin deformaciones en las piezas cóncavas y con pérdida de planitud en la cara superior en las convexas.

En la siguiente tabla se informa para cada pieza su peso y la referencia a la figura que muestra los valores del algoritmo y fotos de las piezas cocidas

Pieza Nº	Fig. nº	Peso (gr)
1	6	130
2	7	162
3	8	233
4	9	150
5	10	146
6	11	248
7	12	138
8	13	110

Comentarios finales

Las pastas comerciales probadas resultaron aptas para la impresión 3D; quedando para futuras experiencias incorporar un método de taller de medición de consistencia de las pastas durante su hidratación.

El proceso de conformado resultó exitoso para la complejidad de las morfologías planteadas; excepto los problemas de fluencia con la pasta roja los demás parámetros de material, programación e impresión resultaron adecuados.

El proceso de modelado paramétrico por algoritmos demostró ser una excelente herramienta para la aplicación de texturas a partir de patrones geométricos parametrizados sobre sólidos simples. Si bien la construcción del algoritmo requiere habilidades de programación y conocimientos de morfología digital; la manipulación de las variables principales de la forma es muy sencilla y podría hacerse accesible a no expertos mediante una mejora de la interfase gráfica.

Agradecimientos

Los autores agradecen a CONICET y UNLa por el financiamiento; M.F.S. agradece por la beca posdoctoral CONICET; J.P. agradece por la beca de la convocatoria Amílcar Herrera 2019 de la UNLa.

Referencias

- McNeil Robert & Associates. (2009, 2021). *Grasshopper*. <https://www.rhino3d.com/features/#grasshopper>
McNeil Robert & Associates. (1993, 2021). *Rhinoceros*. <https://www.rhino3d.com/mcneil/about/>
Ranelliucci, A. (2011, 2017). *Slic3r*. <https://slic3r.org/>
Hot-World GmbH & Co. KG. (s. f.). *Repetier-Host*. Repetier Software. <https://www.repetier.com/about-us/>
Ruscitti, A., Rendtorff Birrer, N. M., & Serra, M. F. (2017). Dispositivo de Impresión 3D de Pasta Cerámica UNLa-CETMIC, por alimentación neumática y extrusión a tornillo, Versión 1. <https://doi.org/10.18294/rdi.2019.175797%20>
Ruscitti, A., Rendtorff Birrer, N. M., & Serra, M. F. (2017). Dispositivo de Impresión 3D de Pasta Cerámica UNLa-CETMIC, por alimentación neumática y extrusión a tornillo, Versión 2. <https://doi.org/10.18294/rdi.2019.175798%20>
Ruscitti, A., Rendtorff Birrer, N. M., & Serra, M. F. (2017). Dispositivo de Impresión 3D de Pasta Cerámica UNLa-CETMIC, por alimentación neumática y extrusión a tornillo, Versión 3. <https://doi.org/10.18294/rdi.2019.175799%20>
Ruscitti, A., Rendtorff Birrer, N. M., Serra, M. F., & Stabile, M. (2018). Dispositivo de Impresión 3D de Pasta Cerámica UNLa-CETMIC, por extrusión con pistón mecánico para jeringa estándar. <https://doi.org/10.18294/rdi.2019.175801%20>
Ruscitti, A., Tapia, C., & Rendtorff, N. M. (2020). A review on additive manufacturing of ceramic materials based on extrusion processes of clay pastes. *Cerámica*, 66, 354-366. <https://doi.org/10.1590/0366-69132020663802918>

Diseño paramétrico y producción por impresión 3D de una serie de ocho piezas huecas tramadas en cerámica

3 de 16

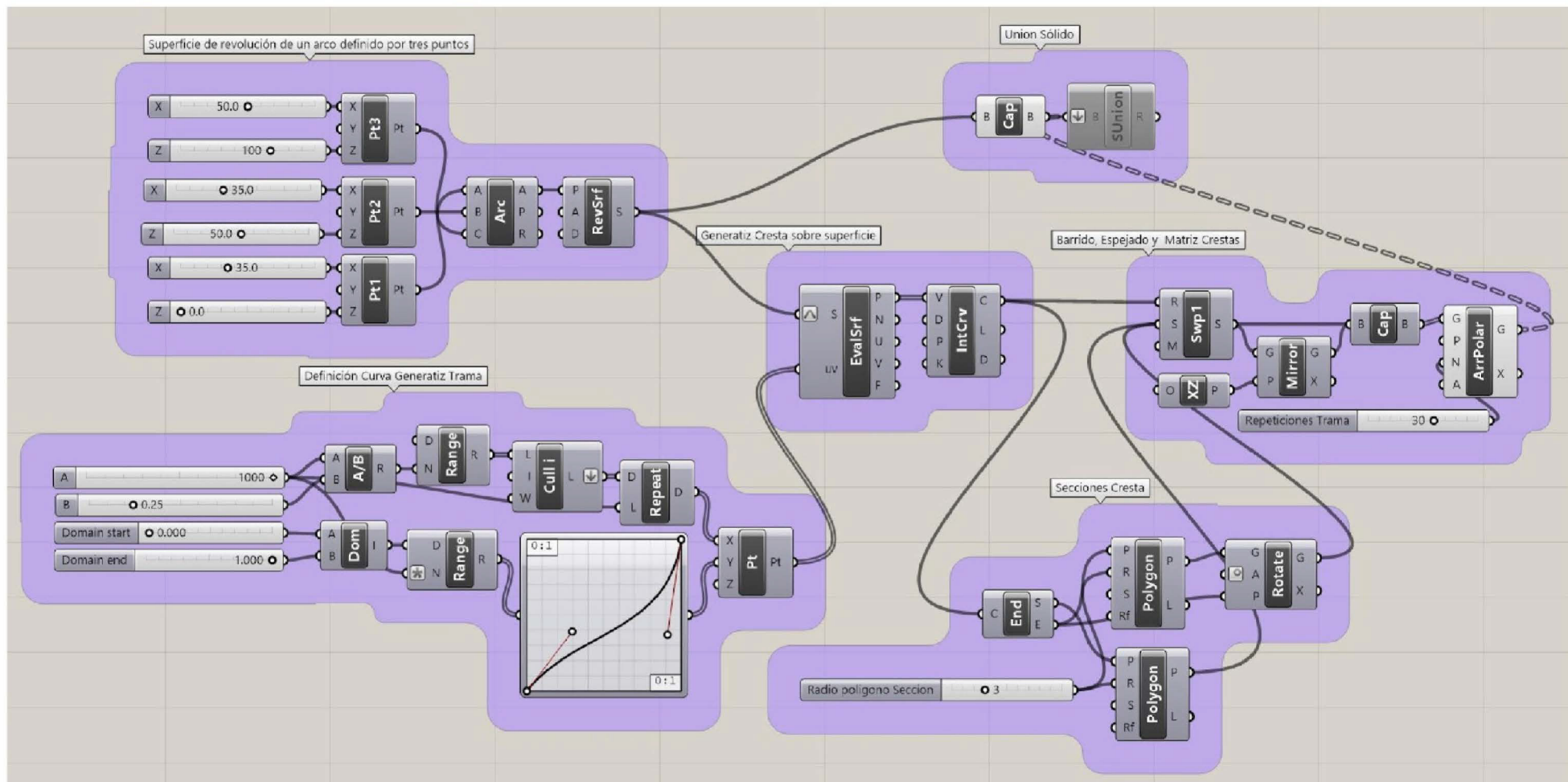


Fig. 2 Algoritmo de generación de los modelos digitales

Pieza N. ^o	1	2	3	4	5	6	7	8	
Sólido unión cuerpo de revolución y matriz de crestas									
Superficie de revolución de un arco definido por tres puntos	Pt 3 (mm)	X3 50	40	40	50	45	30	30	45
Puntos de arco generatriz	Z3				100				
	Pt 2 (mm)	X2 35	52,5	52,5	35	30	55	52,5	30
	Z2				50				
Crestas	Pt 1 (mm)	X1 35	35	35	45	40	40	40	40
	Z1				0				
Control bezier curva directriz									
Radio polígono sección (mm)									
3 5 3 5 10 10 5 5									
Repeticiones matriz crestas									
30 20 30 20 12 12 12 12									

Fig. 3 Tabla de valores del algoritmo de los ocho modelos

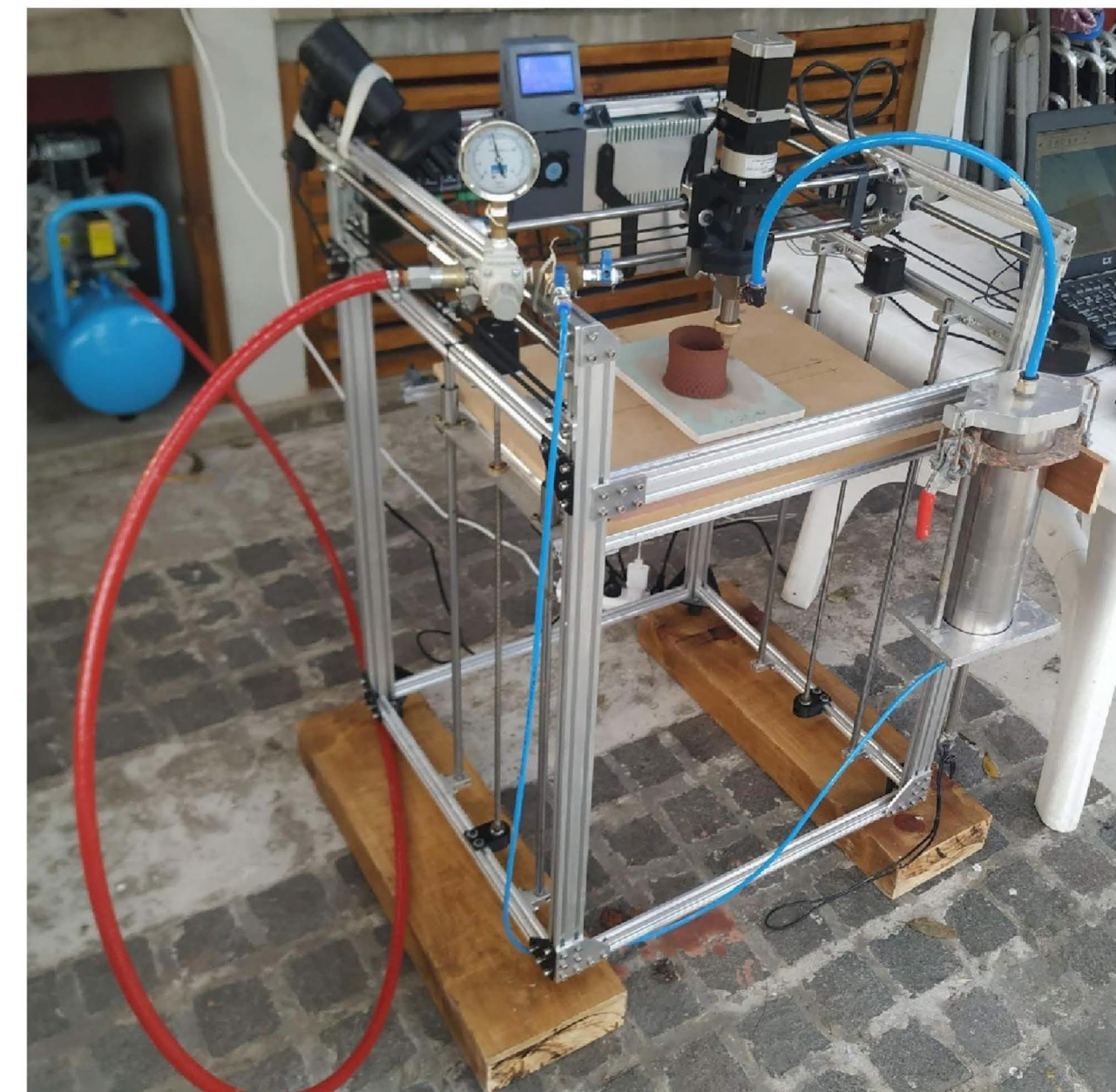


Fig. 4 Equipo de impresión 3D en funcionamiento



Fig. 5 Piezas durante el secado

#	1
X3	50
Z3	100
X2	35
Z2	50
X1	35
Z1	0
Control curva	
Radio sección	3
Repeticiones	30



Fig. 6 Valores del algoritmo y pieza 1 cocida

#	2
X3	40
Z3	100
X2	52,5
Z2	50
X1	35
Z1	0
Control curva	
Radio sección	5
Repeticiones	20

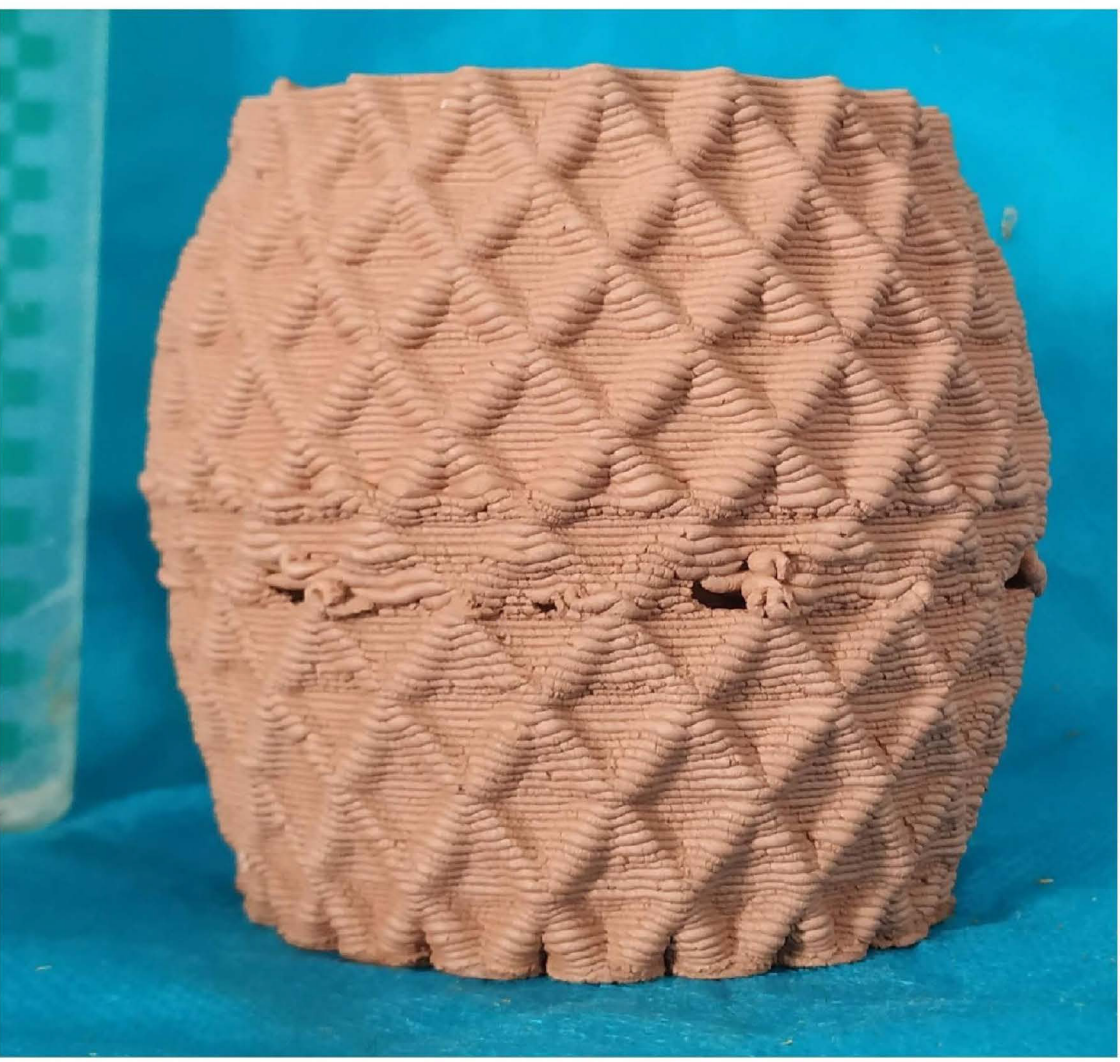


Fig. 7 Valores del algoritmo y pieza 2 cocida

#	3
X3	40
Z3	100
X2	52,5
Z2	50
X1	35
Z1	0
Control curva	
Radio sección	3
Repeticiones	30



Fig. 8 Valores del algoritmo y pieza 3 cocida

#	4
X3	50
Z3	100
X2	35
Z2	50
X1	45
Z1	0
Control curva	
Radio sección	5
Repeticiones	20



Fig. 9 Valores del algoritmo y pieza 4 cocida

#	5
X3	45
Z3	
X2	30
Z2	
X1	40
Z1	
Control curva	
Radio sección	10
Repeticiones	12



Fig. 10 Valores del algoritmo y pieza 5 cocida

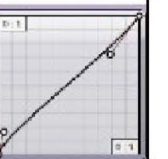
#	6
X3	80
Z3	100
X2	55
Z2	50
X1	40
Z1	0
Control curva	
Radio sección	10
Repeticiones	12



Fig. 11 Valores del algoritmo y pieza 6 cocida



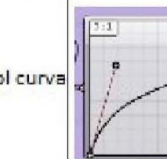
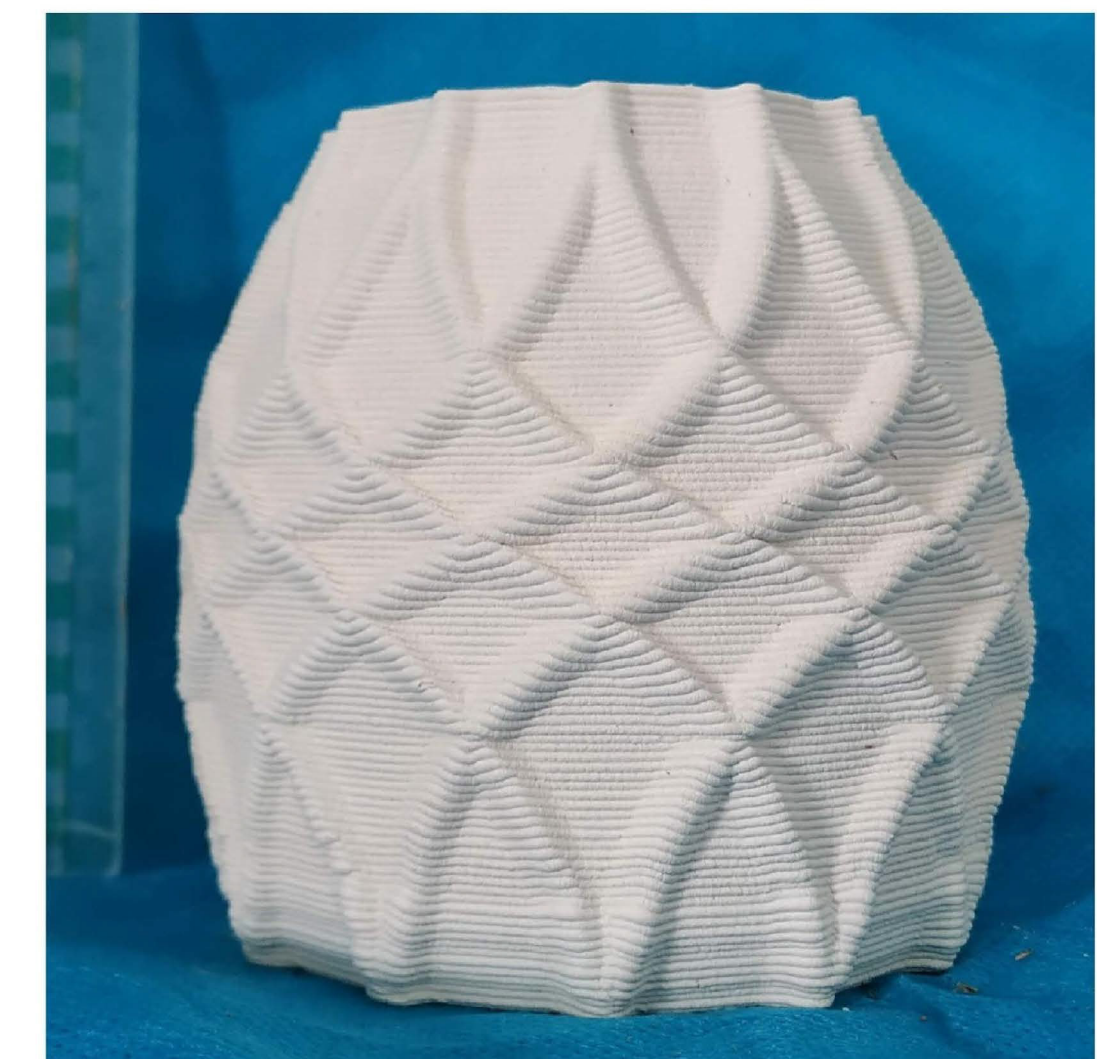
#	7
X3	80
Z3	100
X2	52,5
Z2	50
X1	40
Z1	0
Control curva	
Radio sección	5
Repeticiones	12



Fig. 12 Valores del algoritmo y pieza 7 cocida



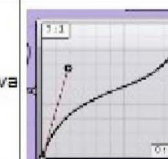
#	8
X3	45
Z3	100
X2	30
Z2	50
X1	40
Z1	0
Control curva	
Radio sección	5
Repeticiones	12



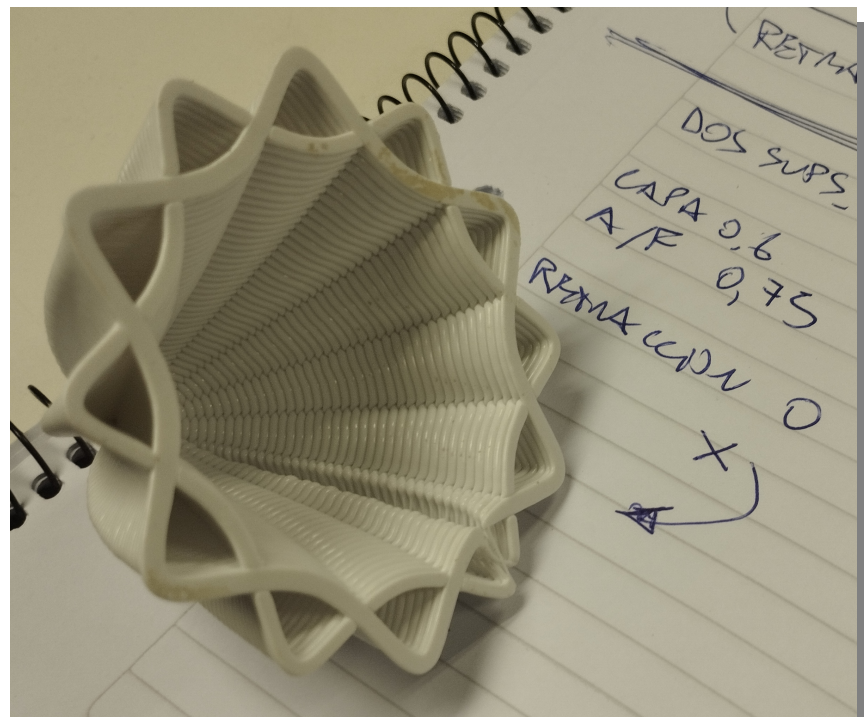
Fig. 13 Valores del algoritmo y pieza 8 cocida

Herramientas de la industria 4.0 en la formación tecnológica del diseño industrial

Parte 3. Diseño asistido por algoritmos y fabricación digital

Exploración morfológica de impresión 3D de plástico, cerámica y textiles mediante Grasshopper®

Anexo con informes técnicos



	Estudiante auxiliar de I+D	Tema	Docente investigador ** CETMIC (CIC – UNLP – CONICET)	Espacio de docencia e investigación
A	Roldán Lautaro	Piezas de PLA demostrativas de programación de impresión 3D en grasshopper	Ruscitti Andrés, Matías Mendozzi	AH 2022 – 2024
	Harrdos Eteban			
B	Yocco Melina	Fanales cerámicos impresos 3D	Ruscitti Andrés	AH 2019-2020
	Vernarelli Pilar			
C		Variaciones paramétricas de ondas sobre un domo	Ruscitti Andrés	AH 2019-2020
D		Cuencos por capas alternadas		
E	Piccirilli Juan	Diseño e impresión 3D de una serie de piezas cerámicas basadas en las ollas de la alfarería tradicional de Casira	Ruscitti Andrés, Rendtorff Nicolás* Serra Florencia* Paltrinieri Agustina* (2021)	AH 2019-2020
F		Diseño paramétrico y producción por impresión 3D de una serie de ocho piezas huecas tramadas en cerámica	Ruscitti Andrés Rendtorff Nicolás* Tapia Clara Serra Florencia* (2021)	
G		Tramas textiles	Tapia Clara	

Herramientas de la industria 4.0 en la formación tecnológica del diseño industrial

Parte 3. Diseño asistido por algoritmos y fabricación digital

Exploración morfológica de impresión 3D de plástico, cerámica y textiles mediante Grasshopper®

Anexo con informes técnicos

3A Piezas de PLA demostrativas de programación de impresión 3D en grasshopper

D.I. Ruscitti Andrés

Presentación en Tecnologías Aditivas de la fabricación Digital, ETFD, 2024



Herramientas de la industria 4.0 en la formación tecnológica del diseño industrial

Parte 3. Diseño asistido por algoritmos y fabricación digital

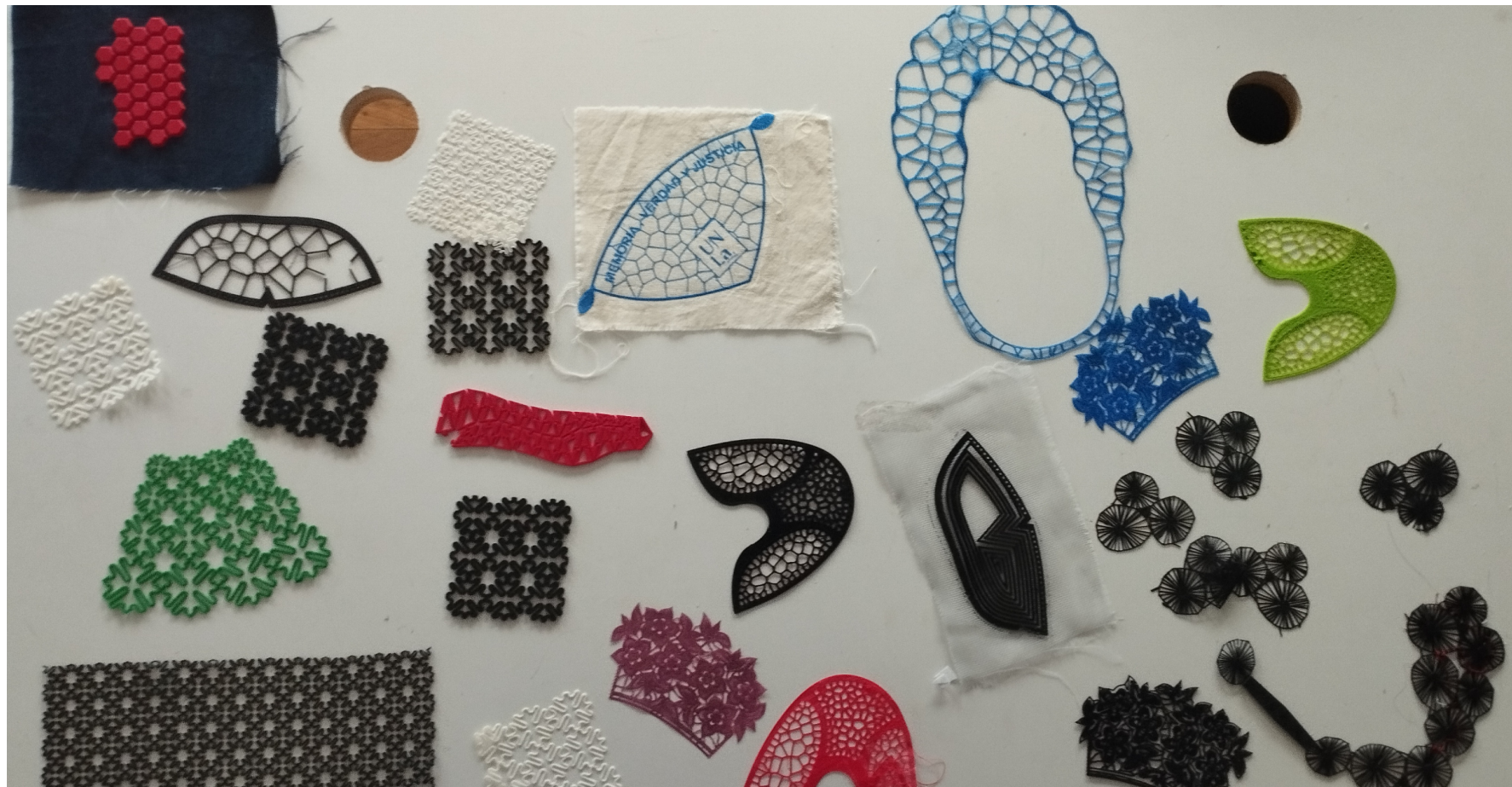
Exploración morfológica de impresión 3D de plástico, cerámica y textiles mediante Grasshopper®

Anexo con informes técnicos

3G Tramas Textiles, Fabricación digital en la cadena de valor textil

D.I. Dra. Clara Tapia

Presentación en Aplicaciones de la fabricación Digital, ETFD, 2024



Innovación

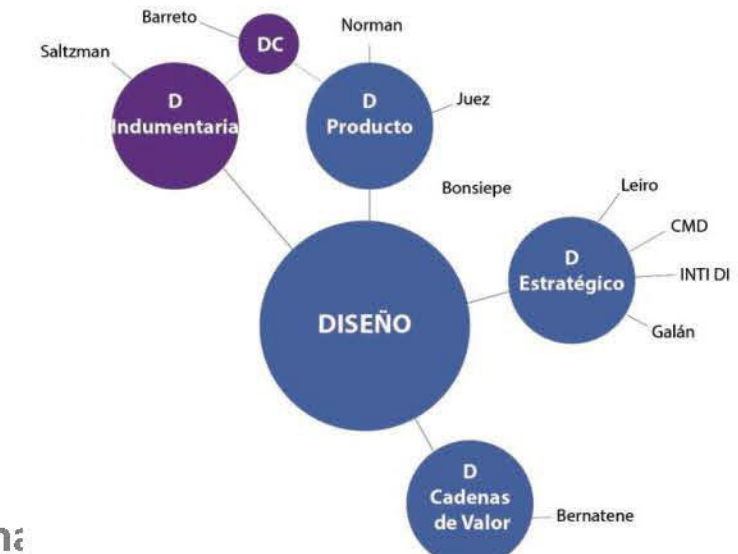
Entendemos a la innovación como un *proceso de mejora* que impacta en las sociedades desde un enfoque crítico y con anclaje en el territorio.

La innovación puede estar en los *procesos*, en los *objetos*, en la forma que *planteamos un problema de diseño*, en las *prácticas* o usos sociales.

La innovación no es necesariamente el agregado de tecnología

Diseño para la Innovación Social

El Diseño soluciona problemas y produce sentido conjuntamente. (Manzini,2015)



Pensamiento de Diseño

“En el diseño, «la solución» no surge directamente del «problema»; Así, una gran parte de la técnica del diseñador está en la generación de percepciones originales del problema así como conceptos originales de solución.” (Cross, 1995)

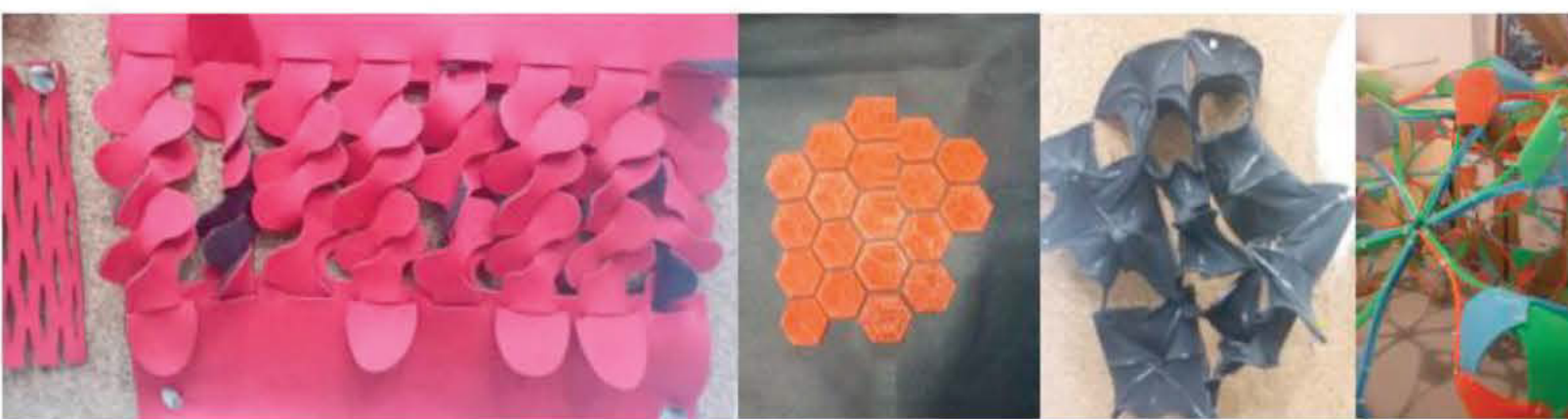
Contenidos Eje 1:

Nuevos paradigmas de producción y consumo: Fabricación Digital

I3D- En la Cadena de Valor Textil



FABLAB Barcelona

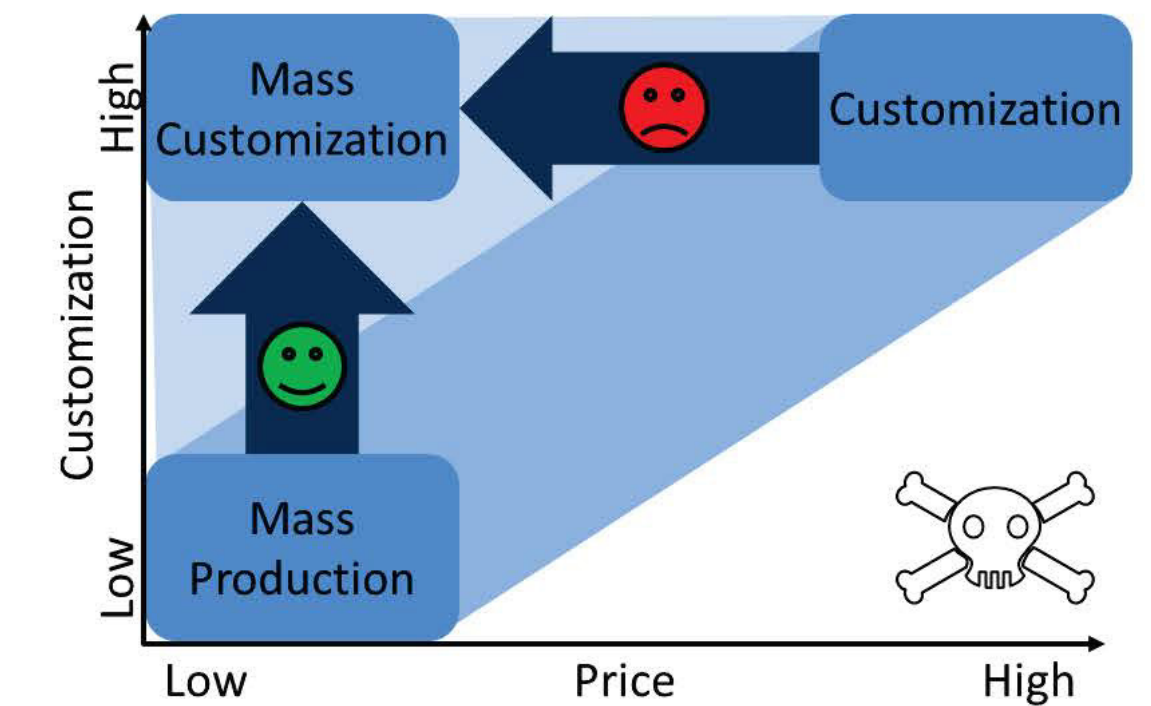


Fabricación Masiva Personalizada - Mass Personalization

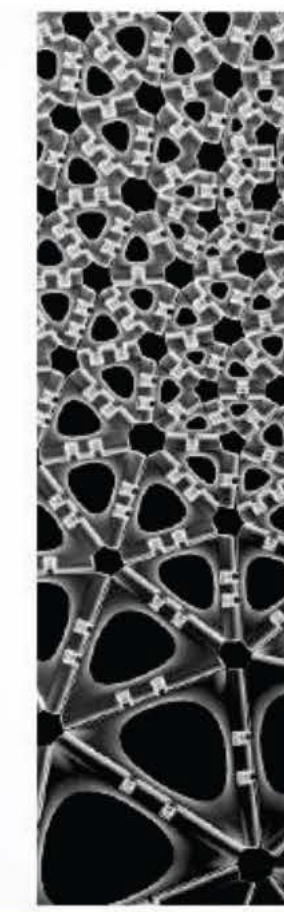
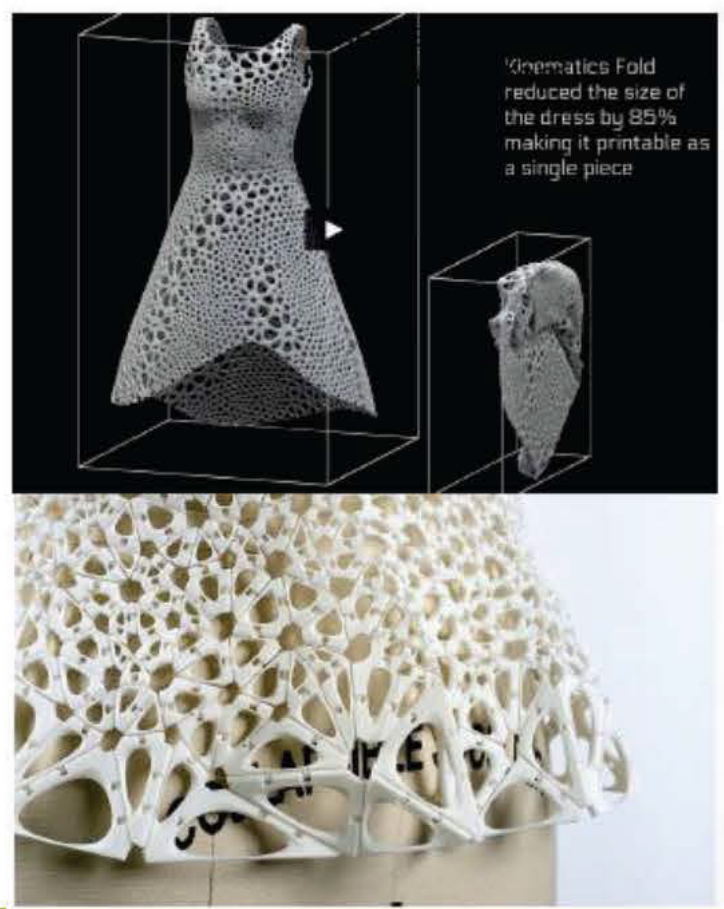
Producción a demanda

Las tecnologías digitales como herramientas para la personalización

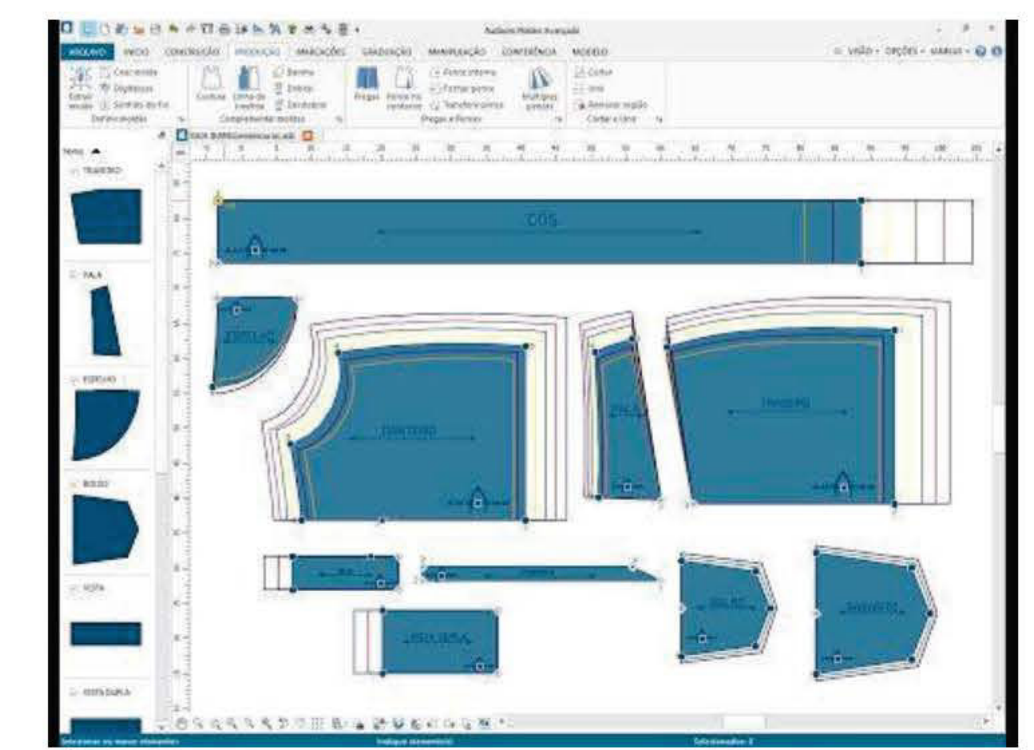
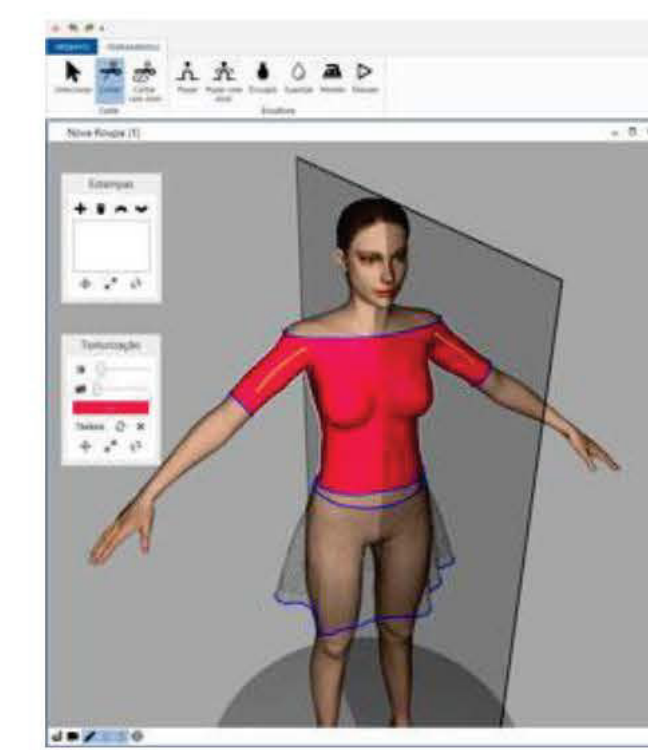
Software Audaces
CNC
Corte Laser
I3D



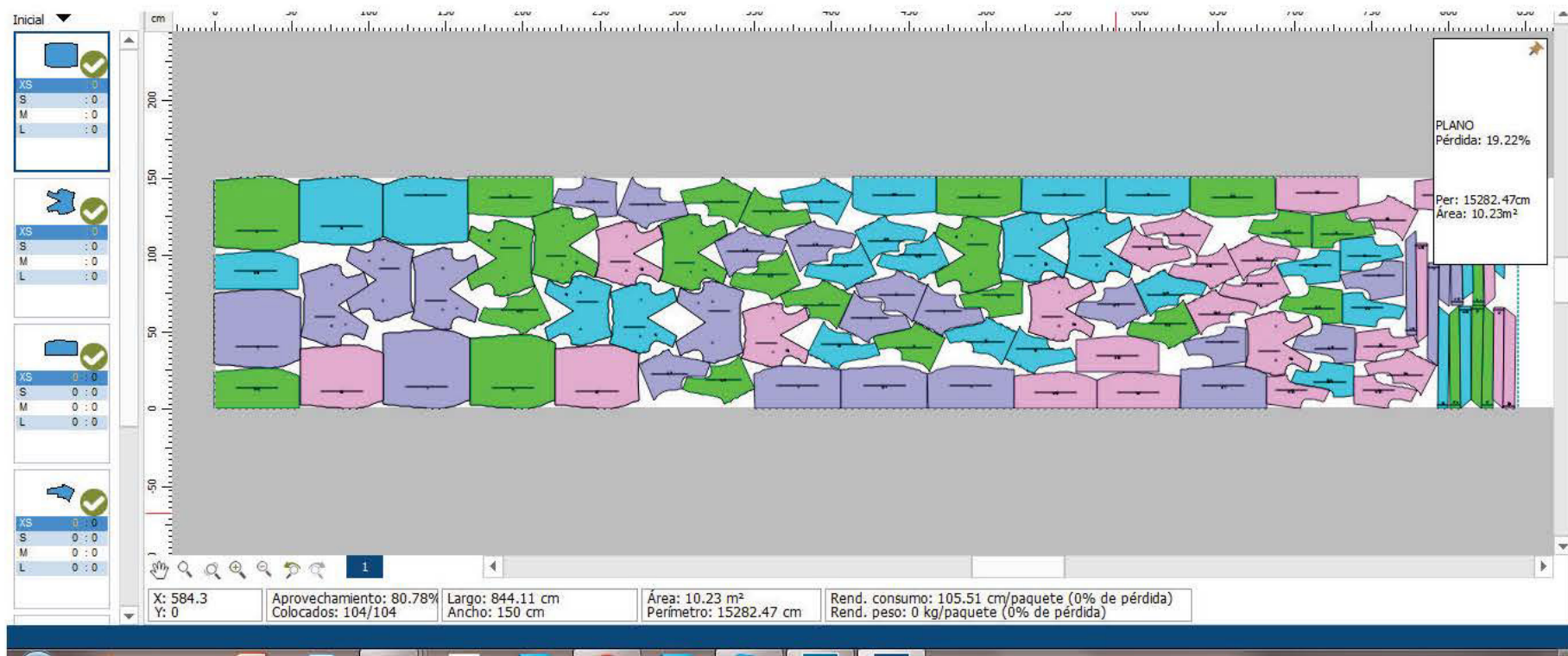
Diseño Paramétrico- Nervous System - I3D : SLS



Programa Audaces para digitalización de moldería



Programa Audaces para digitalización de moldería



Diseño Abierto – Open Source

Colaboración

La suma de los trabajos individuales

Diferentes formas de registro alternativas al copyright Creative Commons etc

- Bibliotecas digitales
- Softwares de código abierto
- Mejora continua



Diseño Abierto – Open Source

La presente información no está homologada por ninguna empresa, es simplemente una propuesta **OPEN SOURCE** y totalmente **colaborativo** como punto de partida.

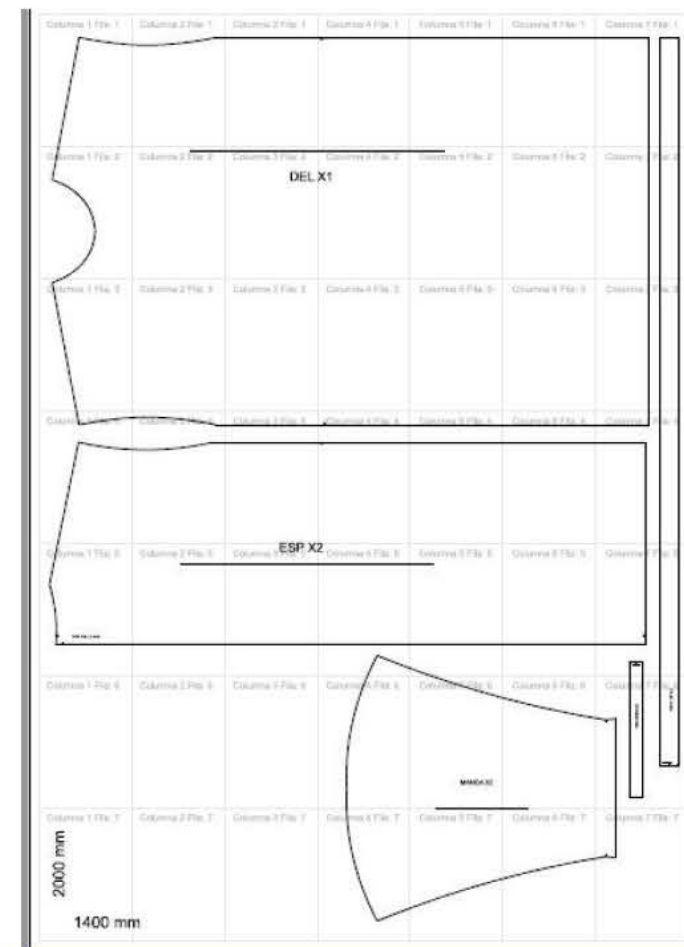
Ante cualquier duda por favor contactarse con empresas, diseñadores, ingenieros o cualquier persona afin en caso de querer fabricarla en serie, recuerde que es solo a modo orientativo.

SÓLO ES A MODO PALIATIVO Y EN CASOS EXTREMOS DE EMERGENCIA

#COVID-19
#DISEÑADORESSINFRONTERAS



diseñadores
SIN fronteras



Casos de Nuevos Paradigmas de Producción

Corte laser
Corte CNC



Don't run Beta- AnOtherShoe

Calzado DIY
(hágalo usted mismo)
Corte láser



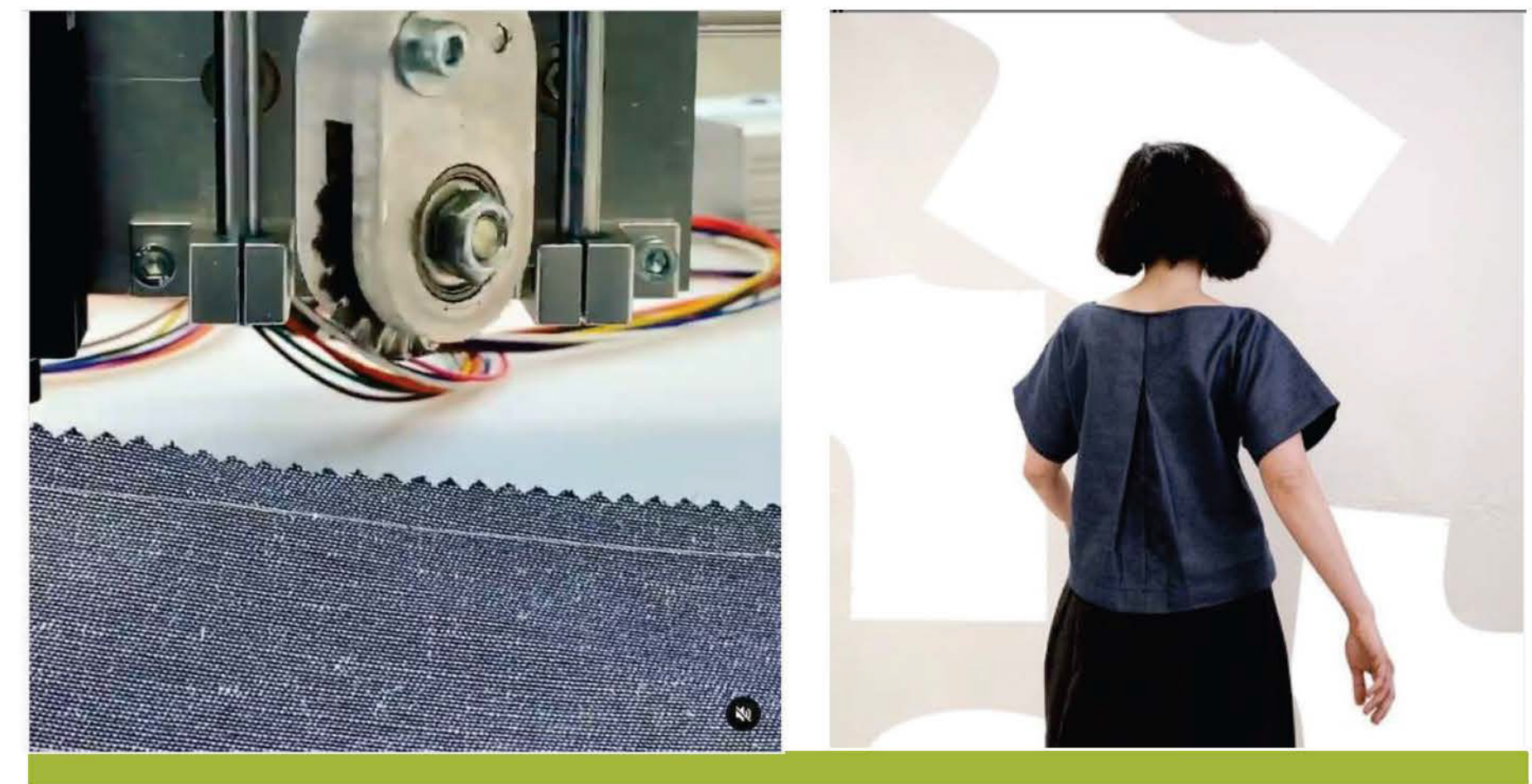
Don't run Beta- AnOtherShoe- Corte Laser



Pattern-Project- Corte CNC de textiles



Pattern-Project



Pattern-Project

Indumentaria DIY (hágalo usted mismo)

Corte por control numérico

Diseño de prenda centrada en el proceso de costura fácil



CLEVER CUTTING MACHINE
#lowemission



PATENT PENDING ANNOTATIONS
#seweeasy

Corte Láser

Corte

Grabado

Decapado

Termofusión (unión por calor)

Materiales

- Sintéticos (corte sellado)
- Fibras naturales (grabado o quemado)
- Sintéticos bicapa (Decapado)
- Cuero (Corte, y Grabado)

Corte Láser - Uniones

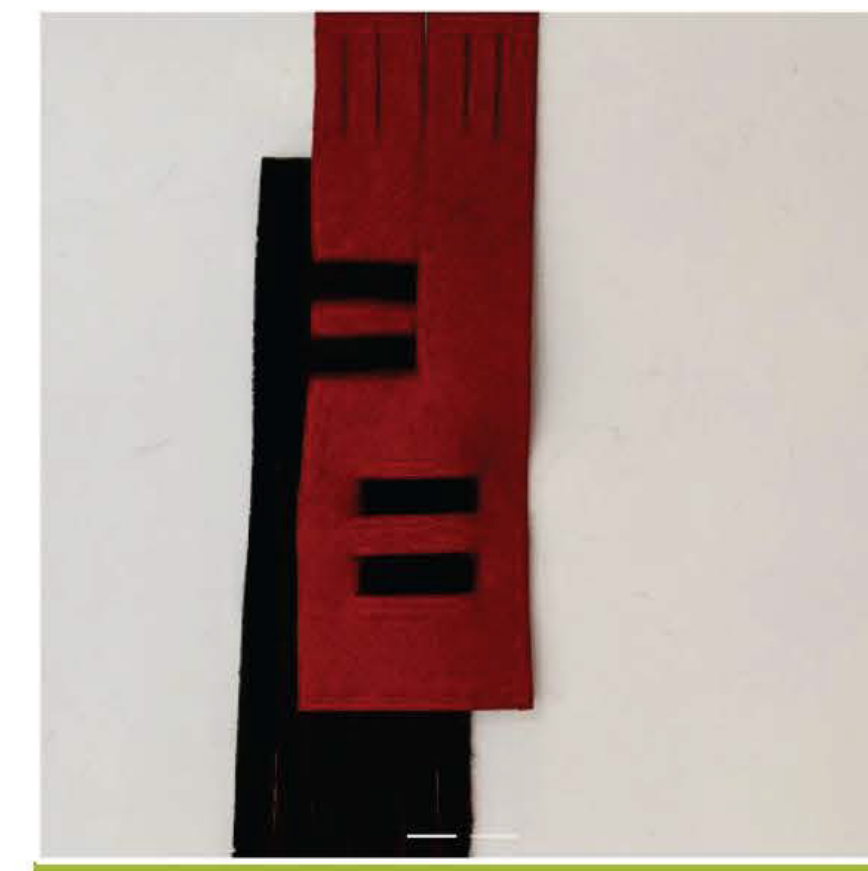


Seamless Weaved Garment

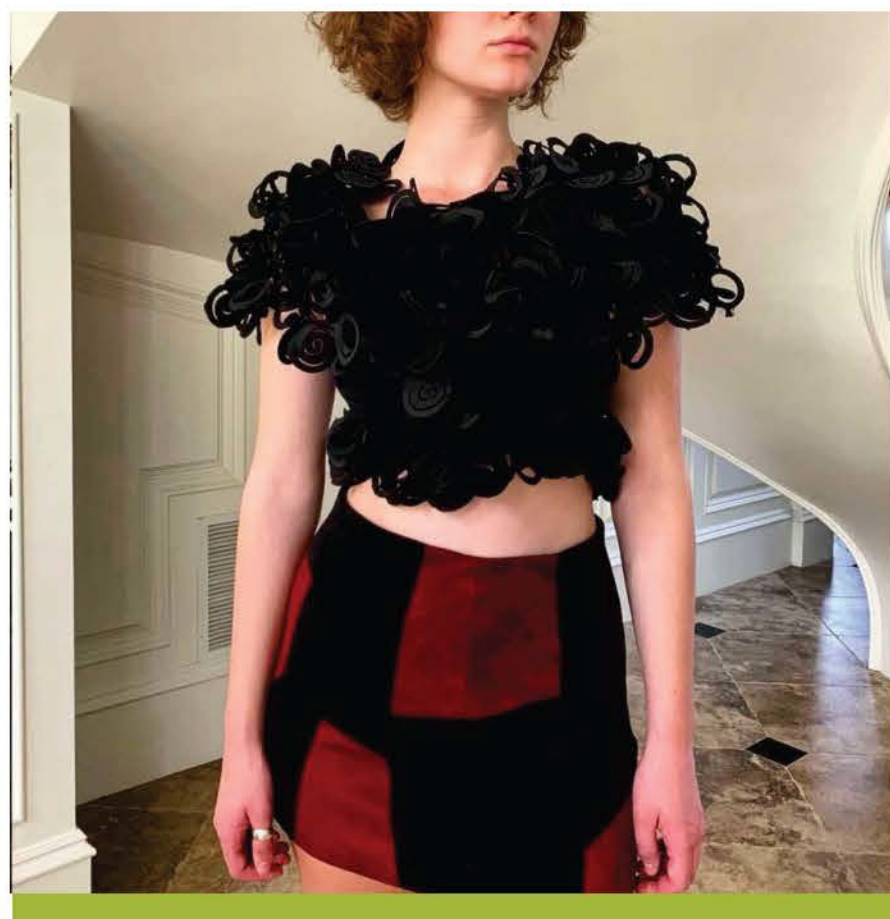
by Maite Sosa Published on February 26 2021



Corte Láser - Uniones



Corte Láser – Tramas modulares



Corte Láser – Tramas modulares



Corte Láser – Corte de cuero

Chaima



Impresión 3D

FDM

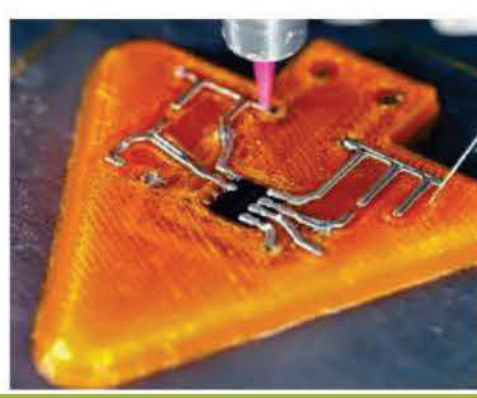
Materiales

- Flexible (220°)
- PLA (190°)
- Filamento para microfusión

Impresión 3D sobre materiales

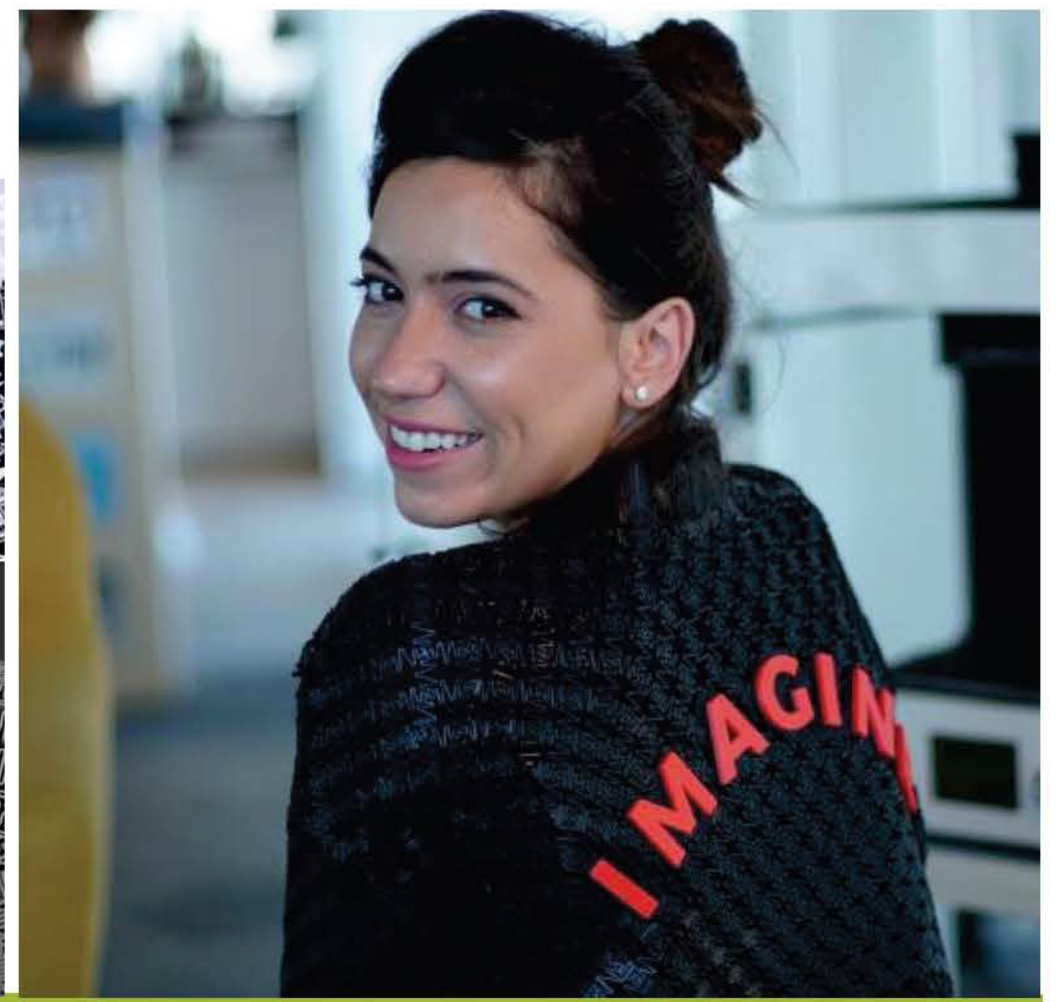
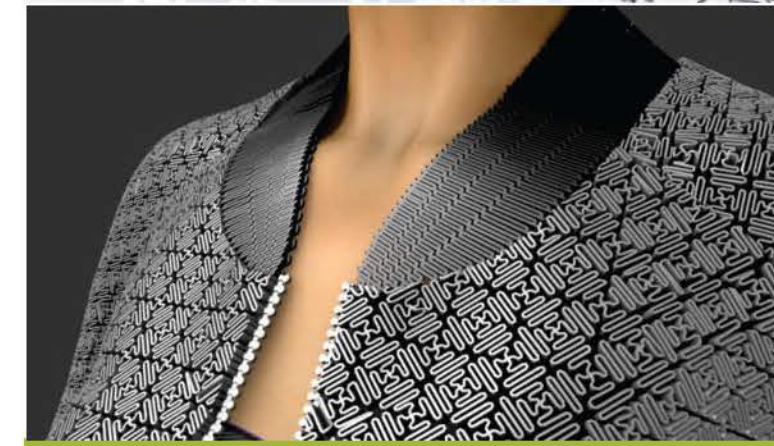
- Cuero
- Jean
- Jersey c/ elastano

I3D Materiales



I3D- FDM- Prendas

Danit Peleg

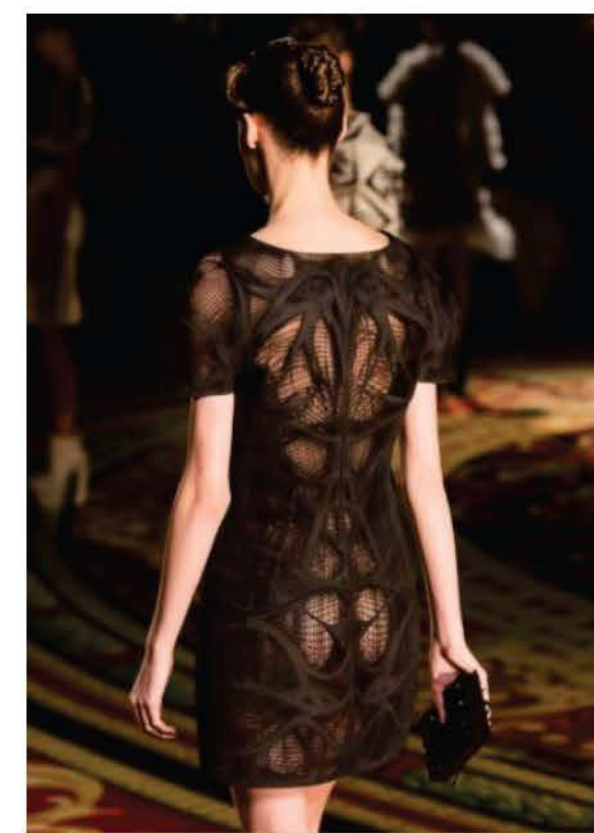


I3D- Prendas



I3D- SLS- Prendas

Iris Van Herpen



IRIS VAN HERPEN
VOLTAGE HAUTE COUTURE

Voltage Haute Couture • Designed by Iris Van Herpen & Julia Koerner

I3D- SLS- Prendas

Iris Van Herpen



I3D- FDM- Tramas de enlace



I3D- FDM- Tramas de enlace

Eliana Guzman - ceiborg.com



3D Print Textil

con Moro

En este vestuario trabajamos la idea de estructuras a partir de formas geométricas básicas. Nos interesaba investigar la idea de la generación de estructuras rígidas volumétricas en relación a los movimientos del cuerpo.

Los módulos que componen el traje fueron modelados e impresos en 3D y están vinculados a través de arandelas metálicas, buscando nuevas formas de pensar y abordar los sistemas de producción para la indumentaria y el vestuario.

Este vestuario fué presentado durante el 3D Fashion Lima en el 2019

I3D- SLS- Tramas de enlace



<https://www.youtube.com/watch?v=2uhR1NFbtL0>

I3D- FDM- Accesorios



Clinica de Innovación y nuevas tecnologías para Indumentaria y Joyería – DI Clara Tapia

I3D- FDM- Accesorios



I3D- FDM- Accesorios



Clinica de Innovación y nuevas tecnologías para Indumentaria y Joyería – DI Clara Tapia

I3D- FDM- Accesorios



Clinica de Innovación y nuevas tecnologías para Indumentaria y Joyería – DI Clara Tapia

I3D- FDM- Accesorios



I3D- FDM- Accesorios



I3D- FDM- Accesorios



I3D- SLS- Accesorios



I3D- SLS- Accesorios



Clínica de Innovación y nuevas tecnologías para Indumentaria y Joyería – DI Clara Tapia

I3D- Sobre cuero



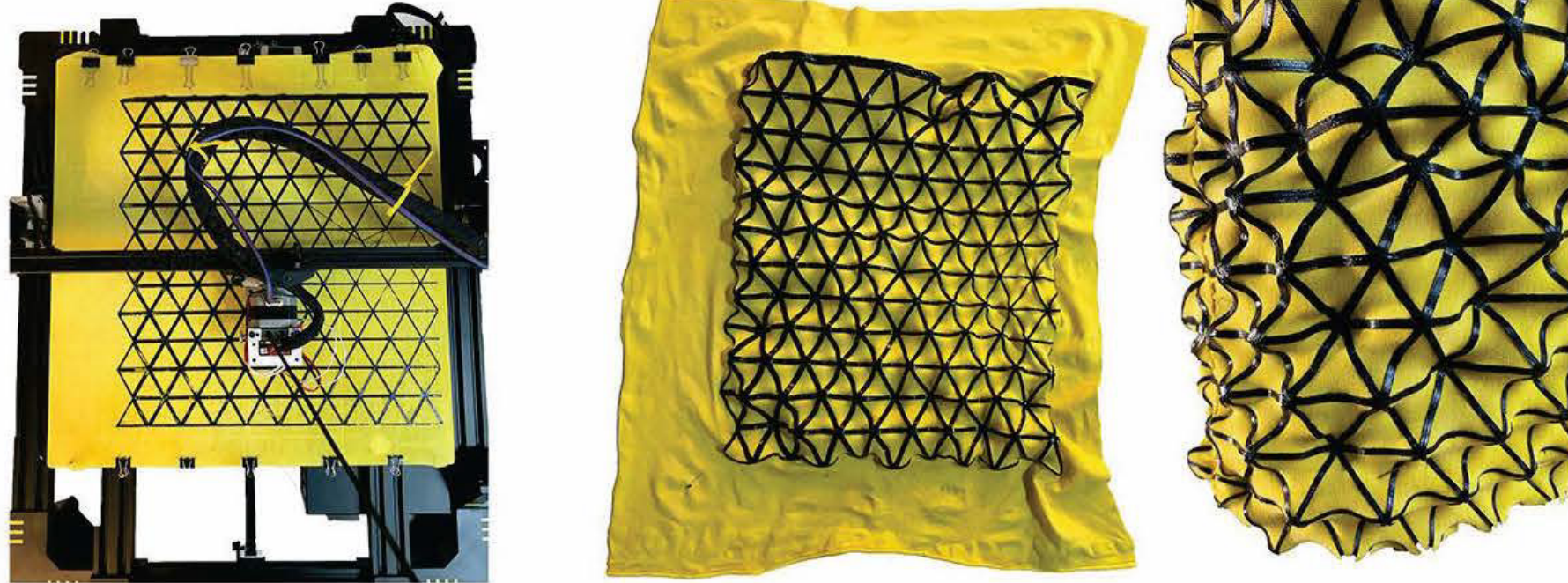
I3D- Sobre cuero



I3D- Sobre textiles



I3D- Sobre textiles



Clínica de Innovación y nuevas tecnologías para Indumentaria y Joyería – DI Clara Tapia

I3D- Sobre textiles



I3D- Sobre textiles



Innovación - Schumpeter

El desarrollo económico está movido por la innovación, por medio de un proceso dinámico en el cual nuevas tecnologías sustituyen a las antiguas. Llamó a este proceso **Destrucción creativa**. Según él, las innovaciones “radicales” originan los grandes cambios del mundo mientras que las innovaciones “progresivas” alimentan de manera continua el proceso de cambio.

¿Son sólo las tecnologías los instrumentos para innovar?

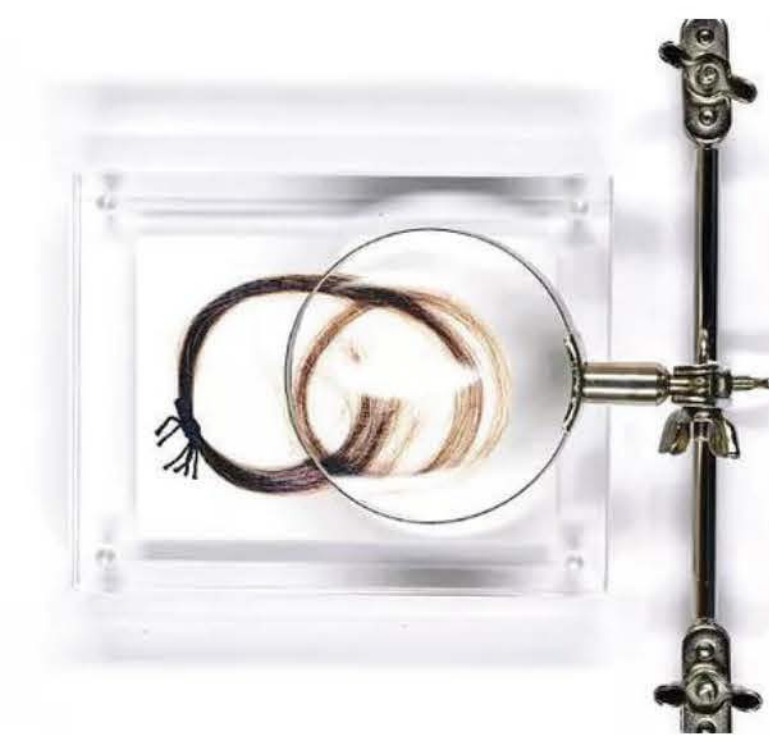
Biofabricación

- Bio Couture
- Materiales de cultivo (Grown Up Materials)
- Diseño de Materiales
- Construcción animal o vegetal. Fabricación aditiva biológica

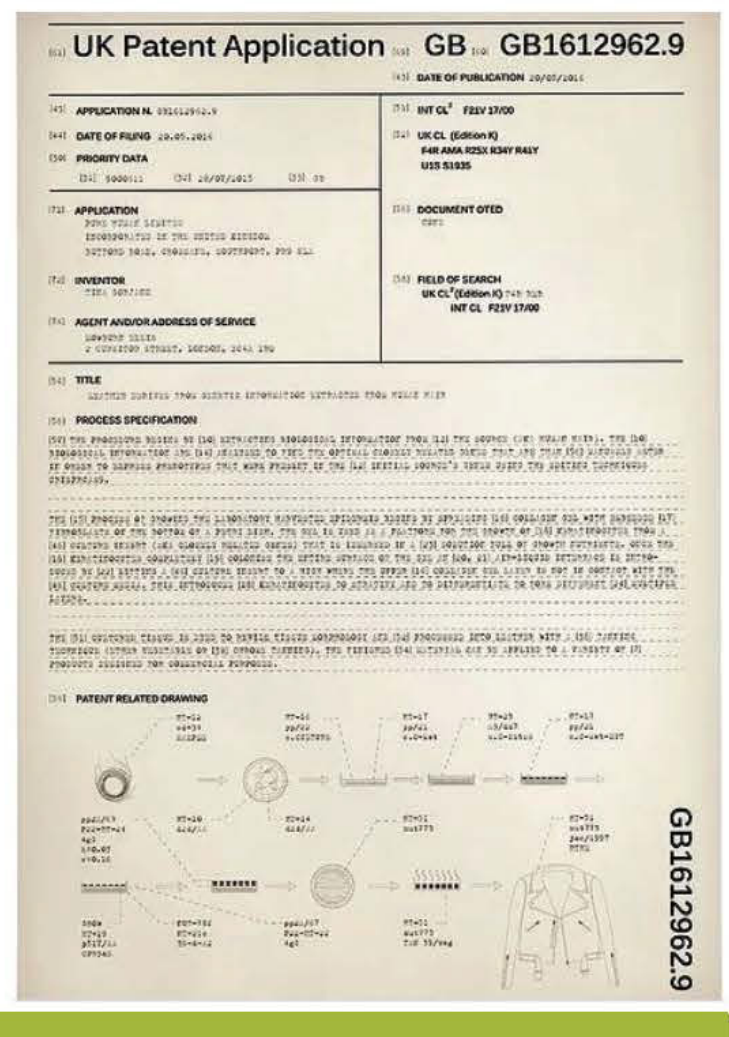
Biofabricación- Suzanne Lee



Biofabricación- Tina Gorjanc- Pure Human- Central Saint Martins- Materials Future

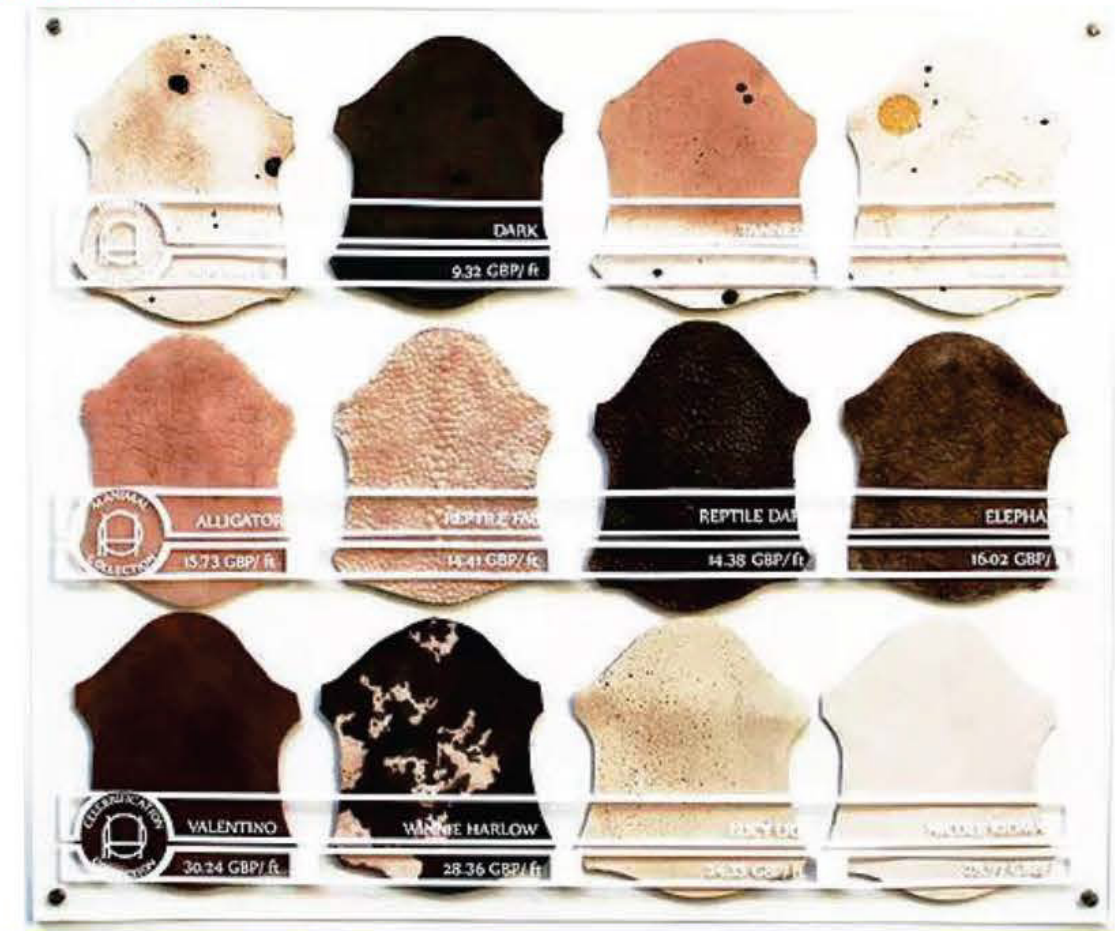


Biofabricación- Tina Gorjanc- Pure Human



Clinica de Innovación y nuevas tecnologías para Indumentaria y Joyería – DI Clara Tapia

Biofabricación- Tina Gorjanc- Pure Human

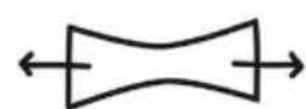


Clinica de Innovación y nuevas tecnologías para Indumentaria y Joyería – DI Clara Tapia

Materiales de Cultivo - Ecovative



MycоФlex



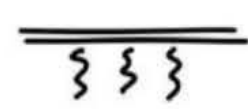
Strong

Comparable to conventional urethane foams



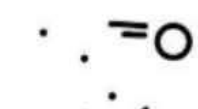
Heat Resistant

Higher melt temperature than plastic



Insulating

Better than foams and nonwovens



Resilient

Rebounds following impact



Biological

100% biobased product



Breathable

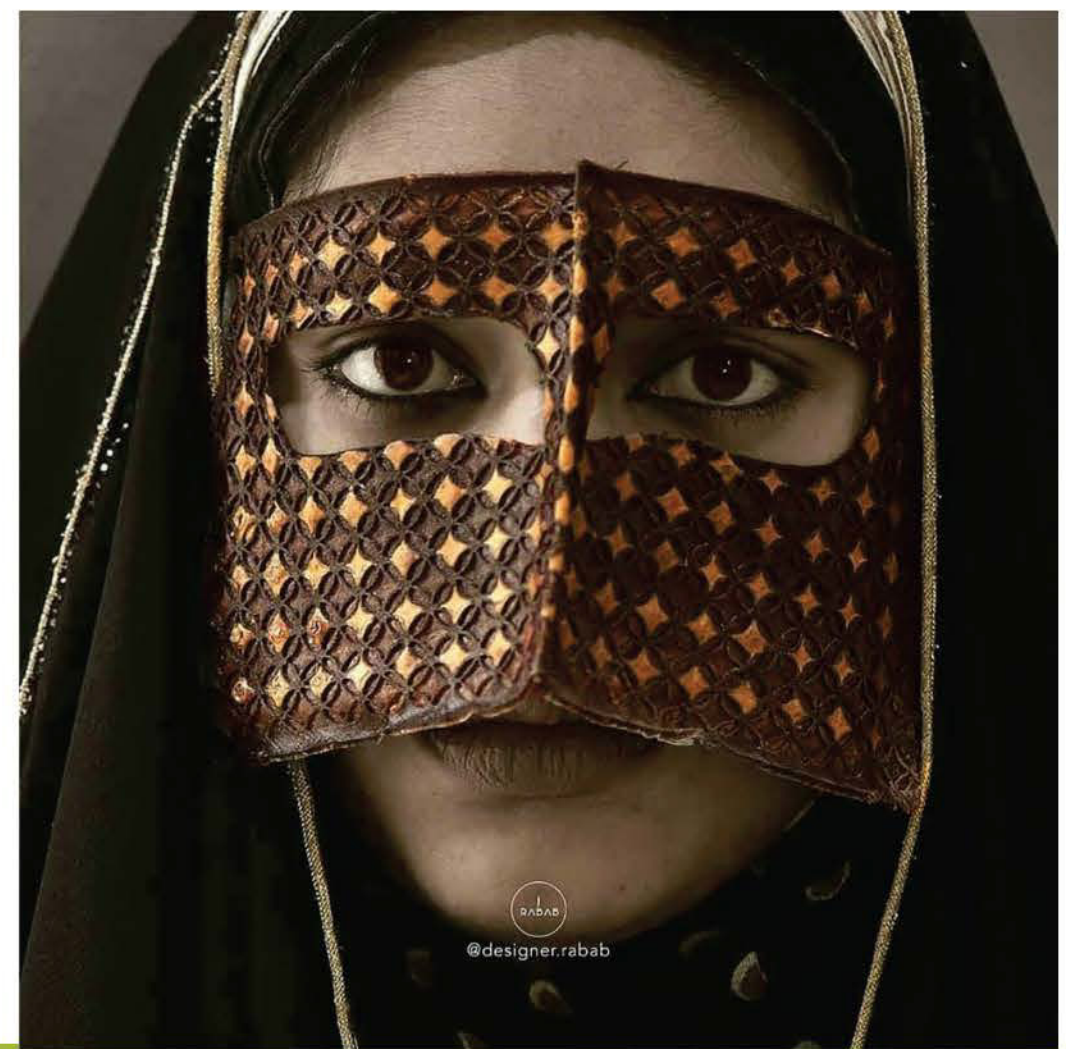
Moisture vapor permeable

Clinica de Innovación y nuevas tecnologías para Indumentaria y Joyería – DI Clara Tapia

Ecovative



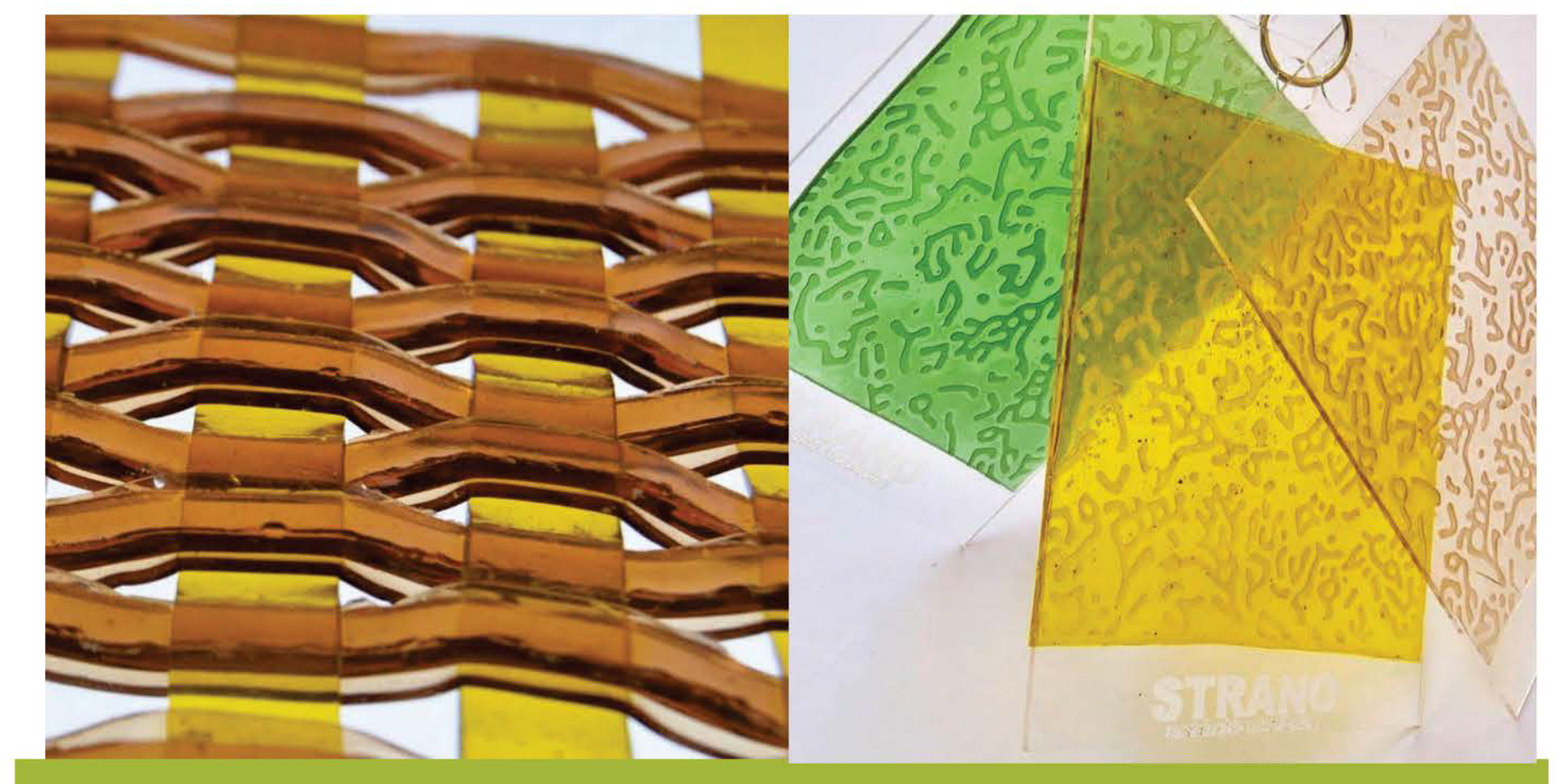
Biotextil- Kombucha



Biotextil- Kombucha



Biotextil- Kombucha - Strano



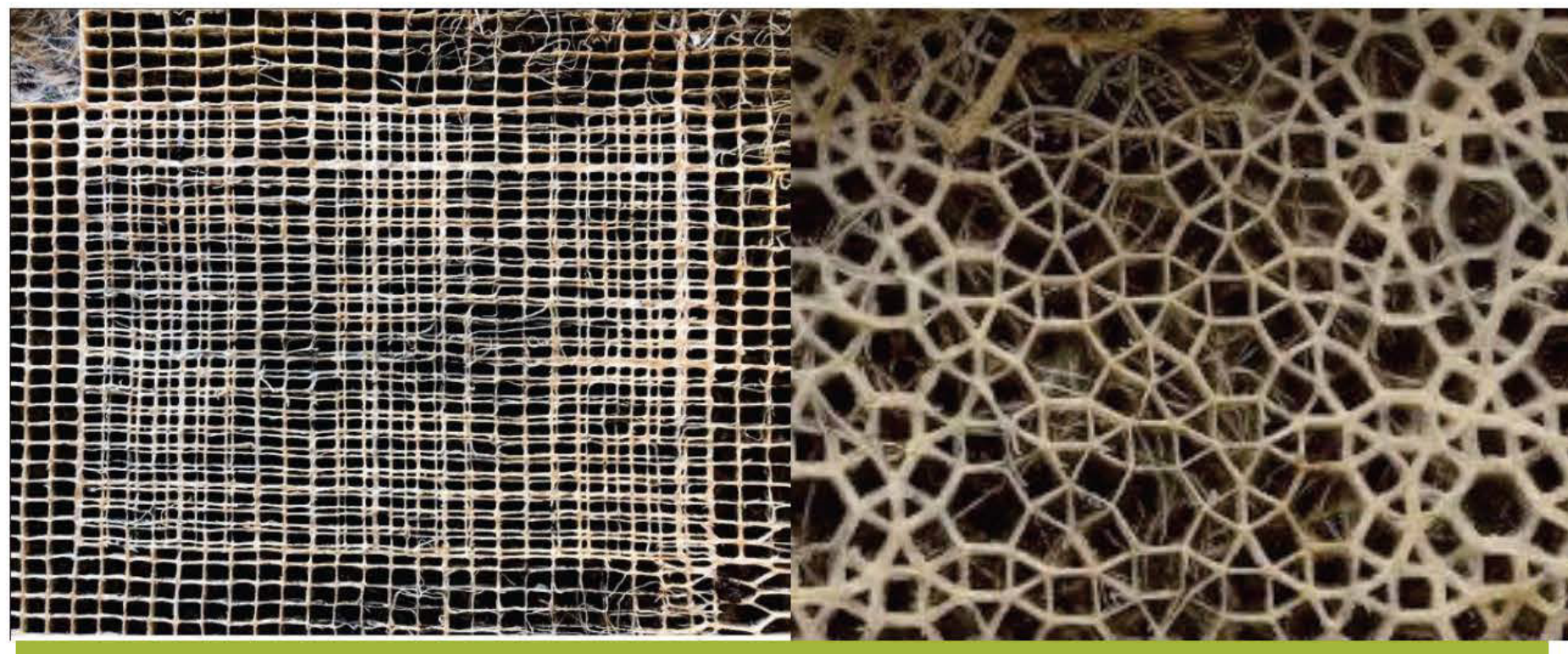
Materiales que crecen – Diana Scherer- Interwoven



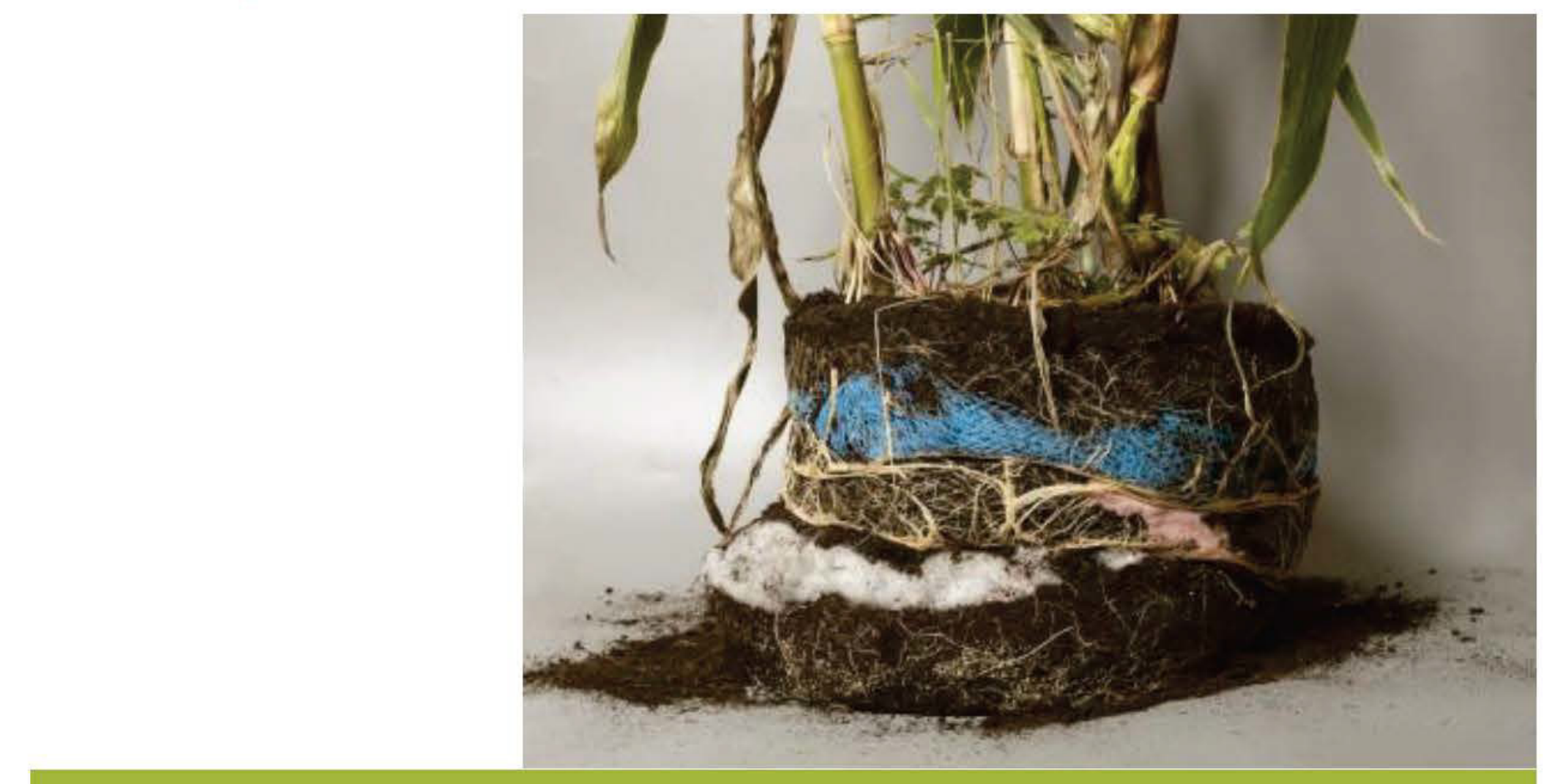
Materiales que crecen – Diana Scherer- Interwoven



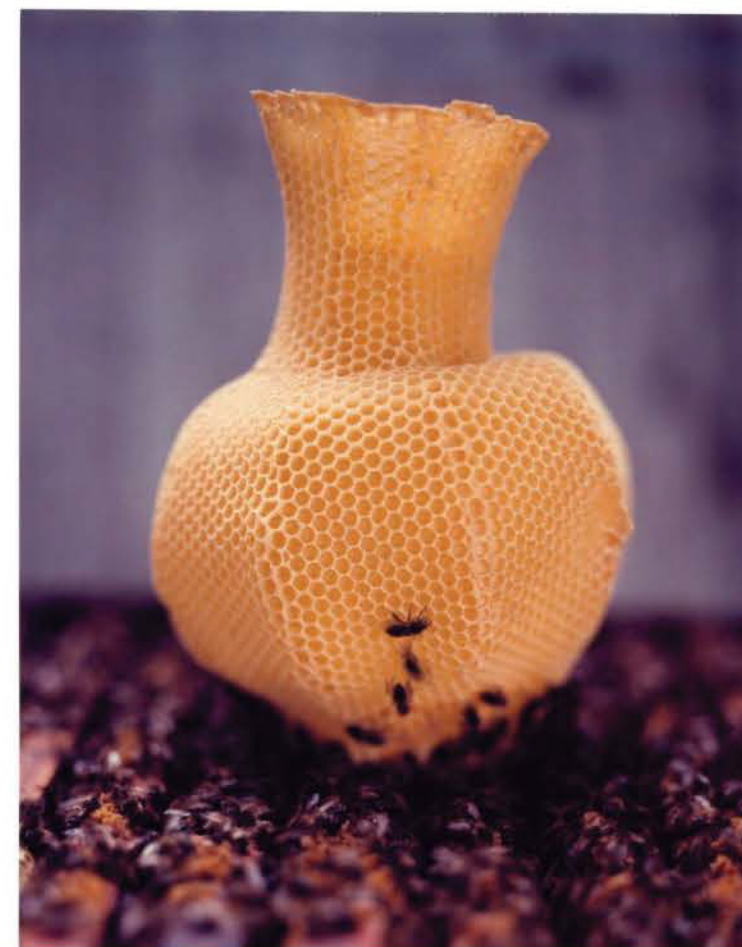
Materiales que crecen – Diana Scherer- Interwoven



Materiales que crecen – Diana Scherer- Interwoven



Bio Fabricación aditiva- Libertiny



Biofabrication- Hubert Duprat



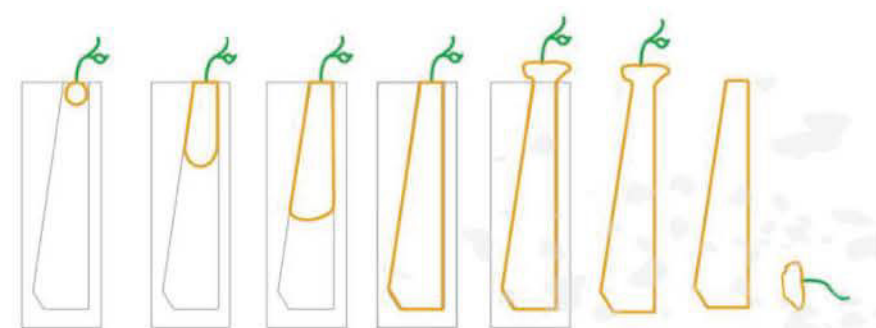
Biofabrication- Hubert Duprat



Biofabrication- Hubert Duprat



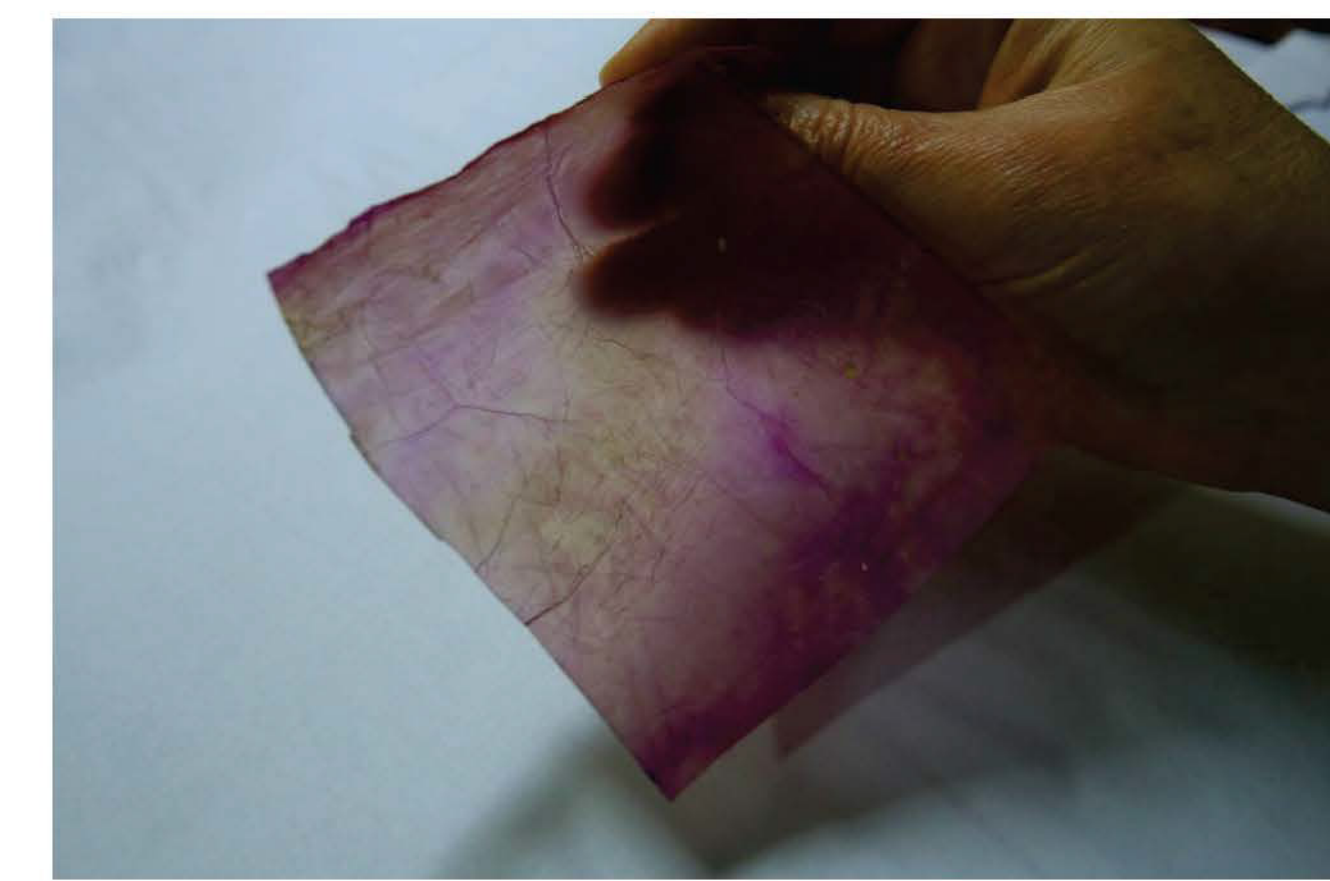
Materiales que crecen- Jerry Mejia



Materiales que crecen- Grupo Bondi



Celulosa bacteriana



El Indumento como dispositivo para la construcción del cuerpx



Intervención?



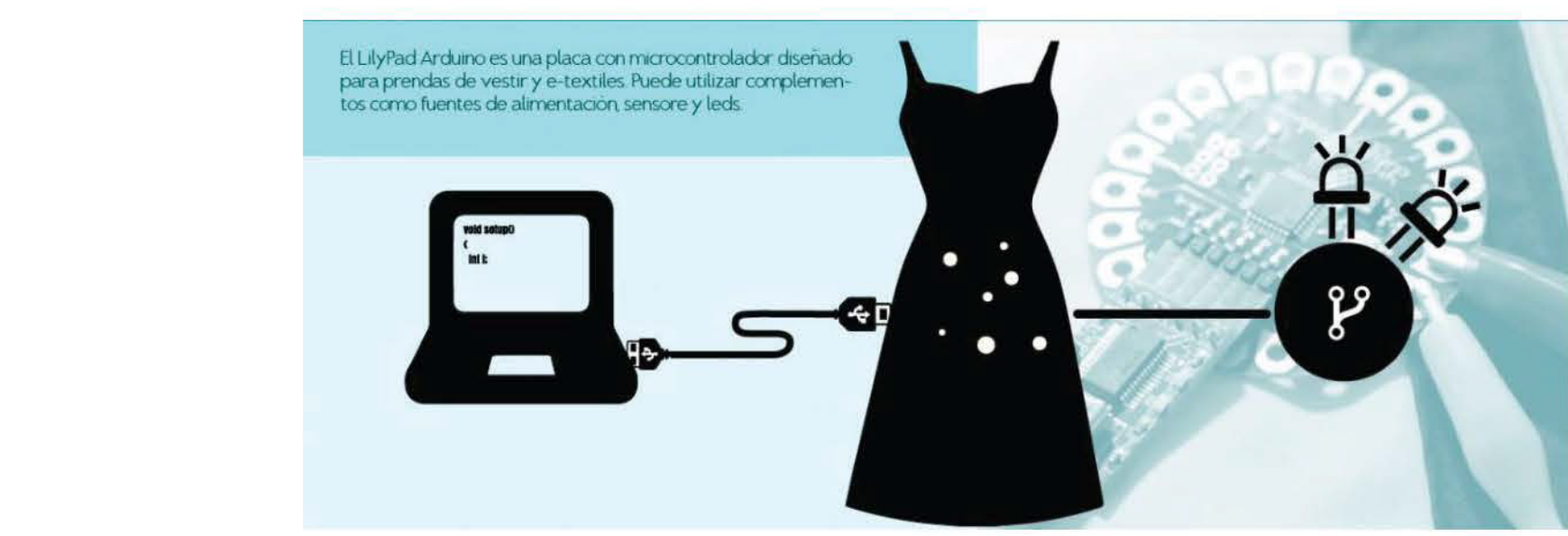
Clínica de Innovación y nuevas tecnologías para Indumentaria y Joyería – DI Clara Tapia

Smart Fashion

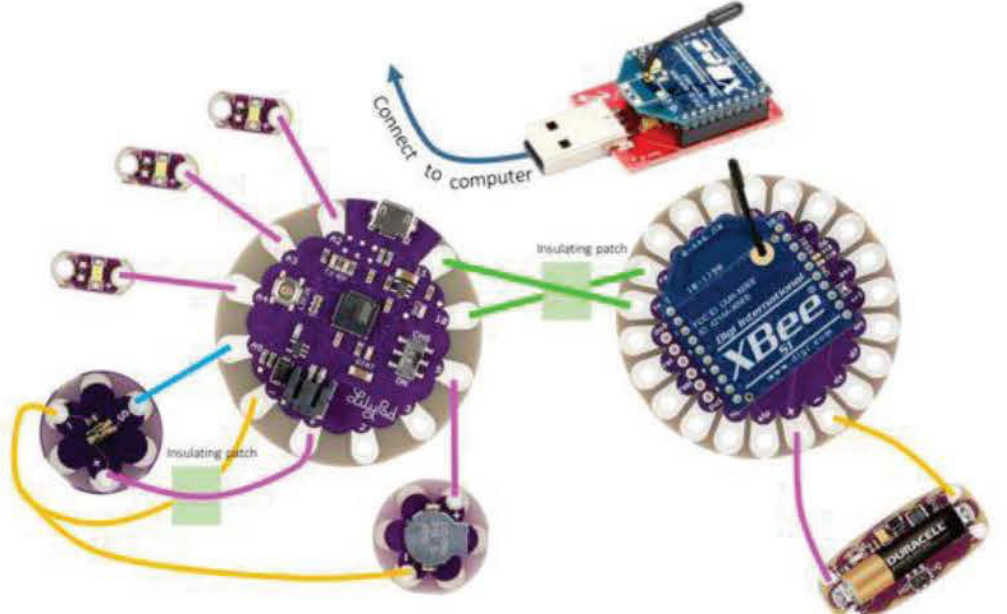


Vestibles- Arduino/ Lilypad

Lilypad: Placa
Arduino: Software



Vestibles- Arduino/ Lilypad



Insumos conductores para indumentaria

Hilos

Cintas al bies

Tintas para serigrafía

Pinturas

Aislantes

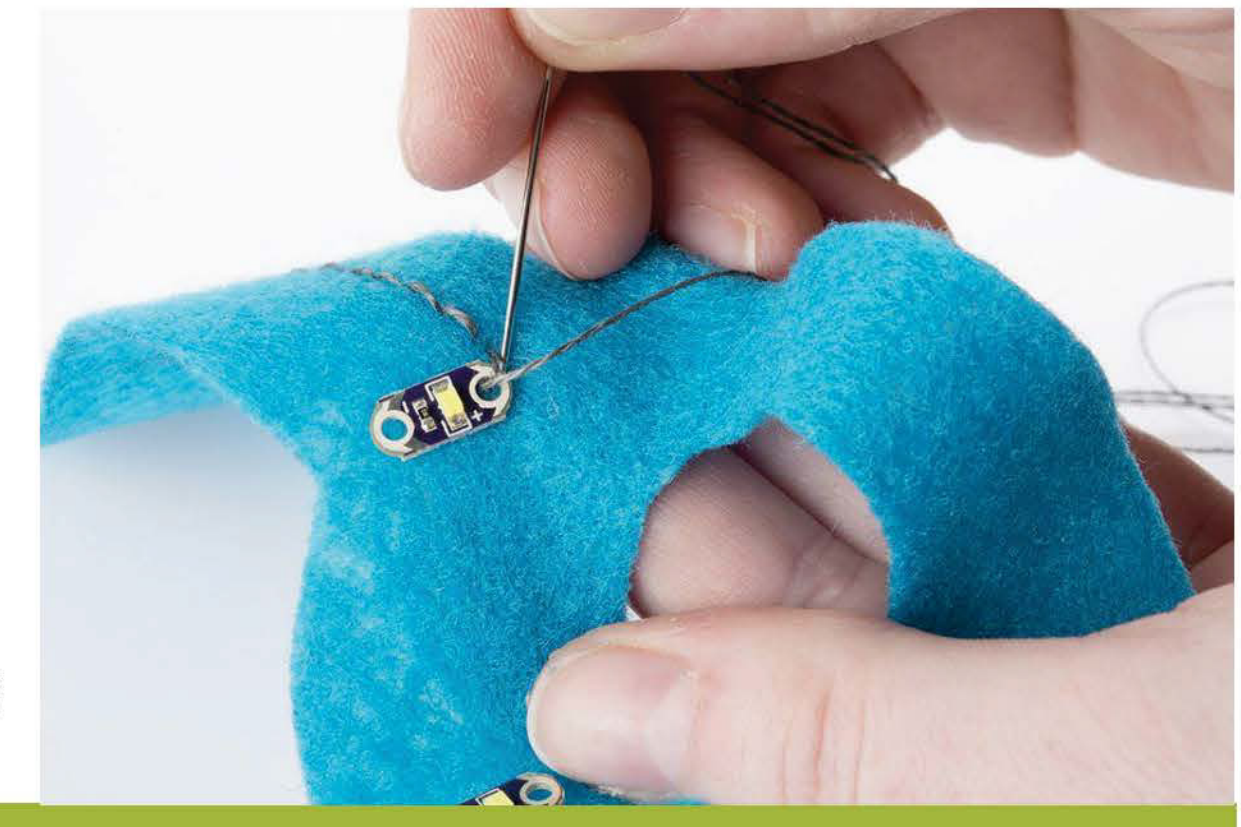
Textiles conductores

- Filtros de Plata
- Lycra conductora

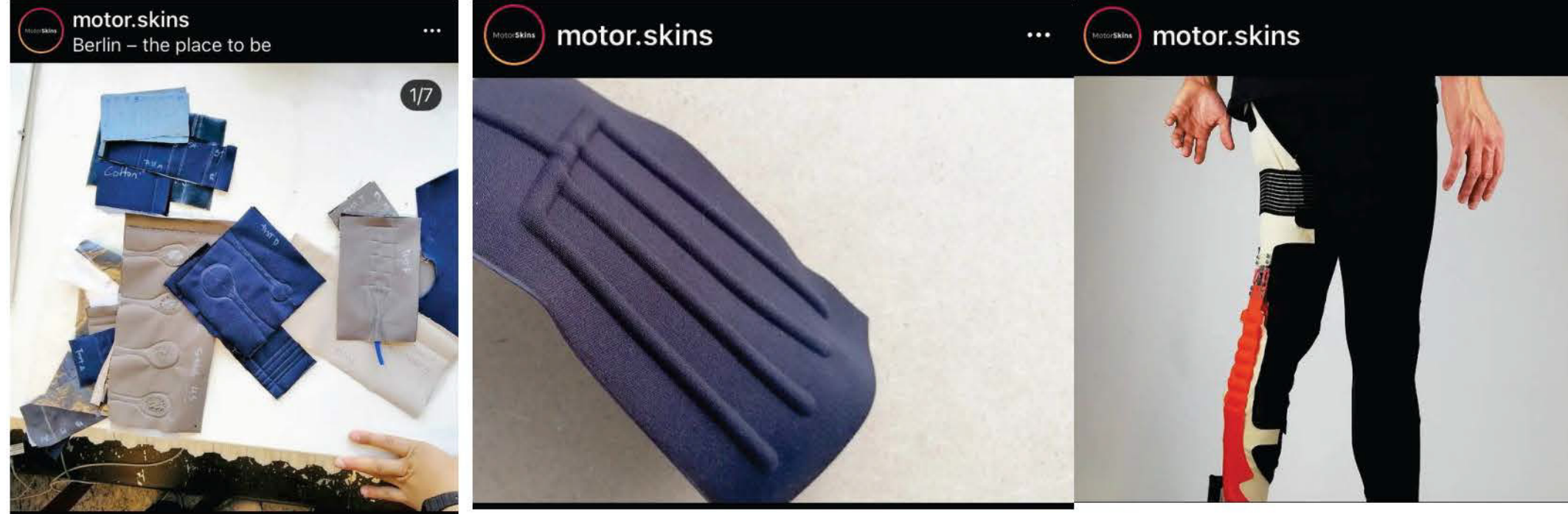
Leds resistentes a lavados

Sensores (tensión /elasticidad / temperatura/ sonido)

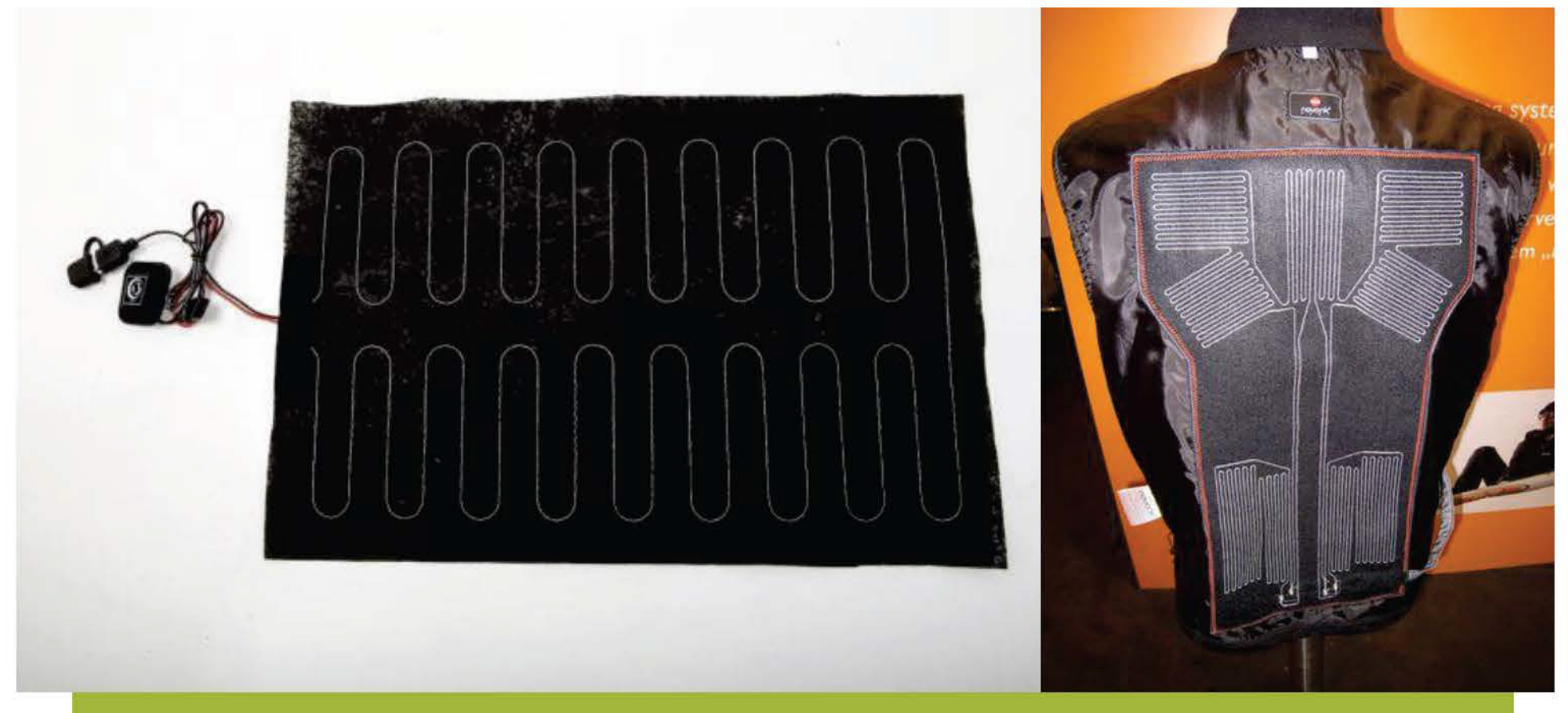
Motores



Vestibles- Arduino/ Lilypad

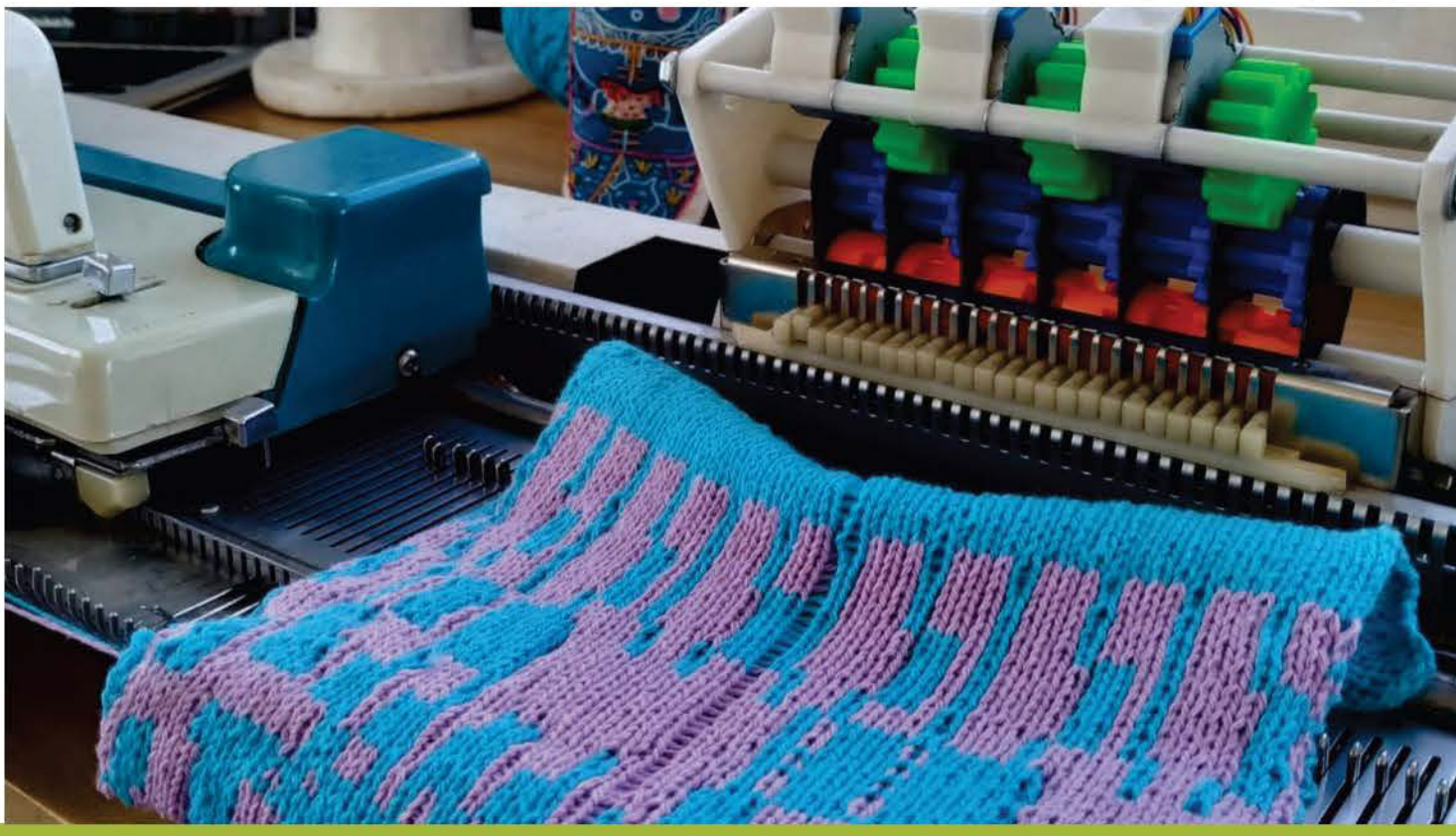


Temperatura



Eliana Guzman- Ceiborg

La Máquina Analítica teje patrones algebraicos, al igual que el telar Jacquard teje flores y hojas



Teresa Almeida



Kasia MOLGA- Sensor de contaminación ambiental



Metaverso

